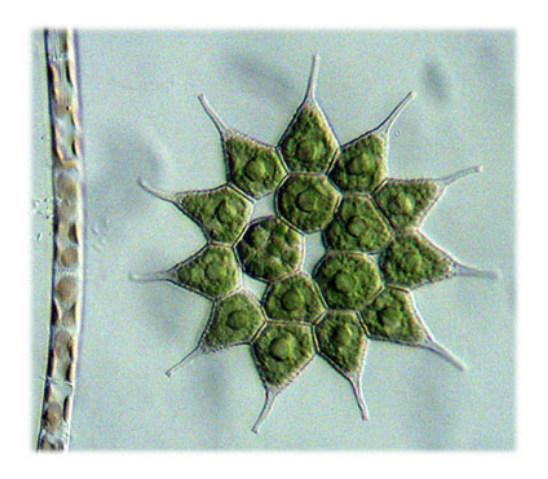
ÖKOLOGISCHER ZUSTAND DER SEEN IM LAND OBERÖSTERREICH

(Attersee, Hallstätter See, Irrsee, Mondsee, Traunsee)

Bewertungen anhand des biologischen Qualitätselementes Phytoplankton, gemäß EU-Wasserrahmenrichtlinie (GZÜV 2009)

Das Jahr 2022, mit Dreijahresmitteln seit 2020



im Auftrag der Oberösterreichischen Landesregierung (Sachbearbeiter: Dr. Hubert Blatterer)

Dr. Christian D. Jersabek



Arnsdorf, 06. April 2023

Cover: Pediastrum simplex Meyen © C. D. Jersabek
•

Inhalt

1.	Einleitung	6
2.	M e t h o d i k	6
	2.1. Probenahmetermine und Frequenz	6
	2.2. Probenahme	7
	2.3. Auswertungen	7
	2.4. Zusammenfassende Bewertungen	8
3.	Ergebnisübersicht	10
	3.1. Übersicht der Phytoplanktonergebnisse 2022	10
	3.1.1. Artenzahlen	13
	3.1.2. Taxonomische Zusammensetzung nach Algenklassen	14
	3.2. Zustands-Vergleich mit den Vorjahren	15
4.	ATTERSEE	19
	4.1. Gutachten Phytoplankton	19
	4.2. Ergebnistabellen	. 21
	4.3. Grafische Darstellungen	. 27
	Prüfbericht	29
	Attersee 2022-03-01	29
	Attersee 2022-06-20	33
	Attersee 2022-08-03	37
	Attersee 2022-11-09	. 41
5.	HALLSTÄTTER SEE	. 46
	5.1. Gutachten Phytoplankton	46
	5.2. Ergebnistabellen	48
	5.3. Grafische Darstellungen	53
	Prüfbericht	55
	Hallstätter See 2022-03-07	55
	Hallstätter See 2022-06-13	59
	Hallstätter See 2022-08-10	63
	Hallstätter See 2022-11-23	. 67
6.	IRRSEE	. 70
	6.1. Gutachten Phytoplankton	70
	6.2. Ergebnistabellen	72

6.3. Grafische Darstellungen	77
Prüfbericht	
Irrsee 2022-03-15	
Irrsee 2022-06-01	
Irrsee 2022-08-08	
Irrsee 2022-11-02	
7. M O N D S E E	
7. N. O N D 3 E E	
7.2. Ergebnistabellen	
7.3. Grafische Darstellungen	
Prüfbericht	
Mondsee 2022-01-18	
Mondsee 2022-02-15	
Mondsee 2022-03-21	
Mondsee 2022-04-19	
Mondsee 2022-04-19	
Mondsee 2022-05-11	
Mondsee 2022-07-05	
Mondsee 2022-08-01	
Mondsee 2022-09-07	
Mondsee 2022-10-05	
Mondsee 2022-11-07	
Mondsee 2022-12-12	
8. TRAUNSEE	
8.1. Gutachten Phytoplankton	
8.2. Ergebnistabellen	
8.3. Grafische Darstellungen	
Prüfbericht	
Traunsee 2022-03-28	
Traunsee 2022-06-28	
Traunsee 2022-08-22	
Traunsee 2022-11-14	177

Oberösterreichische Seen 2022 – Phytoplankton (GZÜV)

9. Quellenangabe	181
10. ANHANG	182
10.1. GZÜV - Ergebnisberichte, 2007 – 2021	182
10.2. Saisonales Auftreten der Phytonlankton-Arten in OÖ Seen	184

1. Einleitung

Seit Wiederaufnahme des Seen-Monitorings im Jahr 2007 unterliegen die großen Oberösterreichischen Seen (Tab. 1) einer kontinuierlichen Kontrolle ihres limnologischen Zustandes durch das Amt der Oberösterreichischen Landesregierung. Es handelt sich dabei um die nationale Umsetzung der EU-Wasserrahmenrichtlinie, wobei neben der Erhebung Trophie-relevanter Parameter wie Gehalt an Pflanzennährstoffen, Chlorophyll-a und Sichttiefe, auch die Entwicklung des Algenplanktons durch quantitative Analysen berücksichtigt wird. Seit der Wasserrechtsnovelle 2003 ist das Phytoplankton als "Biologisches Qualitätselement" (BQE) im Rahmen eines ökologischen Monitorings zur Überwachung der größeren Seen zu erfassen. Die Erhebungen gemäß der Gewässerzustandsüberwachungsverordnung (GZÜV) und Verrechnung des Phytoplanktons als BQE nach standardisierter Methode werden seit 2007 durchgeführt.

Tabelle 1. Morphometrische Da	aten der bearbeiteten See	n (nach Sampl <i>et al.</i> , 1989)

	Seehöhe (m ü.A.)	Fläche (km²)	max.Tiefe (m)	mittl.Tiefe (m)	Volumen (10 ⁶ m ³)	theor. Erneue- rungszeit (Jahre)	Einzugsgebiet (km²)
Attersee	469	45,60	170,6	84,2	3944,6	7,0	463,5
Hallstätter See	508	8,58	125,2	64,9	557,0	0,5	646,5
Irrsee	533	3,47	32,0	15,3	53,0	1,7	27,5
Mondsee	481	14,21	68,3	36,0	510,0	1,7	247,0
Traunsee	422	25,60	191,0	89,7	2302,0	1,0	1417,0

Im vorliegenden Bericht werden nun die Ergebnisse der Phytoplanktonuntersuchungen im Land Oberösterreich für das Jahr 2022 zusammengefasst und eine ökologische Zustandsbewertung der Seen anhand des biologischen Qualitätselementes Phytoplankton gemäß GZÜV 2009 durchgeführt. Für Vergleiche der aktuellen Ergebnisse mit der Phytoplanktonentwicklung in den Vorjahren standen die jeweiligen Ergebnisberichte zur Verfügung. Sie sind im Anhang gelistet und auch auf https://www.land-oberoesterreich.gv.at/211482.htm zugängig.

2. Methodik

2.1. Probenahmetermine und Frequenz

Die Untersuchungszeitpunkte wurden mit der Zielsetzung gewählt, dass damit vier limnologisch wichtige Perioden wie folgt erfasst werden: 1) Frühjahrszirkulation (März), 2) Beginn Sommerstagnation (Juni), 3) Höhepunkt Sommerstagnation (August) und 4) Herbstzirkulation (Novem-

ber). Einer intensiveren Beprobung unterlag in den vergangen Jahren und zuletzt auch 2022 der Mondsee, in dem in monatlichen Abständen Proben entnommen wurden.

Aufgrund der geringen Probenahme-Frequenz von nur vier Terminen im Jahr in Attersee, Irrsee, Traunsee und Hallstätter See können eventuelle Ausreißer erheblichen Einfluss auf den Jahresmittelwert haben. Die letztendliche Bewertung des ökologischen Zustandes erfolgt daher auf Basis eines gleitenden Mittelwertes über 3 Jahre.

2.2. Probenahme

Die Probennahmen erfolgten durch Mitarbeiter des Bundesamtes für Wasserwirtschaft (IGF Mondsee, Scharfling) jeweils über dem tiefsten Beckenbereich. Zur Entnahme der über das gesamte Epilimnion integrierenden Mischprobe stand ein summierender Wasserschöpfer nach Schröder in Verwendung. Seewasser- Proben zur Quantifizierung des Phytoplanktons wurden unfiltriert in mit Lugol'scher Lösung versetzte 150-ml Braunglasflaschen abgefüllt. Aus demselben Schöpfer wurden Proben zur Analyse chemisch-physikalischer Parameter und des Chlorophyll-a-Gehalts entnommen. Zusätzlich wurde an jedem Termin die Sichttiefe mit einer weißen Scheibe von 20 cm Durchmesser (Secchi-Scheibe) ermittelt.

Als Epilimnion (bzw. euphotische Zone) wurde für alle Seen pragmatisch die 0 - 21 m-Schicht angenommen, ungeachtet der zwischen den Seentypen bestehenden Transparenz-Unterschiede, sowie saisonal zu erwartender Schwankungen im Lichtklima, bzw. der jeweiligen Schichtungsphase. Die wahre Ausdehnung dieser für die photosynthetische Produktion relevanten Schicht lässt sich näherungsweise durch Annahme der 2,5-fachen Sichttiefe abschätzen.

2.3. Auswertungen

Qualitative Untersuchungen und Artbestimmungen des Phytoplanktons wurden an lugol-und formalin-fixiertem Material vorgenommen. Lebendproben zur Identifizierung/Validierung taxonomisch schwieriger Taxa standen nicht zur Verfügung. Diatomeenpräparate wurden für jeden Termin durch Verglühen der Proben in einem Efco 110-Muffelofen (500°C, 30 min) und anschließendem Einschluss in Naphrax angefertigt.

Die quantitative Analyse des Phytoplanktons erfolgte im Umkehrmikroskop (Telaval 3, Jena) nach Sedimentation von jeweils 100 ml in Röhrenkammern, entsprechend der Methode nach Utermöhl (1958; DIN EN 15204:2006). Zur Ermittlung des Biovolumens einzelner Arten wurden deren Zelldimensionen an geometrische Körper angeglichen (Deisinger, 1984; CEN TC 230/WG 2/TG 3:2007).

Zur Artbestimmung wurde die jeweils aktuelle taxonomische Literatur verwendet. Sofern aufgrund nomenklatorischer Änderungen, taxonomischer Neuzuordnung, Rangänderung oder Synonymisierung einzelne im Bestimmungswerk verwendete, bewertungsrelevante Namen von

jenen im hier zugrunde liegenden Bewertungsschema abwichen, wurde der Name aus letzterem für die Beurteilung beibehalten. Das Taxon würde ansonsten als trophischer Indikator keinen Einfluss auf die Berechnung des Brettum-Index mehr haben. Ungeachtet dessen kann aber in den Artenlisten ein Taxon auch unter dem aktuelleren Namen gelistet sein, sofern dieser als gut begründet erscheint.

Zur vergleichenden Darstellung der Dominanz (Biomassedominanz) quantitativ bedeutsamer Arten werden folgende Kategorien unterschieden: eudominant: > 10% Biovolumsanteil, dominant: 5–10 %, subdominant: 2–5%. Taxa mit geringeren Anteilen (rezedent: 1–2 %, subrezedent <1%) können ausnahmsweise Bewertungsrelevanz erlangen, sofern ihnen ein hohes trophisches Indikationsgewicht zugewiesen wird (Brettum-Index!).

Indikator-Arten für den trophischen Zustand eines Gewässers, die als solche auch mit den entsprechenden Brettum-Scores im Bewertungsschema gelistet sind, werden im Text mit [] wie folgt als solche hervorgehoben: [o] oligotroph, [om] oligo-mesotroph, [m] mesotroph, [me] mesoeutroph, [e] eutroph.

2.4. Zusammenfassende Bewertungen

Die ökologische Zustandsbewertung des Sees (Bundesmessstellen) erfolgt letztendlich über die Beurteilung einer Abweichung vom theoretischen Referenzzustand, berechnet als Ecological Quality Ratio (EQR). Es handelt sich dabei um ein auf der Arbeit von Brettum (1989) basierendes Berechnungsverfahren, standardisiert anhand einer international interkalibrierten Bewertungsmethode für die Parameter Gesamtbiovolumen und Brettum-Index (MS Excel-File, bereitgestellt auf http://wasser.lebensministerium.at/; Wolfram & Dokulil, 2010; Wolfram *et al.*, 2013). Dabei wird primär die Entwicklung des Biovolumens (und seiner EQR = EQR_{BV}), sowie relativer Anteil und trophisches Indikationsgewicht von photoautotrophen Indikatorarten (Brettum-EQR = EQR_{B.l.}) berücksichtigt. Heterotrophe, systematisch aber dem Algenplankton zugerechnete Arten bleiben unberücksichtigt. Entsprechend dem Indikationsgewicht einer Art für einen bestimmten Trophie-Bereich wird anhand der Verteilung taxon-spezifischer Trophie-Scores (Brettum-Scores) der Brettum-Index berechnet. Eine abnehmende EQR_{B.l.} spiegelt zunehmende Nährstoffbelastung wieder. Mit Erweiterung des Verfahrens wurde als weiterer Parameter Chlorophyll-a miteinbezogen, das mit gleicher Gewichtung wie das Biovolumen in die Beurteilung eingeht (Wolfram et al., 2013).

Die Referenzwerte für Biovolumen, Chlorophyll-a und Brettum-Index können je nach IC-Seentyp (AL3 oder AL4) und Lage der Seen innerhalb einer natürlichen Bandbreite des trophischen Grundniveaus schwanken. Hier spielen nicht zuletzt geografische Lage und hydromorphologische Rahmenbedingungen eine wichtige Rolle.

Die Bewertung der Gewässer für das Einzeljahr beruht auf den aus den arithmetischen Mitteln der Parameter Biovolumen, Brettum-Index und Chlorophyll-a berechneten, normierten EQR-

Werten. Die Gesamt-EQR berechnet sich aus dem arithmetischen Mittel dieser normierten EQR-Werte.

In den folgenden Tabellen sind für alle zu bewertenden Seen EQR-relevante Referenzwerte und Klassengrenzen gemäß ihrer typologischen und trophischen Zuordnung zusammengefasst (Tab. 2). Die möglichen Zustandsbewertungen als Ergebnis des normierten EQR-Wertes und entsprechende Grenzwerte zeigt Tab. 3.

Tabelle 2: Referenzwerte, Klassengrenzen und EQR-Werte für die Kenngrößen Brettum-Index, Gesamtbiovolumen und Chlorophylla in den Oberösterreichischen GZÜV-Seen (nach Wolfram et al., 2013) – H/G: sehr gut/gut, G/M: gut/mäßig; inklusive Einordnung nach Europäischer (IC) und Österreichischer Seentypologie und Lage der Referenzwerte innerhalb der natürlichen Bandbreite, sowie trophische Zuordnung. – AL3, AL4: Alpine Lake Types; B2: Große Seen des Bayerisch-Österreichischen Alpenvorlandes; D1: Große, tiefe Seen der Nördlichen Kalkalpen (400–600 m ü.A.); D2b: Große flache bis mäßig tiefe Seen der Kalkvoralpen (600–800 m ü.A.), Z_{avg} <15 m; D3: Große Seen der Zentralalpen 600–800 m ü.A.

			Lage		Brettum Index			EQR _{B.I.}	
	ІС-Тур	АТ-Тур	innerhalb Bandbreite	Trophisches Grundniveau	Ref	H/G	G/M	H/G	G/M
Attersee	L-AL3	D1	Mitte	oligotroph	5,19	4,29	3,39	0,827	0,654
Hallstätter	L-AL3	D1	Min	oligotroph	5,29	4,37	3,46	0,827	0,654
Irrsee	L-AL4	B2	Mitte	Oligo-mesotroph	4,07	3,54	3,00	0,87	0,74
Mondsee	L-AL3	D1	Mitte	oligotroph	5,19	4,29	3,39	0,827	0,654
Traunsee	L-AL3	D1	Min	oligotroph	5,29	4,37	3,46	0,827	0,654

			Lage	Trophisches	Gesa	mtbiovo (mm³ l ⁻		EC	R _{BV}
	ІС-Тур	AT-Typ	innerhalb Bandbreite	Grundniveau	Ref	H/G	G/M	H/G	G/M
Attersee	L-AL3	D1	Mitte	oligotroph	0,25	0,42	1,00	0,60	0,25
Hallstätter See	L-AL3	D1	Min	oligotroph	0,20	0,33	0,80	0,60	0,25
Irrsee	L-AL4	B2	Mitte	Oligo-mesotroph	0,60	0,94	2,31	0,64	0,26
Mondsee	L-AL3	D1	Mitte	oligotroph	0,25	0,42	1,00	0,60	0,25
Traunsee	L-AL3	D1	Min	oligotroph	0,20	0,33	0,80	0,60	0,25

			Lage	Trophisches	Chlorophyll-a (µg l ⁻¹)			EQR _{Ch}	
	ІС-Тур	АТ-Тур	innerhalb Bandbreite	Grundniveau	Ref	H/G	G/M	H/G	G/M
Attersee	L-AL3	D1	Mitte	oligotroph	1,70	2,43	4,25	0,70	0,40
Hallstätter See	L-AL3	D1	Min	oligotroph	1,50	2,14	3,75	0,70	0,40
Irrsee	L-AL4	B2	Mitte	Oligo-mesotroph	3,00	4,00	7,32	0,75	0,41
Mondsee	L-AL3	D1	Mitte	oligotroph	1,70	2,43	4,25	0,70	0,40
Traunsee	L-AL3	D1	Min	oligotroph	1,50	2,14	3,75	0,70	0,40

Tabelle 3: Mögliche Zustandsklassen

Sehr gut (Excellent)	nEQR > 0,7999
Gut (Good)	nEQR > 0,5999 < 0,80
Mäßig (Moderate)	nEQR > 0,3999 < 0,60
Unbefriedigend (Poor)	nEQR > 0,1999 < 0,40
Schlecht (Bad)	nEQR < 0,20

3. Ergebnisübersicht

3.1. Übersicht der Phytoplanktonergebnisse 2022

(Tab. 4)

Tabelle 4: Ökologische Zustandsklassen an den einzelnen Probenahmeterminen 2022 für alle Oberösterreichischen GZÜV-Seen, mit Jahres- und Dreijahres-Mittelwerten

	ÖKOLOGISCHER ZUSTAND											
Oberösterreichische Seen 2022												
Datum	BV [mm³/l]	B.I.	Chl-a	BV nEQR	B.I. nEQR	Chl-a nEQR	Gesamtbe normier PN-Termin/		Zustandsklass		asse Dreijahres-	
							Einzeljahr	mittel	Termin	Einzeljahr	mittel	
						A	TTERSEE					
01.03.2022	0,09	4,49	0,50	1,00	0,84	1,00	0,922		sehr gut			
20.06.2022 03.08.2022	0,16 0,30	5,24 5,43	0,80 1,10	1,00 0,92	1,00 1,00	1,00 1,00	1,000 0,979		sehr gut sehr gut			
03.06.2022	0,30	4,07	0,90	1,00	0,75	1,00	0,979		sehr gut			
	0,17	4,81	0,83	1,00	0,92	1,00	0,958	0,946		sehr gut	sehr gut	
						· · · · ·	STÄTTER S	· · · · · · · · · · · · · · · · · · ·				
07.03.2022	0,03	3,71	0,20	1,00	0,66	1,00	0,828		sehr gut			
13.06.2022	0,06	3,56	1,40	1,00	0,62	1,00	0,811		sehr gut			
10.08.2022	0,14	5,17	1,00	1,00	0,97	1,00	0,987		sehr gut			
23.11.2022	0,06	4,70	0,60	1,00	0,87	1,00	0,935	2.242	sehr gut			
	0,07	4,28	0,80	1,00	0,78	1,00	0,890	0,848		sehr gut	sehr gut	
							IRRSEE					
15.03.2022	0,83	4,03	2,10	0,85	0,99	1,00	0,955		sehr gut			
01.06.2022	0,31	4,64	1,50	1,00	1,00	1,00	1,000		sehr gut			
08.08.2022 02.11.2022	0,39	3,66 3,50	1,90 2,20	1,00 1,00	0,85 0,79	1,00 1,00	0,924 0,894		sehr gut sehr gut			
02.11.2022	0.48	3.96	1.93	1,00	0,75	1,00	0,980	0,962	Scill gut	sehr gut	sehr gut	
	0,40	0,00	1,00	1,00	0,00		MONDSEE	0,302		Serii gat	Sem gat	
18.01.2022	0,44	3,81	1,80	0,78	0,69	0,96	0,782		gut			
15.02.2022	1,03	3,75	2,80	0,59	0,68	0,74	0,672		gut			
21.03.2022	1,56	3,80	2,40	0,48	0,69	0,81	0,666		gut			
19.04.2022	0,60	3,75	2,30	0,70	0,68	0,83	0,720		gut			
11.05.2022 07.06.2022	0,43 0,65	3,83 4,24	2,50 2,80	0,79 0,68	0,70 0.79	0,79 0,74	0,742 0,748		gut			
07.06.2022	0,65	3,73	3,60	0,68	0,79	0,74	0,748		gut gut			
01.08.2022	0,69	4,13	3,30	0,72	0,07	0,68	0,717		gut			
07.09.2022	0,58	3,64	3,10	0,71	0,66	0,70	0,679		gut			
05.10.2022	0,69	3,68	3,50	0,66	0,66	0,66	0,663		gut			
07.11.2022	0,74	3,66	3,50	0,65	0,66	0,66	0,656		gut			
12.12.2022	0,29	3,85	3,40	0,93	0,70	0,67	0,750		gut			
	0,69	3,82	2,92	0,66	0,70	0,72	0,694	0,682		gut	gut	
						T	RAUNSEE					
28.03.2022	0,09	4,01	1,00	1,00	0,72	1,00	0,860		sehr gut			
28.06.2022	0,15	3,37	1,30	1,00	0,58	1,00	0,790		gut			
22.08.2022 14.11.2022	0,09 1,18	5,22 2,61	1,20 1,10	1,00 0,49	0,99 0,41	1,00 1,00	0,993 0,580		sehr gut mäßig			
14.11.2022	0,38			0,49	0,41			0,839	maisiy	gut	sohr gut	
L	0,30	3,80	1,15	0,70	0,07	1,00	0,777	U,039		gut	sehr gut	

Jahres- und Dreijahresmittel

Nach zuletzt 2016, wurde 2022 neben dem Mondsee auch der **Traunsee** nur mit "gutem" ökologischem Zustand bewertet, mit einer Gesamt-EQR von 0,78 jedoch auf hohem Niveau, nahe der Klassengrenze zu "sehr gut". Primär ausschlaggebend dafür war ein fast ganzjährig vom trophischen Sollzustand abweichendes Artenspektrum, mit deutlichen Anteilen auch meso- bis eutroph eingestufter Planktonalgen, neben einem signifikant überhöhten Biovolumen im Spätherbst (sechsfacher Referenzwert!). Die daraus im Jahresmittel resultierende trophie-basierte EQR_{B.L.} von nur 0,67 ergab auch den im Vergleich aller Seen niedrigsten Wert. Wiederum wurde für den Traunsee allerdings eine methodische Schwäche offensichtlich (vgl. auch die letztjährigen Gutachten): aufgrund einer starken Dominanz trophisch nicht eingestufter Arten, spielten trophische Indikatorarten meist eine deutlich geringere Rolle als in den anderen Seen. So waren es 2022 nur 6,7 % des Biovolumens, die in die Berechnung des Brettum-Index eingingen! Daraus erklärt sich z. T. auch die v. a. während der ersten Jahreshälfte starke Diskrepanz in der Beurteilung des Sees bei separater Betrachtung nur quantitativer (bestmöglich "sehr gut") bzw. qualitativer (nur "gut" bis "mäßig") Kriterien (Tab. 4).

Der Zustand des **Mondsees** hingegen fügt sich gut ins Bild der vorangegangenen Jahre, mit konstant "guten" Werten, bei nur geringfügigen Schwankungen während des gesamten Jahres (Gesamt-EQR 0,66-0,78). Bei weitgehender Übereinstimmung aller Bewertungsparameter (Tab. 4) ergab sich im Jahresmittel eine "gute" EQR von 0,69. Dieser Wert liegt damit auch leicht über dem Dreijahres- bzw. langjährigem Mittel (EQR = 0,68 bzw. 0,66) (Tab. 6). Alle weiteren GZÜV-Seen wurden 2022 mit "sehr gutem" ökologischem Zustand klassifiziert und das jeweils an jedem Probennahme-Termin! Den im Jahresmittel insgesamt besten Zustand wies der **Irrsee** (EQR = 0,98) auf, vor dem **Attersee** (EQR = 0,96), wobei beide Seen jeweils zu Beginn der Sommerstagnation im Juni mit EQR = 1,00 sogar als leitbildkonform eingestuft werden konnten (Tab. 4).

Im Vergleich des Jahresmittels 2022 mit dem Dreijahresmittel seit 2020, zeigte sich der **Hallstätter See** am deutlichsten verbessert (EQR +0,04) und auch für **Irrsee** (EQR +0,02), **Attersee** und **Mondsee** (jeweils EQR +0,01) ergaben sich geringfügige Verbesserungen. Einzig der **Traunsee** schnitt 2022 deutlich schlechter ab als im Dreijahresmittel (EQR -0,06). Auch im Vergleich mit dem langjährigen Mittel seit 2007 wiesen 2022 alle Seen, mit Ausnahme des **Traunsees** (EQR -0,03), leicht verbesserte Zustände auf (EQR +0,03 – +0,05) (Tab. 6).

Zustandsklasse "sehr gut"

<u>Irrsee</u> – Gesamt-EQR 0,98:

Im Jahresmittel waren sowohl Algen- und Chlorophyll-a-Konzentration mit $nEQR_{Chl-a} = 1,00$ konform mit dem Leitbild eines L-AL4-Sees, doch bewirkten hohe Dominanzen von als mesoeutroph eingestufte Arten während der zweiten Jahreshälfte einen im Vergleich zum Idealzustand zeitweise erniedrigten und stark fluktuierenden Brettum-Wert ($nEQR_{B.l.}$ 0,79 – 1,00) (Tab. 4). Primär ausschlaggebend dafür war eine ganzjährige Eudominanz des fädigen Cyanobakteriums *Planktothrix rubescens* [me], gemeinsam mit den ungünstig eingestuften Kieselalgen *Cyclo*-

tella radiosa [me] und *C. ocellata* [me] während der Sommermonate, sowie mit dem Cyanobacterium *Snowella lacustris* [m] im Herbst [Tab. 6.2.4.].

Nach quantitativen ($nEQR_{BV}$, $nEQR_{Chl-a} = 1,00$) Kriterien stets leitbildkonform, wich die Artenzusammensetzung leicht vom theoretischen Idealzustand ab ($nEQR_{B.l.} = 0,96$), bei ganzjährig "sehr gutem" ökologischem Zustand.

Attersee - Gesamt-EQR 0,96:

Wie bereits in den Jahren davor, ergaben sowohl Biovolumen, als auch Chlorophyll-a-Gehalt für 2022 mit EQR 1,0 jeweils leitbildkonforme Bedingungen und "sehr guter" ökologischer Zustand auf hohem Niveau ergab sich auch aus der Sicht des Artenspektrums (EQR = 0,92). Der Brettum-Index schwankte dabei zwischen Stagnations- und Durchmischungsperioden, was primär auf nennenswerte Anteile auch meso-eutroph eingestufter Arten (*Chrysochromulina parva* [me], *Stephanodiscus neoastraea* [me], *Planktothrix rubescens* [me],) während der Durchmischungsperioden zurückzuführen war, bei gleichzeitig hohem Anteil trophisch nicht eingestufter Arten. Als Konsequenz daraus ergäbe sich bei alleiniger Berücksichtigung des Brettum-Index eine nur "gute" Einstufung im November ($nEQR_{B.l.} = 0,72$; Tab.4).

Ganzjährig leitbildkonform geringe Algenmengen und damit "sehr guter" ökologischer Zustand, bei fluktuierendem Brettum-Index aufgrund signifikanter Anteile auch von als "höhere Nährstoffkonzentrationen bevorzugend" eingestuften Arten während der Zirkulationsphasen.

Hallstätter See – Gesamt-EQR 0,89:

Im produktionsärmsten aller GZÜV-Seen lagen sowohl Algenmengen als auch gemessenes Chlorophyll-a stets erheblich unter den jeweiligen Referenzwerten, daher quantitativ ökologischer Bestzustand! Es fällt jedoch auch 2022 wieder die für den Hallstätter See vergleichsweise starke Präsenz meso- bis meso-eutroph, oder sogar eutroph eingestufter Arten auf. Neben einer im Jahresmittel hohen Dominanz der Kieselalge *Stephanodiscus neoastraea* [me], trugen weiters geringe Mengen von im höheren Trophie-Bereich eingestuften Taxa (*S. minutulus* [e], *Planktothrix rubescens* [me], *Staurastrum cingulum* [e]) abträglich zum trophisch definierten Brettum-Index bei. Begünstigt wird dieser Effekt eines zeitweise stark erniedrigten und im Jahresmittel nur "guten" Zustand indizierenden Brettum-Index (Tab. 4), durch eine hohe Dominanz trophisch nicht eingestufter Arten (Cryptoflagellaten!).

Im Jahresmittel 2022 "sehr guter" ökologischer Zustand, bei ganzjährig geringen Algen- und Chlorophyll-Werten, aber stark schwankendem Brettum-Index aufgrund signifikanter Mengen meso- bis meso-eutroph eingestufter Arten (nEQR_{B.I.} 0,62 – 0,97).

Zustandsklasse "gut"

Traunsee – Gesamt-EQR 0,78:

2022 wurde für den Traunsee ein nur "guter" ökologischer Zustand ermittelt, mit einer für diesen See ungewöhnlich starken, spätherbstlichen Algenentwicklung als dem zugrunde liegendem Ereignis. Bei hoher Dominanz von Cryptoflagellaten, neben der pennaten Kieselalge *Fragilaria crotonensis* (trophisch nicht eingestuft), wich die Artenzusammensetzung aufgrund signifikanter Anteile von im Bewertungsschema als meso- bis eutroph eingestuften Arten vom trophischen Leitbild ab, mit dem Effekt eines stark schwankenden ($nEQR_{B.l.}\ 0.41-0.99$) und im Jahresmittel nur schwach "guten" Brettum-Index. Der Effekt trophisch ungünstig eingestufter Taxa (u. a. *Diatoma tenuis* [e], *Stephanodiscus neoastraea* [me]) wurde durch den insgesamt geringen Anteil des vom Brettum-Index erfassten Biovolumens (6,7 % im Jahresmittel!) erheblich verstärkt. Daher im Jahresmittel nur "guter" ökologischer Zustand.

Bei zwischen den Terminen stark schwankendem, von "sehr gutem" bis nur "mäßigem" ökologischem Zustand, ergab sich im Jahresmittel "guter" Zustand. Dabei wichen sowohl Artenzusammensetzung als auch Biovolumen zeitweise erheblich vom Referenzzustand ab, mit leichter Algenblüte (6-facher BV-Referenzwert) im Spätherbst. Daher nur "gut" (EQR_{Gesamt} = 0,777) im Jahresmittel.

Mondsee - Gesamt-EQR 0,69:

Wie bereits durchgehend seit 2015, ergab sich auch 2022 wieder nur "guter" ökologischer Zustand. Dieser blieb über das gesamte Jahr bemerkenswert stabil, unisono bestätigt durch alle Beurteilungs-Parameter (nEQR_{B.I., BV, Chl-a} 0,66-0,72) (Tab. 4). An keinem der (monatlichen) Termine befand sich der See in "sehr gutem" Zustand, zumeist entsprach das Biovolumen dem zwei- bis dreifachen Referenzwert und aufgrund der ganzjährig hohen Dominanz des als mesoeutroph eingestuften *Planktothrix rubescens* blieb auch der Brettum-Index erniedrigt.

Sowohl mengenmäßig aufgrund stets überhöhter Biovolumina, als auch in seiner Artenzusammensetzung mit hoher Dominanz meso-eutropher Taxa, wich das Phytoplankton während des gesamten Jahres deutlich vom Referenzzustand ab, mit durchgehend als "gut" beurteiltem Zustand (EQR $_{Gesamt} = 0,69$).

3.1.1. Artenzahlen

(Tab. 4.2.1. – 8.2.1, 4.2.4. – 8.2.4)

Ein quantitativer Vergleich der Artenvielfalt im Algen- und Cyanobakterienplankton der Oberösterreichischen GZÜV-Seen fällt 2022 ähnlich aus wie in den Jahren davor: wiederum wurde im **Mondsee** mit 87 Arten die höchste Diversität festgestellt, hier allerdings an 12 Terminen im Vergleich zu den jeweils nur 4 Terminen in den anderen Seen. Die höchste Artenzahl an einem Einzeltermin wurde hingegen im **Attersee** (gesamt 75 Taxa) mit 52 Taxa im November festgestellt, verglichen mit 51 im Mondsee (August). Eine etwas geringerer Diversität wies der **Traun**-

see auf (gesamt 75/ max. 46 [August]), gefolgt vom Irrsee (67/45 [August]). Das gewohnt artenärmste Gewässer war wiederum der Hallstätter See mit insgesamt nur 40 Arten, bei maximal 31 Taxa an einem Einzeltermin (Juni). Die durchschnittlich höchste Artenzahl pro Einzeltermin wurde im Jahr 2022 mit 44,3 Arten im Attersee festgestellt, gefolgt von Mondsee (39,8), Irrsee (38,3) und Traunsee (38,0); nur durchschnittlich 24,5 Arten waren es im Hallstätter See. Zum Vergleich der Entwicklung der Artenzahlen in den einzelnen Seen während dieses und auch der vorangegangenen Jahre, sei auf die jeweilige Zusammenfassung der quantitativen und qualitativen Auswertungen in den Ergebnistabellen verwiesen (Tab. 4.2.1. bis Tab. 8.2.1., hier und vorjährige Gutachten).

3.1.2. Taxonomische Zusammensetzung nach Algenklassen¹

(Fig. 4.3. – 8.3.: Biovolumen Algenklassen [%])

Zum Vergleich der Vorkommen quantitativ bedeutsamer Arten und deren anteilsmäßiger Bedeutung, sind im Anhang für alle Gewässer und zu allen Jahreszeiten jene Phytoplankton-Taxa gelistet, die relative Anteile von ≥ 3 % am jeweiligen Gesamt-Biovolumen erreichten, gemeinsam mit individuellen Biovolumina und relativen Anteilen (Tab. 10.2.).

Im Jahr 2022 waren in allen Seen, mit Ausnahme des "Cryptomonaden-Gewässers" Hallstätter See, Kieselalgen die im Jahresmittel dominierende Algengruppe. Damit waren Kieselalgen nach dreijähriger Dominanz von Dinoflagellaten auch im Attersee, wie bereits zuvor in allen Jahren seit 2007, die quantitativ wichtigste Gruppe, 2022 mit immerhin 43,3 % Anteil! Dinophyceen waren in diesem Jahr mit 25 % ko-dominant im Attersee! Der Mondsee hatte sich während der letzten Jahre zu einem ausgesprochen Cyanobakterien-dominierten See entwickelt, mit Blaualgen-Dominanz im Jahresmittel seit 2015! Im abgelaufenen Untersuchungsjahr war diese Gruppe im Jahresmittel mit immerhin noch knapp 34 % Anteil kodominant neben Kieselalgen. Eine Kodominanz von Cyanobakterien (neben Kieselalgen) wurde im Mondsee seit 2007 erstmals 2011 beobachtet, wobei es sich damals noch fast ausschließlich um coccale Arten handelte und erst ab 2013 wurde die filamentöse Art *Planktothrix rubescens* zum wichtigsten Vertreter der Cyanobakterien. Noch bis 2017 blieben die Kieselalgen die am stärksten vertretene Algenklasse im Mondsee, so auch wieder 2022 mit 42 % Anteil.

Weitgehend stabil im Langzeitvergleich des Auftretens taxonomischer Großgruppen, blieb der Hallstätter See als "Cryptomonaden-Gewässer". Seit 2011 ist hier das Seenplankton ganzjährig von kleinen Cryptoflagellaten geprägt, zumeist mit Diatomeen (seltener Dinophyceen) als Kodominatoren, so auch 2022. Demgegenüber könnte der Traunsee als "Kieselalgen-See" tituliert werden, da hier seit Beginn des Monitorings mit nur einer Ausnahme (2008) stets Kieselalgen im Jahresmittel dominierten. Besonders stark ausgeprägt war die Kieselalgen-Dominanz hier während der letzten Jahre, bei knapp 66 %, 46 %, bzw. 47 % Diatomeen-Anteil in den Jahren 2020, 2021 bzw. 2022. Dabei machten die zumeist trophisch gut eingestuften centrischen Arten neben der Hauptart *Fragilaria crotonensis* nur den kleineren Anteil aus. Besonders stabil erschien das Dominanzgefüge im Traunsee, da seit 2011 auch durchgehend Cryptomonaden als Kodomina-

¹ Aus praktischen Gründen werden hier auch Cyanobakterien ("Blaualgen") mitbehandelt, obwohl es sich dabei um Prokaryoten (Gram-negative Bakterien) handelt. Alle Algen im engeren Sinne sind Eukaryoten.

toren ermittelt wurden, im Jahr 2022 allerdings mit 47,0 % annähernd gleich stark wie die Kieselalgen (47,4 %). Cyanobakterien waren im Traunsee meist unbedeutend, zuletzt mit nur 0,4 % Anteil im Jahresmittel, im Jahr davor fehlten sie praktisch völlig.

Deutlich dynamischer war die Sukzession der Algenklassen und deren anteilsmäßige Bedeutung in den Jahren seit 2007 im **Irrsee**. Insgesamt vier Großgruppen erlangten seither im Jahresmittel Dominanz! Neben (zumeist) den Kieselalgen waren das Chrysophyceen, Dinophyceen und Cyanobakterien, mit einer noch abwechslungsreicheren Abfolge kodominanter Gruppen (am häufigsten Cyanobakterien, Chrysophyceen und Dinophyceen). Im Jahr 2022 prägten neben den Diatomeen Cyanobakterien (*Planktothrix*!) (19 %) und Dinophyceen (16 %) das Irrsee-Plankton.

3.2. Zustands-Vergleich mit den Vorjahren

Für das Jahr 2022 erfolgte die ökologische Beurteilung der Seen bereits zum zehnten Mal nach dem seit 2013 gültigen Bewertungsschema. Seither wird als quantitativer Parameter neben dem Biovolumen auch dessen Surrogatparameter Chlorophyll-a mit gleicher Gewichtung mitberücksichtigt und steht eine überarbeitete Liste der bewertungsrelevanten Indikator-Arten mit aktualisierter trophischer Einstufung zur Verfügung. Die aktuellen Ergebnisse sind daher erst mit jenen seit 2013 unmittelbar vergleichbar, nicht zuletzt weil sich im Jahr davor (2012) auch der Probenahme-Modus verändert hat: galt zuvor die dreifache Sichttiefe nach Secchi als Maß für die Ausdehnung der euphotischen Zone und damit die gewählte Probenahmetiefe, wurde ab 2012 für alle GZÜV-Seen einheitlich der Bereich 0-21 Meter als summierende Probenahmetiefe gewählt. Im Wesentlichen aber sollten die Beurteilungen der Seen von Anfang an vergleichbar sein, scharfe Grenzziehungen im unmittelbaren Bereich von Klassengrenzen aber mit Vorsicht interpretiert werden. So wurde z.B. der Hallstätter See in den ersten sechs Jahren stets nur mit "Gut" bewertet, in vier davon allerdings mit EQR-Werten von 0,78 - <0,80, also im Übergangsbereich zu "Sehr gut". Von 2013 bis 2022 entsprach der Hallstätter See dann einheitlich "sehr guten" Bedingungen, ausgenommen 2021 als er unmittelbar an der Klassengrenze zu "sehr gut" nur mit "gut" beurteilt wurde. Diese in den vergangenen Jahren tendentielle Verbesserung dürfte nicht zuletzt auch auf die Verfeinerung des Bewertungsverfahrens mit Hinzunahme des Chlorophyll-a im Jahr 2013 zurückzuführen sein. Dies wurde bereits in meinen vorangegangenen Jahresberichten versucht herauszuarbeiten und bestätigt sich auch nach Hinzunahme der Daten von 2022. Vergleiche dazu Tab. 5 unten und meine Vorjahresberichte seit 2016. Im langjährigen Vergleich der Seenentwicklung seit Wiederaufnahme des Monitorings im Jahr 2007 (Tab. 6), soll daher diese einschneidende methodische Änderung bei allfälligen Interpretationen mitberücksichtigt werden.

Im Zeitraum 2007 bis 2022 wurden nur **Attersee** und **Irrsee** durchgehend mit "sehr gutem" ökologischem Zustand beurteilt, das Dreijahresmittel seit 2020 entspricht mit jeweils EQR = 0,94 in beiden Seen annähernd dem Sollzustand. Wiederum eine weitgehend leitbildkonforme Beurteilung für den Attersee gab es 2022 mit einer Gesamt-EQR von 0,96, im Irrsee ergab sich mit Gesamt-EQR = 0,98 ein auch über lang- und dreijährigem Mittel liegender Wert. Mit der seit 2015 bereits üblichen Ausnahme des **Mondsees**, entsprachen somit alle Seen sowohl im Dreijahres-

mittel seit 2020, als auch im langjährigen Mittel seit 2007, einem "sehr guten" Zustand. Der Mondsee liegt hier mit einer EQR von 0,68 im mittleren Bereich von "Gut".

Die Gesamt-EQR des **Irrsees** schwankte in den letzten Jahren zwischen "sehr gut" auf hohem Niveau, bis zuletzt weitgehend leitbildkonform (Gesamt-EQR 0,98). Die im Vergleich zum Vorjahr (0,92) bessere Beurteilung im Jahr 2022 erklärt sich, wie generell die Schwankungen während der letzten Jahre, primär aus einer veränderten Dominanzstruktur im Phytoplankton, vor allem aber aus einer unterschiedlich starken Populationsentfaltung des als meso-eutroph eingestuften *Planktothrix rubescens*. Trotz ganzjähriger Eudominanz dieses Cyanobakteriums auch 2022, blieben seine Populationsdichten geringer als noch im Jahr davor, mit Verschiebungen zugunsten centrischer Kieselalgen und innerhalb dieser von der trophisch ungünstig eingestuften *Cyclotella radiosa* zugunsten des Oligotrophiezeigers *C. cyclopuncta*. Bei quantitativ weitgehend dem Sollzustand entsprechenden Bedingungen, erhöhte sich demzufolge der Brettum-Wert von 3,64 (EQR_{B.L.} = 0,84) im Jahresmittel 2021 auf 3,96 (EQR_{B.L.} = 0,96) 2022. In ähnlicher Weise erklären fast stets Verschiebungen im Artengefüge die leichten Unterschiede in der Zustandsbeurteilung des Irrsees der vergangenen Jahre.

Im **Traunsee** wurde mit Gesamt-EQR = 0,78 der seit 2016 niedrigste Wert und damit nur "guter" ökologischer Zustand verzeichnet. Dieser Wert lag erheblich unter dem Dreijahresmittel und auch unter dem langjährigen Mittel (Tab. 6). Während der vergangenen Jahre kam es im Traunsee immer wieder zu einer vergleichsweise ungünstigen Gesamtbeurteilung ("sehr gut" auf niedrigem Level, nahe der Klassengrenze zu "gut"), ungeachtet der auch im mehrjährigen Mittel fast stets geringen und annähernd leitbildkonformen Algenmengen. Dies lag zumeist am geringen Anteil von am Brettum-Index beteiligten trophischen Indikatorarten, wodurch der EQR_{B.I.} labil blieb und anfällig war auf geringe Mengen trophisch ungünstig eingestufter Arten abträglich zu reagieren. Für die z. T. deutlichen Schwankungen der EQR-Jahresmittel, aber auch Schwankungen innerhalb eines Einzeljahres, waren überwiegend Veränderungen innerhalb der Artenspektra ausschlaggebend, v. a. Anteils-Verschiebungen innerhalb der Diatomeen, wie Verlagerungen von centrischen zu pennaten Arten, bzw. von trophisch eingestuften zu im Bewertungsschema nicht erfassten Arten. Dementsprechend erklärt sich 2022 der im Vergleich zu den Vorjahren deutlich schlechtere Zustand des Traunsees aus erhöhten Anteilen nährstoffliebender Arten (Diatoma tenuis [e], Stephanodiscus neoastraea [me]), neben einer für diesen See ungewöhnlich starken, spätherbstlichen Algenentwicklung, mit einem um den sechsfachen Referenzwert überhöhten Biovolumen.

Im **Mondsee** brachten die Jahre 2021 und 2022 mit Gesamt-EQR = 0,72 bzw. 0,69 eine leichte Verbesserung, nach zuletzt deutlich abnehmendem Trend und dem im Jahr 2020 mit Gesamt-EQR = 0,64 schlechtesten Wert seit Beurteilung nach dem neuen Bewertungsschema. Der ökologische Zustand des Sees war damit auch besser als im Dreijahresmittel und auch verglichen mit dem langjährigen Mittel. Ausschlaggebend dafür war in beiden Jahren, dass sowohl Algenmengen, als auch Chlorophyll-Gehalt fast ganzjährig und nur mit geringen Schwankungen, im mittleren bis niedrigen Bereich blieben, bei gleichzeitig nicht allzu stark vom theoretischen Sollzustand eines oligotrophen Voralpensees abweichender Artenzusammensetzung (EQR_{B.L} = 0,68

- 0,70). Dies wurde an fast allen Terminen und durch alle Parameter in ähnlichem Ausmaß bestätigt.

Der Zustand des **Attersees** entsprach auch 2022 weitgehend jenem vergangener Jahre, wobei die aktuelle Beurteilung mit EQR_{Gesamt} = 0,958 eine leichte Verbesserung sowohl des langjährigen, als auch des Dreijahresmittels bedeutete. Die Schwankungen zwischen den Jahren unterlagen aber keinem erkennbaren Trend und waren stets auf Unterschiede in der Dominanzstruktur der Algenzönosen zurückzuführen. Je nach Auftreten von im Bewertungsschema trophisch ungünstig eingestufter Arten, wurde entsprechend derem Indikationsgewicht die EQR_{B.L.} mehr oder weniger abträglich beeinflusst. So erklärt sich der zuletzt sehr gute mittlere Brettum-Index von 4,81 (nEQR_{B.L.} = 0,92) vorrangig aus der ganzjährigen Dominanz des Oligotrophie-Zeigers *Cyclotella cyclopuncta*, ungeachtet auch nennenswerter Anteile von als meso-eutroph eingestufter Arten im Spätherbst. In quantitativer Hinsicht indizierten im Jahresmittel aber stets sowohl nEQR_{BV} und nEQR_{Chl-a} mit dem bestmöglichen Wert (1,00) einen leitbildkonformen ökologischen Zustand.

Nach dem nur "guten" Zustand des Hallstätter Sees im Vorjahr, verursacht durch eine ungewöhnliche Dominanz der als Eutrophie-Zeiger eingestuften Jochalge Mougeotia sp. im Herbst 2021, konnte der See 2022 wieder mit "sehr gut" beurteilt werden. Mougeotia sp. wurde in diesem Jahr nicht mehr gefunden und es kann angenommen werden, dass es sich dabei um ein kurzfristiges und vielleicht nur zufällig erfasstes Einzelereignis handelte, die nur "gute" Beurteilung 2021 daher ein der geringen Probennahme-Frequenz geschuldetes Artefakt ist. Mit der für den Hallstätter See hohen Gesamt-EQR = 0.89 präsentierte sich der See auch in besserem Zustand als im drei- oder langjährigen Mittel (Tab. 6). Der kürzlich geäußerte Verdacht eines leicht abnehmenden Trends im ökologischen Zustand des Hallstätter Sees während der letzten Jahre (Jersabek, 2021; 2022) hat sich demnach nicht bestätigt. Die Schwankungen zwischen den vergangenen Jahren unterlagen keinem erkennbaren Trend und waren stets auf Unterschiede in der Dominanzstruktur des Planktons zurückzuführen, bei stets leitbildkonformem Zustand nach quantitativen Kriterien (nEQR_{BV} und nEQR_{Chl-a} = 1,0). Je nach Auftreten von im Bewertungsschema als nährstoffliebend eingestuften Arten, wurde entsprechend derem Indikationsgewicht die EQR_{B.L} mehr oder weniger abträglich beeinflusst. Eine wesentliche Rolle kam dabei im Verlauf der vergangenen Jahre der centrischen Kieselalge Stephanodiscus neoastraea zu (vgl. Vorjahresberichte).

Tabelle 5: Vergleich der mittleren Gesamt-EQRs für die Datenerhebungs-Zeiträume vor und nach Verfeinerung des Bewertungsverfahrens ab 2013

ATTERSEE	HALLSTÄTTER SEE	IRRSEE	MONDSEE	TRAUNSEE						
	Gesamt E	QR - Mittel	2007-2012							
0,87	0,76	0,90	0,59	0,72						
	Gesamt E	QR - Mittel	2013-2022							
0,96	0,89	0,95	0,71	0,86						
Pro	Prozentuelle Zunahme der Gesamt-EQR									
11,2%	18,0%	5,8%	20,5%	20,3%						

Tabelle 6: Entwicklung der Gesamt-EQR im Jahresmittel seit 2007 für alle Oberösterreichischen GZÜV-Seen.

		E	QR gesa	mt	
Jahr	ATTERSEE	HALLSTÄTTER SEE	IRRSEE	MONDSEE	TRAUNSEE
2007	0,91	0,74	0,88	0,54	0,62
2008	0,86	0,80	0,90	0,59	0,72
2009	0,86	0,63	0,87	0,66	0,77
2010	0,84	0,79	0,94	0,53	0,59
2011	0,87	0,79	0,91	0,57	0,78
2012	0,85	0,78	0,89	0,64	0,82
2013	0,95	0,91	0,89	0,70	0,99
2014	0,99	0,99	0,96	0,82	0,93
2015	0,99	0,91	0,96	0,70	0,88
2016	0,98	0,87	0,96	0,70	0,78
2017	0,96	0,92	0,94	0,74	0,87
2018	0,95	0,88	0,99	0,70	0,85
2019	0,95	0,89	0,92	0,68	0,80
2020	0,94	0,86	0,99	0,64	0,82
2021	0,94	0,80	0,92	0,72	0,92
2022	0,96	0,89	0,98	0,69	0,78
		lang	jähriges N	littel	
sehr gut	0,93	0,84	0,93	0,66	0,81
gut		Dreijahre	smittel 20	20 - 2022	
mäßig	0,95	0,85	0,96	0,68	0,84

4. ATTERSEE

4.1. Gutachten Phytoplankton

Ergebnisübersicht für das Untersuchungsjahr 2022 sowie 3-Jahresmittel

Ergebnisübersicht der Untersuchungstermine eines Jahres

sowie 3-Jahresmittel

Datum	Chlorophyll-a [µgL ⁻¹]	Biovolumen* [mm³L-1]	Brettum-Index
2022-03-01	0,50	0,09	4,49
2022-06-20	0,80	0,16	5,24
2022-08-03	1,10	0,30	5,43
2022-11-09	0,90	0,12	4,07

^{*}Abz. heterotrophe Arten

Jahr		ophyll-a mittelwert)	Biovolu (Jahresmit		Brettum-Index (Jahresmittelwert)				Gesamtbewertung (gewichteter MW)	Ökologische Zustandsklasse
	[µgL ⁻¹]	nEQR	[mm ³ L ⁻¹]	nEQR	Index	nEQR	nEQR			
2020	1,30	1,00	0,23	1,00	4,66	0,88	0,941	Sehr gut		
2021	0,85	1,00	0,15	1,00	4,65	0,88	0,939	Sehr gut		
2022	0,83	1,00	0,17	1,00	4,81	0,92	0,958	Sehr gut		
		3	3 Jahresmitt	el			0,946	Sehr gut		

BEURTEILUNG

Qualitätselement Phytoplankton im Untersuchungsjahr 2022	<u>Sehr gut</u>
Qualitätselement Phytoplankton im 3-Jahresmittel (2020-2022)	Sehr aut

Angaben zum See, zur Untersuchungsstelle und Probenahmen

See und Untersuchungsstelle									
Gewässername	Attersee		Höhe Messpunkt [m]						
Messstellenname			Fläche [km²]		46,2				
(GZÜV-)Messstellen_ID			Maximale Länge [km]		18,9				
Rechtswert	466.214		Maximale Breite [km]		3,5				
Hochwert	305.706		Maximale Tiefe [m]		171				
Median	31		Mittlere Tiefe [m]		84				
Detail WK Name			Gesamtvolumen [Mio	. m³]	3890				
Detail WK ID			Mittlerer Abfluss (MQ) [m³/s]		17,6				
IC-Seentyp (Interkalibrierung)	L-AL3	L-AL3		Abfluss					
AT-Seentyp (National)	D1		Wassererneuerungszeit / theoretisch [Jahre]		7,1				
Trophischer Grundzustand	oligotroph		Durchmischung / Schi	chtungstyp	Holo- / monomiktisch				
Zugrunde liegenden Prüfb	erichte								
1. Termin 2. Termin			2. Termin	3. Termin		4. Termin			
Nummern der zugrunde liegenden	Prüfberichte	2022/01	2022/02 2022/0		3	2022/04			
Probenahmetermine der zugrunde berichte	liegende Prüf-	2022-03-01 2022-06-20 2022-08-03 2022		2022-11-09					

Ergebnisübersicht – Zusammenfassung der 4 Beprobungstermine

Chlorophyll-a Konzentration	μgL ⁻¹	EQR	nEQR		
Referenzwert	1,70	1,00	1,00		
Grenze sehr gut/gut	2,43	0,70	0,80		
Grenze gut/mäßig	4,25	0,40	0,60		
Jahresmittel	0,83	2,06	1,00		
Biovolumen	mm³L ⁻¹	EQR	nEQR		
Referenzwert	0,25	1,00	1,00		
Grenze sehr gut/gut	0,42	0,60	0,80		
Grenze gut/mäßig	1,00	0,25	0,60		
Jahresmittel	0,17	1,48	1,00		
Brettum-Index	Wert	EQR	nEQR		
Referenzwert	5,19	1,00	1,00		
Grenze sehr gut/gut	4,29	0,83	0,80		
Grenze gut/mäßig	3,39	0,65	0,60		
Jahresmittel	4,81	0,93	0,92		
Normierte EQR ges	samt	0,958			
Ökologische Zustand	sklasse	Sehr gut			

4.2. Ergebnistabellen

Tab. 4.2.1. Zusammenfassung quantitative und qualitative Phytoplanktonproben

ATTERSEE 2022	Al	genfris	chgewic	ht [µg l	1]
TAXON	01.03.	20.06.	03.08.	09.11.	Mittel
Cyanobacteria					
Aphanocapsa elachista			0	0	
Chroococcus minutus		0		2,89	0,72
Lyngbya sp.				o	
Planktothrix rubescens	1,45	0,40		0,20	0,51
Snowella lacustris		0,65	0,27	0,84	0,44
Chlorophyceae					
Botryococcus braunii		1,00	11,12	0,41	3,13
Dictyosphaerium pulchellum				0,39	0,10
Elakatothrix genevensis	0	0	0		
Elakatothrix sp.		o		0	
Oocystis sp.		o	o	o	
Pediastrum boryanum			0	0	
Planctonema lauterbornii			0	0,42	0,11
Planktosphaeria gelatinosa			0	0	
Scenedesmus linearis				0	
Sphaerocystis schroeteri				0	
Tetraselmis cordiformis			0	0	
Conjugatophyceae					
Cosmarium depressum	0,47			0,20	0,17
Euglenophyceae					
Trachelomonas volvocina		0,14			0,04
Xanthophyceae					
Gloeobotrys limneticus	1,84			2,38	1,05
Tetraedriella jovetii		0	0		
Chrysophyceae					
Bitrichia chodatii	0	2,81	1,08	0	0,97
Chrysidiastrum catenatum			4,30		1,08
Dinobryon bavaricum		o		0,26	0,07
Dinobryon crenulatum		5,16		0	1,29
Dinobryon cylindricum	0,15			0	0,04
Dinobryon divergens	0,38	1,49	26,24	4,77	8,22
Dinobryon sertularia		0,30			0,07
Dinobryon sociale	۰	1,82	1,91	0	0,93
Mallomonas elongata	0,13			1,14	0,32
Mallomonas sp.	o	o		o	
Pseudopedinella sp.			o		
Uroglena sp.		14,25			3,56
Haptophyceae					
Chrysochromulina parva	o		o	6,48	1,62
Dinophyta					

Corretium commutum		1.01	0.00		2.00
Ceratium cornutum	40.70	1,94	8,69	20.00	2,66
Ceratium hirundinella	12,78	28,84	45,46	32,86	29,98
Dinophyceae indet.		0	0	0	
Glenodinium sp.	°	4.00	0.70		F 47
Gymnodinium helveticum	1,74	4,26	9,79	4,89	5,17
Gymnodinium sp.	0	0,66	6,69	0	1,84
Gymnodinium uberrimum		0			
Peridinium sp.	0	4.00	。		0.04
Peridinium umbonatum - Complex	0.04	1,39	2,37	F 70	0,94
Peridinium willei	2,21	1,05	3,18	5,76	3,05
Cryptophyceae			0 = 4		
Cryptomonas erosa	1,44	2,86	2,54	5,06	2,98
Cryptomonas marssonii		0,62	3,85	4,50	2,24
Cryptomonas sp.	0		0		
Plagioselmis nannoplanctica	12,52	14,45	24,01	12,76	15,94
Rhodomonas lens	17,26	2,66	0	0	4,98
Bacillariophyceae					
Achnanthes sp.				0	
Asterionella formosa	5,82		0,71	12,55	4,77
Aulacoseira islandica	0				
Aulacoseira subarctica	5,92		0		1,48
Cyclotella cf. atomus		4,28		4,32	2,15
Cyclotella bodanica		1,50	2,11	0,26	0,97
Cyclotella cf. comensis	0,58				0,14
Cyclotella cyclopuncta	4,75	68,74	113,56	5,19	48,06
Cyclotella distinguenda	0	0,23	0,25	0,31	0,20
Cyclotella intermedia			0		
Cyclotella kuetzingiana	0,12		0,28	0,29	0,17
Cyclotella ocellata	0		4,93	0	1,23
Cyclotella radiosa	0	0,71	0,04	0	0,19
Cyclotella sp.	16,83	4,83	15,95	0	9,40
Cymatopleura elliptica	1,22				0,30
Cymatopleura solea	0				
Cymbella lanceolata	o			0	
Diatoma tenuis	0		0,63		0,16
Discostella glomerata	0,43	0,34	4,28	1,81	1,71
Discostella stelligera	0, 10	2,3.	.,20	.,5.	',' '
Fragilaria crotonensis	0,70	0,17	0,36	4,02	1,31
Stephanodiscus alpinus	3,70	0	0,73	3,61	1,09
Stephanodiscus neoastraea gr.	1,16		5,. 5		0,29
Ulnaria acus	1,34				0,23
Ulnaria delicatissima	°			3,65	0,91
Ulnaria delicatissima var. angustissima	2,75	0,03		3,03	0,69
	2,13	0,03			0,09
Picoplankton < 5 µm			40.50	F 05	4 70
Picoplankton indet.			13,58	5,35	4,73
Frigobacowicht tot (ua/l\	04.0	167.6	200.0	107.0	1745
Frischgewicht tot. (µg/l)	94,0	167,6	308,9	127,6	174,5
Biovolumen tot. (mm³/l)	0,094	0,168	0,309	0,128	0,175
abz. heterotrophe (mm³/l)	0,092	0,163	0,299	0,123	0,169

1000 μg/l = 1 mm³/l					
Chlorophyll-a [µg/l]	0,5	0,8	1,1	0,9	0,83
Relativer Anteil Chlorophyll-a [%]	0,53	0,48	0,36	0,71	0,52
Anzahl Taxa / Termin	42	39	44	52	
Anzahl Taxa insgesamt		·			75

Anmerkung: Aus Übersichtsgründen werden in obenstehender Tabelle die meist sehr kleinen individuellen Einzelwerte als Frischgewicht [μ g L⁻¹] dargestellt und erst summarisch in Biovolumen [mm^3 L⁻¹] umgerechnet. Unter Annahme eines spezifischen Gewichts von 1.0 für Planktonorganismen gilt dabei 1000 μ g/l = 1 mm^3 /l.

Neben quantitativen Daten gezählter Arten sind in die Tabelle auch qualitative Ergebnisse eingeflossen: das Auftreten von Arten in nicht quantifizierbarer Dichte ist als ° gekennzeichnet.

Tab. 4.2.2. Zusammenfassung Algenklassen der quantitativen Phytoplanktonproben

ATTERSEE 2022	Alg	genfris	chgewic	ht [µg	l ⁻¹]
Algenklasse	01.03.	20.06.	.80:00	.11.60	Mittel
Bacillariophyceae Centrales	29,79	80,63	142,13	15,79	67,09
Bacillariophyceae Pennales	11,83	0,20	1,71	20,21	8,49
Chlorophyceae		1,00	11,12	1,22	3,33
Chrysophyceae	0,66	25,82	33,53	6,17	16,55
Conjugatophyceae Desmid.	0,47			0,20	0,17
Conjugatophyceae Zygnem.					
Cryptophyceae	31,22	20,60	30,40	22,33	26,14
Cyanobacteria coccal		0,65	0,27	3,74	1,16
Cyanobacteria filamentös	1,45	0,40		0,20	0,51
Dinophyceae	16,73	38,13	76,18	43,52	43,64
Euglenophyceae		0,14			0,04
Haptophyceae				6,48	1,62
Prasinophyceae					
Ulvophyceae					
Xanthophyceae	1,84			2,38	1,05
Phytoplankton indet.			13,58	5,35	4,73
Frischgewicht tot. (µg/l)	94,0	167,6	308,9	127,6	174,5
Biovolumen tot. (mm³/l)	0,094	0,168	0,309	0,128	0,175
abz. heterotrophe (mm³/l)	0,092	0,163	0,299	0,123	0,169
$1000 \mu g/l = 1 \text{ mm}^3/l$					

Tab. 4.2.3. Brettum Scores:Werte der einzelnen Trophie-Klassen, für 2022 im Attersee quantifizierte Taxa

ATTERSEE 2022	Rebecca-ID	Brettum-Indexwerte der einzelnen Trophie klassen					rophie-
Taxon		<=5	5-8	8-15	15-30	30-60	>60
Asterionella formosa	R0135						
Aulacoseira subarctica	R0033		1	8	1		
Bitrichia chodatii	R1155	4	4	2			
Botryococcus braunii	R0493	5	2	2	1		
Ceratium cornutum	R1670						
Ceratium hirundinella	R1672						
Chroococcus minutus	R1443	1	3	4	1	1	
Chrysidiastrum catenatum	R1163						
Chrysochromulina parva	R1818			1	3	4	2
Cosmarium depressum	R1209	2	2	3	1	1	1
Cryptomonas erosa	R1378						
Cryptomonas marssonii	R1382						
Cyclotella bodanica	R0040	7	3				
Cyclotella cf. atomus	R0039						
Cyclotella cf. comensis	R0042	7	2	1			
Cyclotella cyclopuncta	R2195	7	3				
Cyclotella distinguenda	R2196	8	1	1			
Cyclotella kuetzingiana	R0046						
Cyclotella ocellata	R0048		1	1	4	3	1
Cyclotella radiosa	R0051			1	3	5	1
Cyclotella sp.	R0053						
Cymatopleura elliptica	R0161						
Diatoma tenuis	R0189			1	1	4	4
Dictyosphaerium pulchellum	R0571			1	5	4	
Dinobryon bavaricum	R1066	3	3	2	2		
Dinobryon crenulatum	R1069	2	2	3	2	1	
Dinobryon cylindricum	R1070	7	2	1			
Dinobryon divergens	R1073						
Dinobryon sertularia	R1081		1	1	5	3	
Dinobryon sociale	R1083						
Discostella glomerata	R2058	6	3	1			
Fragilaria crotonensis	R0223						
Gloeobotrys limneticus	R1840						
Gymnodinium sp.	R1654	1	5	2	1	1	
Mallomonas elongata	R1103						
Peridinium umbonatum - complex	R1903	7	2		1		
Peridinium willei	R1704	1	4	2	1	1	1
Picoplankton indet.	R2617						
Plagioselmis nannoplanctica	R2162						
Planctonema lauterbornii	R0919						
Planktothrix rubescens	R1617	1	1	3	4	1	

Rhodomonas lens	R1407						
Snowella lacustris	R1510		1	4	4	1	
Stephanodiscus alpinus	R0076						
Stephanodiscus neoastraea	R0083		1	2	4	3	
Trachelomonas volvocina	R1776			1	4	5	
Ulnaria acus	R2171						
Ulnaria delicatissima	R2173						
Ulnaria delicatissima var. angustissima	R2174	2	3	3	2		
Uroglena sp.	R1151		3	3	3	1	

Relativer Anteil quantifizierter Taxa für Brettum Index [%]	56,0
Relativer Anteil des Biovolumen der eingestuften Taxa am Gesamtbiovolumen [%]	43,5

Tab. 4.2.4. Prägende trophische Indikatoren (Brettum Scores) und quantitativ wichtige (Biovolums-Anteil > 3 %) Arten - Attersee 2022

ATTERSEE Taxon	Rebecca-	Biovolumen	Brettum-Indexwerte					Rel. Anteil	
		Biovolamon		5-	8-	15-	30-		Anton
März		[mm ³ L ⁻¹]	<=5	8	15	30	60	>60	[%]
Aulacoseira subarctica	R0033	0,0059		1	8	1			6,42%
Cyclotella cyclopuncta	R2195	0,0048	7	3					5,15%
Rhodomonas lens	R1407	0,0173							18,71%
Cyclotella sp.	R0053	0,0168							18,25%
Ceratium hirundinella	R1672	0,0128							13,86%
Plagioselmis nannoplanctica	R2162	0,0125							13,58%
Asterionella formosa	R0135	0,0058							6,31%
Juni									
Cyclotella cyclopuncta	R2195	0,0687	7	3					42,09%
Uroglena sp.	R1151	0,0143		3	3	3	1		8,73%
Dinobryon crenulatum	R1069	0,0052	2	2	3	2	1		3,16%
Ceratium hirundinella	R1672	0,0288							17,66%
Plagioselmis nannoplanctica	R2162	0,0145							8,85%
August									
Cyclotella cyclopuncta	R2195	0,1136	7	3					37,96%
Botryococcus braunii	R0493	0,0111	5	2	2	1			3,72%
Ceratium hirundinella	R1672	0,0455							15,20%
Dinobryon divergens	R1073	0,0262							8,77%
Plagioselmis nannoplanctica	R2162	0,0240							8,03%
Cyclotella sp.	R0053	0,0160							5,33%
Picoplankton indet.	R2617	0,0136							4,54%
November									
Chrysochromulina parva	R1818	0,0065			1	3	4	2	5,28%
Peridinium willei	R1704	0,0058	1	4	2	1	1	1	4,70%
Cyclotella cyclopuncta	R2195	0,0052	7	3					4,23%
Ceratium hirundinella	R1672	0,0329							26,78%
Plagioselmis nannoplanctica	R2162	0,0128							10,40%
Asterionella formosa	R0135	0,0125							10,23%
Picoplankton indet.	R2617	0,0053							4,36%
Cryptomonas erosa	R1378	0,0051							4,13%
Dinobryon divergens	R1073	0,0048							3,89%
Cryptomonas marssonii	R1382	0,0045							3,67%
Cyclotella cf. atomus	R0039	0,0043							3,52%
Fragilaria crotonensis	R0223	0,0040							3,28%

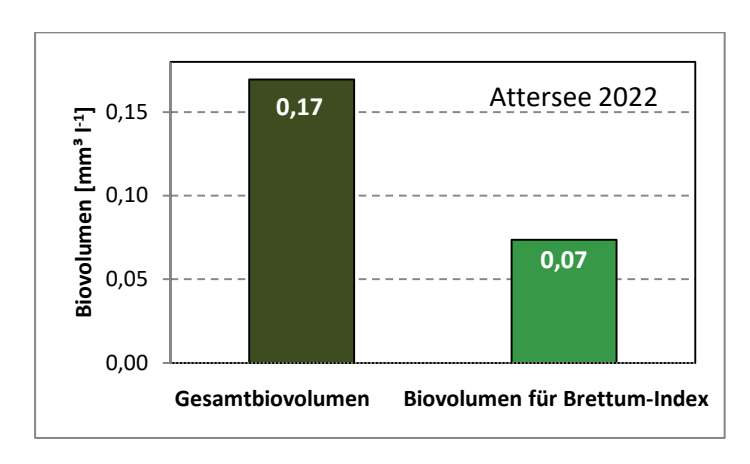
^{*}N.B.:Geringfügige Abweichungen des relativen Anteils einzelner Taxa am Gesamt-Biovolumen[%], im Vergleich zu den Werten in den Prüfprotokollen (4. Quantitative Analyse - Utermöhl-Zählung), ergeben sich aus den in obiger Tabelle bereits abgezogenen Anteilen heterotropher Taxa!

4.3. Grafische Darstellungen

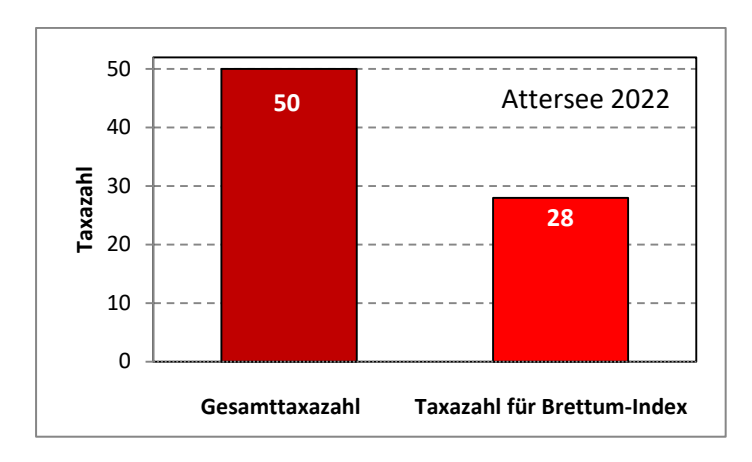
Jahresmittel EQR:

See	ATTERSEE						
Jahr		2022					
IC Seentyp	L-AL3	range	2				
Chlorophyll-a [µg L ⁻¹]	0,83						
Biovolumen [mm ³ L ⁻¹]	0,17						
BV für Brettum-Index [mm ³ L ⁻¹]	0,07	44%					
Taxa	50						
Taxa für Brettum-Index	28	56%					
Brettum-Index	4,81						
	Ref.wert	EQR	nEQR				
Chlorophyll-a	1,70	2,06	1,00				
Biovolumen	0,25	1,48	1,00				
Brettum-Index	5,19	0,93	0,92				
EQR gesamt	0,958	gut					

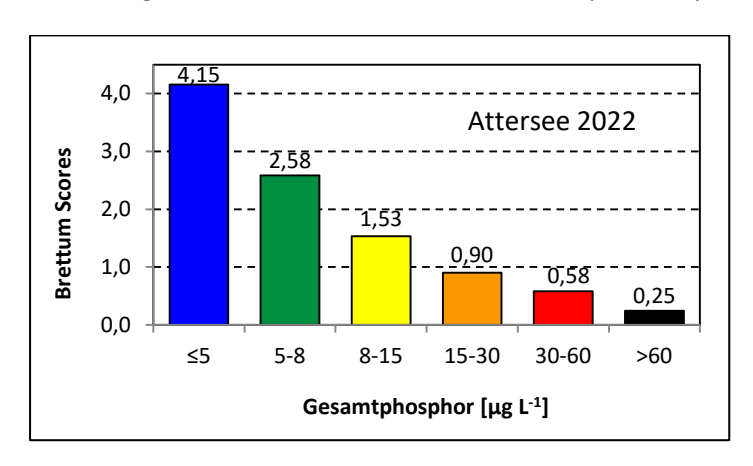
Anteil Biovolumen für die Berechnung des Brettum-Index:



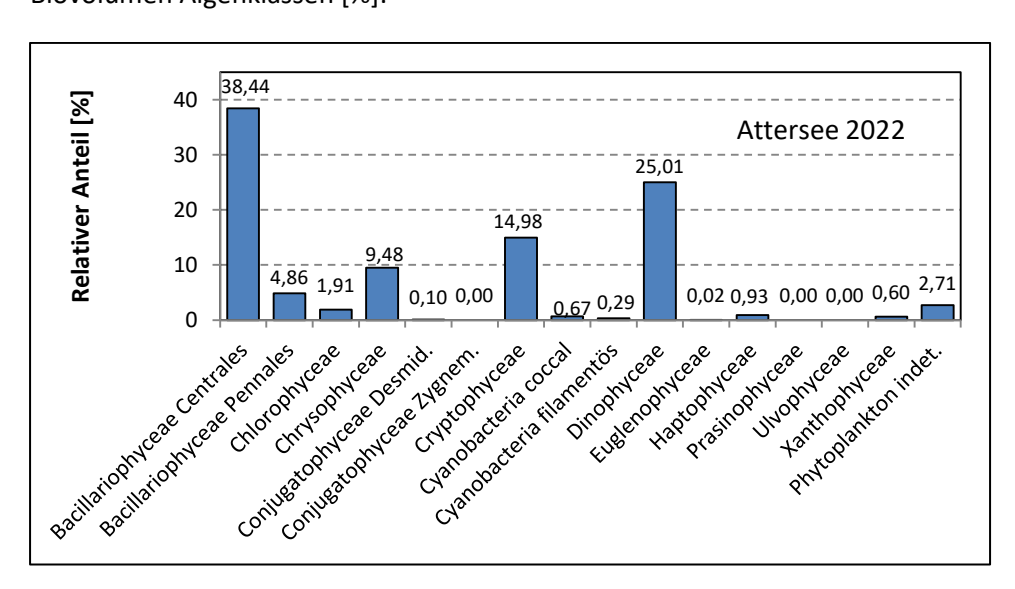




Verteilung Brettum-Scores über die sechs Phosphor-Trophie-Klassen:



Biovolumen Algenklassen [%]:



Prüfbericht Phytoplankton - GZÜV-Untersuchungen des Jahres 2022 Attersee 2022-03-01

1. Angaben zu Prüflabor und Auftraggeber

Prüflabor	Dr. Jersabek	Prüfbericht-Nr.	ATT2022-01							
Auftraggeber	Amt der Oberösterreichischen Lande	Amt der Oberösterreichischen Landesregierung								

1. Angaben zum See, zur Untersuchungsstelle und Probenahme

Gewässername Attersee Rechtswert		6.214								
Magaztellannama	20	466.214								
Messstellenname Hochwert	30	5.706								
(GZÜV-)Messstellen_ID Median	31	31								
Detail WK Name Trophischer Grundzustand	oliç	oligotroph								
Detail WK ID Höhe Messpunkt [m]	469	469								
Zu jeweils mindestens 4 Terminen pro Untersuchung	ısjanr	r: 								
Datum, Uhrzeit, Probenahme-Team, Prüflabor										
Datum Probenahme2022-03-01Probenahme-Team										
Uhrzeit Probenahme Prüflabor * Bundesamt für Mondsee, Scha		rwirtschaft IGI	:							
Limnologisch charakteristischer Zeitpunkt ** Frühjahrszirkulation										
* wenn Proben nicht vom selben Prüflabor gezogen ** Frühjahrszirkulation, Beginn der Sommerstagnation, Höhepunkt der Sommerstagnation, Beginn der Herbstzirkulation										
Witterung										
vor der Probenahme während de	er Prob	robenahme								
Wetter										
Wind										
Niederschlag Datum:										
Lufttemperatur [°C]										
Wolkenbedeckung [%]										
Hydrographie, Trübung, Färbung, Schichtung										
Hochwassereinfluss (der wichtigsten Zubringer)										
vor der Probenahme ☐ ja ☐ nein ☐ während der Probenahme		□ja	□ nein							
Wasserstand aktuell (zumindest Schätzung auf m ü.A.)* Schätzung auf m ü.A.)* Sonstiges (Oberflächenfilm, Pollenflug)	•									
Trübung, Art der Trübung ** Thermokline [m]										
Färbung Sichttiefe/Secchi-Tiefe [m]		18	3,5							
Algenblüten, Auftriebsflocken ☐ ja ☐ nein ☐ Grenze der euphotischen Zo [m] (Kompensationsebene)	one									
* z.B. hoch, mittel, niedrig * * mineralisch, organisch, Calcitfärbung										
Probenahme										
Probenahmetiefe der quantitativen Probe [m; vonbis] 0 – 21 m Art der Probenahme der quantitativen Probe		x Mischprobe □ integrierende Probe								
wenn Mischprobe: Angabe de	r Tiefe	nstufen								
Maschenweite für die qualitative Phytoplankton-Probe [µm]										

2. Methodische Angaben zur qualitativen, quantitativen und Diatomeen – Analyse

Qualitative Analyse											
Probennummer		ATT202	2-01	Be	arbeiterIn	Christian	Jersab	ek			
Datum der Analy	se	2023-03	-15	Pr	Probenart			d x fixiert			
Quantitative Analyse											
Probennummer		АТТ	2022-01		Nachfixier tiven Prob	ung der quar e	ntita-	□ja	□ ja x nein		
BearbeiterIn		Chri	stian Jersabek		wenn ja, v	vann					
Datum der Analy		202	3-03-15		Kammerty	/p		Uter	möhl		
Zeitraum zw. Probenahme und Analyse (Tage)						olumen		10 m	nl		
					Ausgegoss der Probe	senes Volume	en	100	ml		
Quantitative Pr	obe: Zähl										
Proben-Nr. Kammert		nertyp	yp Zählstrategie Diagonalen/Felder			Anzahl D				Obj. 60x	
ATT2022-01	Utermöh		Ganze Kammer		Obj. 4x	Obj. 10x	Obj. 10x Obj.		Obj. 40x	ODJ. OUX	
A112022-01	Otermon		Diagonale/Felder					l F	24 F		
			Diagonale/Telaci			<u> </u>	-	· ·	2-71		
Diatomeenp	robe										
Herkunft											
wenn eigene Dia	tomeenpro	be									
Probennummer		ATT2022	-01_Diat		Volumen						
Präparation		x Glühp	räparat		chemische	Oxidation					
•	srüstunį	g des Zä	hlmikroskops und	Dur	chlichtm	ikroskops	für (die D	iatomeer	1-	
Analyse											
Zählmikroskop (Marke/Typ)						Zeiss Telaval 3, Jena					
Durchlichtmikroskop (Marke/Typ, Phasenkontrast ja/nein, DIC ja/nein)						Leitz Diaplan (Ph. ja/ DIC ja)					
Stärkstes Objel (Vergrößerung		che Apert	ur)		100x (oil, 1,25)					_	

3. Quantitative Analyse (Utermöhl-Zählung)

Laborinterne Probennummer: ATT2022-01

ATT2022-03-01	Gezählte Individuen	Gezähltes Vol. [ml]	Abundanz [10³ L ⁻¹]	Zellvolumen [µm³]	FW [µg l ⁻¹]	Rel. Anteil [%]
Cyanobacteria						
Planktothrix rubescens	74	100,000	0,740	1963	1,45	1,55
Chlorophyceae						
Elakatothrix genevensis						
Conjugatophyceae						
Cosmarium depressum	2	14,838	0,135	3471	0,47	0,50
Xanthophyceae						
Gloeobotrys limneticus	25	3,010	8,306	221	1,84	1,95
Chrysophyceae						
Bitrichia chodatii						
Dinobryon cylindricum	5	14,838	0,337	437	0,15	0,16
Dinobryon divergens	5	3,010	1,661	230	0,38	0,41
Dinobryon sociale						
Mallomonas elongata	1	14,838	0,067	1910	0,13	0,14
Mallomonas sp.						
Haptophyceae						
Chrysochromulina parva						
Dinophyta						
Ceratium hirundinella	23	100,000	0,230	55572	12,78	13,60
Glenodinium sp.						
Gymnodinium helveticum	2	14,838	0,135	12902	1,74	1,85
Gymnodinium sp.						
Peridinium sp.						
Peridinium willei + sp.	4	100,000	0,040	55171	2,21	2,35
Cryptophyceae						
Cryptomonas erosa	9	14,838	0,607	2371	1,44	1,53
Cryptomonas sp.						
Plagioselmis nannoplanctica	73	0,635	114,915	109	12,52	13,33
Rhodomonas lens	19	0,635	29,909	577	17,26	18,36
Bacillariophyceae						
Asterionella formosa	704	100,000	7,040	826	5,82	6,19
Aulacoseira islandica						
Aulacoseira subarctica	1509	100,000	15,091	392	5,92	6,30
Cyclotella cf. comensis	2	0,635	2,991	193	0,58	0,61
Cyclotella cyclopuncta	23	0,635	35,891	132	4,75	5,06
Cyclotella distinguenda			_			
Cyclotella kuetzingiana	0,4	14,838	0,027	4341	0,12	0,12
Cyclotella ocellata						
Cyclotella radiosa						
Cyclotella sp.	67	0,635	104,683	161	16,83	17,91
Cymatopleura elliptica	3	100,000	0,030	40625	1,22	1,30

Cymatopleura solea						
Cymbella lanceolata						
Diatoma tenuis						
Discostella glomerata	4	0,635	5,982	72	0,43	0,46
Discostella stelligera						
Fragilaria crotonensis	95	100,000	0,952	732	0,70	0,74
Stephanodiscus neoastraea gr.	4	100,000	0,040	13474	0,54	0,57
Stephanodiscus neoastraea kl.	2	14,838	0,108	5772	0,62	0,66
Ulnaria acus	15	14,838	1,011	1329	1,34	1,43
Ulnaria delicatissima						
Ulnaria delicatissima var. angustissima	51	100,000	0,510	5394	2,75	2,93
Gesamt			331,44		93,98	100,00
			10 ³ L ⁻¹		0,094	%
					mm³ L ⁻¹	

Anmerkung: Aus Übersichtsgründen werden in obenstehender Tabelle die meist sehr kleinen individuellen Einzelwerte als Frischgewicht [μ g L⁻¹] dargestellt und erst unten summarisch in Biovolumen [mm³ L⁻¹] umgerechnet. Unter Annahme eines spezifischen Gewichts von 1.0 für Planktonorganismen gilt dabei 1000 μ g/l = 1 mm³/l.

Neben quantitativen Daten gezählter Arten sind in die Tabelle auch die Ergebnisse der qualitativen Analyse eingeflossen. Sofern in der Probe vorhanden, jedoch nicht in quantifizierbarer Dichte, werden diese lediglich gelistet, ohne weitere Häufigkeitsschätzung.

4. Diatomeenanalyse

Laborinterne Probennummer: ATT2022-01_Diato

Taxon	Rebecca-	Größenklassen [µm]										
	ID	4 - <7	7 - <11	11 - <16	16 - <21	21 - <30	30 - <37	>37				
Aulacoseira subarctica	R0033	45										
Cyclotella cf. comensis	R0042		3									
Cyclotella cyclopuncta	R2195	8	35	3								
Cyclotella kuetzingiana	R0046					2						
Cyclotella sp.	R0053	5	52									
Discostella glomerata	R2058		7	1								
Stephanodiscus neoastraea	R2083					5	8					
Summe Schalen pro Größen	klasse	58	97	4		7	8					
Gesamtsumme Schalen	Gesamtsumme Schalen							174				
Anteil centrischer Diatomeen	am Gesamt-	Biovolun	nen		31,7 %							

Anmerkungen:

Die Artbestimmung centrischer Diatomeen erfolgte nach Krammer & Lange-Bertalot (1991) und Houk, Klee & Tanaka (2010, 2014, 2017). Es bestehen in der modernen Literatur z. T. erhebliche Unterschiede in taxonomischer Zuordnung (Synonyme, Kombinationen) oder in der Nomenklatur (Namensänderungen valider Arten) einzelner Arten. Sofern solche Änderungen Arten betreffen die in der Liste eingestufter Arten des hier angewendeten Bewertungssystem aufscheinen, wird der in dieser Liste verwendete Name beibehalten.

Prüfbericht Phytoplankton - GZÜV-Untersuchungen des Jahres 2022 Attersee 2022-06-20

1. Angaben zu Prüflabor und Auftraggeber

Prüflabor	Dr. Jersabek	Prüfbericht-Nr.	ATT2022-02							
Auftraggeber	Amt der Oberösterreichischen La	Amt der Oberösterreichischen Landesregierung								

2. Angaben zum See, zur Untersuchungsstelle und Probenahme

Allgemeine Angab	en									
Gewässername		Atte	rsee		Rechtswert		46	6.214		
Messstellenname					Hochwert		30	5.706		
(GZÜV-)Messstellen_ID					Median			31		
Detail WK Name					Trophischer Grundzustand			oligotroph		
Detail WK ID					Höhe Messpunkt [m]			469		
Z	'u jewe	eils r	mindestens 4	4 Teri	minen pro Un	tersuchung	sjah	r:		
Datum, Uhrzeit, Pro	benah	me-	Team, Prüfla	bor						
Datum Probenahme	2022-0	6-20	·	Prob	enahme-Team					
Uhrzeit Probenahme				Prüfl	abor *	Bundesamt für Mondsee, Scha		rwirtschaft IGF		
Limnologisch charakteri			punkt **	Begin	n der Sommerstagr	ation				
* wenn Proben nicht vom selben Pr ** Frühjahrszirkulation, Beginn der			n, Höhepunkt der Som	nmerstag	nation, Beginn der Herk	estzirkulation				
Witterung										
vor			or der Probenah		während der Probenahme					
Wetter										
Wind										
Niederschlag		Da	atum:							
Lufttemperatur [°C]										
Wolkenbedeckung [%]										
Hydrographie, Trüb	ung, F	ärbu	ung, Schicht	ung						
Hochwassereinfluss (der	r wichtiq	gsten	Zubringer)							
vor der Probenahme			ja □	nein	während der l			□ ja □ r	nein	
Wasserstand aktuell (zur Schätzung auf m ü.A.)*	mindest	:			Sonstiges (Ob Pollenflug)	erflächenfilm,				
Trübung, Art der Trübung **					Thermokline [m]				
Färbung					Sichttiefe/Sec	chi-Tiefe [m]		8,5		
Algenblüten, Auftriebsflo	ocken		ja □	nein	Grenze der eu [m] (Kompens	iphotischen Zo sationsebene)	ne			
* z.B. hoch, mittel, niedrig	* * mi	neralisc	ch, organisch, Calcitfäi	rbung						
Probenahme										
Probenahmetiefe der quantitative Probe [m; vonbis]		en	1 0 = 21 m					☐ Mischprobe x integrierende Probe		
-					wenn Mischpro	n Mischprobe: Angabe der Tiefenstufen				
Maschenweite für die qu Phytoplankton-Probe [µr										

3. Methodische Angaben zur qualitativen, quantitativen und Diatomeen - Analyse

Qualitative A	Analyse											
Probennummer		AT	T2022	2-02	Ве	arbeiterIn		Christian Jers	abek			
Datum der Analy	se	202	23-03-	-15	Pro	Probenart lebend				x fixiert		
Quantitative Analyse												
Probennummer ATT2022-02						Nachfixieru Probe	ıng	der quantitati	ven	□ ja	x nein	
BearbeiterIn				tian Jersabek		wenn ja, w	anı	n				
Datum der Analy	se		2023	3-03-15		Kammerty)			Utermöh	nl	
Zeitraum zw. Probenahme und Analyse (Tage) 271 Tage						Kammervo	lun	nen		10 ml		
						Ausgegosse Probe	ene	es Volumen der	•	100 ml		
Quantitative Probe: Zählstrategie												
Proben-Nr.	Kamn	nerty	o	Zählstrategie						en / Felde		
		Diagonalen/		Diagonalen/Felder		Obj. 4x		Obj. 10x	Ol	j. 25x	Obj. 40x	
ATT2022-02	Röhrenka nach Ute	Ganze Kammer				1						
				Diagonale/Felder				3 D		36 F	16 F	
Diatomeenp	robe											
Herkunft												
wenn eigene Diat	tomeenpro	be										
Probennummer		AT	T2022	2-02_Diat		Volumen					100 ml	
Präparation		хG	lühpr	äparat	□ с	hemische Ox	ida	ation				
Optische Aus	srüstung	g de	s Zäl	hlmikroskops und	Dur	chlichtmi	kr	oskops für	die [Diatome	een-Analy	se
Zählmikroskop						Zeiss Tela	ıva	ıl 3, Jena				
(Marke/Typ)												
Durchlichtmikroskop (Marke/Typ, Phasenkontrast ja/nein, DIC ja/nein)						Leitz Diaplan (ja/ja)						
Stärkstes Objek (Vergrößerung,		he A	perti	ur)		100x (oil, 1,25)						
			•	•		•						

4. Quantitative Analyse (Utermöhl-Zählung)

Laborinterne Probennummer: ATT2022-02

ATT2022-06-20	Gezählte Individuen	Gezähltes Vol. [ml]	Abundanz [10³ L¹]	Zellvolumen [µm³]	FW [µg l¹]	Rel. Anteil [%]
Cyanobacteria						
Chroococcus minutus						
Planktothrix rubescens	18	100,000	0,180	2233	0,40	0,24
Snowella lacustris	7	14,838	0,472	1375	0,65	0,39
Chlorophyceae						
Botryococcus braunii	12	100,000	0,120	8322	1,00	0,60
Elakatothrix genevensis						
Elakatothrix sp.						
Oocystis sp.						
Euglenophyceae						
Trachelomonas volvocina	1	14,838	0,067	2146	0,14	0,09
Xanthophyceae						
Tetraedriella jovetii						
Chrysophyceae						
Bitrichia chodatii	16	0,424	37,780	74	2,81	1,67
Dinobryon bavaricum						
Dinobryon crenulatum	29	0,424	68,477	75	5,16	3,08
Dinobryon divergens	13	2,462	5,279	281	1,49	0,89
Dinobryon sertularia	3	2,462	1,218	245	0,30	0,18
Dinobryon sociale	21	2,462	8,528	213	1,82	1,09
Mallomonas sp.						
Uroglena sp.	40	0,424	94,451	151	14,25	8,51
Dinophyceae						
Ceratium cornutum	3	100,000	0,030	64646	1,94	1,16
Ceratium hirundinella	48	100,000	0,480	60084	28,84	17,21
Dinophyceae indet.						
Gymnodinium helveticum	53	100,000	0,530	8036	4,26	2,54
Gymnodinium sp.	4	2,462	1,624	407	0,66	0,39
Gymnodinium uberrimum						
Peridinium umbonatum - Complex	6	14,838	0,404	3427	1,39	0,83
Peridinium willei	2	100,000	0,020	52400	1,05	0,63
Cryptophyceae						
Cryptomonas erosa	15	14,838	1,011	2830	2,86	1,71
Cryptomonas marssonii	6	2,462	2,437	256	0,62	0,37
Plagioselmis nannoplanctica	60	0,424	141,676	102	14,45	8,62
Rhodomonas lens	3	0,424	7,084	375	2,66	1,59
Bacillariophyceae						
Cyclotella cf. atomus	63	0,424	149,469	29	4,28	2,55
Cyclotella bodanica	3	100,000	0,030	50073	1,50	0,90
Cyclotella cyclopuncta	338	0,424	797,165	86	68,74	41,02
Cyclotella distinguenda	2	14,838	0,162	1411	0,23	0,14

					mm³ L ⁻¹	
		10 ³ L ⁻¹		0,168	%	
Gesamt			1369,29		167,57	100,00
Ulnaria delicatissima var. angustissima	2	100,000	0,020	1452	0,03	0,02
Stephanodiscus alpinus						
Fragilaria crotonensis	24	100,000	0,238	732	0,17	0,10
Discostella glomerata	2	0,424	4,982	68	0,34	0,20
Cyclotella sp.	19	0,424	44,841	108	4,83	2,88
Cyclotella radiosa	8	14,838	0,512	1385	0,71	0,42

Anmerkung: Aus Übersichtsgründen werden in obenstehender Tabelle die meist sehr kleinen individuellen Einzelwerte als Frischgewicht [μ g L⁻¹] dargestellt und erst unten summarisch in Biovolumen [mm³ L⁻¹] umgerechnet. Unter Annahme eines spezifischen Gewichts von 1.0 für Planktonorganismen gilt dabei 1000 μ g/l = 1 mm³/l.

Neben quantitativen Daten gezählter Arten sind in die Tabelle auch die Ergebnisse der qualitativen Analyse eingeflossen. Sofern in der Probe vorhanden, jedoch nicht in quantifizierbarer Dichte, werden diese lediglich gelistet, ohne weitere Häufigkeitsschätzung.

5. Diatomeenanalyse

Laborinterne Probennummer: ATT2022-02_Diato

Taxon	Rebecca-	Größenklassen [µm]							
	ID	4 - <7	7 - <11	11 - <16	16 - <21	21 - <30	30 - <37	>37	
Cyclotella cf. atomus	R0039	44							
Cyclotella bodanica	R0040						3	5	
Cyclotella cyclopuncta	R2195	68	47	4					
Cyclotella distinguenda	R2196			3	4				
Cyclotella radiosa	R0051			5	11	2			
Cyclotella sp.	R0053	3	11	1					
Discostella glomerata	R2058	3	1						
Summe Schalen pro Größenklasse 118 59			13	15	2	3	5		
Gesamtsumme Schalen					215				
Anteil centrischer Diatomeen am Gesamt-Biovolumen					48,1 %				

Anmerkungen:

Die Artbestimmung centrischer Diatomeen erfolgte nach Krammer & Lange-Bertalot (1991) und Houk, Klee & Tanaka (2010, 2014, 2017). Es bestehen in der modernen Literatur z. T. erhebliche Unterschiede in taxonomischer Zuordnung (Synonyme, Kombinationen) oder in der Nomenklatur (Namensänderungen valider Arten) einzelner Arten. Sofern solche Änderungen Arten betreffen die in der Liste eingestufter Arten des hier angewendeten Bewertungssystem aufscheinen, wird der in dieser Liste verwendete Name beibehalten.

Prüfbericht Phytoplankton - GZÜV-Untersuchungen des Jahres 2022 Attersee 2022-08-03

1. Angaben zu Prüflabor und Auftraggeber

Prüflabor	Dr. Jersabek	Prüfbericht-Nr.	ATT2022-03
Auftraggeber	Amt der Oberösterreichischen La	andesregierung	

2. Angaben zum See, zur Untersuchungsstelle und Probenahme

Allgemeine Angal	oen								
Gewässername		Atte	rsee		Rechtswert		46	6.214	
Messstellenname					Hochwert		30)5.706	
(GZÜV-)Messstellen_ID					Median		31		
Detail WK Name					Trophischer C	Grundzustand	oli	igotroph	
Detail WK ID					Höhe Messpu	nkt [m]	46	69	
Z	Zu jewe	eils r	mindestens 4	4 Teri	minen pro Un	tersuchung	sjah	r:	
Datum, Uhrzeit, Pro	benah	me-	Team, Prüfla	bor					
Datum Probenahme	2022-0		·		enahme-Team				
Uhrzeit Probenahme				Prüfl	abor *	Bundesamt für Mondsee, Schai		erwirtschaft IGF	
Limnologisch charakteri			punkt **	Höhe	ounkt der Sommers	tagnation			
* wenn Proben nicht vom selben P ** Frühjahrszirkulation, Beginn der			n, Höhepunkt der Som	nmerstag	nation, Beginn der Herk	ostzirkulation			
Witterung					-				
		vo	r der Probenah	me		während de	r Pro	benahme	
Wetter									
Wind									
Niederschlag		Da	atum:						
Lufttemperatur [°C]									
Wolkenbedeckung [%]									
						•			
Hydrographie, Trüb	ung, F	ärbu	ung, Schicht	ung					
Hochwassereinfluss (de	r wichti	gsten	Zubringer)						
vor der Probenahme			ja □	nein	während der I			□ ja	□ nein
Wasserstand aktuell (zu Schätzung auf m ü.A.)*	mindest				Sonstiges (Ob Pollenflug)	perflächenfilm,			
Trübung, Art der Trübung **					Thermokline [[m]			
Färbung					Sichttiefe/Sec	chi-Tiefe [m]		4,3	İ
Algenblüten, Auftriebsflo	ocken		ja □	nein	Grenze der eu [m] (Kompens	iphotischen Zo sationsebene)	ne		
* z.B. hoch, mittel, niedrig	* * mi	neralisc	ch, organisch, Calcitfäi	rbung					
Probenahme									
Probenahmetiefe der qu		en	0 – 21 m		Art der Probena			Mischprobe	
Probe [m; vonbis]			V = Z1 III		quantitativen Pi			ntegrierende Pr	obe
Masahamusita film dia	alitati.				wenn Mischpro	be: Angabe der	Tiefe	enstufen	
Maschenweite für die qu Phytoplankton-Probe [μι									

3. Methodische Angaben zur qualitativen, quantitativen und Diatomeen - Analyse

Qualitative A	Analyse										
Probennummer		ΑT	T202	2-03	Bear	rbeiterIn	Christian Jers	abek			
Datum der Analys	se	202	23-03	-16	Prob	enart	☐ lebend		x fixiert		
	•										
Quantitative	Analyse	9									
Probennummer			ATT	2022-03		Nachfixieru Probe	ıng der quantitati	iven	□ ja		x nein
BearbeiterIn			Chris	tian Jersabek		wenn ja, wa	ann				
Datum der Analys	se		2023	3-03-16		Kammertyp)		Utermöh	ıl	
Zeitraum zw. Pro und Analyse (Tag			229	Tage		Kammervo	lumen		10 ml		
						Ausgegosse Probe	enes Volumen de	r	100 ml		
Quantitative Pr	obe: Zähl	strat	tegie								
Proben-Nr.	Zählstrategie Anzahl Diagonale/Feldern / Felder										
			•	Diagonalen/Felder	(Obj. 4x	Obj. 10x	Obj. 25x		Obj. 40x	Obj. 60x
ATT2022-03	Röhrenka nach Uter		-	Ganze Kammer		1					
				Diagonale/Felder			3 D		30 F	10, 18 F	
Diatomeenp	robe										
Herkunft											
wenn eigene Diat	omeenpro	be									
Probennummer		ΑT	T2022	2-03_Diat		Volumen				100 ml	
Präparation		х С	Slühpr	äparat	□ ch	emische Ox	idation				
Optische Aus	srüstung	de	es Zäl	hlmikroskops und	Durc	hlichtmi	kroskops für	die I	Diatome	en-Analy	se
Zählmikroskop						7	-112 1				
(Marke/Typ)	· Veiss Lelaval 3 Lena										
Durchlichtmikro DIC ja/nein)	oskop (Ma	rke	/Тур,	Phasenkontrast ja/nei	in,	Leitz Di	aplan (ja/ja)				
Stärkstes Objek (Vergrößerung,		he A	Aperti	ur)		100x (o	il, 1,25)				

4. Quantitative Analyse (Utermöhl-Zählung)

Laborinterne Probennummer: ATT2022-03

ATT2022-08-03	Gezählte ndividuen	Gezähltes Vol. [ml]	Abundanz [10³ L ⁻¹]	Zellvolumen [µm³]	FW [µg l¹]	Rel. Anteil [%]
Cyanahaataria	_		4	Ž	-	ш.
Cyanobacteria Aphanocapsa elachista						
Snowella lacustris	3	14,838	0,202	1320	0,27	0,09
Chlorophyceae		14,000	0,202	1020	0,21	0,00
Botryococcus braunii	105	100,000	1,050	10591	11,12	3,60
Elakatothrix genevensis		.00,000	.,555		,	0,00
Oocystis sp.						
Pediastrum boryanum						
Planctonema lauterbornii						
Planktosphaeria gelatinosa						
Tetraselmis cordiformis						
Xanthophyceae						
Tetraedriella jovetii						
Chrysophyceae						
Bitrichia chodatii	5	0,476	10,495	103	1,08	0,35
Chrysidiastrum catenatum	9	2,052	4,386	981	4,30	1,39
Dinobryon divergens	226	2,052	110,133	238	26,24	8,49
Dinobryon sociale	19	2,052	9,259	206	1,91	0,62
Pseudopedinella sp.						
Haptophyceae						
Chrysochromulina parva						
Dinophyceae						
Ceratium cornutum	14	100,000	0,140	62106	8,69	2,81
Ceratium hirundinella	90	100,000	0,900	50507	45,46	14,71
Dinophyceae indet.	4.0	4.4.000	4 0 4 0	0000	0.70	0.47
Gymnodinium helveticum	18	14,838	1,213	8068	9,79	3,17
Gymnodinium sp.	21	2,052	10,234	654	6,69	2,17
Peridinium sp.	40	44.000	0.074	0504	0.07	0.77
Peridinium umbonatum - complex	10 5	14,838	0,674	3521	2,37	0,77
Peridinium willei	5	100,000	0,050	63587	3,18	1,03
Cryptophyceae Cryptomonas erosa	22	1/1 020	1,483	1715	2.54	0.82
Cryptomonas marssonii	22	14,838 2,052	10,721	359	2,54 3,85	0,82 1,25
	22	2,052	10,721	339	3,65	1,20
Cryptomonas sp. Plagioselmis nannoplanctica	127	0,476	266,561	90	24,01	7,77
Rhodomonas lens	121	0,470	200,001	90	24,01	1,11
Bacillariophyceae						
Asterionella formosa	88	100,000	0,880	810	0,71	0,23
Aulacoseira subarctica	50	100,000	0,000	010	0,71	0,20
Cyclotella bodanica	6	100,000	0,060	35168	2,11	0,68
Cyclotella cyclopuncta	502	0,476	1054,387	108	113,56	36,76
Cyclotella distinguenda	2	14,838	0,135	1831	0,25	0,08

					mm³ L ⁻¹	
			10 ³ L ⁻¹		0,309	%
Gesamt			2274,89		308,92	100,00
Picoplankton indet.	160	0,265	604,486	22	13,58	4,40
Picoplankton < 5 µm						
Stephanodiscus alpinus	4	14,838	0,243	3024	0,73	0,24
Fragilaria crotonensis	50	100,000	0,500	720	0,36	0,12
Discostella glomerata	24	0,476	49,618	86	4,28	1,39
Diatoma tenuis	7	14,838	0,472	1344	0,63	0,21
Cyclotella sp.	47	0,476	99,236	161	15,95	5,16
Cyclotella radiosa	0,4	14,838	0,027	1543	0,04	0,01
Cyclotella ocellata	18	0,476	37,214	132	4,93	1,60
Cyclotella kuetzingiana	2	14,838	0,135	2070	0,28	0,09
Cyclotella intermedia						

Anmerkung: Aus Übersichtsgründen werden in obenstehender Tabelle die meist sehr kleinen individuellen Einzelwerte als Frischgewicht [μ g L⁻¹] dargestellt und erst unten summarisch in Biovolumen [mm³ L⁻¹] umgerechnet. Unter Annahme eines spezifischen Gewichts von 1.0 für Planktonorganismen gilt dabei 1000 μ g/l = 1 mm³/l.

Neben quantitativen Daten gezählter Arten sind in die Tabelle auch die Ergebnisse der qualitativen Analyse eingeflossen. Sofern in der Probe vorhanden, jedoch nicht in quantifizierbarer Dichte, werden diese lediglich gelistet, ohne weitere Häufigkeitsschätzung.

5. Diatomeenanalyse

Laborinterne Probennummer: ATT2022-03_Diato

Taxon	Rebecca-		Größenklassen [µm]									
	ID	4 - <7	7 - <11	11 - <16	16 - <21	21 - <30	30 - <37	>37				
Cyclotella bodanica	R0040						4	7				
Cyclotella cyclopuncta	R2195	35	88	6								
Cyclotella distinguenda	R2196			3	5							
Cyclotella kuetzingiana	R0046			3	8	3						
Cyclotella ocellata	R0048	11	33	2								
Cyclotella radiosa	R0051				3							
Cyclotella sp.	R0053	17	49	4								
Discostella glomerata	R2058	15	30	1								
Stephanodiscus alpinus	R0076			1	5	5						
Summe Schalen pro Größ	enklasse	78	200	20	21	8	4	7				
Gesamtsumme Schalen				338								
Anteil centrischer Diatome	46 %											

Anmerkungen:

Die Artbestimmung centrischer Diatomeen erfolgte nach Krammer & Lange-Bertalot (1991) und Houk, Klee & Tanaka (2010, 2014, 2017). Es bestehen in der modernen Literatur z. T. erhebliche Unterschiede in taxonomischer Zuordnung (Synonyme, Kombinationen) oder in der Nomenklatur (Namensänderungen valider Arten) einzelner Arten. Sofern solche Änderungen Arten betreffen die in der Liste eingestufter Arten des hier angewendeten Bewertungssystem aufscheinen, wird der in dieser Liste verwendete Name beibehalten.

Prüfbericht Phytoplankton - GZÜV-Untersuchungen des Jahres 2022 Attersee 2022-11-09

1. Angaben zu Prüflabor und Auftraggeber

Prüflabor	Dr. Jersabek	Prüfbericht-Nr.	ATT2022-04
Auftraggeber	Amt der Oberösterreichischen La	andesregierung	

2. Angaben zum See, zur Untersuchungsstelle und Probenahme

Allgemeine Angak	nan								
Gewässername	JCII	Atte	rsaa		Rechtswert		16	66.214	
Messstellenname		Alle	1366		Hochwert			05.706	
(GZÜV-)Messstellen ID					Median		31		
Detail WK Name					Trophischer G	Grundzustand		igotroph	
Detail WK ID					Höhe Messpu		46		
Detail WICID					Попе мезэра	iikt [iii]	170	J. J	
Z	u jewe	eils r	mindestens 4	4 Terr	ninen pro Un	tersuchung	sjah	r:	
Datum, Uhrzeit, Pro	benah	me-	Team, Prüfla	bor					
Datum Probenahme	2022-1	1-09		Prob	enahme-Team				
Uhrzeit Probenahme				Prüfla	abor *	Bundesamt für Mondsee, Scha		erwirtschaft IGF	
Limnologisch charakteri			punkt **	Begini	n der Herbstzirkula	tion			
* wenn Proben nicht vom selben Pr ** Frühjahrszirkulation, Beginn der			n. Höhepunkt der Son	nmerstaar	nation. Beginn der Herb	estzirkulation			
Witterung		Ĭ		· ·	, y				
		vo	or der Probenah	me		während de	r Pro	benahme	
Wetter									
Wind									
Niederschlag		Da	atum:						
Lufttemperatur [°C]									
Wolkenbedeckung [%]									
Hydrographie, Trüb	ung, F	ärbu	ung, Schicht	ung					
Hochwassereinfluss (de	r wichtig	gsten	Zubringer)						
vor der Probenahme			ja □	nein	während der F	Probenahme		□ja	□ nein
Wasserstand aktuell (zur Schätzung auf m ü.A.)*	mindest				Sonstiges (Ok Pollenflug)	erflächenfilm,			
Trübung, Art der Trübung **					Thermokline [m]			
Färbung					Sichttiefe/Sec	chi-Tiefe [m]		8,	9
Algenblüten, Auftriebsflo	ocken		ja □	nein	Grenze der eu [m] (Kompens	photischen Zo sationsebene)	ne		
* z.B. hoch, mittel, niedrig	* * mi	neralisc	ch, organisch, Calcitfä	rbung					
Probenahme									
Probenahmetiefe der qua Probe [m; vonbis]		en	0 – 21 m		Art der Probena quantitativen Pr			Mischprobe ntegrierende P	robe
, <u>.</u> ,					wenn Mischpro				
Maschenweite für die qu Phytoplankton-Probe [µr)				J 2 20.			

3. Methodische Angaben zur qualitativen, quantitativen und Diatomeen - Analyse

Qualitative A	Analyse										
Probennummer		ATT20	22-04	Bea	arbeiterIn		Christian Jersa	abek			
Datum der Analy	se	2023-0	3-17	Pro	benart		☐ lebend		x fixiert		
Quantitative	Analyse	e									
Probennummer		AT	T2022-04		Nachfixieru Probe	ung	der quantitativ	ven	□ ja x nein		
BearbeiterIn		Chr	istian Jersabek		wenn ja, w	ann	1				
Datum der Analy		202	23-03-17		Kammerty	р			Utermöh	ıl	
Zeitraum zw. Pro und Analyse	benahme	134	l Tage		Kammervo	lum	ien		10 ml		
					Ausgegosse Probe	enes	s Volumen der		100 ml		
Quantitative Pr	obe: Zähl	strategie		1							
Proben-Nr.	Proben-Nr. Kammertyp Zählstrategie Anzahl Diagonalen / Felder										
	Röhrenka		Diagonalen/Felder Obj. 4x Obj. 10x Obj. 25x Obj. 40x Obj. 60x								Obj. 60x
ATT2022-04	nach Ute		Ganze Kammer		1						
			Diagonale/Felder				3 D	2:	L, 24 F	10, 24 F	
Diatomeenp	robe										
Herkunft											
wenn eigene Diat	tomeenpro	be									
Probennummer		ATT20	22-04_Diat		Volumen					100 ml	
Präparation		x Glühp	oräparat	□ cł	nemische Ox	cidat	tion				
Optische Aus	srüstung	des Z	ählmikroskops und	Dur	chlichtmi	ikro	oskops für	die I	Diatome	een-Analy	se
Zählmikroskop	(Marke/T	ур)			Zeiss Tela	aval	l 3, Jena				
Durchlichtmikro DIC ja/nein)	oskop (Ma	arke/Typ	o, Phasenkontrast ja/nei	in,	Leitz Diap	plan	n (ja/ja)				
Stärkstes Objek (Vergrößerung,		he Aper	tur)		100x (oil,	. 1,2	25)				

4. Quantitative Analyse (Utermöhl-Zählung)

Laborinterne Probennummer: ATT2022-04

ATT2022-11-09	Gezählte ndividuen	Gezähltes Vol. [ml]	Abundanz [10³ L ⁻¹]	Zellvolumen [µm³]	FW [µg l¹]	Rel. Anteil [%]
	밀	<i>o</i> –	₹ _	Zel	Ĺ	Ř
Cyanobacteria						
Aphanocapsa elachista						
Chroococcus minutus	32	1,436	22,277	130	2,89	2,27
Lyngbya sp.						
Planktothrix rubescens	10	100,000	0,100	2042	0,20	0,16
Snowella lacustris	24	14,838	1,617	522	0,84	0,66
Chlorophyceae	_	400.000	0.050	04.45	0.44	0.00
Botryococcus braunii	5	100,000	0,050	8145	0,41	0,32
Dictyosphaerium pulchellum	32	14,838	2,157	180	0,39	0,30
Elakatothrix sp. Oocystis sp.						
Pediastrum boryanum						
Planctonema lauterbornii	18	1,642	10,965	38	0,42	0,33
Planktosphaeria gelatinosa	10	1,042	10,000	00	0,42	0,00
Scenedesmus linearis						
Sphaerocystis schroeteri						
Tetraselmis cordiformis						
Conjugatophyceae						
Cosmarium depressum	1	14,838	0,067	2917	0,20	0,15
Xanthophyceae		·	·			
Gloeobotrys limneticus	28	1,642	17,056	140	2,38	1,87
Chrysophyceae						
Bitrichia chodatii						
Dinobryon bavaricum	2	1,436	1,392	189	0,26	0,21
Dinobryon crenulatum						
Dinobryon cylindricum						
Dinobryon divergens	15	0,635	23,613	202	4,77	3,74
Dinobryon sociale						
Mallomonas elongata	6	14,838	0,404	2831	1,14	0,90
Mallomonas sp.						
Haptophyceae			4=4.000		0.40	
Chrysochromulina parva	41	0,265	154,899	42	6,48	5,08
Dinophyceae	- 4	400 000	0.540	00050	00.00	05.70
Ceratium hirundinella	54	100,000	0,540	60853	32,86	25,76
Dinophyceae indet.						
Glenodinium sp. Gymnodinium helveticum	9	14 000	0.607	0060	4.00	2.04
Gymnodinium sp.	9	14,838	0,607	8068	4,89	3,84
Peridinium willei	11	100,000	0,110	52400	5,76	4,52
Cryptophyceae	11	100,000	0,110	J2400	3,70	4,52
Cryptomonas erosa	42	14,838	2,831	1789	5,06	3,97
Cryptomonas marssonii	18	1,436	12,531	359	4,50	3,53
บางpเบเทบกลร กาลเรร ิ บกแ	Ιδ	1,430	12,531	359	4,50	ა,53

Plagioselmis nannoplanctica	90	0,635	141,676	90	12,76	10,00
Rhodomonas lens						
Bacillariophyceae						
Achnanthes sp.						
Asterionella formosa	1728	100,000	17,280	726	12,55	9,83
Cyclotella cf. atomus	96	0,635	151,121	29	4,32	3,39
Cyclotella bodanica	0,4	14,838	0,028	9111	0,26	0,20
Cyclotella cyclopuncta	14	0,635	22,668	229	5,19	4,07
Cyclotella distinguenda	2	14,838	0,113	2705	0,31	0,24
Cyclotella kuetzingiana	1	14,838	0,057	5207	0,29	0,23
Cyclotella ocellata						
Cyclotella radiosa						
Cyclotella sp.						
Cymbella lanceolata						
Discostella glomerata	10	0,635	15,112	120	1,81	1,42
Fragilaria crotonensis	553	100,000	5,527	727	4,02	3,15
Stephanodiscus alpinus	18	14,838	1,217	2967	3,61	2,83
Ulnaria delicatissima	19	1,642	11,574	315	3,65	2,86
Picoplankton < 5 μm						
Picoplankton indet.	100	0,265	377,803	14	5,35	4,19
Gesamt			995,39		127,58	100,00
			10 ³ L ⁻¹		0,128	%
					mm³ L ⁻¹	

Anmerkung: Aus Übersichtsgründen werden in obenstehender Tabelle die meist sehr kleinen individuellen Einzelwerte als Frischgewicht [μ g L⁻¹] dargestellt und erst unten summarisch in Biovolumen [mm³ L⁻¹] umgerechnet. Unter Annahme eines spezifischen Gewichts von 1.0 für Planktonorganismen gilt dabei 1000 μ g/l = 1 mm³/l.

Neben quantitativen Daten gezählter Arten sind in die Tabelle auch die Ergebnisse der qualitativen Analyse eingeflossen. Sofern in der Probe vorhanden, jedoch nicht in quantifizierbarer Dichte, werden diese lediglich gelistet, ohne weitere Häufigkeitsschätzung.

5. Diatomeenanalyse

Laborinterne Probennummer: ATT2022-04_Diato

Taxon	Rebecca-			Größe	enklassen [μm]		
	ID	4 - <7	7 - <11	11 - <16	16 - <21	21 - <30	30 - <37	>37
Cyclotella cf. atomus	R0039	77						
Cyclotella bodanica	R0040					3		
Cyclotella cyclopuncta	R2195	7	23	4				
Cyclotella distinguenda	R2196			2	4	4		
Cyclotella kuetzingiana	R0046				1	5	2	
Discostella glomerata	R2058	4	13	1				
Stephanodiscus alpinus	R0076			2	29	8		
Summe Schalen pro Größen	klasse	88	36	9	34	20	2	
Gesamtsumme Schalen			189					
Anteil centrischer Diatomeen			12,4 %					

Anmerkungen:

Die Artbestimmung centrischer Diatomeen erfolgte nach Krammer & Lange-Bertalot (1991) und Houk, Klee & Tanaka (2010, 2014, 2017). Es bestehen in der modernen Literatur z. T. erhebliche Unterschiede in taxonomischer Zuordnung (Synonyme, Kombinationen) oder in der Nomenklatur (Namensänderungen valider Arten) einzelner Arten. Sofern solche Änderungen Arten betreffen die in der Liste eingestufter Arten des hier angewendeten Bewertungssystem aufscheinen, wird der in dieser Liste verwendete Name beibehalten.

5. HALLSTÄTTER SEE

5.1. Gutachten Phytoplankton

Ergebnisübersicht für das Untersuchungsjahr 2022 sowie 3-Jahresmittel

Ergebnisübersicht der Untersuchungstermine eines Jahres

sowie 3-Jahresmittel

Datum	Chlorophyll-a [µgL ⁻¹]	Biovolumen* [mm³L-1]	Brettum-Index				
07.03.2022	0,20	0,03	3,71				
13.06.2022	1,40	0,06	3,56				
10.08.2022	1,00	0,14	5,17				
23.11.2022	0.60	0.06	4.70				

^{*}Abz. heterotrophe Arten

Jahr		ophyll-a nittelwert)	Biovolumen (Jahresmittelwert)		Brettum-Index (Jahresmittelwert)		(Jahresmittelwert)		Gesamtbewertung (gewichteter MW)	Ökologische Zustandsklasse
	[µgL ⁻¹]	nEQR	[mm ³ L ⁻¹]	nEQR	Index	nEQR	nEQR			
2020	1,05	1,00	0,09	1,00	3,95	0,71	0,856	sehr gut		
2021	1,25	1,00	0,10	1,00	3,43	0,59	0,797	gut		
2022	0,80	1,00	0,07	1,00	4,28	0,78	0,890	sehr gut		
	3 Jahresmittel						0,848	sehr gut		

BEURTEILUNG

Qualitatselement Phytopiankton im Untersuchungsjahr 2022	<u>Senr gut</u>
	·
Qualitätselement Phytoplankton im 3-Jahresmittel (2020-2022)	Sehr aut

Angaben zum See, zur Untersuchungsstelle und Probenahmen

See und Untersuchungsstelle								
Gewässername	Hallstä	tter See	Höhe Me	esspunkt [m]		508		
Messstellenname			Fläche [k	rm²]		8,6		
(GZÜV-)Messstellen_ID			Maximal	le Länge [km]		7,5		
Rechtswert	474.92	9	Maximal	le Breite [km]		1,4		
Hochwert	268.24	9	Maximal	le Tiefe [m]		125		
Median	31		Mittlere	Tiefe [m]		65		
Detail WK Name			Gesamtvolumen [Mio. m³]			558,1		
Detail WK ID			Mittlerer Abfluss (MQ) [m³/s]			35,4		
IC-Seentyp (Interkalibrierung)	L-AL3		Abfluss			Traun		
AT-Seentyp (National)	D1	D1		Wassererneuerungszeit / theoretisch [Jahre]				
Trophischer Grundzustand	oligotro	oph	Durchmischung / Schichtungstyp			Holo- / dimiktisch		
Zugrunde liegenden Prüfb	erichte	2						
		1. Termin	2.	Termin	3. Termin		4. Termin	
Nummern der zugrunde liegenden P richte	rüfbe-	2022/01	2022/02		2022/0	3	2022/04	
Probenahmetermine der zugrunde liegen- de Prüfberichte		2022-03-07	2022-06-13		2022-08-10		2022-11-23	

1. Ergebnisübersicht – Zusammenfassung der 4 Beprobungstermine

Referenzwert 1,50 Grenze sehr gut/gut 2,14 Grenze gut/mäßig 3,75 Jahresmittel 0,80 Biovolumen mm³L⁻¹ Referenzwert 0,20 Grenze sehr gut/gut 0,33 Grenze gut/mäßig 0,80 Jahresmittel 0,07	1,00 0,70 0,40 1,88 EQR 1,00 0,60	1,00 0,80 0,60 1,00 nEQR 1,00 0,80
Grenze gut/mäßig 3,75 Jahresmittel 0,80 Biovolumen mm³L¹ Referenzwert 0,20 Grenze sehr gut/gut 0,33 Grenze gut/mäßig 0,80 Jahresmittel 0,07 Brettum-Index Wert	0,40 1,88 EQR 1,00 0,60	0,60 1,00 nEQR 1,00 0,80
Biovolumen mm³L⁻¹ Referenzwert 0,20 Grenze sehr gut/gut 0,33 Grenze gut/mäßig 0,80 Jahresmittel 0,07 Brettum-Index Wert	1,88 EQR 1,00 0,60	1,00 nEQR 1,00 0,80
Biovolumen mm³L¹ Referenzwert 0,20 Grenze sehr gut/gut 0,33 Grenze gut/mäßig 0,80 Jahresmittel 0,07 Brettum-Index Wert	EQR 1,00 0,60	nEQR 1,00 0,80
Referenzwert 0,20 Grenze sehr gut/gut 0,33 Grenze gut/mäßig 0,80 Jahresmittel 0,07 Brettum-Index Wert	1,00 0,60	1,00 0,80
Referenzwert 0,20 Grenze sehr gut/gut 0,33 Grenze gut/mäßig 0,80 Jahresmittel 0,07 Brettum-Index Wert	1,00 0,60	1,00 0,80
Grenze sehr gut/gut 0,33 Grenze gut/mäßig 0,80 Jahresmittel 0,07 Brettum-Index Wert	0,60	0,80
Grenze gut/mäßig 0,80 Jahresmittel 0,07 Brettum-Index Wert	·	·
Jahresmittel 0,07 Brettum-Index Wert	0.25	
Brettum-Index Wert	-,	0,60
	2,71	1,00
		T
Defendance of	EQR	nEQR
Referenzwert 5,29	1,00	1,00
Grenze sehr gut/gut 4,37	0,83	0,80
Grenze gut/mäßig 3,46	0,65	0,60
Jahresmittel 5,29		0,78

Normierte EQR gesamt	0,890
Ökologische Zustandsklasse	Sehr gut

5.2. Ergebnistabellen

Tab. 5.2.1. Zusammenfassung quantitative und qualitative Phytoplanktonproben

HALLSTÄTTER SEE 2022 Algenfrischgewicht [µg l ⁻¹]					
TAXON	07.03.	13.06.	10.08.	22.11.	Mittel
Cyanobacteria					
Planktothrix rubescens	0,27	0,14			0,10
Chlorophyceae					
Elakatothrix genevensis	0	0,35			0,09
Planktosphaeria gelatinosa		٥			
Sphaerocystis schroeteri			0		
Conjugatophyceae					
Cosmarium depressum		0,24			0,06
Staurastrum cingulum		0,35	0,19		0,14
Chrysophyceae					
Dinobryon crenulatum			٥		
Dinobryon divergens		1,56	1,93	1,09	1,14
Mallomonas sp.			8,97	o	2,24
Dinophyceae					
Ceratium hirundinella	1,12	1,35	21,14	1,23	6,21
Gymnodinium helveticum	0,39	2,21	2,12	4,65	2,34
Gymnodinium sp.	1,58	0,32	0,70	0,91	0,88
Peridinium willei	,	,	1,57	,	0,39
Cryptophyceae			ŕ		,
Cryptomonas erosa	1,05	3,64	20,07	38,94	15,93
Cryptomonas marssonii	,	ŕ	,	0	ŕ
Plagioselmis nannoplanctica	6,20	14,43	39,73	13,98	18,59
Rhodomonas lens	0	13,99	5,51	1,30	5,20
Bacillariophyceae		,	,	,	,
Achnanthes sp.	0,18				0,05
Asterionella formosa	5,25	0,29	0,29	1,29	1,78
Aulacoseira subarctica	0,11	0	-, -	, -	0,03
Cocconeis placentula	0	0	0		,
Cyclotella cf. atomus	0,39	0,15	0,08		0,16
Cyclotella bodanica	0,30	1,39	0,90	0,45	0,76
Cyclotella cf. comensis	-,	0,30	0,34	-, -	0,16
Cyclotella cyclopuncta	1,73	2,60	26,45		7,69
Cyclotella intermedia	0,15	0	4,38		1,13
Cyclotella meneghiniana	, ,		0		, -
Cyclotella ocellata		0	0,03		0,01
Cyclotella cf. planctonica	0,01	0,28	0,56		0,21
Cyclotella pseudostelligera	,	, -	0,60		0,15
Cyclotella radiosa		0,02	0,03		0,01
Cyclotella sp.	0,43	0,65	1,69	0,51	0,82

Cymbella lanceolata Diatoma ehrenbergii	0	0	0	0	
Nitzschia acicularis	0				
Stephanocostis chantaica		0,06	0,10		0,04
Stephanodiscus alpinus	0,29	0,65	0,69		0,41
Stephanodiscus minutulus	0,02	0,35			0,09
Stephanodiscus neoastraea	9,62	19,13	6,65		8,85
Ulnaria delicatissima var. angustissima	0,62	0,28		0,90	0,45
Frischgewicht tot. (µg/l)	29,7	64,8	144,7	65,2	76,1
Biovolumen tot. (mm³/l)	0,030	0,065	0,145	0,065	0,076
abz. heterotrophe (mm³/l)	0,029	0,063	0,143	0,061	0,074
$1000 \mu g/l = 1 \text{ mm}^3/l$					
Chlorophyll-a [µg/l]	0,2	1,4	1,0	0,6	0,80
Relativer Anteil Chlorophyll-a [%]	0,67	2,16	0,69	0,92	1,11
Anzahl Taxa / Termin	24	31	29	14	_
Anzahl Taxa insgesamt		_	_		40

Anmerkung: Aus Übersichtsgründen werden in obenstehender Tabelle die meist sehr kleinen individuellen Einzelwerte als Frischgewicht [μ g L⁻¹] dargestellt und erst summarisch in Biovolumen [mm^3 L⁻¹] umgerechnet. Unter Annahme eines spezifischen Gewichts von 1.0 für Planktonorganismen gilt dabei 1000 μ g/l = 1 mm^3 /l.

Neben quantitativen Daten gezählter Arten sind in die Tabelle auch qualitative Ergebnisse eingeflossen: das Auftreten von Arten in nicht quantifizierbarer Dichte ist durch ^ogekennzeichnet.

Tab. 5.2.2. Zusammenfassung Algenklassen der quantitativen Phytoplanktonproben

HALLSTÄTTER SEE 2022 Algenfrischgewicht [µg l ⁻¹]						
Algenklasse	07.03.	13.06.	10.08.	22.11.	Mittel	
Bacillariophyceae Centrales	13,06	25,59	42,50	0,95	20,53	
Bacillariophyceae Pennales	6,05	0,57	0,29	2,18	2,27	
Chlorophyceae		0,35			0,09	
Chrysophyceae		1,56	10,90	1,09	3,39	
Conjugatophyceae Desmid.		0,60	0,19		0,20	
Conjugatophyceae Zygnem.						
Cryptophyceae	7,25	32,07	65,31	54,21	39,71	
Cyanobacteria coccal						
Cyanobacteria filamentös	0,27	0,14			0,10	
Dinophyceae	3,09	3,88	25,53	6,78	9,82	
Euglenophyceae						
Haptophyceae						
Prasinophyceae						
Ulvophyceae						
Xanthophyceae						
Phytoplankton indet.						
Frischgewicht tot. (µg/l)	29,7	64,8	144,7	65,2	76,1	
Biovolumen tot. (mm³/l)	0,030	0,065	0,145	0,065	0,076	
abz. heterotrophe (mm³/l)	0,029	0,063	0,143	0,061	0,074	
$1000 \mu g/l = 1 \text{ mm}^3/l$						

Tab. 5.2.3. Brettum Index:

Werte der einzelnen Trophie-Klassen, für 2022 im Hallstätter See quantifizierte Taxa

HALLSTÄTTER SEE 2022	HALLSTÄTTER SEE 2022 Rebecca-ID			Brettum-Indexwerte der einzelnen Trophie- klassen						
Taxon		<=5	5-8	8-15	15-30	30-60	>60			
Achnanthes sp.	R0117									
Asterionella formosa	R0135									
Aulacoseira subarctica	R0033		1	8	1					
Ceratium hirundinella	R1672									
Cosmarium depressum	R1209	2	2	3	1	1	1			
Cryptomonas erosa	R1378									
Cyclotella bodanica	R0040	7	3							
Cyclotella cf. atomus	R0039									
Cyclotella cf. comensis	R0042	7	2	1						
Cyclotella cf. planctonica	R2570									
Cyclotella cyclopuncta	R2195	7	3							
Cyclotella intermedia	R0040	7	3							
Cyclotella ocellata	R0048		1	1	4	3	1			
Cyclotella pseudostelligera	R2059									
Cyclotella radiosa	R0051			1	3	5	1			
Cyclotella sp.	R0053									
Dinobryon divergens	R1073									
Elakatothrix genevensis	R0597									
Gymnodinium sp.	R1654	1	5	2	1	1				
Mallomonas sp.	R1109									
Peridinium willei	R1704	1	4	2	1	1	1			
Plagioselmis nannoplanctica	R2162									
Planktothrix rubescens	R1617	1	1	3	4	1				
Rhodomonas lens	R1407									
Staurastrum cingulum	R1283				1	8	1			
Stephanocostis chantaica	R0075									
Stephanodiscus alpinus	R0076									
Stephanodiscus minutulus	R0082				3	4	3			
Stephanodiscus neoastraea	R0083		1	2	4	3				
Ulnaria delicatissima var. angustissima	R2174	2	3	3	2					

Relativer Anteil quantifizierter Taxa für Brettum Index [%]	50,0
Relativer Anteil des Biovolumen der eingestuften Taxa am Gesamtbiovolumen [%]	27,4

Tab. 5.2.4. Prägende trophische Indikatoren (Brettum Scores) und quantitativ wichtige (Biovolums-Anteil > 3 %) Arten - Hallstätter See 2022

HALLSTÄTTER SEE									Rel. An-
Taxon	Rebecca-ID	Biovolumen	Brettum-Indexwerte						teil
		2 1		5-	8-	15-	30-		
März		[mm ³ L ⁻¹]	<=5	8	15	30	60	>60	[%]
Stephanodiscus neoastraea	R0083	0,0082		1	2	4	3		32,79%
Cyclotella cyclopuncta	R2195	0,0015	7	3					5,90%
Gymnodinium sp.	R1654	0,0016	1	5	2	1	1		5,37%
Plagioselmis nannoplanctica	R2162	0,0062							21,15%
Asterionella formosa	R0135	0,0053							17,90%
Ceratium hirundinella	R1672	0,0011							3,82%
Cryptomonas erosa	R1378	0,0010							3,57%
Juni									
Stephanodiscus neoastraea	R0083	0,0181		1	2	4	3		30,59%
Cyclotella cyclopuncta	R2195	0,0026	7	3					4,16%
Plagioselmis nannoplanctica	R2162	0,0144							23,08%
Rhodomonas lens	R1407	0,0140							22,37%
Cryptomonas erosa	R1378	0,0036							5,82%
August									
Cyclotella cyclopuncta	R2195	0,0264	7	3					18,55%
Stephanodiscus neoastraea	R0083	0,0067		1	2	4	3		4,66%
Cyclotella intermedia	R0040	0,0044	7	3					3,07%
Plagioselmis nannoplanctica	R2162	0,0397							27,86%
Ceratium hirundinella	R1672	0,0211							14,82%
Cryptomonas erosa	R1378	0,0201							14,08%
Mallomonas sp.	R1109	0,0090							6,29%
Rhodomonas lens	R1407	0,0055							3,86%
November									
Cryptomonas erosa	R1378	0,0389							64,28%
Plagioselmis nannoplanctica	R2162	0,0140							23,08%

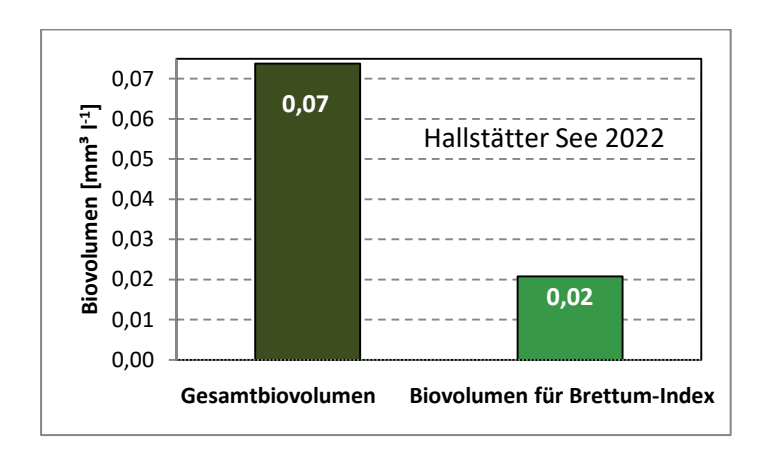
^{*}N.B.:Geringfügige Abweichungen des relativen Anteils einzelner Taxa am Gesamt-Biovolumen[%], im Vergleich zu den Werten in den Prüfprotokollen (4. Quantitative Analyse - Utermöhl-Zählung), ergeben sich aus den in obiger Tabelle bereits abgezogenen Anteilen heterotropher Taxa!

5.3. Grafische Darstellungen

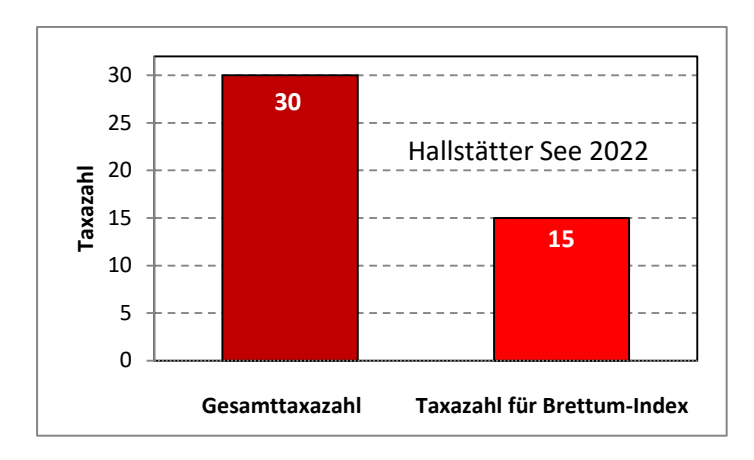
Jahresmittel EQR:

See	HALLSTÄTTER SEE						
Jahr		2022					
IC Seentyp	L-AL3	range	1				
Chlorophyll-a [µg L ⁻¹]	0,80						
Biovolumen [mm³ L-1]	0,07						
BV für Brettum-Index [mm ³ L ⁻¹]	0,02	28%					
Taxa	30						
Taxa für Brettum-Index	15	50%					
Brettum-Index	4,28						
	Ref.wert	EQR	nEQR				
Chlorophyll-a	1,50	1,88	1,00				
Biovolumen	0,20	2,71	1,00				
Brettum-Index	5,29	0,81	0,78				
EQR gesamt	0,890	sehi	gut				

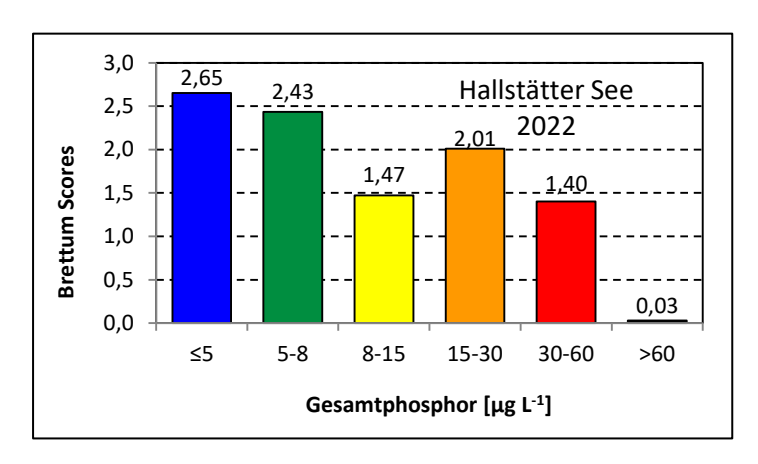
Anteil Biovolumen für die Berechnung des Brettum-Index:



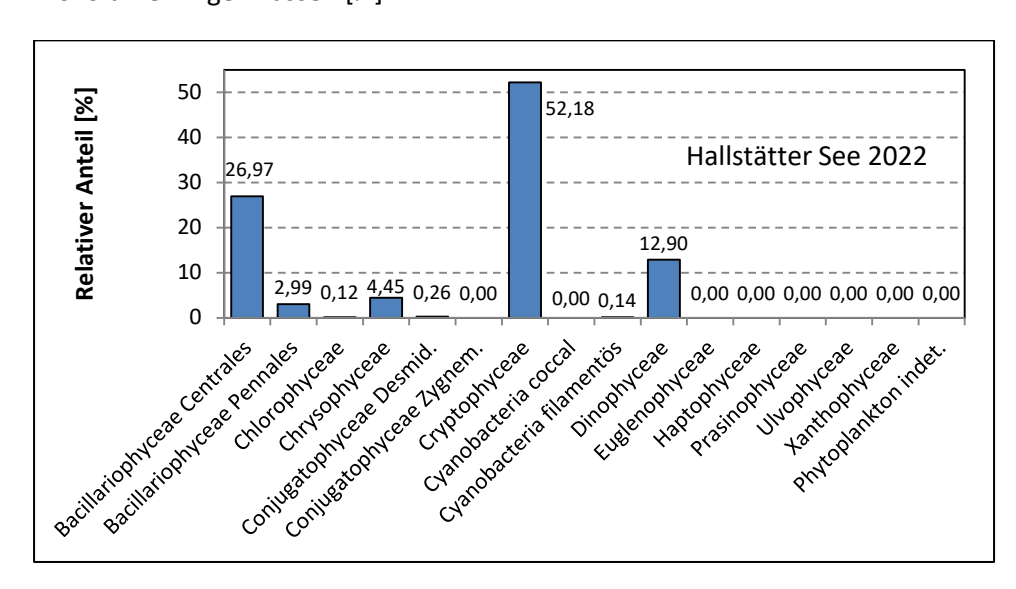




Verteilung Brettum-Scores über die sechs Phosphor-Trophie-Klassen:



Biovolumen Algenklassen [%]:



Prüfbericht Phytoplankton - GZÜV-Untersuchungen des Jahres 2022 Hallstätter See 2022-03-07

1. Angaben zu Prüflabor und Auftraggeber

Prüflabor	Dr. Jersabek	Prüfbericht-Nr.	HST2022-01					
Auftraggeber	Amt der Oberösterreichischen Land	Amt der Oberösterreichischen Landesregierung						

2. Angaben zum See, zur Untersuchungsstelle und Probenahme

Allgemeine Angab	oen								
Gewässername		Halls	stätter See		Rechtswert		47	4.929	
Messstellenname					Hochwert		26	268.249	
(GZÜV-)Messstellen_ID					Median		31		
Detail WK Name					Trophischer Grundzustand		oli	igotroph	
Detail WK ID					Höhe Messpu	nkt [m]	50)8	
Z	Zu jewe	eils r	mindestens 4	4 Teri	minen pro Un	tersuchung	sjah	r:	
Datum, Uhrzeit, Pro	benah	me-	Team, Prüfla	bor					
Datum Probenahme	2022-0	3-07	·	Prob	enahme-Team				
Uhrzeit Probenahme				Prüfl	abor *	Bundesamt für Mondsee, Scha		erwirtschaft IGF	
Limnologisch charakteri			punkt **	Frühjd	hrszirkulation				
* wenn Proben nicht vom selben P ** Frühjahrszirkulation, Beginn der	rüflabor gez Sommersta	zogen agnatioi	n, Höhepunkt der Som	nmerstagi	nation, Beginn der Herb	ostzirkulation			
Witterung									
vor der Probenahm			me	während der			Probenahme		
Wetter									
Wind									
Niederschlag		Da	Datum:						
Lufttemperatur [°C]									
Wolkenbedeckung [%]									
		•							
Hydrographie, Trüb	ung, F	ärbu	ung, Schicht	ung					
Hochwassereinfluss (de	r wichtig	gsten	Zubringer)						
vor der Probenahme			ja □	nein	während der l			□ ja	□ nein
Wasserstand aktuell (zur Schätzung auf m ü.A.)*	mindest				Sonstiges (Ok Pollenflug)	perflächenfilm,			
Trübung, Art der Trübung **					Thermokline [[m]			
Färbung					Sichttiefe/Sec	chi-Tiefe [m]		7,2	2
Algenblüten, Auftriebsflo	ocken		ja □	nein		iphotischen Zo sationsebene)s			
* z.B. hoch, mittel, niedrig	* * mii	neralisc	ch, organisch, Calcitfäl	rbung					
Probenahme									
Probenahmetiefe der que Probe [m; vonbis]		en	0 – 21 m		Art der Probena quantitativen Pr			lischprobe ntegrierende P	robe
					wenn Mischpro	be: Angabe der	Tiefe	enstufen	
Maschenweite für die qu Phytoplankton-Probe [μι) 				-			

3. Methodische Angaben zur qualitativen, quantitativen und Diatomeen - Analyse

Qualitative A	Analyse									
Probennummer		HST2022	-01	Bea	rbeiterIn	Christian Jers	abek			
Datum der Analy	se	2023-03	-14	Pro	benart	☐ lebend		x fixiert		
Quantitative	Analyse	:								
Probennummer HST2022-01					Nachfixieru Probe	ıng der quantitati	□ ja	x nein		
BearbeiterIn		Chris	stian Jersabek		wenn ja, w	ann				
Datum der Analy		202	3-03-14		Kammerty)		Utermöh	ıl	
Zeitraum zw. Pro und Analyse	benahme	373	Tage		Kammervo			10 ml		
					Ausgegossenes Volumen der Probe			100 ml		
Quantitative Pr	obe: Zähls	trategie	1							
Proben-Nr.	Kamm	ertyp	Zählstrategie Diagonalen/Felder			1	, <u> </u>	len / Felde	1	Obj. 60x
HST2022-01	Utermöh		Ganze Kammer		Obj. 4x 1	Obj. 10x	0	bj. 25x	Obj. 40x	Obj. 60x
H312022-01	Otermon		Diagonale/Felder		1	6 D		56 F	42 F	
			Diagonale/Telaci			0.5		301	721	
Diatomeenp	robe									
Herkunft										
wenn eigene Dia	tomeenpro	be								
Probennummer		HST2022	-01_Diat		Volumen					
Präparation		x Glühpi	räparat		☐ chemisch	e Oxidation				
Optische Au	srüstung	des Zä	hlmikroskops und	Dur	chlichtmi	kroskops für	die	Diatome	en-Analy	se
Zählmikroskop (Marke/Typ)					Zeiss Telaval 3, Jena					
Durchlichtmikr DIC ja/nein)	oskop (Ma	rke/Typ,	Phasenkontrast ja/ne	in,	Leitz Diaplan (ja/ja)					
Stärkstes Objek (Vergrößerung,		he Apert	ur)		100x (oil,	1,25)				

4. Quantitative Analyse (Utermöhl-Zählung)

Laborinterne Probennummer: HST2022-01

HST2022-03-07	Gezählte Individuen	Gezähltes Vol. [ml]	Abundanz [10³ L ⁻¹]	Zellvolumen [μm³]	FW [µg 1 ⁻¹]	Rel. Anteil [%]
Cyanobacteria						
Planktothrix rubescens	12	100,000	0,120	2289	0,27	0,92
Chlorophyceae						
Elakatothrix genevensis						
Dinophyceae						
Ceratium hirundinella	2	100,000	0,020	56089	1,12	3,75
Gymnodinium helveticum	5	100,000	0,050	7780	0,39	1,30
Gymnodinium sp.	4	3,831	1,044	1509	1,58	5,26
Cryptophyceae						
Cryptomonas erosa	16	29,676	0,539	1943	1,05	3,50
Plagioselmis nannoplanctica	78	1,112	70,164	88	6,20	20,72
Rhodomonas lens						
Bacillariophyceae						
Achnanthes sp.	2	3,831	0,522	352	0,18	0,61
Asterionella formosa	752	100,000	7,520	698	5,25	17,54
Aulacoseira subarctica	32	100,000	0,316	337	0,11	0,35
Cocconeis placentula						
Cyclotella cf. atomus	5	1,112	4,498	86	0,39	1,30
Cyclotella bodanica	2	100,000	0,020	14837	0,30	0,99
Cyclotella cyclopuncta gr.	14	3,831	3,655	418	1,53	5,10
Cyclotella cyclopuncta kl.	2	1,112	1,439	141	0,20	0,68
Cyclotella intermedia	0,5	29,676	0,017	9111	0,15	0,51
Cyclotella cf. planctonica	0,1	29,676	0,003	4341	0,01	0,05
Cyclotella sp.	3	1,112	2,699	161	0,43	1,45
Diatoma ehrenbergii						
Nitzschia acicularis						
Stephanodiscus alpinus	2	29,676	0,054	5426	0,29	0,98
Stephanodiscus minutulus	0,4	1,112	0,360	65	0,02	0,08
Stephanodiscus neoastraea gr.	42	59,940	0,701	11693	8,19	27,37
Stephanodiscus neoastraea kl.	8	29,676	0,263	5426	1,43	4,76
Ulnaria delicatissima var. angustissima	12	100,000	0,120	5161	0,62	2,07
Gesamt		·	94,46		29,94	100,00
			10 ³ L ⁻¹		0,030	%
					mm³ L ⁻¹	

Anmerkung: Aus Übersichtsgründen werden in obenstehender Tabelle die meist sehr kleinen individuellen Einzelwerte als Frischgewicht [μ g L⁻¹] dargestellt und erst unten summarisch in Biovolumen [mm³ L⁻¹] umgerechnet. Unter Annahme eines spezifischen Gewichts von 1.0 für Planktonorganismen gilt dabei 1000 μ g/l = 1 mm³/l.

Neben quantitativen Daten gezählter Arten sind in die Tabelle auch die Ergebnisse der qualitativen Analyse eingeflossen. Sofern in der Probe vorhanden, jedoch nicht in quantifizierbarer Dichte, werden diese lediglich gelistet, ohne weitere Häufigkeitsschätzung.

5. **Diatomeenanalyse**

Laborinterne Probennummer: HST2022-01_Diato

Taxon	Rebecca-			Größ	enklassen	[µm]		
	ID	4 - <7	7 - <11	11 - <16	16 - <21	21 - <30	30 - <37	>37
Aulacoseira subarctica	R0033	51						
Cyclotella cf. atomus	R0039	38	2					
Cyclotella bodanica	R0040						5	
Cyclotella cyclopuncta	R2195	4	8	21				
Cyclotella intermedia	R0040					5	1	
Cyclotella cf. planctonica	R2570					2		
Cyclotella sp.	R0053		6					
Stephanodiscus alpinus	R0076				1	4	2	
Stephanodiscus minutulus	R0082	4						
Stephanodiscus neoastraea	R0083					14	39	
Summe Schalen pro Größen	klasse	97	16	21	1	25	47	
		-						
Gesamtsumme Schalen						207		
Anteil centrischer Diatomeen		43,9 %						

Anmerkungen: Die Artbestimmung centrischer Diatomeen erfolgte nach Krammer & Lange-Bertalot (1991) und Houk, Klee & Tanaka (2010, 2014, 2017). Es bestehen in der modernen Literatur z. T. erhebliche Unterschiede in taxonomischer Zuordnung (Synonyme, Kombinationen) oder in der Nomenklatur (Namensänderungen valider Arten) einzelner Arten. Sofern solche Änderungen Arten betreffen die in der Liste eingestufter Arten des hier angewendeten Bewertungssystem aufscheinen, wird der in dieser Liste verwendete Name beibehalten.

Prüfbericht Phytoplankton - GZÜV-Untersuchungen des Jahres 2022 Hallstätter See 2022-06-13

1. Angaben zu Prüflabor und Auftraggeber

Prüflabor	Dr. Jersabek	Prüfbericht-Nr.	HST2022-02					
Auftraggeber	Amt der Oberösterreichischen La	Amt der Oberösterreichischen Landesregierung						

2. Angaben zum See, zur Untersuchungsstelle und Probenahme

Allgemeine Angak	en								
Gewässername		Halls	stätter See		Rechtswert		47	4.929	
Messstellenname					Hochwert		26	8.249	
(GZÜV-)Messstellen_ID					Median		31		
Detail WK Name					Trophischer Grundzustand		OI	Oligotroph	
Detail WK ID					Höhe Messpu	nkt [m]	50	8	
Z	'u jewe	eils r	nindestens 4	4 Teri	ninen pro Un	tersuchung	sjah	r:	
Datum, Uhrzeit, Pro	benah	me-	Team, Prüfla	bor					
Datum Probenahme	2022-0	6-13	3 Probenahme-To		enahme-Team				
Uhrzeit Probenahme				Prüfl	abor *	Bundesamt für Mondsee, Scha		rwirtschaft IGF	
Limnologisch charakteri			punkt **	Begir	in der Sommersta	agnation			
* wenn Proben nicht vom selben Pr ** Frühjahrszirkulation, Beginn der			n, Höhepunkt der Som	nmerstagi	nation, Beginn der Herb	ostzirkulation			
Witterung									
vor der Probenahme			me	während der F			Probenahme		
Wetter									
Wind									
Niederschlag		Da	Datum:						
Lufttemperatur [°C]									
Wolkenbedeckung [%]									
Hydrographie, Trüb	ung, F	ärbu	ıng, Schicht	ung					
Hochwassereinfluss (de	r wichtig	gsten	Zubringer)						
vor der Probenahme			ja □	nein	während der I	Probenahme		□ ja	□ nein
Wasserstand aktuell (zur Schätzung auf m ü.A.)*	mindest				Sonstiges (Ok Pollenflug)	perflächenfilm,			
Trübung, Art der Trübung **					Thermokline [[m]			
Färbung					Sichttiefe/Sec	chi-Tiefe [m]		4,7	
Algenblüten, Auftriebsflo	ocken		ja □	nein	Grenze der eunhotischen Zon				
* z.B. hoch, mittel, niedrig	* * mir	neralisc	h, organisch, Calcitfäl	rbung					
Probenahme									
Probenahmetiefe der qua Probe [m; vonbis]		en	0 – 21 m		Art der Probena quantitativen Pr			ischprobe ntegrierende Pro	obe
					wenn Mischpro	be: Angabe de		_	
Maschenweite für die qu Phytoplankton-Probe [µr		!			-				

3. Methodische Angaben zur qualitativen, quantitativen und Diatomeen – Analyse

Qualitative A	Analyse									
Probennummer		HST202	2-02	Be	arbeiterIn	Christian Jers	abek			
Datum der Analy	se	2023-03	3-14	Pro	benart	☐ lebend		x fixiert		
Quantitative	Analys	e								
Probennummer HST2022-02					Nachfixierung der quantitativen Probe			□ ja		x nein
BearbeiterIn		Chi	ristian Jersabek		wenn ja, wa	ann				
Datum der Analy	se	202	23-03-14		Kammertyp)		Utermöh	nl	
Zeitraum zw. Pro und Analyse	benahme	277	7 Tage		Kammervo	lumen		10 ml		
					Ausgegosse Probe	enes Volumen de	r	100 ml		
Quantitative Pr	obe: Zähl	strategi	e							
Proben-Nr.	Kamm	ertyp	Zählstrategie				len / Felde			
			Diagonalen/Felder		Obj. 4x	Obj. 10x	bj. 25x	Obj. 40x		
HST2022-02	Röhrenka nach Ute		Ganze Kammer		1					
			Diagonale/Felder			3 D		48 F	21 F	
Diatomeenp	robe									
Herkunft										
wenn eigene Diat	omeenpro	be								
Probennummer		HST202	2-02_Diat		Volumen					
Präparation		x Glüh	präparat [□ ch	emische Oxio	lation				
Optische Aus	srüstung	g des Z	ählmikroskops und	Dur	chlichtmi	kroskops für	die	Diatome	een-Analy	se
Zählmikroskop (Marko (Typ.)					Zeiss Tela	val 3, Jena				
(Marke/Typ) Durchlichtmikroskop (Marke/Typ, Phasenkontrast ja/nein, DIC ja/nein)					Leitz Diaplan (ja/ja)					
Stärkstes Objek (Vergrößerung,		he Apei	rtur)		100x (oil,	1,25)				
(vergroserung,	numeris	ine Apei	tuij							

4. Quantitative Analyse (Utermöhl-Zählung) Laborinterne Probennummer: HST2022-02

HST2022-06-13	Gezählte Individuen	Gezähltes Vol. [ml]	Abundanz [10³ L¹]	Zellvolumen [µm³]	FW [µg l¹]	Rel. Anteil [%]
Cyanobacteria						0.00
Planktothrix rubescens	6	100,000	0,060	2375	0,14	0,22
Chlorophyceae						
Elakatothrix genevensis Planktosphaeria gelatinosa	9	3,283	2,741	128	0,35	0,54
Conjugatophyceae						
Cosmarium depressum	1	14,838	0,067	3622	0,24	0,38
Staurastrum cingulum	4	100,000	0,040	8811	0,35	0,54
Chrysophyceae			0 =04			
Dinobryon divergens	22	3,283	6,701	233	1,56	2,41
Dinophyceae	_					
Ceratium hirundinella	2	100,000	0,020	67380	1,35	2,08
Gymnodinium helveticum	14	100,000	0,140	15774	2,21	3,41
Gymnodinium sp.	2	3,283	0,609	524	0,32	0,49
Cryptophyceae	07	4.4.000	4 000	0000	0.04	5 00
Cryptomonas erosa	27	14,838	1,820	2002	3,64	5,63
Plagioselmis nannoplanctica	174	0,556	313,037	46	14,43	22,29
Rhodomonas lens	22	0,556	39,579	354	13,99	21,61
Bacillariophyceae	C 4	400.000	0.040	400	0.00	0.45
Asterionella formosa	64	100,000	0,640	460	0,29	0,45
Aulacoseira subarctica						
Cocconeis placentula					o =	
Cyclotella cf. atomus	2	0,556	3,022	50	0,15	0,23
Cyclotella bodanica	5	100,000	0,050	27834	1,39	2,15
Cyclotella intermedia						
Cyclotella cf. comensis	1	0,556	2,267	132	0,30	0,46
Cyclotella cyclopuncta	11	0,556	19,646	132	2,60	4,02
Cyclotella ocellata						
Cyclotella cf. planctonica	1	14,838	0,073	3892	0,28	0,44
Cyclotella radiosa	0,2	14,838	0,012	1831	0,02	0,03
Cyclotella sp.	3	0,556	6,045	108	0,65	1,01
Cymbella lanceolata						
Diatoma ehrenbergii						
Stephanocostis chantaica	1	0,556	1,511	39	0,06	0,09
Stephanodiscus alpinus	2	14,838	0,146	4471	0,65	1,01
Stephanodiscus minutulus	3	0,556	5,289	65	0,35	0,53
Stephanodiscus neoastraea gr.	16	14,838	1,078	16828	18,15	28,02
Stephanodiscus neoastraea kl.	3	14,838	0,174	5655	0,98	1,52
Ulnaria delicatissima var. angustissima	8	100,000	0,080	3457	0,28	0,43
Gesamt			404,85		64,75	100,00
			10 ³ L ⁻¹		0,065	%
					mm³ L ⁻¹	

Anmerkung: Aus Übersichtsgründen werden in obenstehender Tabelle die meist sehr kleinen individuellen Einzelwerte als Frischgewicht [μ g L⁻¹] dargestellt und erst unten summarisch in Biovolumen [mm³ L⁻¹] umgerechnet. Unter Annahme eines spezifischen Gewichts von 1.0 für Planktonorganismen gilt dabei 1000 μ g/l = 1 mm³/l.

Neben quantitativen Daten gezählter Arten sind in die Tabelle auch die Ergebnisse der qualitativen Analyse eingeflossen. Sofern in der Probe vorhanden, jedoch nicht in quantifizierbarer Dichte, werden diese lediglich gelistet, ohne weitere Häufigkeitsschätzung.

5. Diatomeenanalyse

Laborinterne Probennummer: HST2022-02_Diato

Taxon	Rebecca-			Größ	enklassen	[µm]			
	ID	4 - <7	7 - <11	11 - <16	16 - <21	21 - <30	30 - <37	>37	
Cyclotella cf. atomus	R0039	10							
Cyclotella bodanica	R0040						7	2	
Cyclotella cf. comensis	R0042	1	4	2					
Cyclotella cyclopuncta	R2195	12	17	4					
Cyclotella cf. planctonica	R2570				3	5	1		
Cyclotella radiosa	R2570				2				
Cyclotella sp.	R0053	2	5						
Stephanocostis chantaica	R0075	3							
Stephanodiscus alpinus	R0076				2	6	1		
Stephanodiscus minutulus	R0082	12							
Stephanodiscus neoastraea	R0083					8	29		
Summe Schalen pro Größen	Summe Schalen pro Größenklasse 40 26						38	2	
Gesamtsumme Schalen						138			
Anteil centrischer Diatomeen	am Gesamt-B	iovolum	en		39,5 %				

Anmerkungen: Die Artbestimmung centrischer Diatomeen erfolgte nach Krammer & Lange-Bertalot (1991) und Houk, Klee & Tanaka (2010, 2014, 2017). Es bestehen in der modernen Literatur z. T. erhebliche Unterschiede in taxonomischer Zuordnung (Synonyme, Kombinationen) oder in der Nomenklatur (Namensänderungen valider Arten) einzelner Arten. Sofern solche Änderungen Arten betreffen die in der Liste eingestufter Arten des hier angewendeten Bewertungssystem aufscheinen, wird der in dieser Liste verwendete Name beibehalten.

Prüfbericht Phytoplankton - GZÜV-Untersuchungen des Jahres 2022 Hallstätter See 2022-08-10

1. Angaben zu Prüflabor und Auftraggeber

Prüflabor	Dr. Jersabek	Prüfbericht-Nr.	HST2022-03					
Auftraggeber	Amt der Oberösterreichischen La	Amt der Oberösterreichischen Landesregierung						

2. Angaben zum See, zur Untersuchungsstelle und Probenahme

Allgemeine Angab	en									
Gewässername		Halls	stätter See		Rechtswert		47	4.929		
Messstellenname					Hochwert		26	268.249		
(GZÜV-)Messstellen_ID					Median		31	31		
Detail WK Name					Trophischer C	Grundzustand	oli	oligotroph		
Detail WK ID					Höhe Messpu	nkt [m]	50	18		
_										
	u jewe	ells r	mindestens 4	4 leri	ninen pro Un	tersuchung	sjan	r:		
Datum, Uhrzeit, Pro	benah	me-	Team, Prüfla	bor						
Datum Probenahme 2022-0				Prob	enahme-Team					
Uhrzeit Probenahme			F		abor *	Bundesamt für Mondsee, Scha		rwirtschaft IGF		
Limnologisch charakteristischer			punkt **	Höhe	punkt der Somme	erstagnation				
* wenn Proben nicht vom selben Pr ** Frühjahrszirkulation, Beginn der	n, Höhepunkt der Son	nmerstagi	nation, Beginn der Herk	ostzirkulation						
Witterung										
		vo	r der Probenah		während der Probenahme					
Wetter										
Wind										
Niederschlag		Da	atum:							
Lufttemperatur [°C]										
Wolkenbedeckung [%]										
Hydrographie, Trüb	ung, F	ärbu	ıng, Schicht	ung						
Hochwassereinfluss (der	r wichtig	gsten	Zubringer)							
vor der Probenahme			ja □	nein	während der I	Probenahme		□ ja	□ nein	
Wasserstand aktuell (zur Schätzung auf m ü.A.)*	nindest	:			Sonstiges (Ob Pollenflug)	perflächenfilm,				
Trübung, Art der Trübung **					Thermokline [[m]				
Färbung					Sichttiefe/Sec	chi-Tiefe [m]		8,4		
Algenblüten, Auftriebsflo	ocken		ja □	nein	Grenze der eunhotischen Zo					
* z.B. hoch, mittel, niedrig	* * mil	neralisc	h, organisch, Calcitfä	rbung						
Probenahme	Probenahme									
Probenahmetiefe der qua Probe [m; vonbis]		en	0 – 21 m					x Mischprobe □ integrierende Probe		
. ,					wenn Mischprobe: Angabe der Tiefenstufen					
Maschenweite für die qu Phytoplankton-Probe [µr)			· ·	•				

3. Methodische Angaben zur qualitativen, quantitativen und Diatomeen - Analyse

Qualitative A	Analyse										
Probennummer		HST2022	-03	Ве	arbeiterIn	Christian Jei	sabek				
Datum der Analys	se	2023-03-	14	Pro	Probenart ☐ lebend x fixiert						
Quantitative	Analyse	e									
Probennummer		HST2	2022-03	Nachfixierung der quantitativen Probe				□ ja x nein			
BearbeiterIn Christian Jersabek					wenn ja, w	ann					
Datum der Analyse 2023-03-14					Kammerty)		Utermöh	l		
Zeitraum zw. Pro und Analyse	benahme	220	Tage		Kammervo	lumen		10 ml			
					Ausgegosse Probe	enes Volumen d	er	100 ml			
Quantitative Pr	obe: Zähl	strategie	1	1				. ,			
Proben-Nr.	Kamm	ertyp	Zählstrategie Diagonalen/Felder	Obj. 4x			Anzahl Diagonalen / Feld Obj. 10x Obj. 25x				
	Röhrenka	mmer	Diagonalen/Teluel		Obj. 4x	Obj. 10x	-	DJ. 25X	Obj. 40x		
HST2022-03	nach Ute		Ganze Kammer		1						
			Diagonale/Felder		3 D			30 F	24 F		
Diatomeenp	robe										
Herkunft											
wenn eigene Diat	tomeenpro	be									
Probennummer		HST2022	-03_Diat		Volumen						
Präparation		x Glühpr	räparat [□ ch	emische Oxid	lation					
Optische Aus	srüstung	g des Zä	hlmikroskops und	Dur	chlichtmi	kroskops fü	r die I	Diatome	en-Analy	se	
Zählmikroskop (Marke/Typ)					Zeiss Tela	ıval 3, Jena					
	oskop (Ma	arke/Typ,	Phasenkontrast ja/nei	n,	Leitz Diap	olan (ja/ja)					
Stärkstes Objek (Vergrößerung,		he Apert	ur)		100x (oil,	1,25)					
					- t						

4. Quantitative Analyse (Utermöhl-Zählung) Laborinterne Probennummer: HST2022-03

HST2022-08-10	Gezählte In- dividuen	Gezähltes Vol. [ml]	Abundanz [10³ L ⁻¹]	Zellvolumen [µm³]	FW [µg l ⁻¹]	Rel. Anteil [%]
Chlorophyceae						
Sphaerocystis schroeteri						
Conjugatophyceae						
Staurastrum cingulum	2	100,000	0,020	9570	0,19	0,13
Chrysophyceae						
Dinobryon crenulatum						
Dinobryon divergens	16	2,052	7,797	247	1,93	1,33
Mallomonas sp.	10	0,635	15,742	570	8,97	6,20
Dinophyceae						
Ceratium hirundinella	38	100,000	0,380	55623	21,14	14,61
Gymnodinium helveticum	26	100,000	0,260	8144	2,12	1,46
Gymnodinium sp.	4	2,052	1,949	360	0,70	0,48
Peridinium willei	3	100,000	0,030	52400	1,57	1,09
Cryptophyceae						
Cryptomonas erosa	126	14,838	8,492	2364	20,07	13,87
Plagioselmis nannoplanctica	345	0,635	543,093	73	39,73	27,45
Rhodomonas lens	9	0,635	14,168	389	5,51	3,81
Bacillariophyceae						
Asterionella formosa	64	100,000	0,640	448	0,29	0,20
Cocconeis placentula						
Cyclotella cf. atomus	1	0,635	1,558	52	0,08	0,06
Cyclotella bodanica	5	100,000	0,050	18006	0,90	0,62
Cyclotella cf. comensis	2	0,635	3,117	108	0,34	0,23
Cyclotella cyclopuncta	87	0,635	137,143	193	26,45	18,27
Cyclotella intermedia	7	14,838	0,487	9005	4,38	3,03
Cyclotella meneghiniana						
Cyclotella ocellata	0,4	14,838	0,026	1286	0,03	0,02
Cyclotella cf. planctonica	2	14,838	0,154	3625	0,56	0,38
Cyclotella pseudostelligera	5	0,635	7,792	77	0,60	0,41
Cyclotella radiosa	0,4	14,838	0,026	1286	0,03	0,02
Cyclotella sp.	2	0,635	3,117	543	1,69	1,17
Diatoma ehrenbergii						
Stephanocostis chantaica	1	0,635	1,558	65	0,10	0,07
Stephanodiscus alpinus	3	14,838	0,205	3381	0,69	0,48
Stephanodiscus neoastraea	6	14,838	0,384	17314	6,65	4,60
Gesamt		·	748,19		144,72	100,00
			10 ³ L ⁻¹		0,145	%
					mm³ L ⁻¹	

Anmerkung: Aus Übersichtsgründen werden in obenstehender Tabelle die meist sehr kleinen individuellen Einzelwerte als Frischgewicht [μ g L⁻¹] dargestellt und erst unten summarisch in Biovolumen [mm³ L⁻¹] umgerechnet. Unter Annahme eines spezifischen Gewichts von 1.0 für Planktonorganismen gilt dabei 1000 μ g/l = 1 mm³/l.

Neben quantitativen Daten gezählter Arten sind in die Tabelle auch die Ergebnisse der qualitativen Analyse eingeflossen. Sofern in der Probe vorhanden, jedoch nicht in quantifizierbarer Dichte, werden diese lediglich gelistet, ohne weitere Häufigkeitsschätzung.

5. Diatomeenanalyse

Laborinterne Probennummer: HST2022-03_Diato

Taxon	Rebecca-			Größ	enklassen	[µm]					
	ID	4 - <7	7 - <11	11 - <16	16 - <21	21 - <30	30 - <37	>37			
Cyclotella cf. atomus	R0039	3									
Cyclotella bodanica	R0040						5				
Cyclotella cf. comensis	R0042	2	6	1							
Cyclotella cyclopuncta	R2195	10	69	17							
Cyclotella intermedia	R0040				2	6	3				
Cyclotella ocellata	R0048			1	2						
Cyclotella cf. planctonica	R2570				2	4	1				
Cyclotella radiosa	R0051				3						
Cyclotella sp.	R0053		2	5							
Discostella pseudostelligera	R2059	8	2								
Stephanocostis chantaica	R0075	4									
Stephanodiscus alpinus	R0076				4	5					
Stephanodiscus neoastraea	R0083				3	10	1				
Summe Schalen pro Größen	27	79	24	16	25	10					
Gesamtsumme Schalen	Gesamtsumme Schalen						181				
Anteil centrischer Diatomeen	am Gesamt-B	Anteil centrischer Diatomeen am Gesamt-Biovolumen									

Anmerkungen: Die Artbestimmung centrischer Diatomeen erfolgte nach Krammer & Lange-Bertalot (1991) und Houk, Klee & Tanaka (2010, 2014, 2017). Es bestehen in der modernen Literatur z. T. erhebliche Unterschiede in taxonomischer Zuordnung (Synonyme, Kombinationen) oder in der Nomenklatur (Namensänderungen valider Arten) einzelner Arten. Sofern solche Änderungen Arten betreffen die in der Liste eingestufter Arten des hier angewendeten Bewertungssystem aufscheinen, wird der in dieser Liste verwendete Name beibehalten.

Prüfbericht Phytoplankton - GZÜV-Untersuchungen des Jahres 2022 Hallstätter See 2022-11-23

1. Angaben zu Prüflabor und Auftraggeber

Prüflabor	Dr. Jersabek	Prüfbericht-Nr.	HST2022-04
Auftraggeber	Amt der Oberösterreichischen La	andesregierung	

2. Angaben zum See, zur Untersuchungsstelle und Probenahme

Allgemeine Angal	oen									
Gewässername		Halls	stätter See		Rechtswert		47	4.929		
Messstellenname					Hochwert		26	8.249		
(GZÜV-)Messstellen_ID					Median		31	31		
Detail WK Name					Trophischer C	Grundzustand	oli	oligotroph		
Detail WK ID					Höhe Messpu	inkt [m] 508				
Z	Zu jew	eils r	mindestens 4	4 Terr	ninen pro Un	tersuchung	sjah	r:		
Datum, Uhrzeit, Pro	benah	me-	Team, Prüfla	bor						
Datum Probenahme	2022-1	11-23	·	Probe	enahme-Team					
Uhrzeit Probenahme			Р		abor *	Bundesamt für Mondsee, Scha		erwirtschaft IGF		
Limnologisch charakteristischer			ounkt **	Begin	n der Herbstzirku	ılation				
* wenn Proben nicht vom selben P ** Frühjahrszirkulation, Beginn der			n, Höhepunkt der Son							
Witterung					<u>-</u>					
,			r der Probenah	während der Probenahme						
Wetter										
Wind										
Niederschlag	Datum:									
Lufttemperatur [°C]										
Wolkenbedeckung [%]										
Hydrographie, Trüb	ung, F	ärbu	ıng, Schicht	ung						
Hochwassereinfluss (de	r wichti	gsten	Zubringer)							
vor der Probenahme			ja □	nein	während der I	Probenahme		□ ja	□ nein	
Wasserstand aktuell (zu Schätzung auf m ü.A.)*	mindest	t			Sonstiges (Ob Pollenflug)	perflächenfilm,				
Trübung, Art der Trübung **					Thermokline [[m]				
Färbung					Sichttiefe/Sec	chi-Tiefe [m]		10	,6	
Algenblüten, Auftriebsfl	ocken		ja 🗆	nein	Grenze der euphotischen Zon [m] (Kompensationsebene)					
* z.B. hoch, mittel, niedrig	z.B. hoch, mittel, niedrig * * mineralisch, organisch, Calcitfärbung									
Probenahme	Probenahme									
Probenahmetiefe der qu Probe [m; vonbis]		/en	0 – 21 m					Mischprobe ☐ integrierende Probe		
					wenn Mischpro	be: Angabe de				
Maschenweite für die qu Phytoplankton-Probe [µı)								

3. Methodische Angaben zur qualitativen, quantitativen und Diatomeen - Analyse

Qualitative Analyse											
Probennummer		HST2022	-04	Bea	rbeiterIn	Christian Jers	abek				
Datum der Analy	se	2023-03-	14	Pro	Probenart						
						•					
Quantitative	Analyse	2									
Probennummer		HST2	2022-04		Nachfixieru Probe	ing der quantitati	ven	□ ja		x nein	
BearbeiterIn Christian Jersabek					wenn ja, w	ann					
Datum der Analy	se	2023	3-03-14		Kammerty)		Utermöh	l		
Zeitraum zw. Probenahme und Analyse					Kammervo	lumen		10 ml			
					Ausgegosse Probe	enes Volumen der	•	100 ml			
Quantitative Pr	obe: Zähl	trategie	T	1							
Proben-Nr.	Kamm	ertyp	Zählstrategie				len / Felde		1		
	Röhrenka		Diagonalen/Felder		Obj. 4x	Obj. 10x	0	bj. 25x	Obj. 40x		
HST2022-04	nach Ute		Ganze Kammer		1						
			Diagonale/Felder			3 D		38 F	34 F		
Diatomeenp	robe										
Herkunft											
wenn eigene Dia	tomeenpro	be									
Probennummer		HST2022	-04_Diat		Volumen						
Präparation		x Glühpı	räparat	□ che	emische Oxio	dation					
Optische Au	srüstung	des Zä	hlmikroskops und	Dur	chlichtmi	kroskops für	die	Diatome	en-Analy	/se	
Zählmikroskop (Marke/Typ)			Zeiss Telav	val 3, Jena							
	oskop (Ma	rke/Typ,	Phasenkontrast ja/ne	in,	Leitz Diaplan (ja/ja)						
Stärkstes Objek (Vergrößerung,		he Apert	ur)		100x (oil, 1	1,25)					

4. Quantitative Analyse (Utermöhl-Zählung) Laborinterne Probennummer: HST2022-04

HST2023-11-22	Gezählte Individuen	Gezähltes Vol. [ml]	Abundanz [10³ L¹]	Zellvolumen [µm³]	FW [µg l ⁻¹]	Rel. Anteil [%]
Chrysophyceae						
Dinobryon divergens	10	2,599	3,847	284	1,09	1,67
Mallomonas sp.						
Dinophyceae						
Ceratium hirundinella	2	100,000	0,020	61298	1,23	1,88
Gymnodinium helveticum	36	100,000	0,360	12921	4,65	7,13
Gymnodinium sp.	3	2,599	1,154	785	0,91	1,39
Cryptophyceae						
Cryptomonas erosa	276	14,838	18,601	2093	38,94	59,70
Cryptomonas marssonii						
Plagioselmis nannoplanctica	132	0,900	146,677	95	13,98	21,44
Rhodomonas lens	3	0,900	3,334	389	1,30	1,99
Bacillariophyceae						
Achnanthes sp.						
Asterionella formosa	248	100,000	2,480	519	1,29	1,97
Cyclotella bodanica	3	100,000	0,030	14837	0,45	0,68
Cyclotella sp.	3	14,838	0,202	2512	0,51	0,78
Diatoma ehrenbergii						
Ulnaria delicatissima var. angustissima	18	100,000	0,180	4973	0,90	1,37
Gesamt			176,88		65,22	100,00
			10 ³ L ⁻¹		0,065	%
					mm³ L ⁻¹	

Anmerkung: Aus Übersichtsgründen werden in obenstehender Tabelle die meist sehr kleinen individuellen Einzelwerte als Frischgewicht [μ g L⁻¹] dargestellt und erst unten summarisch in Biovolumen [mm^3 L⁻¹] umgerechnet. Unter Annahme eines spezifischen Gewichts von 1.0 für Planktonorganismen gilt dabei 1000 μ g/l = 1 mm^3 /l.

Neben quantitativen Daten gezählter Arten sind in die Tabelle auch die Ergebnisse der qualitativen Analyse eingeflossen. Sofern in der Probe vorhanden, jedoch nicht in quantifizierbarer Dichte, werden diese lediglich gelistet, ohne weitere Häufigkeitsschätzung.

5. **Diatomeenanalyse**

Laborinterne Probennummer: HST2022-04_Diato

Der Anteil centrischer Diatomeen am Gesamtbiovolumen lag im November bei 1,5 % - und damit deutlich unter den lt. Leitfaden zur Erhebung der biologischen Qualitätselemente (Teil B2, Phytoplankton) für eine nähere Analyse erforderlichen 10 %. Auf eine taxonomische Absicherung auf Artniveau durch Detailanalyse am Glühpräparat wurde daher verzichtet!

6. IRRSEE

6.1. Gutachten Phytoplankton

Ergebnisübersicht für das Untersuchungsjahr 2022 sowie 3-Jahresmittel

Ergebnisübersicht der Untersuchungstermine eines Jahres

sowie 3-Jahresmittel

Datum	Chlorophyll-a [µgL ⁻¹]	Biovolumen* [mm³L-1]	Brettum-Index		
15.03.2022	2,10	0,83	4,03		
01.06.2022	1,50	0,31	4,64		
08.08.2022	1,90	0,39	3,66		
02.11.2022	2 20	0.38	3 50		

^{*}Abz. heterotrophe Arten

Jahr	(Janresmittelwert)		Biovolumen (Jahresmittelwert)			m-Index mittelwert)	Gesamtbewertung (gewichteter MW)	Ökologische Zustandsklasse
	[µgL ⁻¹]	nEQR	[mm ³ L ⁻¹]	nEQR	Index	nEQR	nEQR	
2020	2,48	1,00	0,65	0,95	4,19	1,00	0,99	Sehr gut
2021	2,60	1,00	0,61	0,99	3,64	0,84	0,92	Sehr gut
2022	1,93	1,00	0,48	1,00	3,96	0,96	0,98	Sehr gut
		:	3 Jahresmitt	0,96	Sehr gut			

BEURTEILUNG

Qualitätselement Phytoplankton im Untersuchungsjahr 2022	Sehr gut
Qualitätselement Phytoplankton im 3-Jahresmittel (2020-2022)	Sehr gut

1. Angaben zum See, zur Untersuchungsstelle und Probenahmen

See und Untersuchungsste	See und Untersuchungsstelle										
Gewässername	Irrsee		Höhe Messpunkt [m]		553						
Messstellenname			Fläche [km²]		3,6						
(GZÜV-)Messstellen_ID			Maximale Länge [km]		4,7						
Rechtswert	447.88	5	Maximale Breite [km]		1,0						
Hochwert	309.45	4	Maximale Tiefe [m]		32						
Median	31		Mittlere Tiefe [m]		15						
Detail WK Name			Gesamtvolumen [Mio	. m³]	53,1						
Detail WK ID			Mittlerer Abfluss (MO) [m³/s]	1,3						
IC-Seentyp (Interkalibrierung)	L-AL4		Abfluss		Zeller i	Ache					
AT-Seentyp (National)	B2		Wassererneuerungsze theoretisch [Jahre]	eit /	1,3						
Trophischer Grundzustand	oligotro	oph	Durchmischung / Schi	chtungstyp	Holo- / dimiktisch						
Zugrunde liegenden Prüfb	erichte			2.7							
		1. Termin	2. Termin	3. Termin		4. Termin					
Nummern der zugrunde liegenden Prüfberichte		2022/01	2022/02	2022/0	3	2022/04					
Probenahmetermine der zugrunde l de Prüfberichte	iegen-	2022-03-15	2022-06-01	2022-08-08		2022-11-02					

2. Ergebnisübersicht – Zusammenfassung der 4 Beprobungstermine

Chlorophyll-a Konzentration	μgL ⁻¹	EQR	nEQR		
Referenzwert	3,00	1,00	1,00		
Grenze sehr gut/gut	4,00	0,75	0,80		
Grenze gut/mäßig	7,32	0,41	0,60		
Jahresmittel	1,93	1,56	1,00		
Biovolumen	mm³L ⁻¹	EQR	nEQR		
Referenzwert	0,60	1,00	1,00		
Grenze sehr gut/gut	0,94	0,64	0,80		
Grenze gut/mäßig	2,31	0,26	0,60		
Jahresmittel	0,48	1,26	1,00		
Brettum-Index	Wert	EQR	nEQR		
Referenzwert	4,07	1,00	1,00		
Grenze sehr gut/gut	3,54	0,87	0,80		
Grenze gut/mäßig	3,00	0,74	0,60		
Jahresmittel	3,96	0,97	0,96		
Normierte EQR ges	amt	0,980			

Sehr gut

Ökologische Zustandsklasse

6.2. Ergebnistabellen

Tab. 6.2.1. Zusammenfassung quantitative und qualitative Phytoplanktonproben

IRRSEE 2022	Algenfrischgewicht [µg l ⁻¹]				
TAXON	15.03.	01.06.	08.08.	02.11.	Mittel
Cyanobacteria					
Aphanocapsa elachista			0		
Aphanocapsa sp.			0	0	
Chroococcus limneticus			2,59	13,83	4,10
Chroococcus minutus			0	0	
Planktothrix rubescens	232,69	24,37	44,16	45,34	86,64
Radiocystis geminata			0		
Snowella lacustris	1,85	0	9,52	13,62	6,25
Chlorophyceae					
Botryococcus braunii	2,02	4,43	3,50	0,69	2,66
Elakatothrix genevensis			0	0	
Koliella sp.	0		0		
Oocystis sp.	0	0	0	0	
Pediastrum boryanum	0	0	0	0	
Planctonema lauterbornii			0	0	
Planktosphaeria gelatinosa			0	0	
Scenedesmus linearis			0		
Scenedesmus sp.			0		
Tetrachlorella incerta				0	
Tetraedron minimum	o				
Tetrastrum triangulare			0		
Conjugatophyceae					
Cosmarium depressum		1,51	0,62	1,21	0,84
Mougeotia sp.			0		
Euglenophyceae					
Trachelomonas sp.	٥	1,40		0	0,35
Trachelomonas volvocina	1,27	1,81	0,17	1,66	1,23
Xanthophyceae					
Gloeobotrys limneticus			94,65	44,51	34,79
Tetraëdriella jovetii	0,23	0			0,06
Chrysophyceae					
Bitrichia chodatii		0	0		
Dinobryon bavaricum	0,08				0,02
Dinobryon crenulatum		0	0		
Dinobryon cylindricum			0		
Dinobryon divergens	0,15	11,59	2,02	40,95	13,68
Dinobryon sertularia			0	49,31	12,33
Dinobryon sociale			0	24,19	6,05
Kephyrion/Pseudokephyrion sp.	o	0		0	
Mallomonas caudata	4,10	1,13			1,31
Mallomonas elongata		0,34			0,09
Mallomonas sp.	0	0	0		

Pseudopedinella sp.	0				
Uroglena sp.			0		
Haptophyceae					
Chrysochromulina parva	11,80	3,70		0,61	4,03
Dinophyceae	,	,		,	,
Ceratium hirundinella		8,10	79,48	68,89	39,12
Glenodinium sp.	2,22	5,18	-, -	,	1,85
Gymnodinium helveticum	13,59	14,57	7,59	59,31	23,76
Gymnodinium sp.	,	5,75	0	0	1,44
Gymnodinium uberrimum		,		0	,
Peridinium sp.		9,66	33,60	8,21	12,87
Peridinium umbonatum - Complex		0,86	,	-,	0,21
Cryptophyceae		-,			
Cryptomonas erosa	18,62	5,74	16,09	14,67	13,78
Cryptomonas marssonii	2,91	14,46	25,87	4,66	11,98
Cryptomonas rostratiformis	0,97	.,	-,	.,	0,24
Cryptomonas sp.	0	0	0		-,
Plagioselmis nannoplanctica	21,91	42,82	17,25	17,70	24,92
Rhodomonas lens	1,85	,	,	,	0,46
Bacillariophyceae	,				,
Achnanthes sp.	0				
Amphora ovalis		0			
Asterionella formosa	1,31	35,55	0,63	0,91	9,60
Aulacoseira subarctica	1,46	,	,	,	0,37
Cyclotella cyclopuncta	73,39	64,61	14,11		38,03
Cyclotella kuetzingiana	29,43	6,42	0		8,96
Cyclotella ocellata			34,86		8,72
Cyclotella radiosa	9,92	12,23	5,08		6,81
Cyclotella sp.	0	5,19		10,62	3,95
Eunotia sp.	0	0			
Fragilaria crotonensis	403,45	38,66	0,39	21,38	115,97
Tabellaria flocculosa	0	0			
Ulnaria delicatissima	1,45				0,36
Ulnaria delicatissima var. angustissima	1,44	0,70	0,14		0,57
Picoplankton < 5 μm					
Picoplankton indet.	3,11	4,68	4,31		3,03
Frischgewicht tot. (µg/l)	841,2	325,5	396,6	442,3	501,4
Biovolumen tot. (mm³/l)	0,841	0,325	0,397	0,442	0,501
abz. heterotrophe (mm³/l)	0,828	0,311	0,389	0,383	0,478
1000 μg/l = 1 mm³/l					
Chlorophyll-a [µg/l]	2,1	1,5	1,9	2,2	1,93
Relativer Anteil Chlorophyll-a [%]	0,25	0,46	0,48	0,50	0,42
Anzahl Taxa / Termin	38	38	45	32	
Anzahl Taxa insgesamt					67

Anmerkung: Aus Übersichtsgründen werden in obenstehender Tabelle die meist sehr kleinen individuellen Einzelwerte als Frischgewicht [μ g L⁻¹] dargestellt und erst summarisch in Biovolumen [mm^3 L⁻¹] umgerechnet. Unter Annahme eines spezifischen Gewichts von 1.0 für Planktonorganismen gilt dabei 1000 μ g/l = 1 mm^3 /l.

Neben quantitativen Daten gezählter Arten sind in die Tabelle auch qualitative Ergebnisse eingeflossen: das Auftreten von Arten in nicht quantifizierbarer Dichte ist durch gekennzeichnet.

Tab. 6.2.2. Zusammenfassung Algenklassen der quantitativen Phytoplanktonproben

IRRSEE 2022		Algenfri	schgewich	nt [μg l ⁻¹]	
Algenklasse	15.03.	01.06.	08.08.	02.11.	Mittel
Bacillariophyceae Centrales	114,21	88,45	54,05	10,62	66,83
Bacillariophyceae Pennales	407,65	74,91	1,16	22,28	126,50
Chlorophyceae	2,02	4,43	3,50	0,69	2,66
Chrysophyceae	4,34	13,07	2,02	114,45	33,47
Conjugatophyceae Desmid.		1,51	0,62	1,21	0,84
Conjugatophyceae Zygnem.					
Cryptophyceae	46,26	63,02	59,21	37,03	51,38
Cyanobacteria coccal	1,85		12,10	27,45	10,35
Cyanobacteria filamentös	232,69	24,37	44,16	45,34	86,64
Dinophyceae	15,81	44,12	120,66	136,41	79,25
Euglenophyceae	1,27	3,21	0,17	1,66	1,58
Haptophyceae	11,80	3,70		0,61	4,03
Prasinophyceae					
Ulvophyceae					
Xanthophyceae	0,23		94,65	44,51	34,85
Picoplankton indet.	3,11	4,68	4,31		3,03
Frischgewicht tot. (µg/l)	841,2	325,5	396,6	442,3	501,4
Biovolumen tot. (mm³/l)	0,841	0,325	0,397	0,442	0,501
abz. heterotrophe (mm³/l)	0,828	0,311	0,389	0,383	0,478
$1000 \mu g/l = 1 \text{ mm}^3/l$					

Tab. 6.2.3. Brettum Index:Werte der einzelnen Trophie-Klassen, für 2022 im Irrsee quantifizierte Taxa

IRRSEE 2022	Rebecca-ID	Brettu	m-Indexw	verte der	einzelnen	Trophiek	lassen
Taxon		<=5	5-8	8-15	15-30	30-60	>60
Asterionella formosa	R0135						
Aulacoseira subarctica	R0033		1	8	1		
Botryococcus braunii	R0493	5	2	2	1		
Ceratium hirundinella	R1672						
Chroococcus limneticus	R1438	4	2	2	1	1	
Chrysochromulina parva	R1818			1	3	4	2
Cosmarium depressum	R1209	2	2	3	1	1	1
Cryptomonas erosa	R1378						
Cryptomonas marssonii	R1382						
Cryptomonas rostratiformis	R1377			1	3	5	1
Cyclotella cyclopuncta	R2195	7	3				
Cyclotella kuetzingiana	R0046						
Cyclotella ocellata	R0048		1	1	4	3	1
Cyclotella radiosa	R0051			1	3	5	1
Cyclotella sp.	R0053						
Dinobryon bavaricum	R1066	3	3	2	2		
Dinobryon divergens	R1073						
Dinobryon sertularia	R1081		1	1	5	3	
Dinobryon sociale	R1083						
Fragilaria crotonensis	R0223						
Glenodinium sp.	R1642		2	5	3		
Gloeobotrys limneticus	R1840						
Gymnodinium sp.	R1654	1	5	2	1	1	
Mallomonas caudata	R1100			1	4	5	
Mallomonas elongata	R1103						
Peridinium sp.	R1699						
Peridinium umbonatum - Complex	R1903	7	2		1		
Picoplankton indet.	R2617						
Plagioselmis nannoplanctica	R2162						
Planktothrix rubescens	R1617	1	1	3	4	1	
Rhodomonas lens	R1407	•					
Snowella lacustris	R1510		1	4	4	1	
Tetraëdriella jovetii	R1854						
Trachelomonas sp.	R1773						
Trachelomonas volvocina	R1776		1	1	4	5	
Ulnaria delicatissima	R2173						
Ulnaria delicatissima var. angustissima	R2174	2	3	3	2		

Relativer Anteil quantifizierter Taxa für Brettum Index [%]	51,4
Relativer Anteil des Biovolumen der eingestuften Taxa am Gesamtbiovolumen [%]	37,2

Tab. 6.2.4. Prägende trophische Indikatoren (Brettum Scores) und quantitativ wichtige (Biovolums-Anteil > 3 %) Arten - Irrsee 2022

IRRSEE Taxon	Rebecca-ID	Biovolumen		Br	ettum	-Indexv	werte		Rel. An- teil
		- 31-	_	5-	8-	15-	30-		F0/7
März	D4047	[mm³ L ⁻¹]	<=5	8	15	30	60	>60	[%]
Planktothrix rubescens	R1617	0,2327	7	1	3	4	1		28,11%
Cyclotella cyclopuncta	R2195	0,0734	- /	<u>ა</u>					8,87%
Fragilaria crotonensis	R0223	0,4035							48,75%
Juni									
Cyclotella cyclopuncta	R2195	0,0646	7	3					20,78%
Planktothrix rubescens	R1617	0,0244	1	1	3	4	1	_	7,84%
Cyclotella radiosa	R0051	0,0122			1	3	5	1	3,93%
Plagioselmis nannoplanctica	R2162	0,0428							13,77%
Fragilaria crotonensis	R0223	0,0387							12,43%
Asterionella formosa	R0135	0,0355							11,43%
Cryptomonas marssonii	R1382	0,0145							4,65%
Dinobryon divergens	R1073	0,0116							3,73%
Peridinium sp.	R1699	0,0097							3,11%
August		· ·							·
Planktothrix rubescens	R1617	0,0442	1	1	3	4	1		11,35%
Cyclotella ocellata + kuetzingiana	R0048	0,0349		1	1	4	3	1	8,96%
Cyclotella cyclopuncta	R2195	0,0141	7	3					3,63%
Gloeobotrys limneticus	R1840	0,0947							24,33%
Ceratium hirundinella	R1672	0,0795							20,43%
Peridinium sp.	R1699	0,0336							8,64%
Cryptomonas marssonii	R1382	0,0259							6,65%
Plagioselmis nannoplanctica	R2162	0,0172							4,43%
Cryptomonas erosa + sp.	R1378	0,0161							4,14%
November			•						·
Dinobryon sertularia	R1081	0,0493		1	1	5	3		12,88%
Planktothrix rubescens	R1617	0,0453	1	1	3	4	1		11,84%
Chroococcus limneticus	R1438	0,0138	4	2	2	1	1		3,61%
Snowella lacustris	R1510	0,0136		1	4	4	1		3,56%
Ceratium hirundinella	R1672	0,0689							17,99%
Gloeobotrys limneticus	R1840	0,0445							11,62%
Dinobryon divergens	R1073	0,0410							10,69%
Dinobryon sociale	R1083	0,0242							6,32%
Fragilaria crotonensis	R0223	0,0214							5,58%
Plagioselmis nannoplanctica	R2162	0,0177							4,62%
Cryptomonas erosa	R1378	0,0147							3,83%

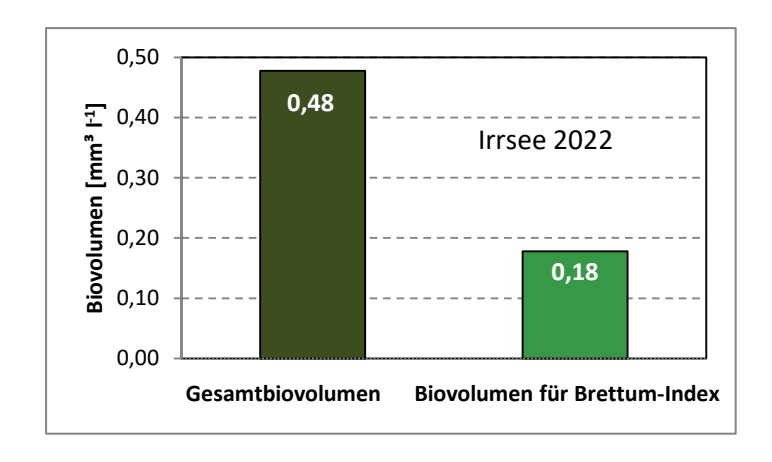
^{*}N.B.:Geringfügige Abweichungen des relativen Anteils einzelner Taxa am Gesamt-Biovolumen[%], im Vergleich zu den Werten in den Prüfprotokollen (4. Quantitative Analyse - Utermöhl-Zählung), ergeben sich aus den in obiger Tabelle bereits abgezogenen Anteilen heterotropher Taxa!

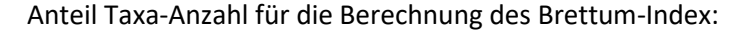
6.3. Grafische Darstellungen

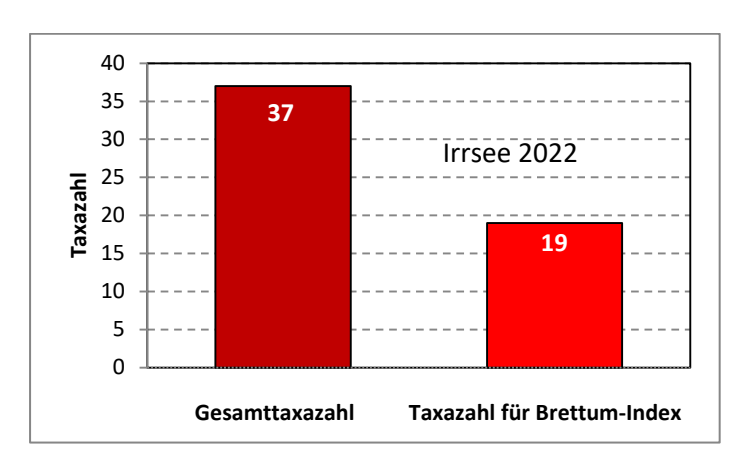
Jahresmittel EQR:

See	I	RRSEE	
Jahr		2022	
IC Seentyp	L-AL4	range	2
		-	
Chlorophyll-a [µg L ⁻¹]	1,93		
Biovolumen [mm ³ L ⁻¹]	0,48		
BV für Brettum-Index [mm ³ L ⁻¹]	0,18	37%	
Taxa	37		
Taxa für Brettum-Index	19	51%	
Brettum-Index	3,96		
	Ref.wert	EQR	nEQR
Chlorophyll-a	3,00	1,56	1,00
Biovolumen	0,60	1,26	1,00
Brettum-Index	4,07	0,97	0,96
EQR gesamt	0,980	sehi	gut

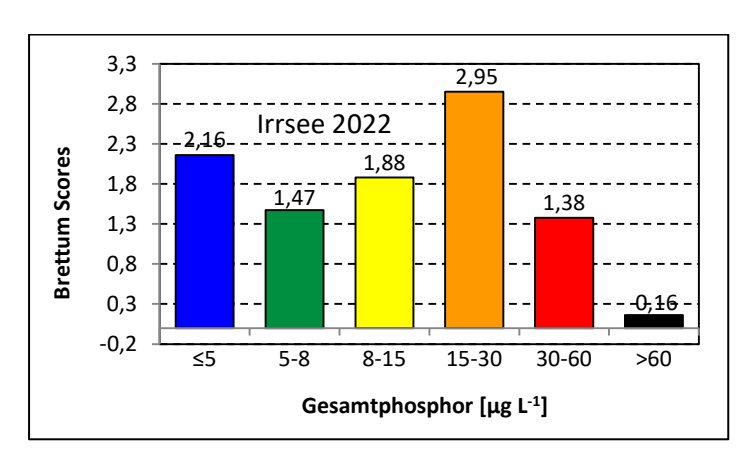
Anteil Biovolumen für die Berechnung des Brettum-Index:



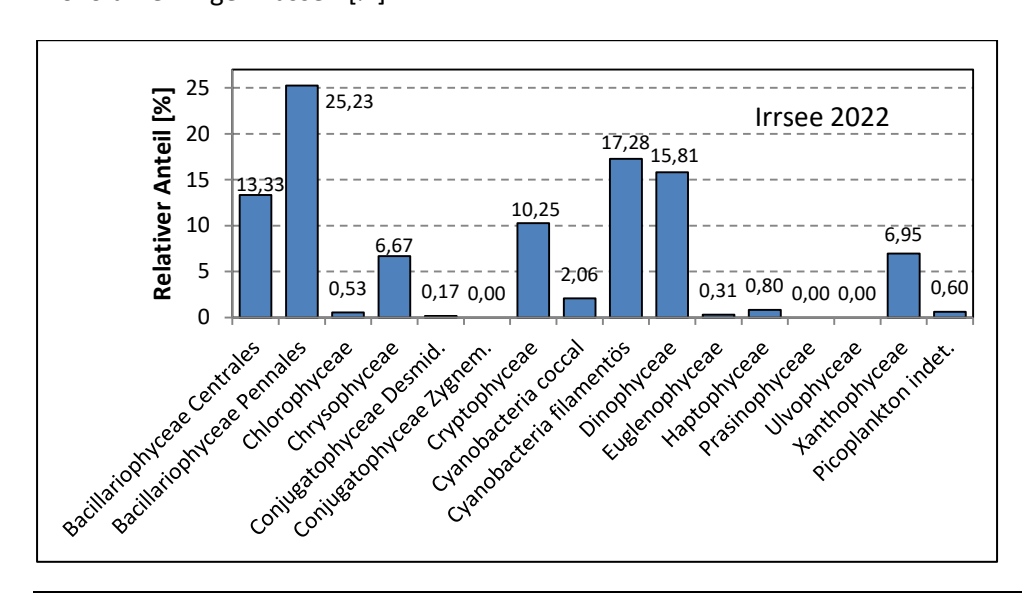




Verteilung Brettum-Scores über die sechs Phosphor-Trophie-Klassen:



Biovolumen Algenklassen [%]:



Prüfbericht Phytoplankton - GZÜV-Untersuchungen des Jahres 2022 Irrsee 2022-03-15

1. Angaben zu Prüflabor und Auftraggeber

Prüflabor	Dr. Jersabek	Prüfbericht-Nr.	IRR2022-01
Auftraggeber	Amt der Oberösterreichischen Land	lesregierung	

2. Angaben zum See, zur Untersuchungsstelle und Probenahme

Allgemeine Angal	oen									
Gewässername		Irrse	e		Rechtswert		44	17.885		
Messstellenname					Hochwert		30	9.454		
(GZÜV-)Messstellen_ID					Median		31			
Detail WK Name					Trophischer (Grundzustand	0	ligotroph		
Detail WK ID					Höhe Messpu	nkt [m]	55	53		
Z	Zu jewe	eils r	mindestens 4	4 Teri	ninen pro Un	itersuchung	sjah	r:		
Datum, Uhrzeit, Pro	benah	me-	Team, Prüfla	bor						
Datum Probenahme	2022-0		,		enahme-Team					
Uhrzeit Probenahme				Prüfl	abor *	Bundesamt für Mondsee, Schai		erwirtschaft IGF		
Limnologisch charakteri			punkt **	Frühjd	hrszirkulation					
* wenn Proben nicht vom selben P ** Frühjahrszirkulation, Beginn der			n, Höhepunkt der Som	nmerstagi	nation, Beginn der Herl	ostzirkulation				
Witterung										
		vo	r der Probenah	me	während der			Probenahme		
Wetter										
Wind										
Niederschlag		Da	atum:							
Lufttemperatur [°C]										
Wolkenbedeckung [%]										
						•				
Hydrographie, Trüb	ung, F	ärbu	ung, Schicht	ung						
Hochwassereinfluss (de	r wichtig	sten	Zubringer)							
vor der Probenahme			ja □	nein	während der			□ ja	□ nein	
Wasserstand aktuell (zur Schätzung auf m ü.A.)*	mindest				Sonstiges (Ol Pollenflug)	oerflächenfilm,				
Trübung, Art der Trübung **					Thermokline	[m]				
Färbung					Sichttiefe/Sec	chi-Tiefe [m]		6,	1	
Algenblüten, Auftriebsflo	ocken		ja □	nein		uphotischen Zo sationsebene)	ne			
* z.B. hoch, mittel, niedrig	* * mir	neralisc	ch, organisch, Calcitfär	rbung						
Probenahme										
Probenahmetiefe der que Probe [m; vonbis]		en	0 – 21 m		Art der Probena quantitativen P			lischprobe ntegrierende F	Probe	
					wenn Mischpro	be: Angabe der	Tiefe	enstufen		
Maschenweite für die qu Phytoplankton-Probe [μι		!			-					

3. Methodische Angaben zur qualitativen, quantitativen und Diatomeen - Analyse

Qualitative Ana	lyse									
Probennummer	IR	R2022-	01	Be	arbeiterIn	Christian Jers	sabek			
Datum der Analyse	20)23-03-	06	Pro	benart	☐ lebend		x fixiert		
Quantitative Ar	nalyse									
Probennummer		IRR2	022-01		Nachfixieru Probe	ıng der quantitat	iven	□ ja	x nein	
BearbeiterIn		Chris	stian Jersabek		wenn ja, w	ann				
Datum der Analyse		2023	3-03-06		Kammerty)		Utermöh	ıl	
Zeitraum zw. Probens und Analyse	ahme	357	Tage		Kammervo	lumen		10 ml		
	Ausgegossenes Volun Probe						r	100 ml		
Quantitative Probe	: Zählstra	ategie	T	1						
Proben-Nr.	Kamme	ertyp	Zählstrategie		Anzahl Diagona					ı
			Diagonalen/Felder				bj. 25x	Obj. 40x		
IRR2022-01	Utermöl	nl	Ganze Kammer	-	1				24 42 7	
			Diagonale/Felder			3 D		66 F	21, 10 F	
Diatomeenprob	e .									
Herkunft										
wenn eigene Diatom										
Probennummer	IR	R2022-	01_Diat		Volumen					
Präparation	x	Glühpr	äparat		chemische	Oxidation				
Optische Ausrü	stung d	es Zä	hlmikroskops und	Dur	chlichtmi	kroskops für	die	Diatome	een-Analy	se
Zählmikroskop (Marke/Typ)					Zeiss Tela	ıval 3, Jena				
DIC ja/nein)	op (Mark	e/Typ,	Phasenkontrast ja/ne	in,	Leitz Diaplan (ja/ja)					
Stärkstes Objektiv (Vergrößerung, nu	merische	Apert	ur)		100x (oil,	1,25)				

4. Quantitative Analyse (Utermöhl-Zählung)

Laborinterne Probennummer: IRR2022-01

IRR2022-03-15	Gezählte Individuen	Gezähltes Vol. [ml]	Abundanz [10³ L¹]	Zellvolumen [µm³]	FW [µg l ⁻¹]	Rel. Anteil [%]
Cyanobacteria						
Planktothrix rubescens	1300	14,838	87,612	2656	232,69	27,66
Snowella lacustris	6	14,838	0,404	4581	1,85	0,22
Chlorophyceae						
Botryococcus braunii	48	100,000	0,480	4215	2,02	0,24
Koliella sp.						
Oocystis sp.						
Pediastrum boryanum						
Tetraedron minimum						
Euglenophyceae						
Trachelomonas sp.						
Trachelomonas volvocina	7	14,838	0,472	2690	1,27	0,15
Xanthophyceae						
Tetraëdriella jovetii	10	0,556	17,991	13	0,23	0,03
Chrysophyceae						
Dinobryon bavaricum	1	2,462	0,406	208	0,08	0,01
Dinobryon divergens	2	2,462	0,812	186	0,15	0,02
Kephyrion/Pseudokephyrion sp.						
Mallomonas caudata	6	14,838	0,404	10145	4,10	0,49
Mallomonas sp.						
Pseudopedinella sp.						
Haptophyceae						
Chrysochromulina parva	80	0,265	302,243	39	11,80	1,40
Dinophyceae						
Glenodinium sp.	3	2,462	1,218	1824	2,22	0,26
Gymnodinium helveticum	22	14,838	1,483	9167	13,59	1,62
Cryptophyceae		·	·		·	
Cryptomonas erosa + sp.	131	14,838	8,829	2109	18,62	2,21
Cryptomonas marssonii	15	2,462	6,091	478	2,91	0,35
Cryptomonas rostratiformis	3	14,838	0,202	4802	0,97	0,12
Cryptomonas sp.		,	,		,	,
Plagioselmis nannoplanctica	132	0,556	237,476	92	21,91	2,60
Rhodomonas lens	4	0,556	7,196	257	1,85	0,22
Bacillariophyceae		,	,		,	,
Achnanthes sp.						
Asterionella formosa	272	100,000	2,720	481	1,31	0,16
Aulacoseira subarctica	53	14,838	3,594	407	1,46	0,17
Cyclotella cyclopuncta	145	0,318	456,513	161	73,39	8,72
Cyclotella kuetzingiana kl.	57	14,838	3,821	4162	15,91	1,89
Cyclotella kuetzingiana gr.	17	14,838	1,146	11805	13,52	1,61
Cyclotella radiosa	48	14,838	3,255	3049	9,92	1,18

					mm³ L ⁻¹	
			10 ³ L ⁻¹		0,841	%
Gesamt			2155,63		841,25	100,00
Picoplankton indet.	129	0,265	487,366	6	3,11	0,37
Picoplankton < 5 μm						
Ulnaria delicatissima var. angustissima	5	14,838	0,337	4269	1,44	0,17
Ulnaria delicatissima	2	2,462	0,812	1786	1,45	0,17
Tabellaria flocculosa						
Fragilaria crotonensis	7757	14,838	522,747	772	403,45	47,96
Eunotia sp.						
Cyclotella sp.						

5. **Diatomeenanalyse**

Laborinterne Probennummer: IRR2022-01_Diato

Taxon	Rebecca-	Größenklassen [µm]							
	ID	4 - <7	7 - <11	11 - <16	16 - <21	21 - <30	30 - <37	>37	
Aulacoseira subarctica	R0033	55							
Cyclotella cyclopuncta	R2195	39	102	13					
Cyclotella kuetzingiana	R0046				22	44	20		
Cyclotella radiosa	R0051			2	19	21			
Summe Schalen pro Größe	enklasse	94	102	15	31	65	20		
		•							
Gesamtsumme Schalen					327				
Anteil centrischer Diatome	en am Gesamt-l	Biovolum	nen		13,6 %				

Anmerkungen: Die Artbestimmung centrischer Diatomeen erfolgte nach Krammer & Lange-Bertalot (1991) und Houk, Klee & Tanaka (2010, 2014, 2017). Es bestehen in der modernen Literatur z. T. erhebliche Unterschiede in taxonomischer Zuordnung (Synonyme, Kombinationen) oder in der Nomenklatur (Namensänderungen valider Arten) einzelner Arten. Sofern solche Änderungen Arten betreffen die in der Liste eingestufter Arten des hier angewendeten Bewertungssystem aufscheinen, wird der in dieser Liste verwendete Name beibehalten.

Prüfbericht Phytoplankton - GZÜV-Untersuchungen des Jahres 2022 Irrsee 2022-06-01

1. Angaben zu Prüflabor und Auftraggeber

Prüflabor	Dr. Jersabek	Prüfbericht-Nr.	IRR2022-02
Auftraggeber	Amt der Oberösterreichischen Land	esregierung	

2. Angaben zum See, zur Untersuchungsstelle und Probenahme

Allgemeine Angal	oen								
Gewässername		Irrse	e		Rechtswert		44	17.885	
Messstellenname					Hochwert		30	9.454	
(GZÜV-)Messstellen_ID					Median		31		
Detail WK Name					Trophischer (Grundzustand	oli	igotroph	
Detail WK ID					Höhe Messpu	nkt [m]	55	53	
Z	Zu jewe	eils r	mindestens 4	4 Teri	minen pro Un	tersuchung	sjah	r:	
Datum, Uhrzeit, Pro	benah	me-	Team, Prüfla	bor					
Datum Probenahme	2022-0		,		enahme-Team				
Uhrzeit Probenahme			Prüflabor * Mc			Bundesamt für Wasserwirtschaft IGF Mondsee, Scharfling			
Limnologisch charakteri			punkt **	Begin	n der Sommerstagr	nation			
* wenn Proben nicht vom selben P ** Frühjahrszirkulation, Beginn der			n, Höhepunkt der Som	nmerstagi	nation, Beginn der Herk	ostzirkulation			
Witterung									
		vo	r der Probenah	me		während de	r Pro	benahme	
Wetter			vor der Probenahme währe						
Wind			Datum:						
Niederschlag		Da	Datum:						
Lufttemperatur [°C]			Datum:						
Wolkenbedeckung [%]									
Hydrographie, Trüb	ung, F	ärbı	ung, Schicht	ung					
Hochwassereinfluss (de	r wichtig	gsten	Zubringer)						
vor der Probenahme			ja □	nein	während der l			□ ja	□ nein
Wasserstand aktuell (zur Schätzung auf m ü.A.)*	mindest				Sonstiges (Ol Pollenflug)	perflächenfilm,			
Trübung, Art der Trübung **					Thermokline	[m]			
Färbung					Sichttiefe/Sec	chi-Tiefe [m]		6,	7
Algenblüten, Auftriebsfle	ocken		ja □	nein		ıphotischen Zo sationsebene)	ne		
* z.B. hoch, mittel, niedrig	* * mir	neralisc	ch, organisch, Calcitfär	rbung					
Probenahme									
Probenahmetiefe der que Probe [m; vonbis]		en	0 – 21 m		Art der Probena quantitativen P			lischprobe ntegrierende F	Probe
					wenn Mischpro	be: Angabe der	Tiefe	enstufen	
Maschenweite für die qu Phytoplankton-Probe [μι									

3. Methodische Angaben zur qualitativen, quantitativen und Diatomeen - Analyse

Qualitative Ana	lyse										
Probennummer	ı	RR2022-	02	Ве	arbeiterIn	С	Christian Jers	abek			
Datum der Analyse	2	2023-03-0	023-03-07 Probenart ☐ lebend						x fixiert		
Quantitative Ar	nalyse										
Probennummer		IRR2	022-02		Nachfixierung der quantitativen Probe			□ ja	х	nein	
BearbeiterIn		Chris	tian Jersabek		wenn ja, wa	ann					
Datum der Analyse		2023	-03-07		Kammertyp	p			Utermöh	l	
Zeitraum zw. Probena und Analyse	ahme	282 1	282 Tage Kammervolumen						10 ml		
			Ausgegossenes Volumen der Probe						100 ml		
Quantitative Probe	: Zählst	rategie	Г								
Duchen No			Zählstrategie		- 1		Anzahl Di	agona	len / Felde	r	.
Proben-Nr.	Kamn	nertyp	Diagonalen/Felder		Obj. 5x	(Obj. 10x	Ol	oj. 25x	Obj. 40x	Obj. 100x
IRR2022-02	Uterm	öhl	Ganze Kammer		1						
			Diagonale/Felder				3 D		27 F	10,12,15 F	
Diatomeenprob	e										
Herkunft											
wenn eigene Diatome	enprobe	•									
Probennummer	1	RR2022-	02_Diat		Volumen						
Präparation	,	Glühpr	äparat □ c	hem	ische Oxidati	ion					
Optische Ausrüs	stung	des Zäl	hlmikroskops und	Dur	chlichtmi	kros	skops für	die I	Diatome	en-Analys	e
Zählmikroskop (Marke/Typ)					Zeiss Tela	aval 3	3, Jena				
Durchlichtmikrosko DIC ja/nein)	op (Mar	ke/Typ,	Phasenkontrast ja/nei	n,	Leitz Diap	olan ((ja/ja)				
Stärkstes Objektiv (Vergrößerung, nur	merisch	e Aperti	ur)		100x (oil,	1,25	5)				

4. Quantitative Analyse (Utermöhl-Zählung)

Laborinterne Probennummer: IRR2022-02

				_		
IRR2022-06-01	Gezählte In- dividuen	Gezähltes Vol. [ml]	Abundanz [10³ L¹]	Zellvolumen [µm³]	FW [µg l ⁻¹]	Rel. Anteil [%]
	Gez	99 O	Ab L1	Zellv [Α	Re
Cyanobacteria						
Planktothrix rubescens	990	100,000	9,900	2462	24,37	7,49
Snowella lacustris						
Chlorophyceae						
Botryococcus braunii	89	100,000	0,890	4979	4,43	1,36
Oocystis sp.						
Pediastrum boryanum						
Conjugatophyceae						
Cosmarium depressum	6	14,838	0,404	3736	1,51	0,46
Euglenophyceae						
Trachelomonas sp.	3	14,838	0,202	6930	1,40	0,43
Trachelomonas volvocina	10	14,838	0,674	2690	1,81	0,56
Xanthophyceae						
Tetraedriella jovetii						
Chrysophyceae						
Bitrichia chodatii						
Dinobryon crenulatum						
Dinobryon divergens	18	0,397	45,336	256	11,59	3,56
Kephyrion/Pseudokephyrion sp.						
Mallomonas caudata	3	14,838	0,202	5603	1,13	0,35
Mallomonas elongata	2	14,838	0,135	2550	0,34	0,11
Mallomonas sp.						
Haptophyceae						
Chrysochromulina parva	20	0,265	75,561	49	3,70	1,14
Dinophyceae						
Ceratium hirundinella	11	100,000	0,110	73674	8,10	2,49
Glenodinium sp.	6	1,847	3,249	1593	5,18	1,59
Gymnodinium helveticum	13	14,838	0,876	16630	14,57	4,48
Gymnodinium sp.	10	1,847	5,415	1063	5,75	1,77
Peridinium sp.	20	100,000	0,200	48312	9,66	2,97
Peridinium umbonatum - Complex	4	14,838	0,270	3178	0,86	0,26
Cryptophyceae						
Cryptomonas erosa + sp.	51	14,838	3,437	1670	5,74	1,76
Cryptomonas marssonii	45	1,847	24,366	593	14,46	4,44
Cryptomonas sp.						
Plagioselmis nannoplanctica	103	0,318	324,281	132	42,82	13,16
Bacillariophyceae						
Amphora ovalis						
Asterionella formosa	888	14,838	59,846	594	35,55	10,92
Cyclotella cyclopuncta	238	0,318	749,310	86	64,61	19,85
Cyclotella kuetzingiana	33	14,838	2,208	2908	6,42	1,97

					mm³ L ⁻¹	
			10 ³ L ⁻¹		0,325	%
Gesamt			2135,53		325,49	100,00
Picoplankton indet.	171	0,265	646,044	7	4,68	1,44
Picoplankton < 5 µm						
Ulnaria delicatissima var. angustissima	14	100,000	0,140	5019	0,70	0,22
Tabellaria flocculosa						
Fragilaria crotonensis	4457	100,000	44,565	868	38,66	11,88
Eunotia sp.						
Cyclotella sp.	42	0,318	132,231	39	5,19	1,59
Cyclotella radiosa	84	14,838	5,677	2154	12,23	3,76

Anmerkung: Aus Übersichtsgründen werden in obenstehender Tabelle die meist sehr kleinen individuellen Einzelwerte als Frischgewicht [μ g L⁻¹] dargestellt und erst unten summarisch in Biovolumen [mm³ L⁻¹] umgerechnet. Unter Annahme eines spezifischen Gewichts von 1.0 für Planktonorganismen gilt dabei 1000 μ g/l = 1 mm³/l.

Neben quantitativen Daten gezählter Arten sind in die Tabelle auch die Ergebnisse der qualitativen Analyse eingeflossen. Sofern in der Probe vorhanden, jedoch nicht in quantifizierbarer Dichte, werden diese lediglich gelistet, ohne weitere Häufigkeitsschätzung.

5. Diatomeenanalyse

Laborinterne Probennummer: IRR2022-02_Diato

Taxon	Rebecca-	Größenklassen [µm]								
	ID	4 - <7	7 - <11	11 - <16	16 - <21	21 - <30	30 - <37	>37		
Cyclotella cyclopuncta	R2195	129	72	3						
Cyclotella kuetzingiana	R0046				19	40	2			
Cyclotella radiosa	R0051			6	53	31				
Cyclotella sp.	R0053	56	7							
Summe Schalen pro Größen	klasse	185	79	9	72	71	2			
Gesamtsumme Schalen				418						
Anteil centrischer Diatomeen		27,2 %								

Anmerkungen: Die Artbestimmung centrischer Diatomeen erfolgte nach Krammer & Lange-Bertalot (1991) und Houk, Klee & Tanaka (2010, 2014, 2017). Es bestehen in der modernen Literatur z. T. erhebliche Unterschiede in taxonomischer Zuordnung (Synonyme, Kombinationen) oder in der Nomenklatur (Namensänderungen valider Arten) einzelner Arten. Sofern solche Änderungen Arten betreffen die in der Liste eingestufter Arten des hier angewendeten Bewertungssystem aufscheinen, wird der in dieser Liste verwendete Name beibehalten.

Prüfbericht Phytoplankton - GZÜV-Untersuchungen des Jahres 2022 Irrsee 2022-08-08

1. Angaben zu Prüflabor und Auftraggeber

Prüflabor	Dr. Jersabek	Prüfbericht-Nr.	IRR2022-03
Auftraggeber	Amt der Oberösterreichischen Land	esregierung	

2. Angaben zum See, zur Untersuchungsstelle und Probenahme

Allgemeine Angab	en										
Gewässername		Irrse	е		Rechtswert		44	7.885			
Messstellenname					Hochwert		30	9.454			
(GZÜV-)Messstellen_ID					Median			31			
Detail WK Name					Trophischer C	Grundzustand	oli	oligotroph			
Detail WK ID					Höhe Messpu	nkt [m]	55	3			
Z	u jewe	eils r	nindestens 4	4 Teri	ninen pro Un	tersuchung	sjah	r:			
Datum, Uhrzeit, Pro	benah	me-	Team, Prüfla	bor							
Datum Probenahme	2022-0	8-08		Prob	enahme-Team						
Uhrzeit Probenahme				Prüfl	abor *	Bundesamt für Mondsee, Scha		rwirtschaft IGF			
Limnologisch charakteri			punkt **	Höhe	ounkt der Sommers	tagnation					
* wenn Proben nicht vom selben Pr ** Frühjahrszirkulation, Beginn der			n, Höhepunkt der Som	nmerstagi	nation, Beginn der Herb	ostzirkulation					
Witterung											
		vo	vor der Probenahme während					er Probenahme			
Wetter			voi doi i roscilalinic walle								
Wind											
Niederschlag		Da	atum:								
Lufttemperatur [°C]											
Wolkenbedeckung [%]											
						•					
Hydrographie, Trüb	ung, F	ärbı	ıng, Schicht	ung							
Hochwassereinfluss (der	r wichtig	sten	Zubringer)								
vor der Probenahme			ja □	nein	während der F			□ ja □ neiı			
Wasserstand aktuell (zur Schätzung auf m ü.A.)*	nindest				Sonstiges (Ob Pollenflug)	perflächenfilm,					
Trübung, Art der Trübung **					Thermokline [[m]					
Färbung					Sichttiefe/Sec	chi-Tiefe [m]		2,3			
Algenblüten, Auftriebsflo	ocken		☐ ja ☐ nein ☐ Grenze der euphotischen [m] (Kompensationsebend			•	ne				
* z.B. hoch, mittel, niedrig	* * mir	neralisc	h, organisch, Calcitfäl	rbung							
Probenahme											
Probenahmetiefe der qua Probe [m; vonbis]							x Mischprobe ☐ integrierende Probe				
					wenn Mischpro	be: Angabe de	Tiefe	enstufen			
Maschenweite für die qu Phytoplankton-Probe [µr											

3. Methodische Angaben zur qualitativen, quantitativen und Diatomeen - Analyse

Qualitative Ana	lyse										
Probennummer	IR	R2022-	03	Ве	arbeiterIn	Chris	tian Jers	abek			
Datum der Analyse	20	23-03-	08	Pro	obenart	□le	bend		x fixiert		
Quantitative Ar	nalyse										
Probennummer		IRR2	022-03		Nachfixierung der quantitativen Probe				□ ja	хп	ein
BearbeiterIn		Chris	tian Jersabek		wenn ja, w	ann					
Datum der Analyse		2023	023-03-08 Kammertyp Utermöhl								
Zeitraum zw. Probena und Analyse	ahme	216	216 Tage Kammervolumen 10 ml								
					Ausgegosse Probe	enes Volu	ımen dei	٢	100 ml		
	•									-	
Quantitative Probe	: Zählstra	itegie	1	,							
Proben-Nr.	Kamme	rtvn	Zählstrategie				Anzahl	Diagor	nalen / Feld	er	1
11000111111			Diagonalen/Felder		Obj. 5x	Obj.	10x	Ol	bj. 25x	Obj. 40x	Obj. 100x
IRR2022-03	Utermöl	nl	Ganze Kammer		1						
			Diagonale/Felder			3	D		24 F	10, 21 F	
Diatomeenprob	e										
Herkunft											
wenn eigene Diatome	enprobe										
Probennummer	IR	R2022-	03_Diat		Volumen						
Präparation	х	Glühpr	äparat		chemische C	xidation	ı				
Optische Ausrü	stung d	es Zä	hlmikroskops und	Dur	chlichtmi	krosko	ps für	die I	Diatome	en-Analyse	
Zählmikroskop (Marke/Typ)					Zeiss Tela	val 3, Je	rna				
	op (Marke	е/Тур,	Phasenkontrast ja/nei	n,	Leitz Diap	olan (ja/j	ia)				
Stärkstes Objektiv (Vergrößerung, nu	merische	Apert	ur)		100x (oil,	1,25)					

4. Quantitative Analyse (Utermöhl-Zählung)

Laborinterne Probennummer: IRR2022-03

IRR2022-08-08	Gezählte Individuen	Gezähltes Vol. [ml]	Abundanz [10³ L¹]	Zellvolumen [µm³]	FW [µg l¹]	Rel. Anteil [%]
Cyanobacteria						
Aphanocapsa elachista						
Aphanocapsa sp.						
Chroococcus limneticus	18	1,642	10,965	236	2,59	0,65
Chroococcus minutus						
Planktothrix rubescens	540	29,970	18,018	2451	44,16	11,13
Radiocystis geminata						
Snowella lacustris	3	1,642	1,827	5208	9,52	2,40
Chlorophyceae						
Botryococcus braunii	38	100,000	0,380	9208	3,50	0,88
Elakatothrix genevensis						
Koliella sp.						
Oocystis sp.						
Pediastrum boryanum						
Planctonema lauterbornii						
Planktosphaeria gelatinosa						
Scenedesmus linearis						
Scenedesmus sp.						
Tetrastrum triangulare						
Conjugatophyceae						
Cosmarium depressum	3	14,838	0,202	3085	0,62	0,16
Mougeotia sp.						
Euglenophyceae						
Trachelomonas volvocina	1	14,838	0,067	2574	0,17	0,04
Xanthophyceae						
Gloeobotrys limneticus	238	0,556	428,177	221	94,65	23,86
Chrysophyceae						
Bitrichia chodatii						
Dinobryon crenulatum						
Dinobryon cylindricum						
Dinobryon divergens	15	1,642	9,137	221	2,02	0,51
Dinobryon sertularia						
Dinobryon sociale						
Mallomonas sp.						
Uroglena sp.						
Dinophyceae						
Ceratium hirundinella	122	100,000	1,220	65145	79,48	20,04
Gymnodinium helveticum	10	14,838	0,674	11255	7,59	1,91
Gymnodinium sp.		·				•
Peridinium sp.	57	100,000	0,570	58943	33,60	8,47
Cryptophyceae		,	·		ŕ	,

					mm³ L ⁻¹	
			10 ³ L ⁻¹		0,397	%
Gesamt			1314,79		396,63	100,00
Picoplankton indet.	124	0,265	468,476	9	4,31	1,09
Picoplankton < 5 µm						
Ulnaria delicatissima var. angustissima	3	100,000	0,030	4736	0,14	0,04
Fragilaria crotonensis	43	100,000	0,435	899	0,39	0,10
Cyclotella radiosa	49	14,838	3,291	1543	5,08	1,28
Cyclotella ocellata gr. + kuetzingiana	208	14,838	14,029	1831	25,69	6,48
Cyclotella ocellata kl.	12	0,556	21,949	418	9,17	2,31
Cyclotella kuetzingiana			,		·	,
Cyclotella cyclopuncta	49	0,556	87,794	161	14,11	3,56
Asterionella formosa	160	100,000	1,600	394	0,63	0,16
Bacillariophyceae		,	,		,	,
Plagioselmis nannoplanctica	104	0,556	187,103	92	17,25	4,35
Cryptomonas marssonii	83	1,642	50,559	512	25,87	6,52
Cryptomonas erosa + sp.	123	14,838	8,289	1941	16,09	4,06

Anmerkung: Aus Übersichtsgründen werden in obenstehender Tabelle die meist sehr kleinen individuellen Einzelwerte als rischgewicht [μ g L⁻¹] dargestellt und erst unten summarisch in Biovolumen [mm^3 L⁻¹] umgerechnet. Unter Annahme eines spezifischen Gewichts von 1.0 für Planktonorganismen gilt dabei 1000 μ g/l = 1 mm^3 /l.

Neben quantitativen Daten gezählter Arten sind in die Tabelle auch die Ergebnisse der qualitativen Analyse eingeflossen. Sofern in der Probe vorhanden, jedoch nicht in quantifizierbarer Dichte, werden diese lediglich gelistet, ohne weitere Häufigkeitsschätzung.

5. Diatomeenanalyse

Laborinterne Probennummer: IRR2022-03_Diato

Taxon	Re-	Größenklassen [µm]							
	becca-ID	4 - <7	7 - <11	11 - <16	16 - <21	21 - <30	30 - <37	>37	
Cyclotella cyclopuncta	R2195	25	43	10					
Cyclotella ocellata (inkl. kuet- zingiana)	R0048		8	36	114	12			
Cyclotella radiosa	R0051			21	63	7			
Summe Schalen pro Größenk	asse	25	51	67	177	19			
Gesamtsumme Schalen				339					
Anteil centrischer Diatomeen a	Anteil centrischer Diatomeen am Gesamt-Biovolumen								

Anmerkungen: Die Artbestimmung centrischer Diatomeen erfolgte nach Krammer & Lange-Bertalot (1991) und Houk, Klee & Tanaka (2010, 2014, 2017). Es bestehen in der modernen Literatur z. T. erhebliche Unterschiede in taxonomischer Zuordnung (Synonyme, Kombinationen) oder in der Nomenklatur (Namensänderungen valider Arten) einzelner Arten. Sofern solche Änderungen Arten betreffen die in der Liste eingestufter Arten des hier angewendeten Bewertungssystem aufscheinen, wird der in dieser Liste verwendete Name beibehalten.

Prüfbericht Phytoplankton - GZÜV-Untersuchungen des Jahres 2022 Irrsee 2022-11-02

1. Angaben zu Prüflabor und Auftraggeber

Prüflabor	Dr. Jersabek	Prüfbericht-Nr.	IRR2022-04
Auftraggeber	Amt der Oberösterreichischen Land	esregierung	

2. Angaben zum See, zur Untersuchungsstelle und Probenahme

Allgemeine Angal	oen										
Gewässername		Irrse	ее		Rechtswert		44	7.885			
Messstellenname					Hochwert		30	9.454			
(GZÜV-)Messstellen_ID					Median		31				
Detail WK Name					Trophischer Grundzustand			oligotroph			
Detail WK ID					Höhe Messpu	nkt [m]	55	3			
Z	Zu jewe	eils r	mindestens 4	4 Teri	minen pro Un	tersuchung	sjah	r:			
Datum, Uhrzeit, Pro	benah	me-	Team, Prüfla	bor							
Datum Probenahme	2022-1		·		enahme-Team						
Uhrzeit Probenahme				Prüfla	abor *	Bundesamt für Mondsee, Scha		rwirtschaft IGF			
Limnologisch charakteri			punkt **	Begini	n der Herbstzirkula	tion					
* wenn Proben nicht vom selben P ** Frühjahrszirkulation, Beginn der			n, Höhepunkt der Som	nmerstagi	nation, Beginn der Herb	stzirkulation					
Witterung											
	vor der Probenah			me		während de	r Prol	Probenahme			
Wetter											
Wind											
Niederschlag		Da	atum:								
Lufttemperatur [°C]											
Wolkenbedeckung [%]											
Hydrographie, Trüb	ung, F	ärbu	ung, Schicht	ung							
Hochwassereinfluss (de	r wichti	gsten	Zubringer)								
vor der Probenahme			ja □	nein	während der F			□ ja □ neir			
Wasserstand aktuell (zur Schätzung auf m ü.A.)*	mindest	t			Sonstiges (Ob Pollenflug)	erflächenfilm,					
Trübung, Art der Trübung **					Thermokline [m]					
Färbung					Sichttiefe/Sec	chi-Tiefe [m]		3,9			
Algenblüten, Auftriebsflo	ocken		ja □	nein	Grenze der eu [m] (Kompens	iphotischen Zo sationsebene)	ne				
* z.B. hoch, mittel, niedrig	* * mi	ineralisc	ch, organisch, Calcitfäl	rbung							
Probenahme											
Probenahmetiefe der quantitativen Probe [m; vonbis]			0 – 21 m		Art der Probenahme der guantitativen Probe			x Mischprobe ☐ integrierende Probe			
-					wenn Mischpro	be: Angabe de	r Tiefe	enstufen			
Maschenweite für die qu Phytoplankton-Probe [μι)									

3. Methodische Angaben zur qualitativen, quantitativen und Diatomeen - Analyse

Qualitative Ana	lyse									
Probennummer	IRF	R2022-	04	Bea	rbeiterIn	Christian J	ersabek			
Datum der Analyse	202	23-03-	10	Prol	benart	☐ lebend		x fixier	t	
Quantitative Ar	alyse									
Probennummer		IRR2	022-04		Nachfixieru Probe	ing der quanti	tativen	□ ja		x nein
BearbeiterIn		Chris	tian Jersabek		wenn ja, w	ann				
Datum der Analyse		2023	-03-10		Kammertyp	Utermöh	I			
Zeitraum zw. Probena und Analyse	ahme	134	Гаде		Kammervo	lumen		10 ml		
					Ausgegosse	nes Volumen	der Prob	e 100 m	I	
Quantitative Probe	: Zählstra	tegie								
Proben-Nr.	Kammei	rtvp	Zählstrategie				len / Felde		T	
			Diagonalen/Felder	(Obj. 5x	Obj. 10x	0	bj. 25x	Obj. 40x	Obj. 100x
IRR2022-04	Utermöh	l	Ganze Kammer		1					
			Diagonale/Felder			3 D		18 F	18 F	
Diatomeenprob	e									
Herkunft										
wenn eigene Diatome	enprobe									
Probennummer	IRF	R2022-	04_Diat		Volumen					
Präparation	x (Glühpr	äparat [] cher	mische Oxid	ation				
Optische Ausrü	stung de	es Zä	hlmikroskops und	Durc	hlichtmi	kroskops f	ür die	Diatom	een-Analy	se
Zählmikroskop (Marke/Typ)					Zeiss Tel	aval 3, Jena				
Durchlichtmikrosko DIC ja/nein)	p (Marke	/Тур,	Phasenkontrast ja/ne	in,	Leitz Dia	plan (ja/ja)				
Stärkstes Objektiv (Vergrößerung, nur	nerische /	Apert	ur)		100x (oi	 I, 1,25)				

4. Quantitative Analyse (Utermöhl-Zählung)

Laborinterne Probennummer: IRR2022-04

IRR2022-11-02	Gezählte Individuen	Gezähltes Vol. [ml]	Abundanz [10³ L¹]	Zellvolumen [µm³]	FW [µg l ⁻¹]	Rel. Anteil [%]
	n G	8 ×	Ab [7	Zell	¥	Re
Cyanobacteria				-		
Aphanocapsa sp.						
Chroococcus limneticus	178	1,231	144,569	96	13,83	3,13
Chroococcus minutus						
Planktothrix rubescens	552	29,970	18,418	2462	45,34	10,25
Snowella lacustris	31	1,231	25,178	541	13,62	3,08
Chlorophyceae						
Botryococcus braunii	16	100,000	0,160	4329	0,69	0,16
Elakatothrix genevensis						
Oocystis sp.						
Pediastrum boryanum						
Planctonema lauterbornii						
Planktosphaeria gelatinosa						
Tetrachlorella incerta						
Conjugatophyceae						
Cosmarium depressum	6	14,838	0,404	2984	1,21	0,27
Euglenophyceae						
Trachelomonas sp.						
Trachelomonas volvocina	10	14,838	0,674	2462	1,66	0,38
Xanthophyceae						
Gloeobotrys limneticus	118	0,476	247,671	180	44,51	10,07
Chrysophyceae						
Dinobryon divergens	99	0,476	207,792	197	40,95	9,26
Dinobryon sertularia	114	0,476	239,276	206	49,31	11,15
Dinobryon sociale	57	0,476	119,638	202	24,19	5,47
Kephyrion/Pseudokephyrion sp.						
Haptophyceae						
Chrysochromulina parva	6	0,476	12,593	48	0,61	0,14
Dinophyceae						
Ceratium hirundinella	102	100,000	1,020	67535	68,89	15,58
Gymnodinium helveticum	43	14,838	2,898	20466	59,31	13,41
Gymnodinium sp.						
Gymnodinium uberrimum						
Peridinium sp.	17	100,000	0,170	48312	8,21	1,86
Cryptophyceae						
Cryptomonas erosa	10	1,231	8,122	1807	14,67	3,32
Cryptomonas marssonii	12	1,231	9,746	478	4,66	1,05
Plagioselmis nannoplanctica	103	0,476	216,188	82	17,70	4,00
Bacillariophyceae						
Asterionella formosa	176	100,000	1,760	514	0,91	0,20
Cyclotella sp. gr.	5	100,000	0,050	14650	0,73	0,17

Cyclotella sp. kl.	15	0,476	31,484	314	9,89	2,24
Fragilaria crotonensis	2222	100,000	22,222	962	21,38	4,83
Gesamt			1310,03		442,26	100,00
			10 ³ L ⁻¹		0,442	%
					mm³ L ⁻¹	

Anmerkung: Aus Übersichtsgründen werden in obenstehender Tabelle die meist sehr kleinen individuellen Einzelwerte als Frischgewicht [μ g L⁻¹] dargestellt und erst unten summarisch in Biovolumen [mm³ L⁻¹] umgerechnet. Unter Annahme eines spezifischen Gewichts von 1.0 für Planktonorganismen gilt dabei 1000 μ g/l = 1 mm³/l.

Neben quantitativen Daten gezählter Arten sind in die Tabelle auch die Ergebnisse der qualitativen Analyse eingeflossen. Sofern in der Probe vorhanden, jedoch nicht in quantifizierbarer Dichte, werden diese lediglich gelistet, ohne weitere Häufigkeitsschätzung.

5. Diatomeenanalyse

Laborinterne Probennummer: IRR2022-04_Diato

Der Anteil centrischer Diatomeen am Gesamtbiovolumen lag im November bei 2,4 % - und damit deutlich unter den It. Leitfaden zur Erhebung der biologischen Qualitätselemente (Teil B2, Phytoplankton) für eine nähere Analyse erforderlichen 10 %. Auf eine taxonomische Absicherung auf Artniveau durch Detailanalyse am Glühpräparat wurde daher verzichtet!

7. MONDSEE

7.1. Gutachten Phytoplankton Ergebnisübersicht für das Untersuchungsjahr 2022 sowie 3-Jahresmittel

Ergebnisübersicht der Untersuchungstermine eines Jahres

sowie 3-Jahresmittel

Datum	Chlorophyll-a [µgL ⁻¹]	Biovolumen* [mm³L ⁻¹]	Brettum-Index
18.01.2022	1,80	0,44	3,81
15.02.2022	2,80	1,03	3,75
21.03.2022	2,40	1,56	3,80
19.04.2022	2,30	0,60	3,75
11.05.2022	2,50	0,43	3,83
07.06.2022	2,80	0,65	4,24
05.07.2022	3,60	0,55	3,73
01.08.2022	3,30	0,69	4,13
07.09.2022	3,10	0,58	3,64
05.10.2022	3,50	0,69	3,68
07.11.2022	3,50	0,74	3,66
12.12.2022	3,40	0,29	3,85

^{*} abz. heterotrophe Arten

Jahre		ophyll-a mittelwert)	Biovolu (Jahresmi			m-Index mittelwert)	Gesamtbewertung (gewichteter MW)	Ökologische Zustandsklasse
	[µgL ⁻¹]	nEQR	[mm ³ L ⁻¹]	nEQR	Index	nEQR	nEQR	
2020	3,62	0,65	1,16	0,56	3,72	0,67	0,637	Gut
2021	2,55	0,78	0,53	0,73	3,75	0,68	0,716	Gut
2022	2,92	0,72	0,69	0,66	3,82	0,70	0,694	Gut
		3	3 Jahresmitt	el			0,682	Gut

BEURTEILUNG

Qualitätselement Phytoplankton im Untersuchungsjahr 2022

Gut

Qualitätselement Phytoplankton im 3-Jahresmittel (2020-2022)

Gut

1. Angaben zum See, zur Untersuchungsstelle und Probenahmen

See und Untersuchungss	telle						
Gewässername	Monds	 ee	Höhe Messpunkt [m]		481		
Messstellenname			Fläche [km²]		13.80		
(GZÜV-)Messstellen_ID			Maximale Länge [km]	9,1			
Rechtswert	454.55	4	Maximale Breite [km]		2,3		
Hochwert	296.87	4	Maximale Tiefe [m]		68		
Median	31		Mittlere Tiefe [m]		36		
Detail WK Name			Gesamtvolumen [Mio	o. m³]	496,8		
Detail WK ID			Mittlerer Abfluss (MC	() [m³/s]	9,3		
IC-Seentyp (Interkalibrierung)	L-AL3		Abfluss		Seeaci	he	
AT-Seentyp (National)	D1		Wassererneuerungsze theoretisch [Jahre]	1,7			
Trophischer Grundzustand	oligotro	ph	Durchmischung / Schi	chtungstyp	Holo-	/ monomiktisch	
		1. Termin	2. Termin	3. Termin		4. Termin	
Zugrunde liegenden Prüf			2. Termin	3. Termin		4. Termin	
Nummern der zugrunde liegender richte		2022/01	2022/02	2022/0	3	2022/04	
Probenahmetermine der zugrund de Prüfberichte	e liegen-	2022-01-18	2022-02-15	2022-03-	21	2022-04-19	
		5. Termin	6. Termin	7. Termin		8. Termin	
Nummern der zugrunde liegender richte	n Prüfbe-	2022/05	2022/06	2022/0	7	2022/08	
Probenahmetermine der zugrund de Prüfberichte	e liegen-	2022-05-11	2022-06-07	2022-07-	05	2022-08-01	
		9. Termin	10. Termin	11.Termin		12. Termin	
Nummern der zugrunde liegender richte	n Prüfbe-	2022/09	2022/10	2022/11		2022/12	
Probenahmetermine der zugrund de Prüfberichte	e liegen-	2022-09-07	2022-10-05	2022-11-07		2022-12-12	

2. Ergebnisübersicht – Zusammenfassung der 12 Beprobungstermine

Chlorophyll-a Konzentration	μgL ⁻¹	EQR	nEQR
Referenzwert	1,70	1,00	1,00
Grenze sehr gut/gut	2,43	0,70	0,80
Grenze gut/mäßig	4,25	0,40	0,60
Jahresmittel	2,92	0,58	0,72
Biovolumen	mm³L ⁻¹	EQR	nEQR
Referenzwert	0,25	1,00	1,00
Grenze sehr gut/gut	0,42	0,60	0,80
Grenze gut/mäßig	1,00	0,25	0,60
Jahresmittel	0,69	0,36	0,66
Brettum-Index	Wert	EQR	nEQR
Referenzwert	5,19	1,00	1,00
Grenze sehr gut/gut	4,29	0,83	0,80
Grenze gut/mäßig	3,39	0,65	0,60
Jahresmittel	3,82	0,74	0,70

Normierte EQR gesamt	0,694
Ökologische Zustandsklasse	Gut

7.2. Ergebnistabellen

Tab. 7.2.1. Zusammenfassung quantitative und qualitative Phytoplanktonproben

MONDSEE 2022				ı	Algenfr	ischge	wicht [μg I ⁻¹]					
TAXON	18.01.	15.02.	21.03.	19.04.	11.05.	07.06.	05.07.	01.08.	07.09.	05.10.	07.11.	12.12.	Mittel
Cyanobacteria													
Aphanizomenon flos-aquae	11,05	14,75	19,60	5,46	1,44			2,10	0,08	0,26	0	0,60	4,61
Aphanocapsa sp.								0	0	0	0	0	
Chroococcus limneticus							٥	5,32	5,14	3,71	7,70	4,08	2,16
Gomphosphaeria aponina									0	0	0	0	
Planktothrix rubescens	74,21	60,47	102,46	241,74	255,01	336,17	254,72	277,16	289,11	242,26	313,73	56,10	208,60
Snowella lacustris			0	0				0	41,46	24,24	175,38	36,25	23,11
Chlorophyceae													
Botryococcus braunii	1,46	0,60	3,46	2,59	3,10	2,25	2,58	0	0,40	1,29	1,24	1,57	1,71
Dictyosphaerium pulchellum									0				
Dictyosphaerium subsolitarium								0		0			
Elakatothrix genevensis	٥	0	0	0	0	0	0	0	0	0			
Eutetramorus planktonicus						0							
Oocystis sp.							3,15	0	0	0	0	0	0,26
Pediastrum boryanum						0		0	0		0		
Phacotus lenticularis											0		
Planctonema lauterbornii							0	0	4,73	0	0		0,39
Pseudosphaerocystis lacustris									0,67				0,06
Scenedesmus linearis								0	o	0	0		,
Scenedesmus sp.							0	0					
Tetrachlorella alternans							0		0	0			
Tetraedron minimum	٥							0		0			
Tetraselmis cordiformis	0												
Tetrastrum triangulare		0	0			0		0	0	0	0		
Conjugatophyceae													
Closterium acutum	0		0										
Cosmarium depressum	0,57	0,77	0,76	1,25	0,78	2,54	3,05	2,24	6,02	3,01	3,69	5,23	2,49
Staurastrum cf. cingulum	0,57	0,77	0,70	1,20	0,70	2,04	3,03	0	0,02	3,01	3,03	3,23	2,43
Euglenophyceae													
Trachelomonas volvocina			0										
Xanthophyceae								60.01	20.44	11 00	24 22	0.50	11 16
Gloeobotrys limneticus								68,01	32,14	11,80	21,32	0,59	11,16
Chrysophyceae							0.00	0.00	0	0	0		0.04
Bitrichia chodatii	0	0.45	0.44	40.40	0.54		0,82	2,06					0,24
Dinobryon bavaricum	0	0,15	0,44	10,13	3,51			0,89	0,48	1,58			1,43
Dinobryon crenulatum						3,00						_	0,25
Dinobryon divergens	0				0,44	11,52	7,33	4,76	7,08	1,77	9,74	0	3,55
Dinobryon sertularia										1,10	0	0	0,09
Dinobryon sociale								0	3,82	0,38	0		0,35
Kephyrion/Pseudokephyrion sp.	0	0						0					
Mallomonas caudata	0		0,65	0,95						2,24		0,95	0,40
Mallomonas elongata						1,06		0		0			0,09
Mallomonas sp.					٥	٥	0	0			0	0	
Pseudopedinella sp.					0		0				0		
Uroglena sp.											1,20		0,10
Haptophyceae													
Chrysochromulina parva			0	3,92	2,46	٥		٥	18,04	3,16	1,69	0	2,44

Гъ	1									1		ı	
Dinophyceae					- · -								
Ceratium hirundinella	3,06	8,24	3,25	7,53	2,15	14,99	127,13	100,65	55,29	107,22	15,67	8,46	37,80
Dinophyceae indet.		0						0	0	0	0		
Glenodinium sp.	1,97	0	0		0			0	0	0		٥	0,16
Gymnodinium helveticum	10,33	5,16	19,56	92,70	4,28	4,32	6,22	12,89	20,77	49,14	29,73	24,76	23,32
Gymnodinium sp.					0	0	0	0	0	0		1,75	0,15
Gymnodinium uberrimum									0				
Peridinium sp.							25,94		24,51	3,44	0	2,84	4,73
Peridinium umbonatum - Complex						1,57	2,01	0	2,24				0,48
Peridinium willei	0,62		0,86	1,54	5,92	3,14					7,14		1,60
Cryptophyceae													
Cryptomonas erosa + sp.	5,36	1,50	2,80	3,06	1,43	5,72	18,43	28,77	19,36	28,58	55,48	19,22	15,81
Cryptomonas marssonii	0			٥	0	0	0	5,89	9,47	8,90	0	1,86	2,18
Cryptomonas rostratiformis		0		0,37									0,03
Cryptomonas sp.				,	0	0							,
Plagioselmis nannoplanctica	9,21	2,06	10,58	15,22	23,22	29,90	10,52	61,66	17,53	39,26	14,53	29,90	21,97
Rhodomonas lens	30,05	87,52	134,85	14,75	12,03	0	,	0	4,89	7,21	8,28	60,79	30,03
Bacillariophyceae		01,02	,	,	1_,00				1,00	, , , , ,	-,	00,10	
Achnanthes sp.						0							
Amphora ovalis												٥	
Asterionella formosa	26.20	16 20	2 20	7.02	0.12	0.00	0.22	0.20	0.15	6 22	0.16	6 20	6.42
Aulacoseira islandica	26,30	16,20 10,12	3,20 47,06	7,93	9,12	0,88	0,32	0,28	0,15	6,22	0,16	6,30	6,42 4,77
					10.00	0.00	0.20	20.26	2.02	2.00	0.40	11 20	130,88
Aulacoseira subarctica	128,92	476,90	802,53	91,22	18,89	0,99	0,30	32,36	3,82	2,86	0,48	11,29	,
Cyclotella cf. atomus		0,90	Ü	4.44	4.07	4.00	4.50		0.50		0.04		0,07
Cyclotella bodanica				1,14	1,67	1,69	1,58		0,59		0,84	474	0,63
Cyclotella cf. comensis												1,74	0,14
Cyclotella cyclopuncta	11,58	34,88	54,49	11,05	22,37	181,41		71,67				10,15	33,13
Cyclotella kuetzingiana	8	0,10	0,16	0,32	1,37	5,96							0,66
Cyclotella radiosa		0,13	0,05	1,51	3,12	47,65						0,04	4,38
Cyclotella sp.	23,36	20,51	5,73	1,52	1,41		20,00		15,71	42,96	3,83	0,75	11,32
Cymatopleura elliptica	0,85	2,01	1,97	2,98								٥	0,65
Cymatopleura solea	0,24	0,97	11,94	0,75	1,62							0,51	1,34
Cymbella lanceolata				0				0					
Diatoma ehrenbergii			0									٥	
Discostella glomerata	0,88	0	0		0,14			8,96					0,83
Eunotia sp.				0	0		0	0					
Fragilaria crotonensis	32,35	1,27	36,04	127,80	12,60	0,93		2,06	0,40	66,85	82,66	12,32	31,27
Melosira varians		3,42								0			0,29
Pinnularia sp.						٥							
Staurosira construens	0		0	0	0								
Stephanocostis chantaicus								0,34				1,26	0,13
Stephanodiscus alpinus		0,59	0,03	0				0				0,76	0,12
Stephanodiscus minutulus	8,29	3,06	11,01	4,45	1,58							1,11	2,46
Stephanodiscus neoastraea gr.	32,07	244,41	267,27	33,09	14,46	0,40	7,80	0,48	0,80	0,50		8,49	50,81
Tabellaria flocculosa	6,26	0,88	3,18	1,73	1,77		,	0	-,-3	-,	1,02	0	1,24
Ulnaria acus	9,70	8,98	-, -	, ,	,	0					,		1,56
Ulnaria delicatissima	0,70	0,00	2,83	4,36	10,78					78,07	17,00	1,17	9,52
Ulnaria delicatissima var. angustissi-			_,55	.,55	. 5,. 5					. 5,5,		.,.,	3,02
ma	22,24	28,51	26,74	1,08	1,25	0		0	0		0	2,58	6,87
Ulnaria ulna	٥	0,29	8,33	0	1,47			0					0,84
Picoplankton < 5 μm													
Picoplankton indet.					19,39		59,57	14,96	11,56	2,61	1,08	2,78	9,33
Frischgewicht tot. (µg/l)	450,9	1035,3	1581,8	692,1	438,8	656,1	551,5	703,5	596,3	740,6	773,6	316,2	711,40
Biovolumen tot. (mm³/l)	0,451	1,035	1,582	0,692	0,439	0,656	0,551	0,704	0,596	0,741	0,774	0,316	0,711
abz. heterotrophe (mm³/l)	0,441	1,030	1,562	0,599	0,434	0,652	0,545	0,691	0,576	0,691	0,744	0,291	0,688
1000 μg/l = 1 mm³/l	<u> </u>		<u></u>			<u> </u>	<u> </u>	<u> </u>	<u></u>				<u></u>
Chlorophyll-a [µg/l]	1,8	2,8	2,4	2,3	2,5	2,8	3,6	3,3	3,1	3,5	3,5	3,4	2,92
· · · · · ·	-					- 1	- *	- 1				- 1	

Relativer Anteil Chlorophyll-a [%]	0,40	0,27	0,15	0,33	0,57	0,43	0,65	0,47	0,52	0,47	0,45	1,08	0,48
Anzahl Taxa / Termin	38	37	40	38	39	34	28	51	44	43	42	43	
Anzahl Taxa insgesamt													87

Tab. 7.2.2. Zusammenfassung Algenklassen der quantitativen Phytoplanktonproben

MONDSEE 2022					Alge	nfrisc	hgewi	cht [µ	g l ⁻¹]				
Algenklasse	18.01.	15.02.	21.03.	19.04.	11.05.	.90.70	05.07.	01.08.	.60.70	05.10.	07.11.	12.12.	Mittel
Bacillariophyceae Centrales	205,1	795,0	1188,3	144,3	65,0	238,1	29,7	113,8	20,9	46,3	5,1	35,6	240,61
Bacillariophyceae Pennales	97,9	59,1	94,2	146,6	38,6	1,8	0,3	2,3	0,5	151,1	100,8	22,9	59,70
Chlorophyceae	1,5	0,6	3,5	2,6	3,1	2,3	5,7		5,8	1,3	1,2	1,6	2,42
Chrysophyceae		0,1	1,1	11,1	4,0	15,6	8,2	7,7	11,4	7,1	10,9	1,0	6,50
Conjugatophyceae Desmid.	0,6	0,8	0,8	1,2	0,8	2,5	3,1	2,2	6,0	3,0	3,7	5,2	2,49
Conjugatophyceae Zygnem.													
Cryptophyceae	44,6	91,1	148,2	33,4	36,7	35,6	28,9	96,3	51,3	83,9	78,3	111,8	70,01
Cyanobacteria coccal								5,3	46,6	28,0	183,1	40,3	25,27
Cyanobacteria filamentös	85,3	75,2	122,1	247,2	256,5	336,2	254,7	279,3	289,2	242,5	313,7	56,7	213,21
Dinophyceae	16,0	13,4	23,7	101,8	12,4	24,0	161,3	113,5	102,8	159,8	52,5	37,8	68,25
Euglenophyceae													
Haptophyceae				3,9	2,5				18,0	3,2	1,7		2,44
Prasinophyceae													
Ulvophyceae													
Xanthophyceae								68,0	32,1	11,8	21,3	0,6	11,16
Picoplankton indet.					19,4		59,6	15,0	11,6	2,6	1,1	2,8	9,33
Frischgewicht tot. (µg/l)	450,9	1035,3	1581,8	692,1	438,8	656,1	551,5	703,5	596,3	740,6	773,6	316,2	711,4
Biovolumen tot. (mm³/l)	0,451	1,035	1,582	0,692	0,439	0,656	0,551	0,704	0,596	0,741	0,774	0,316	0,711
abz. heterotrophe (mm³/l)	0,441	1,030	1,562	0,599	0,434	0,652	0,545	0,691	0,576	0,691	0,744	0,291	0,688
$1000 \mu g/l = 1 \text{ mm}^3/l$													

Tab. 7.2.3. Brettum Index:Werte der einzelnen Trophie-Klassen, für 2022 im Mondsee quantifizierte Taxa

MONDSEE 2022	Rebecca-ID	Brettu	m-Indexv	erte der	einzelnen	Trophiek	lassen
Taxon		<=5	5-8	8-15	15-30	30-60	>60
Aphanizomenon flos-aquae	R1558				1	3	6
Asterionella formosa	R0135						
Aulacoseira islandica	R0025		1	3	3	2	1
Aulacoseira subarctica	R0033		1	8	1		
Bitrichia chodatii	R1155	4	4	2			
Botryococcus braunii	R0493	5	2	2	1		
Ceratium hirundinella	R1672						
Chroococcus limneticus	R1438	4	2	2	1	1	
Chrysochromulina parva	R1818			1	3	4	2
Cosmarium depressum	R1209	2	2	3	1	1	1
Cryptomonas erosa	R1378						
Cryptomonas marssonii	R1382						
Cryptomonas rostratiformis	R1377			1	3	5	1
Cyclotella bodanica	R0040	7	3				
Cyclotella cf. atomus	R0039						
Cyclotella cf. comensis	R0042	7	2	1			
Cyclotella cyclopuncta	R2195	7	3				
Cyclotella kuetzingiana	R0046						
Cyclotella radiosa	R0051			1	3	5	1
Cyclotella sp.	R0053						
Cymatopleura elliptica	R0161						
Cymatopleura solea	R0162						
Dinobryon bavaricum	R1066	3	3	2	2		
Dinobryon crenulatum	R1069	2	2	3	2	1	
Dinobryon divergens	R1073						
Dinobryon sertularia	R1081		1	1	5	3	
Dinobryon sociale	R1083						
Discostella glomerata	R2058	6	3	1			
Fragilaria crotonensis	R0223						
Glenodinium sp.	R1642		2	5	3		
Gloeobotrys limneticus	R1840						
Gymnodinium sp.	R1654	1	5	2	1	1	
Mallomonas caudata	R1100			1	4	5	
Mallomonas elongata	R1103						
Melosira varians	R0062						
Oocystis sp.	R0705						
Peridinium sp.	R1699						
Peridinium umbonatum - Complex	R1903	7	2		1		
Peridinium willei	R1704	1	4	2	1	1	1

Picoplankton indet.	R2617						
Plagioselmis nannoplanctica	R2162						
Planctonema lauterbornii	R0919						
Planktothrix rubescens	R1617	1	1	3	4	1	
Pseudosphaerocystis lacustris	R0736			2	5	2	1
Rhodomonas lens	R1407						
Snowella lacustris	R1510		1	4	4	1	
Stephanocostis chantaica	R0075						
Stephanodiscus alpinus	R0076						
Stephanodiscus minutulus	R0082				3	4	3
Stephanodiscus neoastraea	R0083		1	2	4	3	
Tabellaria flocculosa	R0442	1	4	5			
Ulnaria acus	R2171						
Ulnaria delicatissima	R2173						
Ulnaria delicatissima var. angustissima	R2174	2	3	3	2		
Ulnaria ulna	R2175						
Uroglena sp.	R1151		3	3	3	1	

Relativer Anteil quantifizierter Taxa für Brettum Index [%]	53.6	
Relativer Anteil des Biovolumen der eingestuften Taxa am Gesamtbiovolumen [%]	70,7	l

Tab. 7.2.4. Prägende trophische Indikatoren (Brettum Scores) und quantitativ wichtige (Biovolums-Anteil > 3 %) Arten - Mondsee 2022

MONDSEE Taxon	Re-	D: 1		_	44				Rel.
Taxon	becca-ID	Biovolumen				1-Index			Anteil
Jänner		[mm ³ L ⁻¹]	<=5	5- 8	8- 15	15- 30	30- 60	>60	[%]
Aulacoseira subarctica	R0033	0,1289		1	8	1			29,26%
Planktothrix rubescens	R1617	0,0742	1	1	3	4	1		16,84%
Stephanodiscus neoastraea	R0083	0,0321		1	2	4	3		7,28%
Ulnaria delicatissima var. angustis-	D2474	0.0222	_	2	2	2			F 050/
sima	R2174	0,0222	2	3	3	2			5,05%
Fragilaria crotonensis	R0223	0,0323							7,34%
Rhodomonas lens	R1407	0,0301							6,82%
Asterionella formosa	R0135	0,0263							5,97%
Cyclotella sp.	R0053	0,0234							5,30%
Februar	ı	T	ı						1
Aulacoseira subarctica	R0033	0,4769		1	8	1			46,29%
Stephanodiscus neoastraea	R0083	0,2444		1	2	4	3		23,72%
Planktothrix rubescens	R1617	0,0605	1	1	3	4	1		5,87%
Cyclotella cyclopuncta	R2195	0,0349	7	3					3,39%
Rhodomonas lens	R1407	0,0875							8,50%
März									
Aulacoseira subarctica	R0033	0,8025		1	8	1			51,37%
Stephanodiscus neoastraea	R0083	0,2673		1	2	4	3		17,11%
Planktothrix rubescens	R1617	0,1025	1	1	3	4	1		6,56%
Cyclotella cyclopuncta	R2195	0,0545	7	3					3,49%
Aulacoseira islandica	R0025	0,0471		1	3	3	2	1	3,01%
Rhodomonas lens	R1407	0,1349							8,63%
April									
Planktothrix rubescens	R1617	0,2417	1	1	3	4	1		40,33%
Aulacoseira subarctica	R0033	0,0912		1	8	1			15,22%
Stephanodiscus neoastraea gr.	R0083	0,0331		1	2	4	3		5,52%
Fragilaria crotonensis	R0223	0,1278							21,32%
Mai	L								<u> </u>
Planktothrix rubescens	R1617	0,2550	1	1	3	4	1		58,69%
Cyclotella cyclopuncta	R2195	0,0224	7	3					5,15%
Aulacoseira subarctica	R0033	0,0189		1	8	1			4,35%
Stephanodiscus neoastraea	R0083	0,0145		1	2	4	3		3,33%
Plagioselmis nannoplanctica	R2162	0,0232				<u> </u>			5,34%
Picoplankton indet.	R2617	0,0194							4,46%
Juni	11.2027	3,020							.,,
Planktothrix rubescens	R1617	0,3362	1	1	3	4	1		51,58%
Cyclotella cyclopuncta	R2195	0,3302	7	3	3		-		27,83%
Cyclotella radiosa	R0051	0,1814	,	5	1	3	5	1	7,31%
Plagioselmis nannoplanctica	R2162	0,0299						-	4,59%
Juli	NZIUZ	0,0233							7,3370
	D1617	0.2547	1	1	2	Λ	1		16 710/
Planktothrix rubescens	R1617	0,2547	1	1	3	4	1		46,71%
Ceratium hirundinella	R1672	0,1271							23,32%

[20017	0.000	1						10.000/
Picoplankton indet.	R2617	0,0596							10,92%
Peridinium sp.	R1699	0,0259							4,76%
Cyclotella sp.	R0053	0,0200							3,67%
Cryptomonas erosa + sp.	R1378	0,0184							3,38%
August	1	ľ							T
Planktothrix rubescens	R1617	0,2772	1	1	3	4	1		40,13%
Cyclotella cyclopuncta	R2195	0,0717	7	3		•			10,38%
Aulacoseira subarctica	R0033	0,0324		1	8	1			4,69%
Ceratium hirundinella	R1672	0,1007							14,57%
Gloeobotrys limneticus	R1840	0,0680							9,85%
Plagioselmis nannoplanctica	R2162	0,0617							8,93%
Cryptomonas erosa	R1378	0,0288							4,17%
September									
Planktothrix rubescens	R1617	0,2891	1	1	3	4	1		50,24%
Snowella lacustris	R1510	0,0415		1	4	4	1		7,20%
Chrysochromulina parva	R1818	0,0180			1	3	4	2	3,13%
Ceratium hirundinella	R1672	0,0553					one .		9,61%
Gloeobotrys limneticus	R1840	0,0321							5,59%
Peridinium sp.	R1699	0,0245							4,26%
Cryptomonas erosa	R1378	0,0194							3,36%
Plagioselmis nannoplanctica	R2162	0,0175							3,05%
Oktober		,	1						,
Planktothrix rubescens	R1617	0,2423	1	1	3	4	1		35,04%
Snowella lacustris	R1510	0,0242		1	4	4	1		3,51%
Ceratium hirundinella	R1672	0,1072							15,51%
Ulnaria delicatissima	R2173	0,0781							11,29%
Fragilaria crotonensis	R0223	0,0669							9,67%
Cyclotella sp.	R0053	0,0430							6,21%
Plagioselmis nannoplanctica	R2162	0,0393							5,68%
Cryptomonas erosa	R1378	0,0286							4,13%
November	11212	7,5_5							1,20,1
Planktothrix rubescens	R1617	0,3137	1	1	3	4	1		42,18%
Snowella lacustris	R1510	0,1754	-	1	4	4	1		23,58%
Fragilaria crotonensis	R0223	0,0827			•	•			11,11%
Cryptomonas erosa	R1378	0,0555							7,46%
Dezember	11370	0,0333							7,4070
	R1617	0,0561	1	1	3	1	1		19,25%
Planktothrix rubescens	R1517	0,0361	1	1		4	1		
Snowella lacustris					4 8	4	Т		12,44%
Aulacoseira subarctica	R0033	0,0113	7	1	ō	Т			3,88%
Cyclotella cyclopuncta	R2195	0,0101	7	3					3,48%
Rhodomonas lens	R1407	0,0608							20,86%
Plagioselmis nannoplanctica	R2162	0,0299							10,26%
Cryptomonas erosa	R1378	0,0192							6,59%
Fragilaria crotonensis	R0223	0,0123							4,23%

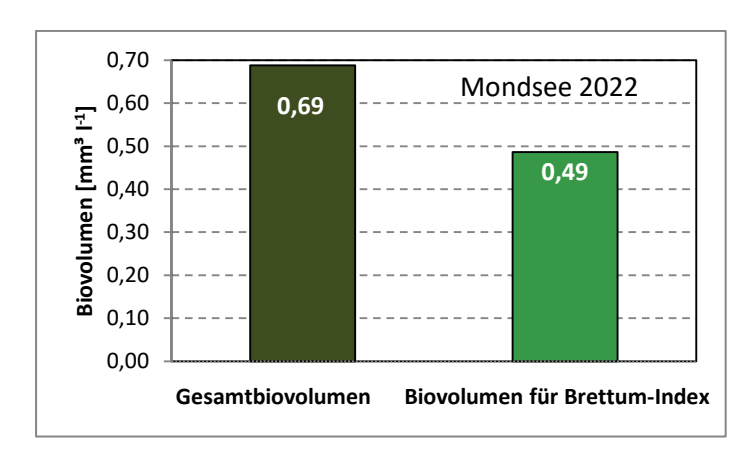
^{*}N.B.:Geringfügige Abweichungen des relativen Anteils einzelner Taxa am Gesamt-Biovolumen[%], im Vergleich zu den Werten in den Prüfprotokollen (4. Quantitative Analyse - Utermöhl-Zählung), ergeben sich aus den in obiger Tabelle bereits abgezogenen Anteilen heterotropher Taxa!

7.3. Grafische Darstellungen

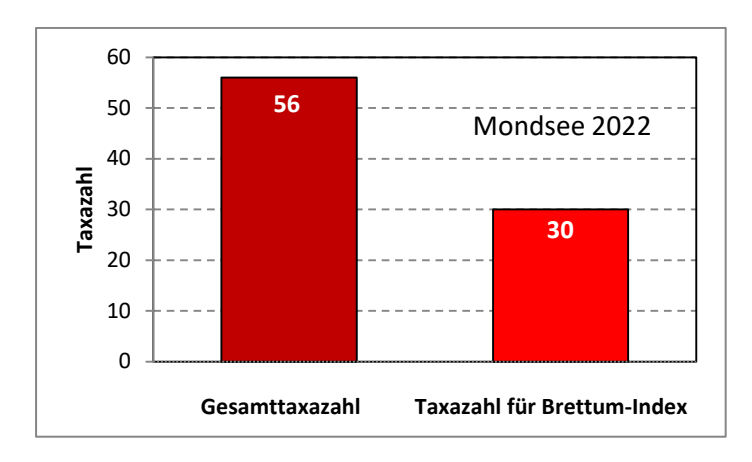
Jahresmittel EQR:

See	М	MONDSEE							
Jahr		2022							
IC Seentyp	L-AL3	range	2						
		-							
Chlorophyll-a [µg L ⁻¹]	2,92								
Biovolumen [mm ³ L ⁻¹]	0,69								
BV für Brettum-Index [mm ³ L ⁻¹]	0,49	71%							
Taxa	56								
Taxa für Brettum-Index	30	54%							
Brettum-Index	3,82								
	Ref.wert	EQR	nEQR						
Chlorophyll-a	1,70	0,58	0,72						
Biovolumen	0,25	0,36	0,66						
Brettum-Index	5,19	0,74	0,70						
EQR gesamt	0,694	gut							

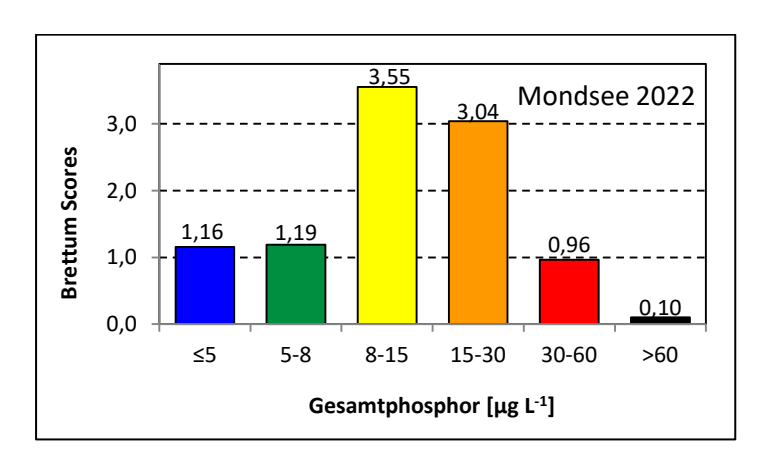
Anteil Biovolumen für die Berechnung des Brettum-Index:



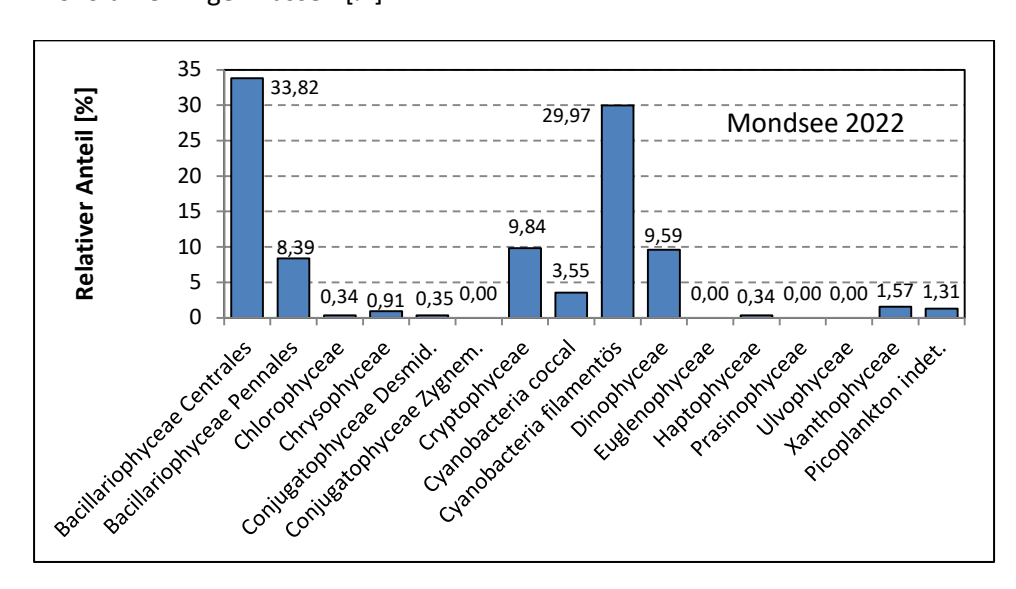




Verteilung Brettum-Scores über die sechs Phosphor-Trophie-Klassen:



Biovolumen Algenklassen [%]:



Prüfbericht Phytoplankton - GZÜV-Untersuchungen des Jahres 2022 Mondsee 2022-01-18

1. Angaben zu Prüflabor und Auftraggeber

Prüflabor	Dr. Jersabek	Prüfbericht-Nr.	MON2022-01
Auftraggeber	Amt der Oberösterreichischen Land	esregierung	

2. Angaben zum See, zur Untersuchungsstelle und Probenahme

Allgemeine Angak	en									
Gewässername		Mon	dsee		Rechtswert		45	4.554		
Messstellenname					Hochwert		29	6.874		
(GZÜV-)Messstellen_ID					Median		31			
Detail WK Name					Trophischer C	Grundzustand	oli	gotroph		
Detail WK ID					Höhe Messpu	nkt [m]	48	1		
Z	'u jewe	eils r	nindestens 4	4 Teri	minen pro Un	tersuchung	sjah	r:		
Datum, Uhrzeit, Pro	benah	me-	Team, Prüfla	bor						
Datum Probenahme	Datum Probenahme 2022-01-18				enahme-Team					
Uhrzeit Probenahme				Prüfl	abor *	Bundesamt für Mondsee, Scha		rwirtschaft IGF		
	ologisch charakteristischer Zeitpunkt **									
* wenn Proben nicht vom selben Pr ** Frühjahrszirkulation, Beginn der			n, Höhepunkt der Som	nmerstagi	nation, Beginn der Herb	ostzirkulation				
Witterung										
vor der Probenal			me		während de	r Probenahme				
Wetter										
Wind	Wind									
Niederschlag		Da	atum:							
Lufttemperatur [°C]										
Wolkenbedeckung [%]										
						•				
Hydrographie, Trüb	ung, F	ärbu	ıng, Schicht	ung						
Hochwassereinfluss (de	r wichtiq	gsten	Zubringer)							
vor der Probenahme			ja □	nein	während der I			□ ja □ nei	in	
Wasserstand aktuell (zui Schätzung auf m ü.A.)*	mindest	:			Sonstiges (Ob Pollenflug)	perflächenfilm,				
Trübung, Art der Trübung **					Thermokline [m]				
Färbung					Sichttiefe/Sec	chi-Tiefe [m]		5,3		
Algenblüten, Auftriebsflo	ocken		ja □	nein	Grenze der eu [m] (Kompens	iphotischen Zo sationsebene)	ne			
* z.B. hoch, mittel, niedrig	* * mi	neralisc	h, organisch, Calcitfäl	rbung						
Probenahme	Probenahme									
Probenahmetiefe der qua Probe [m; vonbis]		en	0 – 21 m		Art der Probena quantitativen Pr		x Mischprobe □ integrierende Probe			
					wenn Mischprobe: Angabe der Tiefenstufen					
Maschenweite für die qu Phytoplankton-Probe [µr		•								

3. Methodische Angaben zur qualitativen, quantitativen und Diatomeen - Analyse

Qualitative Anal	Qualitative Analyse											
Probennummer		MON202	2-01	Bear	rbeiterIn	Christian Jers	abek					
Datum der Analyse		2023-02-	26	Prob	enart	☐ lebend		x fixiert				
Quantitative Ana	alyse											
Probennummer		MON	N2022-01	Nachfixierung der quantitativen Probe				□ ja	x nein			
BearbeiterIn		Chris	tian Jersabek		wenn ja, wa	ann						
Datum der Analyse			-02-26		Kammertyp)		Utermöh	ıl			
Zeitraum zw. Probenał Analyse	nme und	397	Гаде		Kammervol	umen		10 ml				
			Ausgegossenes Volumen der Probe									
Quantitative Probe:	Zählstr	rategie	T									
Proben-Nr.	Kamı	mertyp	Zählstrategie Anzahl Diago					-				
			Diagonalen/Felder	der Obj. 5x Obj. 10x O					Obj. 40x	Obj. 100x		
MON2022-01	Utern	nöhl	Ganze Kammer	1								
			Diagonale/Felder			3 D	2	4, 30 F	12 F			
Diatomeenprobe	•											
Herkunft												
wenn eigene Diatomee	nprobe											
Probennummer		MON202	2-01_Diat		Volumen							
Präparation		x Glühpr	äparat	□ ch	emische Ox	idation						
Optische Ausrüs	tung c	des Zäh	lmikroskops und D	urch	lichtmikı	roskops für d	die D	iatome	en-Analys	e		
Zählmikroskop (Marke/Typ)		Zeiss Tel	aval 3, Jena									
Durchlichtmikroskop ja/nein)	(Mark	ce/Typ, P	Phasenkontrast ja/nein,	, DIC	Leitz Dia	plan (ja/ja)						
Stärkstes Objektiv (Vergrößerung, num	erische	e Apertui	r)		100x (oil	, 1,25)						

4. Quantitative Analyse (Utermöhl-Zählung) Laborinterne Probennummer: MON2022-01

MON-2022-01-18 Taxon	Gezählte Individuen	Gezähltes Vol. [ml]	Abundanz [10³ L ⁻¹]	Zellvolumen [µm³]	FW [µg 1 ⁻¹]	Rel. Anteil [%]
Cyanobacteria						
Aphanizomenon flos-aquae	232	14,838	15,635	707	11,05	2,45
Planktothrix rubescens	417	14,838	28,103	2641	74,21	16,46
Chlorophyceae						
Botryococcus braunii	14	100,000	0,140	10421	1,46	0,32
Elakatothrix genevensis						
Tetraedron minimum						
Tetraselmis cordiformis						
Conjugatophyceae						
Closterium acutum						
Cosmarium depressum	2	14,838	0,135	4197	0,57	0,13
Chrysophyceae						
Dinobryon bavaricum						
Dinobryon divergens						
Kephyrion sp.						
Mallomonas caudata						
Dinophyceae						
Ceratium hirundinella	6	100,000	0,060	51059	3,06	0,68
Glenodinium sp.	3	1,642	1,827	1079	1,97	0,44
Gymnodinium helveticum	15	14,838	1,011	10218	10,33	2,29
Peridinium willei	1	100,000	0,010	61815	0,62	0,14
Cryptophyceae						
Cryptomonas erosa + sp.	40	14,838	2,696	1989	5,36	1,19
Cryptomonas marssonii						
Plagioselmis nannoplanctica	45	0,318	141,676	65	9,21	2,04
Rhodomonas lens	27	0,318	85,006	354	30,05	6,66
Bacillariophyceae						
Asterionella formosa	1032	14,838	69,551	378	26,30	5,83
Aulacoseira islandica						
Aulacoseira subarctica	613	2,052	298,590	432	128,92	28,59
Cyclotella cyclopuncta	19	0,318	60,071	193	11,58	2,57
Cyclotella kuetzingiana						
Cyclotella sp.	69	0,318	216,922	108	23,36	5,18
Cymatopleura elliptica	2	100,000	0,020	42523	0,85	0,19
Cymatopleura solea	1	100,000	0,010	23567	0,24	0,05
Discostella glomerata	2	0,318	6,675	132	0,88	0,20
Fragilaria crotonensis	480	14,838	32,349	1000	32,35	7,17
Staurosira construens						
Stephanodiscus minutulus	16	0,318	50,059	166	8,29	1,84
Stephanodiscus neoastraea	37	14,838	2,494	12861	32,07	7,11

					mm³ L ⁻¹	
			10 ³ L ⁻¹		0,451	%
Gesamt			1035,17		450,94	100,00
Ulnaria ulna						
Ulnaria delicatissima var. angustissima	90	14,838	6,065	3667	22,24	4,93
Ulnaria delicatissima						
Ulnaria acus	30	2,052	14,619	663	9,70	2,15
Tabellaria flocculosa	145	100,000	1,450	4320	6,26	1,39

5. Diatomeenanalyse

Laborinterne Probennummer: MON2022-01_Diato

Taxon	Rebecca-			Größ	enklassen	[µm]		
	ID	4 - <7	7 - <11	11 - <16	16 - <21	21 - <30	30 - <37	>37
Aulacoseira subarctica	R0033	82						
Cyclotella cyclopuncta	R2195	9	31	16				
Cyclotella sp.	R0053	21	80					
Discostella glomerata	R2058	2	5					
Stephanodiscus minutulus	R0082	9	20					
Stephanodiscus neoastraea	R0083					25	38	5
Summe Schalen pro Größen	klasse	123	136	16		25	38	5
Gesamtsumme Schalen			343					
Anteil centrischer Diatomeen	am Gesamt-E	Biovolum	en			45,5 %		

Anmerkungen: Die Artbestimmung centrischer Diatomeen erfolgte nach Krammer & Lange-Bertalot (1991) und Houk, Klee & Tanaka (2010, 2014, 2017). Es bestehen in der modernen Literatur z. T. erhebliche Unterschiede in taxonomischer Zuordnung (Synonyme, Kombinationen) oder in der Nomenklatur (Namensänderungen valider Arten) einzelner Arten. Sofern solche Änderungen Arten betreffen die in der Liste eingestufter Arten des hier angewendeten Bewertungssystem aufscheinen, wird der in dieser Liste verwendete Name beibehalten.

Prüfbericht Phytoplankton - GZÜV-Untersuchungen des Jahres 2022 Mondsee 2022-02-15

1. Angaben zu Prüflabor und Auftraggeber

Prüflabor	Dr. Jersabek	Prüfbericht-Nr.	MON2022-02
Auftraggeber	Amt der Oberösterreichischen Land	esregierung	

Allgemeine Angal	oen									
Gewässername		Mon	dsee		Rechtswert		45	4.554		
Messstellenname					Hochwert		29	6.874		
(GZÜV-)Messstellen_ID					Median		31	31		
Detail WK Name					Trophischer Grundzustand		Oli	Oligotroph		
Detail WK ID					Höhe Messpu	nkt [m]	48	1		
Z	Zu jewo	eils r	mindestens 4	4 Teri	minen pro Un	tersuchung	sjah	r:		
Datum, Uhrzeit, Probenahme-Team, Prüflabor										
Datum Probenahme	2022-0				enahme-Team					
Uhrzeit Probenahme				Prüfl	abor *	Bundesamt für Mondsee, Scha		rwirtschaft IGF		
Limnologisch charakteri	istische	r Zeitı	punkt **	n. a.			8			
* wenn Proben nicht vom selben P ** Frühjahrszirkulation, Beginn der	rüflabor ge	zogen		nmerstagi	nation. Beginn der Herb	estzirkulation				
Witterung		J	,		and the second s					
-		vo	r der Probenah	me		während de	r Prol	obenahme		
Wetter										
Wind										
Niederschlag		Da	atum:							
Lufttemperatur [°C]										
Wolkenbedeckung [%]										
		•								
Hydrographie, Trüb	ung, F	ärbu	ung, Schicht	ung						
Hochwassereinfluss (de	r wichti	gsten	Zubringer)							
vor der Probenahme			ja □	nein	während der I	Probenahme		□ ja □ nein		
Wasserstand aktuell (zur Schätzung auf m ü.A.)*	mindest	i			Sonstiges (Ok Pollenflug)	erflächenfilm,				
Trübung, Art der Trübung **					Thermokline [m]				
Färbung					Sichttiefe/Sec	chi-Tiefe [m]		5,7		
Algenblüten, Auftriebsflo	ocken		ja □	nein	Grenze der eu [m] (Kompens	iphotischen Zo sationsebene)	ne			
* z.B. hoch, mittel, niedrig * * mineralisch, organisch, Calcitfärb				rbung						
Probenahme										
Probenahmetiefe der quantitativen Probe [m; vonbis] 0 – 21 m				Art der Probenahme der						
• •					wenn Mischprobe: Angabe der Tiefenstufen					
Maschenweite für die qu Phytoplankton-Probe [μι)								

Qualitative Anal	Qualitative Analyse											
Probennummer		MON202	2-02	Bear	rbeiterIn	Christian Jers	abek					
Datum der Analyse		2023-02-	21	Prob	enart	☐ lebend		x fixiert				
Quantitative Ana	alyse											
Probennummer		мог	N2022-02		Nachfixierung der quantitativen Probe □ ja x nein							
BearbeiterIn		Chris	stian Jersabek	,	wenn ja, wa	ann						
Datum der Analyse			3-02-21	1	Kammertyp)		Utermöh	nl			
Zeitraum zw. Probenał Analyse	nme un	d 372	Tage		Kammervol			10 ml				
					Ausgegosse Probe	enes Volumen de	r	100 ml				
Quantitative Probe: Zählstrategie												
Proben-Nr.	Kam	mertyp	Zählstrategie		1			len / Felde		Obi: 400		
140112022 02		91.1	Diagonalen/Felder	C	Obj. 5x			bj. 25x	Obj. 40x	Obj. 100x		
MON2022-02	Uterr	moni	Ganze Kammer		1	2.0	-	0.245	12.5			
			Diagonale/Felder			3 D		8, 24 F	12 F			
Diatomeenprobe	•											
Herkunft												
wenn eigene Diatomee	enprobe											
Probennummer		MON202	2-02_Diat		Volumen							
Präparation		x Glühpi	räparat 🗆	chemi	sche Oxidat	tion						
Optische Ausrüs	tung	des Zäh	lmikroskops und D	urch	lichtmik	roskops für d	die D	iatome	en-Analys	е		
Zählmikroskop (Marke/Typ)					Zeiss Te	laval 3, Jena						
Durchlichtmikroskop (Marke/Typ, Phasenkontrast ja/nein, DIC ja/nein)					Leitz Diaplan (ja/ja)							
Stärkstes Objektiv (Vergrößerung, num	erisch	e Apertu	r)		100x (oi	il, 1,25)						

4. Quantitative Analyse (Utermöhl-Zählung) Laborinterne Probennummer: MON2022-02

MON2022-02-15	Gezählte Individuen	Gezähltes Vol. [ml]	Abundanz [10³ L ⁻¹]	Zellvolumen [µm³]	FW [µg l¹]	Rel. Anteil [%]
Cyanobacteria						
Aphanizomenon flos-aquae	315	14,838	21,229	695	14,75	1,42
Planktothrix rubescens	405	14,838	27,295	2215	60,47	5,84
Chlorophyceae						
Botryococcus braunii	6	100,000	0,060	10044	0,60	0,06
Elakatothrix genevensis						
Tetrastrum triangulare						
Conjugatophyceae						
Cosmarium depressum	3	14,838	0,202	3827	0,77	0,07
Chrysophyceae						
Dinobryon bavaricum	1	1,642	0,609	239	0,15	0,01
Kephyrion sp.						
Dinophyceae						
Ceratium hirundinella	16	100,000	0,160	51475	8,24	0,80
Dinophycea indet.						
Glenodinium sp.						
Gymnodinium helveticum	7	14,838	0,472	10931	5,16	0,50
Cryptophyceae						
Cryptomonas erosa	10	14,838	0,674	2219	1,50	0,14
Cryptomonas rostratiformis						
Plagioselmis nannoplanctica	7	0,318	22,039	93	2,06	0,20
Rhodomonas lens	73	0,318	229,830	381	87,52	8,45
Bacillariophyceae						
Asterionella formosa	608	14,838	40,975	395	16,20	1,56
Aulacoseira islandica	179	14,838	12,060	839	10,12	0,98
Aulacoseira subarctica	1301	1,231	1056,550	451	476,90	46,06
Cyclotella cf. atomus	7	0,318	22,857	39	0,90	0,09
Cyclotella cyclopuncta	48	0,318	152,381	229	34,88	3,37
Cyclotella kuetzingiana	0	14,838	0,026	3820	0,10	0,01
Cyclotella radiosa	1	14,838	0,051	2512	0,13	0,01
Cyclotella sp.	61	0,318	190,476	108	20,51	1,98
Cymatopleura elliptica	5	100,000	0,050	40204	2,01	0,19
Cymatopleura solea	4	100,000	0,040	24369	0,97	0,09
Discostella glomerata						
Fragilaria crotonensis	160	100,000	1,600	794	1,27	0,12
Melosira varians	84	100,000	0,842	4062	3,42	0,33
Stephanodiscus alpinus	5	14,838	0,307	1928	0,59	0,06
Stephanodiscus minutulus	5	0,318	15,238	201	3,06	0,30
Stephanodiscus neoastraea gr.	195	14,838	13,142	18312	240,66	23,24
Stephanodiscus neoastraea kl.	13	14,838	0,896	4179	3,75	0,36
Tabellaria flocculosa	38	100,000	0,380	2304	0,88	0,08

Ulnaria acus	13	1,231	10,558	851	8,98	0,87
Ulnaria delicatissima						
Ulnaria delicatissima var. angustissima	150	14,838	10,109	2821	28,51	2,75
Ulnaria ulna	3	100,000	0,030	9612	0,29	0,03
Gesamt			1831,14		1035,33	100,00
			10 ³ L ⁻¹		1,035	%
					mm³ L ⁻¹	

5. Diatomeenanalyse

Laborinterne Probennummer: MON2022-02_Diato

Taxon	Rebecca-		Größenklassen [µm]									
	ID	4 - <7	7 - <11	11 - <16	16 - <21	21 - <30	30 - <37	>37				
Aulacoseira islandica	R0025	8	46									
Aulacoseira subarctica	R0033	137										
Cyclotella cf. atomus	R0039	30										
Cyclotella cyclopuncta	R2195	11	56	19								
Cyclotella kuetzingiana	R0046				1	4						
Cyclotella radiosa	R0051				3	3						
Cyclotella sp.	R0053	31	41									
Melosira varians	R0062			50	17							
Stephanodiscus alpinus	R0076			2	8	1						
Stephanodiscus minutulus	R0082	3	6									
Stephanodiscus neoastraea	R0083				11	52	145	31				
Summe Schalen pro Größen	220	149	71	40	60	145	31					
Gesamtsumme Schalen						716						
Anteil centrischer Diatomeen	am Gesamt-I		76,8 %									

Anmerkungen: Die Artbestimmung centrischer Diatomeen erfolgte nach Krammer & Lange-Bertalot (1991) und Houk, Klee & Tanaka (2010, 2014, 2017). Es bestehen in der modernen Literatur z. T. erhebliche Unterschiede in taxonomischer Zuordnung (Synonyme, Kombinationen) oder in der Nomenklatur (Namensänderungen valider Arten) einzelner Arten. Sofern solche Änderungen Arten betreffen die in der Liste eingestufter Arten des hier angewendeten Bewertungssystem aufscheinen, wird der in dieser Liste verwendete Name beibehalten.

Prüfbericht Phytoplankton - GZÜV-Untersuchungen des Jahres 2022 Mondsee 2022-03-21

1. Angaben zu Prüflabor und Auftraggeber

Prüflabor	Dr. Jersabek	Prüfbericht-Nr.	MON2022-03
Auftraggeber	Amt der Oberösterreichischen Land	esregierung	

Allgemeine Angal	ben									
Gewässername		Mond	dsee		Rechtswert		45	54.554		
Messstellenname					Hochwert			296.874		
(GZÜV-)Messstellen_ID					Median			31		
Detail WK Name					Trophischer Grundzustand		ol	oligotroph		
Detail WK ID					Höhe Messpu	ınkt [m]	48	31		
	'				•					
Z	Zu jewei	ils n	nindestens 4	4 Teri	minen pro Un	itersuchung	sjah	r:		
Datum, Uhrzeit, Pro	benahn	ne-1	Гeam, Prüfla	bor						
Datum Probenahme	Datum Probenahme 2022-03-21			Prob	enahme-Team					
Uhrzeit Probenahme	eit Probenahme F			Prüfla	abor *	Bundesamt für Mondsee, Scha		erwirtschaft IG	ìF	
Limnologisch charakteri			ounkt **	n. a.						
* wenn Proben nicht vom selben F ** Frühjahrszirkulation, Beginn der			, Höhepunkt der Son	nmerstagi	nation, Beginn der Herl	ostzirkulation				
Witterung										
vor der Probenahme				me	während der I			benahme		
Wetter										
Wind										
Niederschlag		Da	tum:							
Lufttemperatur [°C]										
Wolkenbedeckung [%]										
Hydrographie, Trüb	ung, Fä	irbu	ıng, Schicht	ung						
Hochwassereinfluss (de	r wichtigs	sten	Zubringer)							
vor der Probenahme			ja □	nein	während der	Probenahme		□ ja	☐ nein	
Wasserstand aktuell (zu Schätzung auf m ü.A.)*	mindest				Sonstiges (Ol Pollenflug)	berflächenfilm,				
Trübung, Art der Trübung **					Thermokline	[m]				
Färbung					Sichttiefe/Sec	chi-Tiefe [m]			4,5	
Algenblüten, Auftriebsfl	ocken		ja □	nein		uphotischen Zo sationsebene)	ne			
* z.B. hoch, mittel, niedrig	* * mine	eralisch	h, organisch, Calcitfä	rbung	L			L		
Probenahme										
Probenahmetiefe der quantitativen 0 – 21 m					Art der Probenahme der x Mischprobe					
Probe [m; vonbis]	J		Ç 2: III		quantitativen P		l	integrierende	e Probe	
Manahamusita film di	alitation				wenn Mischpro	be: Angabe de	r Tiefe	enstufen		
Maschenweite für die que Phytoplankton-Probe für										

Qualitative Anal	yse									
Probennummer	ı	MON202	2-03	BearbeiterIn	Christian Jers	abek				
Datum der Analyse	1	2023-02-	22	Probenart	☐ lebend		x fixiert			
	•				•					
Quantitative Ana	alyse									
Probennummer	Probennummer MON2022-03					iven	□ ja	x nei	n	
BearbeiterIn		Chris	stian Jersabek	wenn ja, w	/ann					
Datum der Analyse		2023	-02-22	Kammerty	р		Utern	nöhl		
Zeitraum zw. Probenal Analyse	nme und	337	Гаge	Kammervo	olumen		10 ml			
				Ausgegoss	enes Volumen de	r Probe	100 m	ıl		
Quantitative Probe: Zählstrategie										
Proben-Nr.	Kamn	nertyp	Zählstrategie		Anzahl D		•	1		
			Diagonalen/Felder	Obj. 5x	Obj. 10x	Obj. 10x Obj. 2		Obj. 40x	Obj. 100x	
MON2022-03	Uterm	oni	Ganze Kammer	1	2.5	-	_	42.5		
	1		Diagonale/Felder		3 D	24	· F	12 F		
Diatomeenprobe	2									
Herkunft										
wenn eigene Diatomee	enprobe									
Probennummer	ı	MON202	2-03_Diat	Volumen						
Präparation	3	x Glühpr	äparat [☐ chemische Oxi	dation					
Optische Ausrüs	tung d	es Zäh	lmikroskops und D	urchlichtmik	roskops für (die Dia	tome	en-Analys	е	
Zählmikroskop (Marke/Typ)				Zeiss Teld	Zeiss Telaval 3, Jena					
Durchlichtmikroskoj DIC ja/nein)	, Leitz Dia	Leitz Diaplan (ja/ja)								
Stärkstes Objektiv (Vergrößerung, num	erische	Apertu	r)	100x (oil,	1,25)					

4. Quantitative Analyse (Utermöhl-Zählung) Laborinterne Probennummer: MON2022-03

MON2022-03-21	Gezählte In- dividuen	Gezähltes Vol. [ml]	Abundanz [10³ L¹]	Zellvolumen [µm³]	FW [µg l¹]	Rel. Anteil [%]
Cyanobacteria						
Aphanizomenon flos-aquae	490	14,838	33,023	594	19,60	1,24
Planktothrix rubescens	696	14,838	46,906	2184	102,46	6,48
Snowella lacustris						
Chlorophyceae						
Botryococcus braunii	36	100,000	0,360	9604	3,46	0,22
Elakatothrix genevensis						
Tetrastrum triangulare						
Conjugatophyceae						
Closterium acutum						
Cosmarium depressum	3	14,838	0,202	3775	0,76	0,05
Euglenophyceae						
Trachelomonas volvocina						
Chrysophyceae						
Dinobryon bavaricum	3	1,642	1,827	239	0,44	0,03
Mallomonas caudata	2	14,838	0,135	4787	0,65	0,04
Haptophyceae						
Chrysochromulina parva						
Dinophyceae						
Ceratium hirundinella	6	100,000	0,060	54124	3,25	0,21
Glenodinium sp.						
Gymnodinium helveticum	33	14,838	2,224	8797	19,56	1,24
Peridinium willei	1	100,000	0,010	86095	0,86	0,05
Cryptophyceae						
Cryptomonas erosa	19	14,838	1,280	2183	2,80	0,18
Plagioselmis nannoplanctica	30	0,318	94,451	112	10,58	0,67
Rhodomonas lens	88	0,318	277,056	487	134,85	8,52
Bacillariophyceae						
Asterionella formosa	232	29,970	7,741	413	3,20	0,20
Aulacoseira islandica	732	14,838	49,304	955	47,06	2,98
Aulacoseira subarctica	3120	1,026	3040,830	264	802,53	50,73
Cyclotella cf. atomus						
Cyclotella cyclopuncta	90	0,318	282,597	193	54,49	3,45
Cyclotella kuetzingiana	1	14,838	0,047	3343	0,16	0,01
Cyclotella radiosa	0,3	14,838	0,019	2908	0,05	0,00
Cyclotella sp.	21	0,318	66,493	86	5,73	0,36
Cymatopleura elliptica	5	100,000	0,050	39335	1,97	0,12
Cymatopleura solea	45	100,000	0,450	26542	11,94	0,76
Diatoma ehrenbergii						
Discostella glomerata						

Fragilaria crotonensis	1500	29,970	50,050	720	36,04	2,28
Staurosira construens						
Stephanodiscus alpinus	0,1	14,838	0,009	3140	0,03	0,00
Stephanodiscus minutulus	21	0,318	66,493	166	11,01	0,70
Stephanodiscus neoastraea gr.	255	14,838	17,185	15427	265,12	16,76
Stephanodiscus neoastraea kl.	6	14,838	0,396	5426	2,15	0,14
Tabellaria flocculosa	126	100,000	1,260	2527	3,18	0,20
Ulnaria delicatissima	9	1,642	5,482	517	2,83	0,18
Ulnaria delicatissima var. angustissima	180	14,838	12,131	2204	26,74	1,69
Ulnaria ulna	6	14,838	0,404	20599	8,33	0,53
Gesamt			4058,48		1581,83	100,00
			10 ³ L ⁻¹		1,582	%
					mm³ L ⁻¹	

5. Diatomeenanalyse

Laborinterne Probennummer: MON2022-03_Diato

Taxon	Rebecca-			Größ	senklassen	[µm]		
	ID	4 - <7	7 - <11	11 - <16	16 - <21	21 - <30	30 - <37	>37
Aulacoseira islandica	R0025	3	71					
Aulacoseira subarctica	R0033	87						
Cyclotella cyclopuncta	R2195	23	103	14				
Cyclotella kuetzingiana	R0046				2	1		
Cyclotella radiosa	R0051				1	1		
Cyclotella sp.	R0053	22	9					
Stephanodiscus alpinus	R0076				1			
Stephanodiscus minutulus	R0082	12	33					
Stephanodiscus neoastraea	R0083					39	212	23
Summe Schalen pro Größen	klasse	147	216	14	4	41	212	23
Gesamtsumme Schalen			657					
Anteil centrischer Diatomeen		75,1 %						

Anmerkungen: Die Artbestimmung centrischer Diatomeen erfolgte nach Krammer & Lange-Bertalot (1991) und Houk, Klee & Tanaka (2010, 2014, 2017). Es bestehen in der modernen Literatur z. T. erhebliche Unterschiede in taxonomischer Zuordnung (Synonyme, Kombinationen) oder in der Nomenklatur (Namensänderungen valider Arten) einzelner Arten. Sofern solche Änderungen Arten betreffen die in der Liste eingestufter Arten des hier angewendeten Bewertungssystem aufscheinen, wird der in dieser Liste verwendete Name beibehalten.

Prüfbericht Phytoplankton - GZÜV-Untersuchungen des Jahres 2022 Mondsee 2022-04-19

1. Angaben zu Prüflabor und Auftraggeber

Prüflabor	Dr. Jersabek	Prüfbericht-Nr.	MON2022-04
Auftraggeber	Amt der Oberösterreichischen Land	esregierung	

Allgemeine Angal	ben									
Gewässername		Mon	dsee		Rechtswert		45	4.554		
Messstellenname					Hochwert		29	6.874		
(GZÜV-)Messstellen_ID					Median		31	31		
Detail WK Name					Trophischer Grundzustand		OI	Oligotroph		
Detail WK ID					Höhe Messpu	nkt [m]	48	481		
Zu jeweils mindestens 4 Terminen pro Untersuchungsjahr:										
Datum, Uhrzeit, Pro	benah	me-	Team, Prüfla	bor						
Datum Probenahme	2022-0	4-19		Probe	enahme-Team					
Uhrzeit Probenahme				Prüfla	abor *	Bundesamt für Mondsee, Scha		erwirtschaft I	GF	
Limnologisch charakteristischer Zeitpunkt **				Frühjah	rszirkulation					
* wenn Proben nicht vom selben P ** Frühjahrszirkulation, Beginn der			n, Höhepunkt der Som	nmerstagn	ation, Beginn der Herb	ostzirkulation				
Witterung										
vor der Probe			r der Probenah	me		während de	r Pro	Probenahme		
Wetter										
Wind										
Niederschlag		Da	atum:							
Lufttemperatur [°C]										
Wolkenbedeckung [%]										
Hydrographie, Trüb	ung, F	ärbu	ıng, Schicht	ung						
Hochwassereinfluss (de	r wichti	gsten	Zubringer)							
vor der Probenahme			ja □	nein	während der I	Probenahme		□ja	☐ nein	
Wasserstand aktuell (zu Schätzung auf m ü.A.)*	mindest	t			Sonstiges (Ob Pollenflug)	perflächenfilm,				
Trübung, Art der Trübung **					Thermokline [[m]				
Färbung					Sichttiefe/Sec	chi-Tiefe [m]			5,1	
Algenblüten, Auftriebsfl	ocken		ja 🗆	nein	Grenze der eu [m] (Kompens	ıphotischen Zo sationsebene)	ne			
* z.B. hoch, mittel, niedrig	* * mi	ineralisc	h, organisch, Calcitfäl	rbung						
Probenahme	Probenahme									
Probenahmetiefe der quantitative Probe [m; vonbis]		en	0 = 21 m				x Mischprobe □ integrierende Probe			
					wenn Mischpro	be: Angabe de				
Maschenweite für die qu Phytoplankton-Probe (u)								

Qualitative	Analy	se									
Probennumme	r N	/ION2022-04		Ве	arbeiterIn		Christian Jers	abek			
Datum der Ana	lyse 2	023-04-19		Pro	obenart		☐ lebend		x fixiert		
Quantitativ	e Anal	yse									
Probennumme	r	MON2022-	-04		Nachfixieru Probe	ung d	der quantitati	ven	□ ja		x nein
BearbeiterIn		Christian Je	ersabek		wenn ja, wa	ann					
Datum der Ana	•	2023-04-19)		Kammertyp	р			Utermöh	nl	
Zeitraum zw. Pi ahme und Anal		309 Tage			Kammervol	lum	en		10 ml		
							Volumen der	•	100 ml		
Quantitative	Probe: Z	ählstrategie	T								
Proben-Nr.	Kar	nmertyp	Zählstrategie Diagonalen/Felder		OL: E	ı			len / Felde		I
	Pöhron	kammer	Diagonalen/ Feluer	Obj. 5x Obj. 10x Ob					bj. 25x	Obj. 40x	
MON2022-04		termöhl	Ganze Kammer		1						
			Diagonale/Felder				3 D	2	7, 42 F	18 F	
Diatomeen	probe										
Herkunft											
wenn eigene Di	iatomeen	probe									
Probennumme	r N	/ION2022-04_I	Diat		Volumen						
Präparation	х	Glühpräpara	t □ chem	nisch	e Oxidation						
Optische A	usrüstı	ung des Zä	hlmikroskops und D	urcł	nlichtmikr	rosl	kops für d	ie Di	atomee	n-Analyse	•
Zählmikroskop (Marke/Typ)				Zeiss Tele	lava	ıl 3, Jena					
Durchlichtmikroskop (Marke/Typ, Phasenkontrast ja/nein, DIC ja/nein)					Leitz Diaplan (ja/ja)						
Stärkstes Obj (Vergrößerun		rische Apert	ur)		100x (oil, 1,25)						

4. Quantitative Analyse (Utermöhl-Zählung) Laborinterne Probennummer: MON2022-04

MON2022-04-19	Gezählte ndividuen	Gezähltes Vol. [ml]	Abundanz [10³ L¹]	Zellvolumen [µm³]	FW [µg l ⁻¹]	Rel. Anteil [%]
	Gel	ფ >	Ab [7	Zell	Ę	Re
Cyanobacteria						
Aphanizomenon flos-aquae	26	2,873	9,189	594	5,46	0,79
Planktothrix rubescens	312	2,873	108,601	2226	241,74	34,93
Snowella lacustris						
Chlorophyceae						
Botryococcus braunii	27	100,000	0,270	9587	2,59	0,37
Elakatothrix genevensis						
Conjugatophyceae						
Cosmarium depressum	5	14,838	0,337	3698	1,25	0,18
Chrysophyceae						
Dinobryon bavaricum	81	1,847	43,858	231	10,13	1,46
Mallomonas caudata	3	14,838	0,202	4700	0,95	0,14
Haptophyceae						
Chrysochromulina parva	33	0,476	69,264	57	3,92	0,57
Dinophyceae						
Ceratium hirundinella	15	100,000	0,150	50174	7,53	1,09
Gymnodinium helveticum	108	14,838	7,279	12736	92,70	13,39
Peridinium willei	2	100,000	0,020	76946	1,54	0,22
Cryptophyceae						
Cryptomonas erosa	21	14,838	1,415	2160	3,06	0,44
Cryptomonas marssonii						
Cryptomonas rostratiformis	1	14,838	0,067	5472	0,37	0,05
Plagioselmis nannoplanctica	88	0,476	184,704	82	15,22	2,20
Rhodomonas lens	15	0,476	31,484	468	14,75	2,13
Bacillariophyceae						
Asterionella formosa	272	14,838	18,331	433	7,93	1,15
Aulacoseira islandica						
Aulacoseira subarctica	860	2,873	299,349	305	91,22	13,18
Cyclotella bodanica	2	100,000	0,020	57051	1,14	0,16
Cyclotella cyclopuncta	27	0,476	57,300	193	11,05	1,60
Cyclotella kuetzingiana	1	14,838	0,094	3343	0,32	0,05
Cyclotella radiosa	8	14,838	0,509	2968	1,51	0,22
Cyclotella sp.	8	0,476	17,631	86	1,52	0,22
Cymatopleura elliptica	2	100,000	0,020	148838	2,98	0,43
Cymatopleura solea	3	100,000	0,030	24964	0,75	0,11
Cymbella lanceolata						
Eunotia sp.						
Fragilaria crotonensis	1911	14,838	128,797	992	127,80	18,47
Staurosira construens						
Stephanodiscus alpinus						
Stephanodiscus minutulus	6	0,476	13,223	337	4,45	0,64

			10° L		0,692 mm³ L ⁻¹	%
Gesamt			1005,70 10 ³ L ⁻¹		692,10	100,00
			100E 70		602.40	100.00
Ulnaria ulna						
Ulnaria delicatissima var. angustissima	7	14,838	0,472	2281	1,08	0,16
Ulnaria delicatissima	17	1,847	9,205	473	4,36	0,63
Tabellaria flocculosa	84	100,000	0,840	2058	1,73	0,25
Stephanodiscus neoastraea kl.	5	14,838	0,340	4622	1,57	0,23
Stephanodiscus neoastraea gr.	40	14,838	2,696	11693	31,52	4,55

Anmerkung: Aus Übersichtsgründen werden in obenstehender Tabelle die meist sehr kleinen individuellen Einzelwerte als Frischgewicht [μ g L⁻¹] dargestellt und erst unten summarisch in Biovolumen [mm³ L⁻¹] umgerechnet. Unter Annahme eines spezifischen Gewichts von 1.0 für Planktonorganismen gilt dabei 1000 μ g/l = 1 mm³/l.

Neben quantitativen Daten gezählter Arten sind in die Tabelle auch die Ergebnisse der qualitativen Analyse eingeflossen. Sofern in der Probe vorhanden, jedoch nicht in quantifizierbarer Dichte, werden diese lediglich gelistet, ohne weitere Häufigkeitsschätzung.

5. Diatomeenanalyse

Laborinterne Probennummer: MON2022-04_Diato

Taxon	Rebecca-		[µm]					
	ID	4 - <7	7 - <11	11 - <16	16 - <21	21 - <30	30 - <37	>37
Aulacoseira subarctica	R0033	105						
Cyclotella bodanica	R0040						1	3
Cyclotella cyclopuncta	R2195	5	33	3				
Cyclotella kuetzingiana	R0046				1	3		
Cyclotella radiosa	R0051				6	8		
Cyclotella sp.	R0053	12	5					
Stephanodiscus minutulus	R0082	4	7					
Stephanodiscus neoastraea	R0083					28	39	
Summe Schalen pro Größen	klasse	126	45	3	7	39	40	3
		•	•	•			•	
Gesamtsumme Schalen			263					
Anteil centrischer Diatomeen		20,8 %						

Anmerkungen: Die Artbestimmung centrischer Diatomeen erfolgte nach Krammer & Lange-Bertalot (1991) und Houk, Klee & Tanaka (2010, 2014, 2017). Es bestehen in der modernen Literatur z. T. erhebliche Unterschiede in taxonomischer Zuordnung (Synonyme, Kombinationen) oder in der Nomenklatur (Namensänderungen valider Arten) einzelner Arten. Sofern solche Änderungen Arten betreffen die in der Liste eingestufter Arten des hier angewendeten Bewertungssystem aufscheinen, wird der in dieser Liste verwendete Name beibehalten.

Prüfbericht Phytoplankton - GZÜV-Untersuchungen des Jahres 2022 Mondsee 2022-05-11

1. Angaben zu Prüflabor und Auftraggeber

Prüflabor	Dr. Jersabek	Prüfbericht-Nr.	MON2022-05		
Auftraggeber	Amt der Oberösterreichischen Land	esregierung			

Allgemeine Angal	oen									
Gewässername		Mon	dsee		Rechtswert		45	4.554		
Messstellenname					Hochwert		29	6.874		
(GZÜV-)Messstellen_ID					Median		31	31		
Detail WK Name					Trophischer Grundzustand			oligotroph		
Detail WK ID					Höhe Messpu	nkt [m]	48	1		
2	Zu jewe	eils r	mindestens 4	4 Teri	minen pro Un	tersuchung	sjah	r:		
Datum, Uhrzeit, Pro	benah	me-	Team, Prüfla	bor						
Datum Probenahme	um Probenahme 2022-05-11			Prob	enahme-Team					
Uhrzeit Probenahme				Prüfl	abor *	Bundesamt für Mondsee, Schai		erwirtschaft IC	GF .	
Limnologisch charakteristischer Zeitpunkt **			punkt **	n.a.						
* wenn Proben nicht vom selben P ** Frühjahrszirkulation, Beginn der			n, Höhepunkt der Som	nmerstagi	nation, Beginn der Herb	stzirkulation				
Witterung										
vor der Probe			or der Probenah	me		während de	r Prol	Probenahme		
Wetter										
Wind										
Niederschlag		Da	atum:							
Lufttemperatur [°C]										
Wolkenbedeckung [%]										
Hydrographie, Trüb	ung, F	ärbı	ung, Schicht	ung						
Hochwassereinfluss (de	r wichtig	gsten	Zubringer)							
vor der Probenahme			ja □	nein	während der F			□ ja	□ nein	
Wasserstand aktuell (zu Schätzung auf m ü.A.)*	mindest				Sonstiges (Ok Pollenflug)	erflächenfilm,				
Trübung, Art der Trübung **					Thermokline [m]				
Färbung					Sichttiefe/Sec	chi-Tiefe [m]			6,8	
Algenblüten, Auftriebsfl	ocken		ja □	nein	Grenze der eu [m] (Kompens	iphotischen Zo sationsebene)	ne			
* z.B. hoch, mittel, niedrig	* * mii	neralisc	ch, organisch, Calcitfäi	rbung						
Probenahme										
Probenahmetiefe der quantitative Probe [m; vonbis]		en	0 – 21 m		Art der Probena quantitativen Pr		x Mischprobe ☐ integrierende Probe			
					wenn Mischpro	be: Angabe der	Tiefe	enstufen		
Maschenweite für die qu Phytoplankton-Probe [µı										

Qualitative A	Qualitative Analyse											
Probennummer		MON2022-05		Ве	arbeiterIn	Christian Jers	sabek					
Datum der Analy	rse	2023-02-24		Pro	obenart	enart ☐ lebend x fixiert						
Quantitative												
Probennummer		MON2022-	05		Nachfixieru Probe	ıng der quantitat	iven	□ ja		x nein		
BearbeiterIn		Christian Je	ersabek		wenn ja, w	ann						
Datum der Analy		2023-02-24	<u> </u>		Kammertyp)		Utermöh	ıl			
Zeitraum zw. Pro ahme und Analys		289 Tage			Kammervo	lumen		10 ml				
					Ausgegosse Probe	enes Volumen de	r	100 ml				
Quantitative P	robe: Z	ählstrategie										
Proben-Nr.	Ka	ımmertyp	Zählstrategie			Anzahl D	iagona	len / Felde	r	ı		
			Diagonalen/Felder		Obj. 5x	Obj. 10x	0	bj. 25x	Obj. 40x			
MON2022-05		nrenkammer h Utermöhl Ganze Kammer			1							
			Diagonale/Felder			3 D		21 F	10, 18 F			
Diatomeenp	robe											
Herkunft												
wenn eigene Dia	tomeen	probe										
Probennummer		MON2022-05_I	Diat		Volumen							
Präparation		x Glühpräpara	: □ chem	nisch	e Oxidation							
Optische Au	srüstı	ıng des Zäh	lmikroskops und Du	rch	lichtmikro	oskops für di	e Dia	tomeer	-Analyse			
Zählmikroskop						elaval 3, Jena						
(Marke/Typ)					20133 10	navai 3, Jena						
Durchlichtmikroskop (Marke/Typ, Phasenkontrast ja/nein, DIC ja/nein)					Leitz Diaplan (ja/ja)							
Stärkstes Objek (Vergrößerung		rische Apertu	r)		100x (o	il, 1,25)						

4. Quantitative Analyse (Utermöhl-Zählung)

Laborinterne Probennummer: MON2022-05

	L			c		
MON2022-05-11	Gezählte In- dividuen	Gezähltes Vol. [ml]	Abundanz [10³ L¹]	Zellvolumen [µm³]	FW [µg l ⁻¹]	Rel. Anteil [%]
Cyanobacteria						
Aphanizomenon flos-aquae	17	14,838	1,146	1256	1,44	0,33
Planktothrix rubescens	1510	14,838	101,765	2506	255,01	58,12
Chlorophyceae						
Botryococcus braunii	29	100,000	0,290	10678	3,10	0,71
Elakatothrix genevensis						
Conjugatophyceae						
Cosmarium depressum	3	14,838	0,202	3853	0,78	0,18
Chrysophyceae						
Dinobryon bavaricum	21	1,436	14,619	240	3,51	0,80
Dinobryon divergens	3	1,436	2,088	210	0,44	0,10
Mallomonas sp.						
Pseudopedinella sp.						
Haptophyceae						
Chrysochromulina parva	21	0,476	44,077	56	2,46	0,56
Dinophyceae						
Ceratium hirundinella	4	100,000	0,040	53699	2,15	0,49
Glenodinium sp.						
Gymnodinium helveticum	7	14,838	0,472	9080	4,28	0,98
Gymnodinium sp.						
Peridinium willei	8	100,000	0,080	74056	5,92	1,35
Cryptophyceae						
Cryptomonas erosa + sp.	10	14,838	0,674	2116	1,43	0,32
Cryptomonas marssonii						
Cryptomonas sp.						
Plagioselmis nannoplanctica	105	0,476	220,385	105	23,22	5,29
Rhodomonas lens	13	0,476	27,286	441	12,03	2,74
Bacillariophyceae						
Asterionella formosa	320	14,838	21,566	423	9,12	2,08
Aulacoseira subarctica	915	14,838	61,665	306	18,89	4,30
Cyclotella bodanica	6	100,000	0,060	27834	1,67	0,38
Cyclotella cyclopuncta	66	0,476	139,158	161	22,37	5,10
Cyclotella kuetzingiana	6	14,838	0,388	3529	1,37	0,31
Cyclotella radiosa	18	14,838	1,197	2607	3,12	0,71
Cyclotella sp.	8	0,476	16,371	86	1,41	0,32
Cymatopleura solea	6	100,000	0,060	27027	1,62	0,37
Discostella glomerata	1	0,476	1,637	86	0,14	0,03
Eunotia sp.	4= 45	100.005	45 405	A . =	40.00	2 2=
Fragilaria crotonensis	1543	100,000	15,429	817	12,60	2,87
Staurosira construens		0.4=6	0 = 46			2.25
Stephanodiscus minutulus	3	0,476	6,549	241	1,58	0,36

					mm³ L ⁻¹	
			10 ³ L ⁻¹		0,439	%
Gesamt			1282,99		438,77	100,00
Picoplankton indet.	153	0,265	578,039	34	19,39	4,42
Picoplankton < 5 μm						
Ulnaria ulna	9	100,000	0,090	16330	1,47	0,33
Ulnaria delicatissima var. angustissima	5	14,838	0,337	3724	1,25	0,29
Ulnaria delicatissima	37	1,436	25,758	418	10,78	2,46
Tabellaria flocculosa	52	100,000	0,520	3406	1,77	0,40
Stephanodiscus neoastraea kl.	0,5	14,838	0,032	6133	0,20	0,05
Stephanodiscus neoastraea	15	14,838	1,011	14105	14,26	3,25

Anmerkung: Aus Übersichtsgründen werden in obenstehender Tabelle die meist sehr kleinen individuellen Einzelwerte als Frischgewicht [μ g L⁻¹] dargestellt und erst unten summarisch in Biovolumen [mm³ L⁻¹] umgerechnet. Unter Annahme eines spezifischen Gewichts von 1.0 für Planktonorganismen gilt dabei 1000 μ g/l = 1 mm³/l.

Neben quantitativen Daten gezählter Arten sind in die Tabelle auch die Ergebnisse der qualitativen Analyse eingeflossen. Sofern in der Probe vorhanden, jedoch nicht in quantifizierbarer Dichte, werden diese lediglich gelistet, ohne weitere Häufigkeitsschätzung.

5. Diatomeenanalyse

Laborinterne Probennummer: MON2022-05_Diato

Taxon	Rebecca-			Größ	enklassen	[µm]			
	ID	4 - <7	7 - <11	11 - <16	16 - <21	21 - <30	30 - <37	>37	
Aulacoseira subarctica	R0033	79							
Cyclotella bodanica	R0040						5	6	
Cyclotella cyclopuncta	R2195	23	60	9					
Cyclotella kuetzingiana	R0046				5	6	2		
Cyclotella radiosa	R0051				12	8			
Cyclotella sp.	R0053	18	7						
Discostella glomerata	R2058	3	1						
Stephanodiscus minutulus	R0082	3	5						
Stephanodiscus neoastraea	R0083					8	25		
Summe Schalen pro Größen	klasse	126	73	9	17	22	32	6	
			•	•		•			
Gesamtsumme Schalen						285			
Anteil centrischer Diatomeen	am Gesamt-l	Biovolum	en		14,8 %				

Anmerkungen: Die Artbestimmung centrischer Diatomeen erfolgte nach Krammer & Lange-Bertalot (1991) und Houk, Klee & Tanaka (2010, 2014, 2017). Es bestehen in der modernen Literatur z. T. erhebliche Unterschiede in taxonomischer Zuordnung (Synonyme, Kombinationen) oder in der Nomenklatur (Namensänderungen valider Arten) einzelner Arten. Sofern solche Änderungen Arten betreffen die in der Liste eingestufter Arten des hier angewendeten Bewertungssystem aufscheinen, wird der in dieser Liste verwendete Name beibehalten.

Prüfbericht Phytoplankton - GZÜV-Untersuchungen des Jahres 2022 Mondsee 2022-06-07

1. Angaben zu Prüflabor und Auftraggeber

Prüflabor	Dr. Jersabek	Prüfbericht-Nr.	MON2022-06	
Auftraggeber	Amt der Oberösterreichischen Land	esregierung		

Allgemeine Angal	oen									
Gewässername		Mon	dsee		Rechtswert		45	4.554		
Messstellenname					Hochwert		29	6.874		
(GZÜV-)Messstellen_ID					Median		31			
Detail WK Name					Trophischer Grundzustand			gotroph		
Detail WK ID					Höhe Messpu	nkt [m]	48	1		
2	Zu jewe	eils r	mindestens 4	4 Teri	minen pro Un	tersuchung	sjah	r:		
Datum, Uhrzeit, Pro										
Datum Probenahme	Datum Probenahme 2022-06-07			Prob	enahme-Team					
Uhrzeit Probenahme				Prüfl	abor *	Bundesamt für Mondsee, Schai		rwirtschaft IC	GF .	
Limnologisch charakteristischer Zeitpunkt **			Begir	n der Sommersta	gnation					
* wenn Proben nicht vom selben P ** Frühjahrszirkulation, Beginn der	n, Höhepunkt der Som	nmerstag	nation, Beginn der Herb	stzirkulation						
Witterung										
vor de			r der Probenahme			während der Probenahme				
Wetter										
Wind										
Niederschlag		Da	atum:							
Lufttemperatur [°C]										
Wolkenbedeckung [%]										
Hydrographie, Trüb	ung, F	ärbı	ung, Schicht	ung						
Hochwassereinfluss (de	r wichtiq	gsten	Zubringer)							
vor der Probenahme			ja □	nein	während der F			□ja	□ nein	
Wasserstand aktuell (zu Schätzung auf m ü.A.)*	mindest				Sonstiges (Ok Pollenflug)	erflächenfilm,				
Trübung, Art der Trübung **					Thermokline [m]				
Färbung					Sichttiefe/Sec	chi-Tiefe [m]			1,8	
Algenblüten, Auftriebsfl	ocken		ja □	nein	Grenze der eu [m] (Kompens	photischen Zo ationsebene)	ne			
* z.B. hoch, mittel, niedrig	* * mii	neralisc	ch, organisch, Calcitfäi	rbung						
Probenahme										
Probenahmetiefe der quantitative Probe [m; vonbis]		en	0 – 21 m					x Mischprobe □ integrierende Probe		
					wenn Mischpro	be: Angabe der	Tiefe	enstufen		
Maschenweite für die qu Phytoplankton-Probe [µı										

Qualitative A	Analy	se								
Probennummer		MON2022-06		Ве	arbeiterIn	Christian Jers	abek			
Datum der Analy	/se	2023-02-24		Pro	robenart 🔲 lebend			x fixiert		
Quantitative	e Ana	lyse								
Probennummer		MON2022-	06	Nachfixierung der quantitativen Probe			ven	□ ja x nein		
BearbeiterIn		Christian Je	ersabek		wenn ja, w	ann				
Datum der Analy	/se	2023-02-24	<u> </u>		Kammertyp)		Utermöh	ıl	
	Zeitraum zw. Proben- hme und Analyse 264 Tage					lumen		10 ml		
						enes Volumen der	•	100 ml		
Quantitative P	robe: Z	Zählstrategie								
Proben-Nr.	K	ammertyp	Zählstrategie Diagonalen/Felder		Obi E			len / Felde		I
	Pöhre	enkammer	Diagonalen/Feider		Obj. 5x	Obj. 10x	O	bj. 25x	Obj. 40x	
MON2022-06		Utermöhl	Ganze Kammer		1					
			Diagonale/Felder			3 D		24 F	5, 15 F	
Diatomeenp	robe									
Herkunft										
wenn eigene Dia	tomeer	nprobe								
Probennummer		MON2022-06_I	Diat		Volumen					
Präparation		x Glühpräpara	: □ chem	nisch	e Oxidation					
Optische Au	srüst	ung des Zäh	lmikroskops und Du	rch	lichtmikro	skops für di	e Dia	tomeer	-Analyse	
Zählmikroskop (Marke/Typ)		Zeiss Tela	val 3, Jena							
Durchlichtmikroskop (Marke/Typ, Phasenkontrast ja/nein, DIC ja/nein)					Leitz Diaplan (ja/ja)					
Stärkstes Obje (Vergrößerung		erische Apertu	r)		100x (oil,	1,25)				

4. Quantitative Analyse (Utermöhl-Zählung)

Laborinterne Probennummer: MON2022-06

MON2022-06-07	Gezählte Individuen	Gezähltes Vol. [ml]	Abundanz [10³ L ⁻¹]	Zellvolumen [µm³]	FW [µg l¹]	Rel. Anteil [%]
	Ge	Gez	Abı [1	Zellv [FW	Rel
Cyanobacteria						
Planktothrix rubescens	2350	14,838	158,376	2123	336,17	51,24
Chlorophyceae						
Botryococcus braunii	22	100,000	0,220	10238	2,25	0,34
Elakatothrix genevensis						
Eutetramorus planktonicus						
Pediastrum boryanum						
Tetrastrum triangulare						
Conjugatophyceae						
Cosmarium depressum	10	14,838	0,674	3775	2,54	0,39
Chrysophyceae						
Dinobryon crenulatum	13	0,397	32,743	92	3,00	0,46
Dinobryon divergens	93	1,642	56,650	203	11,52	1,76
Mallomonas elongata	6	14,838	0,404	2620	1,06	0,16
Mallomonas sp.						
Haptophyceae						
Chrysochromulina parva						
Dinophyceae						
Ceratium hirundinella	26	100,000	0,260	57668	14,99	2,29
Gymnodinium helveticum	7	14,838	0,472	9155	4,32	0,66
Gymnodinium sp.						
Peridinium umbonatum - Complex	5	14,838	0,337	4667	1,57	0,24
Peridinium willei	6	100,000	0,060	52400	3,14	0,48
Cryptophyceae						
Cryptomonas erosa + sp.	37	14,838	2,494	2296	5,72	0,87
Cryptomonas marssonii		·				
Cryptomonas sp.						
Plagioselmis nannoplanctica	145	0,397	365,210	82	29,90	4,56
Rhodomonas lens						
Bacillariophyceae						
Achnanthes sp.						
Asterionella formosa	192	100,000	1,920	460	0,88	0,13
Aulacoseira subarctica	56	14,838	3,744	266	0,99	0,15
Cyclotella bodanica	5	100,000	0,050	33866	1,69	0,26
Cyclotella cyclopuncta	535	0,318	1684,374	108	181,41	27,65
Cyclotella kuetzingiana	25	14,838	1,665	3577	5,96	0,91
Cyclotella radiosa	328	14,838	22,125	2154	47,65	7,26
Fragilaria crotonensis	107	100,000	1,071	871	0,93	0,14
Pinnularia sp.						
Stephanodiscus neoastraea	2	100,000	0,020	19881	0,40	0,06
Ulnaria acus						

Ulnaria delicatissima var. angustissima			
Gesamt	2332,87	656,12	100,00
	10 ³ L ⁻¹	0,656	%
		mm³ L ⁻¹	

Anmerkung: Aus Übersichtsgründen werden in obenstehender Tabelle die meist sehr kleinen individuellen Einzelwerte als Frischgewicht [μ g L⁻¹] dargestellt und erst unten summarisch in Biovolumen [mm³ L⁻¹] umgerechnet. Unter Annahme eines spezifischen Gewichts von 1.0 für Planktonorganismen gilt dabei 1000 μ g/l = 1 mm³/l.

Neben quantitativen Daten gezählter Arten sind in die Tabelle auch die Ergebnisse der qualitativen Analyse eingeflossen. Sofern in der Probe vorhanden, jedoch nicht in quantifizierbarer Dichte, werden diese lediglich gelistet, ohne weitere Häufigkeitsschätzung.

5. Diatomeenanalyse

Laborinterne Probennummer: MON2022-06_Diato

Taxon	Rebecca-			Größ	enklassen	[µm]		
	ID	4 - <7	7 - <11	11 - <16	16 - <21	21 - <30	30 - <37	>37
Aulacoseira subarctica	R0033	18						
Cyclotella bodanica	R0040						3	5
Cyclotella cyclopuncta	R2195	78	108	12				
Cyclotella kuetzingiana	R0046				12	35		
Cyclotella radiosa	R0051			18	126	34		
Stephanodiscus neoastraea	R0083						3	3
Summe Schalen pro Größen	klasse	96	108	30	138	69	6	8
Gesamtsumme Schalen						455		
Anteil centrischer Diatomeen	am Gesamt-E	Biovolum	en			36,3 %		

Anmerkungen: Die Artbestimmung centrischer Diatomeen erfolgte nach Krammer & Lange-Bertalot (1991) und Houk, Klee & Tanaka (2010, 2014, 2017). Es bestehen in der modernen Literatur z. T. erhebliche Unterschiede in taxonomischer Zuordnung (Synonyme, Kombinationen) oder in der Nomenklatur (Namensänderungen valider Arten) einzelner Arten. Sofern solche Änderungen Arten betreffen die in der Liste eingestufter Arten des hier angewendeten Bewertungssystem aufscheinen, wird der in dieser Liste verwendete Name beibehalten.

Prüfbericht Phytoplankton - GZÜV-Untersuchungen des Jahres 2022 Mondsee 2022-07-05

1. Angaben zu Prüflabor und Auftraggeber

Prüflabor	Dr. Jersabek	Prüfbericht-Nr.	MON2022-07
Auftraggeber	Amt der Oberösterreichischen Land	esregierung	

Allgemeine Angal	oen									
Gewässername		Mon	dsee		Rechtswert		45	4.554		
Messstellenname					Hochwert		29	6.874		
(GZÜV-)Messstellen_ID					Median		31			
Detail WK Name					Trophischer Grundzustand			oligotroph		
Detail WK ID					Höhe Messpunkt [m] 481					
Z	Zu jewe	eils r	mindestens 4	4 Terr	minen pro Un	tersuchung	sjah	r:		
Datum, Uhrzeit, Pro										
Datum Probenahme	2022-0	7-05		Prob	enahme-Team					
Uhrzeit Probenahme				Prüfla	abor *	Bundesamt für Mondsee, Scha		erwirtschaft	IGF	
				Somn	nerstagnation					
* wenn Proben nicht vom selben P ** Frühjahrszirkulation, Beginn der			n, Höhepunkt der Son	nmerstagr	nation, Beginn der Herb	ostzirkulation				
Witterung										
vor der Probena			r der Probenah	hme während der F			r Pro	Probenahme		
Wetter										
Wind										
Niederschlag		Da	atum:							
Lufttemperatur [°C]										
Wolkenbedeckung [%]										
						•				
Hydrographie, Trüb	ung, F	ärbu	ıng, Schicht	ung						
Hochwassereinfluss (de	r wichti	gsten	Zubringer)							
vor der Probenahme			ja □	nein	während der I	Probenahme		□ja	☐ nein	
Wasserstand aktuell (zu Schätzung auf m ü.A.)*	mindest	t			Sonstiges (Oli Pollenflug)	perflächenfilm,				
Trübung, Art der Trübung **					Thermokline [[m]				
Färbung					Sichttiefe/Sec	chi-Tiefe [m]			4,0	
Algenblüten, Auftriebsfl	ocken		ja 🗆	nein	Grenze der eu [m] (Kompens	iphotischen Zo sationsebene)	ne			
* z.B. hoch, mittel, niedrig * * mineralisch, organisch, Calci										
Probenahme										
Probenahmetiefe der quantitativer Probe [m; vonbis]			0 = 21 m					x Mischprobe □ integrierende Probe		
					wenn Mischpro	be: Angabe de				
Maschenweite für die qu Phytoplankton-Probe [u		•								

Qualitative A	Analy	/se								
Probennummer		MON2022-07		Ве	arbeiterIn	Christian Jers	abek			
Datum der Analy	/se	2023-02-26		Pro	obenart	☐ lebend		x fixiert	1	
Quantitative	e Ana	lyse								
Probennummer		MON2022-	07	Nachfixierung der quantitativen Probe				□ ja x nein		
BearbeiterIn		Christian Je	ersabek		wenn ja, wa	ann				
Datum der Analy	/se	2023-02-26	j .		Kammertyp)		Utermöh	nl	
Zeitraum zw. Pro me und Analyse	Zeitraum zw. Probenah- me und Analyse					umen		10 ml		
				Ausgegosse Probe	nes Volumen de	r	100 ml			
Quantitative P	robe: 2	Zählstrategie								
Proben-Nr.	к	ammertyp	Zählstrategie					len / Felde	1	ſ
			Diagonalen/Felder		Obj. 5x	Obj. 10x	0	bj. 25x	Obj. 40x	
MON2022-07	-	enkammer Utermöhl	Ganze Kammer		1					
			Diagonale/Felder		3 D	3 D		21 F	10, 18 F	
Diatomeenp	robe									
Herkunft										
wenn eigene Dia	tomee	nprobe								
Probennummer		MON2022-07_I	Diat		Volumen					
Präparation		x Glühpräpara	t □ chem	isch	e Oxidation					
Optische Au	srüst	ung des Zäh	lmikroskops und Du	rch	lichtmikro	skops für di	e Dia	tomeer	n-Analyse	
Zählmikroskop (Marke/Typ)		Zeiss Tela	val 3, Jena							
Durchlichtmikr ja/nein)	oskop	(Marke/Typ, F	Phasenkontrast ja/nein, D	OIC	C Leitz Diaplan (ja/ja)					
Stärkstes Objek (Vergrößerung		erische Apertu	r)		100x (oil,	1,25)				

4. Quantitative Analyse (Utermöhl-Zählung)

Laborinterne Probennummer: MON2022-07

MON2022-07-05	Gezählte Individuen	Gezähltes Vol. [ml]	Abundanz [10³ L ⁻¹]	Zellvolumen [µm³]	FW [µg l ⁻¹]	Rel. Anteil [%]
	<u> </u>	წ >	Ak [Zell	Ā	Re
Cyanobacteria						
Chroococcus limneticus						
Planktothrix rubescens	1710	14,838	115,244	2210	254,72	46,19
Chlorophyceae						
Botryococcus braunii	26	100,000	0,260	9931	2,58	0,47
Elakatothrix genevensis						
Oocystis sp.	20	1,436	13,923	226	3,15	0,57
Planctonema lauterbornii						
Scenedesmus sp.						
Tetrachlorella alternans						
Conjugatophyceae						
Cosmarium depressum	12	14,838	0,809	3775	3,05	0,55
Chrysophyceae						
Bitrichia chodatii	4	0,476	8,396	98	0,82	0,15
Dinobryon divergens	51	1,436	35,504	206	7,33	1,33
Mallomonas sp.						
Pseudopedinella sp.						
Dinophyceae						
Ceratium hirundinella	66	29,970	2,202	57729	127,13	23,05
Gymnodinium helveticum	10	14,838	0,674	9224	6,22	1,13
Gymnodinium sp.						
Peridinium sp. gr.	72	100,000	0,720	36029	25,94	4,70
Peridinium umbonatum - Complex	16	14,838	1,078	1863	2,01	0,36
Cryptophyceae						
Cryptomonas erosa + sp.	121	14,838	8,155	2260	18,43	3,34
Cryptomonas marssonii		0.470	4=0.000		40.50	
Plagioselmis nannoplanctica	84	0,476	176,308	60	10,52	1,91
Bacillariophyceae	70	400.000	0.700	450	0.00	0.00
Asterionella formosa	72	100,000	0,720	450	0,32	0,06
Aulacoseira subarctica	17	14,838	1,123	271	0,30	0,06
Cyclotella bodanica	8	100,000	0,080	19747	1,58	0,29
Cyclotella gr.sp.	10	14,838	0,674	2512	1,69	0,31
Cyclotella kl.sp.	81	0,476	170,012	108	18,31	3,32
Eunotia sp.		44.000	0.007	40004	7.00	4 44
Stephanodiscus neoastraea	9	14,838	0,607	12861	7,80	1,41
Picoplankton < 5 µm	400	0.040	4040.004	4.4	50.53	40.00
µ-Algen (Picoplankton excl. Bacteria)	180	0,043	4210,381	14	59,57	10,80
Gesamt			4746,87		551,48	100,00
			10 ³ L ⁻¹		0,551	%
					mm³ L ⁻¹	

Anmerkung: Aus Übersichtsgründen werden in obenstehender Tabelle die meist sehr kleinen individuellen Einzelwerte als Frischgewicht [μ g L⁻¹] dargestellt und erst unten summarisch in Biovolumen [mm³ L⁻¹] umgerechnet. Unter Annahme eines spezifischen Gewichts von 1.0 für Planktonorganismen gilt dabei 1000 μ g/l = 1 mm³/l.

Neben quantitativen Daten gezählter Arten sind in die Tabelle auch die Ergebnisse der qualitativen Analyse eingeflossen. Sofern in der Probe vorhanden, jedoch nicht in quantifizierbarer Dichte, werden diese lediglich gelistet, ohne weitere Häufigkeitsschätzung.

5. Diatomeenanalyse

Laborinterne Probennummer: MON2022-07_Diato

Der Anteil centrischer Diatomeen am Gesamtbiovolumen lag im Juli bei 5,4 % - und damit deutlich unter den It. Leitfaden zur Erhebung der biologischen Qualitätselemente (Teil B2, Phytoplankton) für eine nähere Analyse erforderlichen 10 %. Auf eine taxonomische Absicherung auf Artniveau durch Detailanalyse am Glühpräparat wurde daher verzichtet!

Prüfbericht Phytoplankton - GZÜV-Untersuchungen des Jahres 2022 Mondsee 2022-08-01

1. Angaben zu Prüflabor und Auftraggeber

Prüflabor	Dr. Jersabek	Prüfbericht-Nr.	MON2022-08
Auftraggeber	Amt der Oberösterreichischen Land	esregierung	

Allgemeine Angal	oen									
Gewässername		Mon	dsee		Rechtswert		45	4.554		
Messstellenname					Hochwert		29	6.874		
(GZÜV-)Messstellen_ID					Median		31			
Detail WK Name					Trophischer (Grundzustand	oli	gotroph		
Detail WK ID					Höhe Messpu	ounkt [m] 481				
_						_				
Z	Zu jewei	ils n	nindestens 4	4 Terr	ninen pro Un	tersuchung	sjah	r:		
Datum, Uhrzeit, Pro	benahn	ne-1	Геат, Prüfla	bor						
Datum Probenahme	2022-08-	-01		Probe	enahme-Team					
Uhrzeit Probenahme			Prüflabor *			Bundesamt für Mondsee, Scha		erwirtschaft IGF		
Limnologisch charakteri		•			nerstagnation					
* wenn Proben nicht vom selben P ** Frühjahrszirkulation, Beginn der			, Höhepunkt der Som	merstagr	nation, Beginn der Herl	ostzirkulation				
Witterung										
		vor der Probenahme während de					er Probenahme			
Wetter										
Wind										
Niederschlag		Da	tum:							
Lufttemperatur [°C]										
Wolkenbedeckung [%]										
Hydrographie, Trüb	ung, Fä	irbu	ıng, Schicht	ung						
Hochwassereinfluss (de	r wichtigs	sten	Zubringer)							
vor der Probenahme			ja □	nein	während der			□ja	□ nein	
Wasserstand aktuell (zu Schätzung auf m ü.A.)*	mindest				Sonstiges (Ol Pollenflug)	perflächenfilm,				
Trübung, Art der Trübung **					Thermokline	[m]				
Färbung					Sichttiefe/Sec	chi-Tiefe [m]		2,	1	
Algenblüten, Auftriebsfl	ocken		ja □	nein		ıphotischen Zo sationsebene)	ne			
* z.B. hoch, mittel, niedrig	* * mine	eraliscl	h, organisch, Calcitfär	bung						
Probenahme										
Probenahmetiefe der qu Probe [m; vonbis]		n	0 – 21 m		Art der Probena quantitativen P			lischprobe ntegrierende F	Probe	
					wenn Mischpro	be: Angabe de	Tiefe	enstufen		
Maschenweite für die qu										

Qualitative A	Analy	se								
Probennummer		MON2022-08		Be	arbeiterIn	Christian Jer	sabek			
Datum der Analy	/se	2023-02-26		Pro	obenart	benart				
Quantitative	e Anal	lyse								
Probennummer		MON2022-		Nachfixieru Probe	ng der quantitat	tiven	□ ja	х	nein	
BearbeiterIn		Christian Je	ersabek		wenn ja, wa	ann				
Datum der Analy	/se	2023-02-26			Kammertyp)		Utermöh	I	
Zeitraum zw. Pro me und Analyse	benah-	211 Tage			Kammervol	umen		10 ml		
					Ausgegosse Probe	nes Volumen de	er	100 ml		
Quantitative P	robe: Z	ählstrategie								
Proben-Nr.	Ka	ammertyp	Zählstrategie		a			len / Felde		
	Döbro	nkammer	Diagonalen/Felder		Obj. 5x	Obj. 10x	0	bj. 25x	Obj. 40x	
MON2022-08		Utermöhl	Ganze Kammer		1					
			Diagonale/Felder			3 D		15 F	10, 12 F	
Diatomeenp	robe									
Herkunft										
wenn eigene Dia	tomeen	probe								
Probennummer		MON2022-08_0	Diat		Volumen					
Präparation		x Glühpräparat	: □ chem	nisch	e Oxidation					
Optische Au	srüstı	ung des Zäh	lmikroskops und Du	rchl	lichtmikro	skops für d	ie Dia	tomeen	-Analyse	
Zählmikroskop (Marke/Typ)	ı				Zeiss Tela	val 3, Jena				
	oskop	(Marke/Typ, F	Phasenkontrast ja/nein, D	Leitz Diaplan (ja/ja)						
Stärkstes Obje (Vergrößerung		rische Apertu	r)		100x (oil,	1,25)				

4. Quantitative Analyse (Utermöhl-Zählung)

Laborinterne Probennummer: MON2022-08

	<u>-</u>	ω	Z	ue	.]	=
MON2022-08-01	ezählte Ir dividuen	Gezähltes Vol. [ml]	ndan ³ L¹]	lvolum [µm³]	FW [µg l ⁻¹]	Rel. Anteil [%]
	Gezählte In- dividuen	Gezä	Abundanz [10³ L ⁻¹]	Zellvolumen [µm³]	FW	Rel.
Cyanobacteria						
Aphanizomenon flos-aquae	52	14,838	3,504	598	2,10	0,30
Aphanocapsa sp.						
Chroococcus limneticus	16	0,397	40,299	132	5,32	0,76
Planktothrix rubescens	1860	14,838	125,353	2211	277,16	39,40
Snowella lacustris						
Chlorophyceae						
Botryococcus braunii						
Dictyosphaerium subsolitarium						
Elakatothrix genevensis						
Oocystis sp.						
Pediastrum boryanum						
Planctonema lauterbornii						
Scenedesmus linearis						
Scenedesmus sp.						
Tetraedron minimum						
Tetrastrum triangulare						
Conjugatophyceae						
Cosmarium depressum	9	14,838	0,607	3697	2,24	0,32
Staurastrum cf. cingulum						
Xanthophyceae						
Gloeobotrys limneticus	112	0,318	352,617	193	68,01	9,67
Chrysophyceae						
Bitrichia chodatii	5	0,318	15,742	131	2,06	0,29
Dinobryon bavaricum	4	1,026	3,899	228	0,89	0,13
Dinobryon crenulatum						
Dinobryon divergens	24	1,026	23,391	203	4,76	0,68
Dinobryon sociale						
Kephyrion sp.						
Mallomonas elongata						
Mallomonas sp.						
Haptophyceae						
Chrysochromulina parva						
Dinophyceae						
Ceratium hirundinella	192	100,000	1,920	52423	100,65	14,31
Dinophyceae indet.						
Glenodinium sp.						
Gymnodinium helveticum	21	14,838	1,415	9111	12,89	1,83
Gymnodinium sp.kl.						
Peridinium umbonatum - Complex						
Cryptophyceae						

Cryptomonas erosa	208	14,838	14,018	2052	28,77	4,09
Cryptomonas marssonii	10	1,026	9,746	604	5,89	0,84
Plagioselmis nannoplanctica	185	0,318	582,447	106	61,66	8,76
Rhodomonas lens						
Bacillariophyceae						
Asterionella formosa	64	100,000	0,640	442	0,28	0,04
Aulacoseira subarctica	1833	14,838	123,555	262	32,36	4,60
Cyclotella cyclopuncta	264	0,318	831,168	86	71,67	10,19
Cymbella lanceolata						
Discostella glomerata	33	0,318	103,896	86	8,96	1,27
Eunotia sp.						
Fragilaria crotonensis	61	29,676	2,063	996	2,06	0,29
Stephanocostis chantaicus	3	0,318	9,445	36	0,34	0,05
Stephanodiscus alpinus						
Stephanodiscus neoastraea	7	100,000	0,070	6899	0,48	0,07
Tabellaria flocculosa						
Ulnaria delicatissima var. angustissima						
Ulnaria ulna						
Picoplankton < 5 μm						
Picoplankton indet.	384	0,265	1450,765	10	14,96	2,13
Gesamt			3696,56		703,52	100,00
			10 ³ L ⁻¹		0,704	%
					mm³ L ⁻¹	

Anmerkung: Aus Übersichtsgründen werden in obenstehender Tabelle die meist sehr kleinen individuellen Einzelwerte als Frischgewicht [μ g L⁻¹] dargestellt und erst unten summarisch in Biovolumen [mm³ L⁻¹] umgerechnet. Unter Annahme eines spezifischen Gewichts von 1.0 für Planktonorganismen gilt dabei 1000 μ g/l = 1 mm³/l.

Neben quantitativen Daten gezählter Arten sind in die Tabelle auch die Ergebnisse der qualitativen Analyse eingeflossen. Sofern in der Probe vorhanden, jedoch nicht in quantifizierbarer Dichte, werden diese lediglich gelistet, ohne weitere Häufigkeitsschätzung.

5. Diatomeenanalyse

Laborinterne Probennummer: MON2022-08_Diato

Taxon	Rebecca-		Größenklassen [μm]								
	ID	4 - <7	7 - <11	11 - <16	16 - <21	21 - <30	30 - <37	>37			
Aulacoseira subarctica	R0033	134									
Cyclotella cyclopuncta	R2195	129	81	13							
Discostella glomerata	R2058	32	17								
Stephanocostis chantaica	R0075	5									
Stephanodiscus neoastraea	R0083						4	8			
Summe Schalen pro Größen	klasse	300	98	13			4	8			
Gesamtsumme Schalen						423					
Anteil centrischer Diatomeen	am Gesamt-B	Biovolum	en		16,2 %						

Anmerkungen: Die Artbestimmung centrischer Diatomeen erfolgte nach Krammer & Lange-Bertalot (1991) und Houk, Klee & Tanaka (2010, 2014, 2017). Es bestehen in der modernen Literatur z. T. erhebliche Unterschiede in taxonomischer Zuordnung (Synonyme, Kombinationen) oder in der Nomenklatur (Namensänderungen valider Arten) einzelner Arten. Sofern solche Änderungen Arten betreffen die in der Liste eingestufter Arten des hier angewendeten Bewertungssystem aufscheinen, wird der in dieser Liste verwendete Name beibehalten.

Prüfbericht Phytoplankton - GZÜV-Untersuchungen des Jahres 2022 Mondsee 2022-09-07

1. Angaben zu Prüflabor und Auftraggeber

Prüflabor	Dr. Jersabek	Prüfbericht-Nr.	MON2022-09
Auftraggeber	Amt der Oberösterreichischen Land	esregierung	

Allgemeine Angal	ben									
Gewässername		Mon	dsee		Rechtswert		45	4.554		
Messstellenname					Hochwert		29	296.874		
(GZÜV-)Messstellen_ID					Median		31			
Detail WK Name					Trophischer C	Grundzustand	oli	gotroph		
Detail WK ID					Höhe Messpu	nkt [m]	48	31		
_										
2	Zu jewe	eils r	mindestens 4	4 Teri	minen pro Un	tersuchung	sjah	r:		
Datum, Uhrzeit, Pro	benah	me-	Team, Prüfla	bor						
Datum Probenahme	2022-09	9-07		Prob	enahme-Team					
Uhrzeit Probenahme Pri			Prüfla	abor *	Bundesamt für Mondsee, Scha		erwirtschaft IC	GF .		
					punkt der Somme	erstagnation				
* wenn Proben nicht vom selben P ** Frühjahrszirkulation, Beginn der			n, Höhepunkt der Som	nmerstagi	nation, Beginn der Herb	stzirkulation				
Witterung										
		vo	r der Probenah	me		während de	r Pro	benahme		
Wetter										
Wind										
Niederschlag		Da	atum:							
Lufttemperatur [°C]										
Wolkenbedeckung [%]										
Hydrographie, Trüb				ung						
Hochwassereinfluss (de	r wichti	gsten	Zubringer)							
vor der Probenahme			ja □	nein	während der I			□ ja	□ nein	
Wasserstand aktuell (zu Schätzung auf m ü.A.)*	mindest	:			Sonstiges (Ok Pollenflug)	perflächenfilm,				
Trübung, Art der Trübung **					Thermokline [m]				
Färbung					Sichttiefe/Sec	chi-Tiefe [m]			4,2	
Algenblüten, Auftriebsfl	ocken		ja □	nein	Grenze der eu [m] (Kompens	iphotischen Zo sationsebene)	ne			
* z.B. hoch, mittel, niedrig	* * mi	neralisc	ch, organisch, Calcitfär	rbung						
Probenahme										
Probenahmetiefe der qu		en	0 – 21 m		Art der Probenahme der			x Mischprobe		
Probe [m; vonbis]					quantitativen Pi			ntegrierend	e Probe	
Maschenweite für die gu	alitative	`			wenn Mischpro	be. Allyabe del	riere	ziiStuien		
Phytoplankton-Probe [µi										

Qualitative	Analy	/se								
Probennummer		MON2022-09		Bea	arbeiterIn Christian Jersabek					
Datum der Analy	/se	2023-02-27		Pro	benart	☐ lebend		x fixiert		
Quantitative	e Ana	alyse								
Probennummer		MON2022-	09		Nachfixierur Probe	ng der quantitati	iven	□ja		x nein
BearbeiterIn		Christian Je	ersabek		wenn ja, wa	nn				
Datum der Analy	/se	2023-02-27	7		Kammertyp			Utermöh	nl	
Zeitraum zw. Pro me und Analyse	benah	176 Tage			Kammervolu	ımen		10 ml		
			Ausgegossenes Volumen der Probe							
Quantitative P	robe:	Zählstrategie								
Proben-Nr.	k	Cammertyp	Zählstrategie		Anzahl Di	iagona	len / Felde	er		
Troben M.			Diagonalen/Felder		Obj. 5x	Obj. 10x	0	bj. 25x	Obj. 40x	Obj. 60x
MON2022-09		enkammer Utermöhl	Ganze Kammer		1					
			Diagonale/Felder			3 D		21 F	10, 15 F	
Diatomeenp	orobe	<u> </u>								
Herkunft										
wenn eigene Dia	tomee	nprobe								
Probennummer		MON2022-09_I	Diat		Volumen					
Präparation		x Glühpräpara	t □ chem	nische	e Oxidation					
		tung des Zäh	lmikroskops und Du	rchl	lichtmikro	skops für di	e Dia	tomeer	n-Analyse	
Zählmikroskop (Marke/Typ))				Zeiss Telav	al 3, Jena				
Durchlichtmiki ja/nein)	oskop	(Marke/Typ, F	Phasenkontrast ja/nein, [OIC	Leitz Diapl	an (ja/ja)				
Stärkstes Obje (Vergrößerung		erische Apertu	r)		100x (oil, 1	1,25)				

4. Quantitative Analyse (Utermöhl-Zählung) Laborinterne Probennummer: MON2022-09

MON2022-09-07	Gezählte Individuen	Gezähltes Vol. [ml]	Abundanz [10³ L ⁻¹]	Zellvolumen [µm³]	FW [µg l¹]	Rel. Anteil [%]
Cyanobacteria						
Aphanizomenon flos-aquae	2	14,838	0,135	624	0,08	0,01
Aphanocapsa sp.						
Chroococcus limneticus	116	1,436	80,755	64	5,14	0,86
Gomphosphaeria aponina						
Planktothrix rubescens	1920	14,838	129,396	2234	289,11	48,49
Snowella lacustris	21	1,436	14,619	2836	41,46	6,95
Chlorophyceae						
Botryococcus braunii	4	100,000	0,040	10094	0,40	0,07
Dictyosphaerium pulchellum		·				·
Elakatothrix genevensis						
Oocystis sp.						
Pediastrum boryanum						
Planctonema lauterbornii	45	0,397	113,341	42	4,73	0,79
Pseudosphaerocystis lacustris	208	100,000	2,080	322	0,67	0,11
Scenedesmus linearis		. 55,555	_,000		0,01	0,
Tetrachlorella alternans						
Tetrastrum triangulare						
Conjugatophyceae						
Cosmarium depressum	24	14,838	1,617	3723	6,02	1,01
Xanthophyceae		,000	.,	0.20	0,02	.,
Gloeobotrys limneticus	70	0,397	176,308	182	32,14	5,39
Chrysophyceae		0,00.	,		0=, : :	0,00
Bitrichia chodatii						
Dinobryon bavaricum	3	1,436	2,088	228	0,48	0,08
Dinobryon crenulatum		.,	_,000		0, .0	0,00
Dinobryon divergens	48	1,436	33,416	212	7,08	1,19
Dinobryon sociale	30	1,436	20,885	183	3,82	0,64
Haptophyceae		1,100			-,	-,
Chrysochromulina parva	80	0,265	302,243	60	18,04	3,03
Dinophyceae		5,255	,		,	-,
Ceratium hirundinella	112	100,000	1,120	49370	55,29	9,27
Dinophyceae indet.		100,000	1,120	10070	00,20	0,2.
Glenodinium sp.						
Gymnodinium helveticum	25	14,838	1,685	12325	20,77	3,48
Gymnodinium sp.		1 1,000	1,000	12020	20,11	0,40
Gymnodinium uberrimum						
Peridinium sp.gr.	66	100,000	0,660	37142	24,51	4,11
Peridinium umbonatum - Complex	15	14,838	1,011	2212	2,24	0,38
Cryptophyceae	13	17,000	1,011	<i>_</i>	۷,۷٦	0,00
Cryptomonas erosa	130	14,838	8,761	2210	19,36	3,25

Cryptomonas marssonii	22	1,436	15,316	619	9,47	1,59
Plagioselmis nannoplanctica	106	0,397	266,981	66	17,53	2,94
Rhodomonas lens	4	0,397	10,075	486	4,89	0,82
Bacillariophyceae						
Asterionella formosa	40	100,000	0,400	370	0,15	0,02
Aulacoseira subarctica	250	14,838	16,848	227	3,82	0,64
Cyclotella bodanica	3	100,000	0,030	19747	0,59	0,10
Cyclotella sp. 20 μm	4	14,838	0,270	2512	0,68	0,11
Cyclotella sp. 6 μm	88	0,397	221,645	68	15,03	2,52
Fragilaria crotonensis	42	100,000	0,417	956	0,40	0,07
Stephanodiscus neoastraea	4	100,000	0,040	19881	0,80	0,13
Ulnaria delicatissima var. angustissima						
Picoplankton < 5 μm						
Picoplankton indet.	730	0,265	2757,965	4	11,56	1,94
Gesamt			4180,15		596,27	100,00
			10 ³ L ⁻¹		0,596	%
					mm³ L ⁻¹	

Anmerkung: Aus Übersichtsgründen werden in obenstehender Tabelle die meist sehr kleinen individuellen Einzelwerte als Frischgewicht [μ g L⁻¹] dargestellt und erst unten summarisch in Biovolumen [mm³ L⁻¹] umgerechnet. Unter Annahme eines spezifischen Gewichts von 1.0 für Planktonorganismen gilt dabei 1000 μ g/l = 1 mm³/l.

Neben quantitativen Daten gezählter Arten sind in die Tabelle auch die Ergebnisse der qualitativen Analyse eingeflossen. Sofern in der Probe vorhanden, jedoch nicht in quantifizierbarer Dichte, werden diese lediglich gelistet, ohne weitere Häufigkeitsschätzung.

5. Diatomeenanalyse

Laborinterne Probennummer: MON2022-09_Diato

Der Anteil centrischer Diatomeen am Gesamtbiovolumen lag im September bei 3,5 % - und damit deutlich unter den It. Leitfaden zur Erhebung der biologischen Qualitätselemente (Teil B2, Phytoplankton) für eine nähere Analyse erforderlichen 10 %. Auf eine taxonomische Absicherung auf Artniveau durch Detailanalyse am Glühpräparat wurde daher verzichtet!

Prüfbericht Phytoplankton - GZÜV-Untersuchungen des Jahres 2022 Mondsee 2022-10-05

1. Angaben zu Prüflabor und Auftraggeber

Prüflabor	Dr. Jersabek	Prüfbericht-Nr.	MON2022-10				
Auftraggeber	Amt der Oberösterreichischen Landesregierung						

Allgemeine Angaben												
Gewässername		Mondsee		Rechtswert		454.554						
Messstellenname				Hochwert	Hochwert		296.874					
(GZÜV-)Messstellen_ID					Median		31					
Detail WK Name					Trophischer Grundzustand		oligotroph					
Detail WK ID					Höhe Messpunkt [m]		481					
Zu jeweils mindestens 4 Terminen pro Untersuchungsjahr:												
Datum, Uhrzeit, Probenahme-Team, Prüflabor												
Datum Probenahme	2022-10	22-10-05			Probenahme-Team		•					
Uhrzeit Probenahme			Driiflahor *		Bundesamt für Wasserwirtschaft IGF Mondsee, Scharfling							
Limnologisch charakteristischer Z												
* wenn Proben nicht vom selben Prüflabor gezogen ** Frühjahrszirkulation, Beginn der Sommerstagnation, Höhepunkt der Sommerstagnation, Beginn der Herbstzirkulation												
Witterung												
vor der Probei			or der Probenah	ime während			er Probenahme					
Wetter												
Wind												
Niederschlag		Da	Datum:									
Lufttemperatur [°C]												
Wolkenbedeckung [%]												
Hydrographie, Trüb	ung, F	ärbu	ung, Schicht	ung								
Hochwassereinfluss (der	r wichtiç	gsten	Zubringer)									
vor der Probenahme			ja □	nein		der Probenahme		□ ja	☐ nein			
Wasserstand aktuell (zumindest Schätzung auf m ü.A.)*						Sonstiges (Oberflächenfilm, Pollenflug)						
Trübung, Art der Trübung **					Thermokline [m]							
Färbung				Sichttiefe/Secchi-Tiefe [m]			5,0					
Algenblüten, Auftriebsflo	ocken		ja □	nein		uphotischen Zone sationsebene)						
* z.B. hoch, mittel, niedrig	* * mii	neralisc	ch, organisch, Calcitfä	rbung								
Probenahme												
Probenahmetiefe der quantitative Probe [m; vonbis]		en	0 - 21 m					c Mischprobe □ integrierende Probe				
					wenn Mischprobe: Angabe der Tiefenstufen							
Maschenweite für die qualitative Phytoplankton-Probe [µm])			-							

3. Methodische Angaben zur qualitativen, quantitativen und Diatomeen - Analyse

Qualitative	Analy	rse								
Probennummer		MON2022-10		Bea	arbeiterIn	Christian Jers	abek			
Datum der Analy	yse	2023-03-01		Pro	obenart	☐ lebend		x fixiert		
Quantitativ	e Ana	lyse								
Probennummer		MON2022-	10		Nachfixieru Probe	ng der quantitati	iven	□ja		x nein
BearbeiterIn		Christian Je	ersabek		wenn ja, wa	nn				
Datum der Analy		2023-03-01			Kammertyp			Utermöl	nl	
Zeitraum zw. Pro me und Analyse	obenah-	152 Tage			Kammervol	umen		10 ml		
					Ausgegossenes Volumen der Probe 100 ml					
Quantitative P	robe: Z	Zählstrategie								
Proben-Nr.	K	ammertyp	Zählstrategie	Anzahl Diagonale			len / Felde	er		
Trobell Nr.			Diagonalen/Felder		Obj. 5x	Obj. 10x	Obj. 25x		Obj. 40x	
MON2022-10		enkammer Utermöhl	Ganze Kammer		1					
			Diagonale/Felder		3 D	3 D		21 F	10, 18 F	
Diatomeenp	orobe									
Herkunft					_					
wenn eigene Did	itomeer	nprobe								
Probennummer		MON2022-10_I	Diat		Volumen					
Präparation		x Glühpräpara	t 🗆 chem	nische	e Oxidation					
Optische Au	ısrüst	ung des Zäh	lmikroskops und Du	rchl	lichtmikro	skops für di	e Dia	tomeer	n-Analyse	
Zählmikroskop (Marke/Typ))				Zeiss Tei	laval 3, Jena				
Durchlichtmikı ja/nein)	roskop	(Marke/Typ, i	Phasenkontrast ja/nein, [OIC	Leitz Dic	aplan (ja/ja)				
Stärkstes Obje (Vergrößerung		erische Apertu	r)		100x (oi	l, 1,25)				

4. Quantitative Analyse (Utermöhl-Zählung) Laborinterne Probennummer: MON2022-10

MON2022-10-05	Gezählte Individuen	Gezähltes Vol. [ml]	Abundanz [10³ L¹]	Zellvolumen [µm³]	FW [µg l⁴]	Rel. Anteil [%]
Cyanobacteria						
Aphanizomenon flos-aquae	6	14,838	0,404	642	0,26	0,04
Aphanocapsa sp.		,	2,121		-,	-,- :
Chroococcus limneticus	74	1,436	51,516	72	3,71	0,50
Gomphosphaeria aponina		.,	.,		2,1	-,
Planktothrix rubescens	1620	14,838	109,178	2219	242,26	32,71
Snowella lacustris	34	1,436	23,669	1024	24,24	3,27
Chlorophyceae	<u> </u>	1,100	20,000	.021	:,_ :	0,2.
Botryococcus braunii	13	100,000	0,130	9937	1,29	0,17
Dictyosphaerium subsolitarium		100,000	0,100	0001	1,20	0,17
Elakatothrix genevensis						
Oocystis sp.						
Planctonema lauterbornii						
Scenedesmus linearis						
Tetrachlorella alternans						
Tetraedron minimum						
Tetrastrum triangulare						
Conjugatophyceae						
Cosmarium depressum	12	14,838	0,809	3723	3,01	0,41
Xanthophyceae	12	14,000	0,003	3123	3,01	0,41
Gloeobotrys limneticus	93	1,436	64,743	182	11,80	1,59
Chrysophyceae	33	1,430	04,743	102	11,00	1,55
Bitrichia chodatii						
Dinobryon bavaricum	10	1,436	6,962	228	1,58	0,21
Dinobryon divergens	12	1,436	8,354	212	1,77	0,21
Dinobryon sertularia	7	1,436	4,873	225	1,10	0,24
Dinobryon sociale	3	1,436	2,088	183	0,38	0,13
Mallomonas caudata	7	14,838	0,472	4742	2,24	0,30
Mallomonas elongata	·	14,000	0,472	7172	۷,۷٦	0,50
Haptophyceae						
Chrysochromulina parva	14	0,265	52,892	60	3,16	0,43
Dinophyceae	14	0,203	32,032	00	3,10	0,43
Ceratium hirundinella	214	100,000	2,140	50101	107,22	14,48
Dinophyceae indet.	214	100,000	2,140	30101	107,22	14,40
Glenodinium sp.						
Gymnodinium helveticum	58	14,838	3,909	12570	49,14	6,63
Gymnodinium sp.	50	14,030	3,909	12370	43,14	0,03
Peridinium sp.	8	100,000	0,080	43055	3,44	0,47
•	0	100,000	0,000	43033	3,44	0,47
Cryptophyceae	18	1,436	12,531	2281	28,58	3,86
Cryptomonas erosa		-	14,619			
Cryptomonas marssonii	21	1,436	14,619	609	8,90	1,20

Plagioselmis nannoplanctica	160	0,476	335,825	117	39,26	5,30
Rhodomonas lens	7	0,476	14,692	491	7,21	0,97
Bacillariophyceae						
Asterionella formosa	504	29,970	16,817	370	6,22	0,84
Aulacoseira subarctica	175	14,838	11,794	242	2,86	0,39
Cyclotella sp. 20 μm	4	14,838	0,270	2512	0,68	0,09
Cyclotella sp. 9 μm	88	0,476	184,704	229	42,28	5,71
Fragilaria crotonensis	3696	29,970	123,323	542	66,85	9,03
Melosira varians						
Stephanodiscus neoastraea	3	100,000	0,030	16828	0,50	0,07
Ulnaria delicatissima	271	1,436	188,660	414	78,07	10,54
Picoplankton < 5 μm						
Picoplankton indet.	75	0,265	283,353	9	2,61	0,35
Gesamt			1518,84		740,61	100,00
			10 ³ L ⁻¹		0,741	%
					mm³ L ⁻¹	

Anmerkung: Aus Übersichtsgründen werden in obenstehender Tabelle die meist sehr kleinen individuellen Einzelwerte als Frischgewicht [μ g L⁻¹] dargestellt und erst unten summarisch in Biovolumen [mm³ L⁻¹] umgerechnet. Unter Annahme eines spezifischen Gewichts von 1.0 für Planktonorganismen gilt dabei 1000 μ g/l = 1 mm³/l.

Neben quantitativen Daten gezählter Arten sind in die Tabelle auch die Ergebnisse der qualitativen Analyse eingeflossen. Sofern in der Probe vorhanden, jedoch nicht in quantifizierbarer Dichte, werden diese lediglich gelistet, ohne weitere Häufigkeitsschätzung.

5. Diatomeenanalyse

Laborinterne Probennummer: MON2022-10_Diato

Der Anteil centrischer Diatomeen am Gesamtbiovolumen lag im Oktober bei 6,3 % - und damit deutlich unter den It. Leitfaden zur Erhebung der biologischen Qualitätselemente (Teil B2, Phytoplankton) für eine nähere Analyse erforderlichen 10 %. Auf eine taxonomische Absicherung auf Artniveau durch Detailanalyse am Glühpräparat wurde daher verzichtet!

Prüfbericht Phytoplankton - GZÜV-Untersuchungen des Jahres 2022 Mondsee 2022-11-07

1. Angaben zu Prüflabor und Auftraggeber

Prüflabor	Dr. Jersabek	Prüfbericht-Nr.	MON2022-11
Auftraggeber	Amt der Oberösterreichischen Land	esregierung	

2. Angaben zum See, zur Untersuchungsstelle und Probenahme

Allgemeine Angak	oen									
Gewässername		Mon	dsee		Rechtswert		45	4.554		
Messstellenname					Hochwert		29	6.874		
(GZÜV-)Messstellen_ID					Median		31			
Detail WK Name				Trophise		Grundzustand	oli	oligotroph		
Detail WK ID					Höhe Messpu	nkt [m]	48	481		
Z	Zu jewe	eils r	mindestens 4	4 Teri	minen pro Un	tersuchung	sjah	r:		
Datum, Uhrzeit, Pro	benah	me-	Team, Prüfla	bor						
Datum Probenahme	2022-13	1-07		Prob	enahme-Team					
Uhrzeit Probenahme P				Prüfla	abor *	Bundesamt für Mondsee, Scha		erwirtschaft	IGF	
Limnologisch charakteri			punkt **	Herbs	stzirkulation					
* wenn Proben nicht vom selben Pr ** Frühjahrszirkulation, Beginn der			n, Höhepunkt der Son	nmerstagi	nation, Beginn der Herb	ostzirkulation				
Witterung										
		vo	or der Probenah	me		während de	r Pro	benahme		
Wetter										
Wind										
Niederschlag		Da	atum:							
Lufttemperatur [°C]										
Wolkenbedeckung [%]										
Hydrographie, Trüb	ung, F	ärbu	ung, Schicht	ung						
Hochwassereinfluss (de	r wichtiç	gsten	Zubringer)							
vor der Probenahme			ja □	nein	während der I			□ja	☐ nein	
Wasserstand aktuell (zur Schätzung auf m ü.A.)*	mindest	:			Sonstiges (Ob Pollenflug)	perflächenfilm,				
Trübung, Art der Trübung **					Thermokline [[m]				
Färbung					Sichttiefe/Sec	chi-Tiefe [m]			4,7	
Algenblüten, Auftriebsflocken ☐ ja			ja 🗆	nein	Grenze der euphotischen Zor [m] (Kompensationsebene)		ne			
* z.B. hoch, mittel, niedrig	* * mii	neralisc	ch, organisch, Calcitfä	rbung						
Probenahme										
Probenahmetiefe der qua Probe [m; vonbis]		en	0 – 21 m		Art der Probenahme der quantitativen Probe			x Mischprobe □ integrierende Probe		
-					wenn Mischpro	be: Angabe de	Tiefe	enstufen		
Maschenweite für die qu Phytoplankton-Probe [µr)								

3. Methodische Angaben zur qualitativen, quantitativen und Diatomeen - Analyse

Qualitative	Analy	se								
Probennummer		MON2022-11		Bear	rbeiterIn	Christian Jers	abek			
Datum der Anal	yse	2023-03-01		Prob	enart	☐ lebend		x fixiert		
Quantitativ	e Ana	lyse								
Probennummer		MON2022-	11		Nachfixierun Probe	g der quantitati	ven	□ ja		x nein
BearbeiterIn		Christian Je	ersabek	,	wenn ja, war	nn				
Datum der Anal	yse	2023-03-01			Kammertyp			Utermöh	ıl	
Zeitraum zw. Pro me und Analyse		120 Tage		Kammervolumen				10 ml		
					Ausgegossen Probe	es Volumen de		100 ml		
Quantitative P	robe: Z	Zählstrategie								
Proben-Nr.	K:	ammertyp	Zählstrategie	Anzahl Diagonale			len / Felde	r		
Trobell Ni.			Diagonalen/Felder	Obj. 5x		Obj. 10x	Obj. 25x		Obj. 40x	
MON2022-11		enkammer Utermöhl	Ganze Kammer		1					
			Diagonale/Felder			3 D		21 F	21 F	
Diatomeen	orobe									
Herkunft										
wenn eigene Did	ntomeer	•								
Probennummer		MON2022-11_I	Diat		Volumen					
Präparation		x Glühpräpara	: □ chem	nische (Oxidation					
Optische Au	ısrüst	ung des Zäh	lmikroskops und Du	rchlic	chtmikros	skops für di	e Dia	tomeer	ı-Analyse	
Zählmikroskop (Marke/Typ))				Zeiss Teld	aval 3, Jena				
Durchlichtmiki ja/nein)	roskop	(Marke/Typ, F	Phasenkontrast ja/nein, D	DIC Leitz Diaplan (ja/ja)						
Stärkstes Obje (Vergrößerung		erische Apertu	r)		100x (oil,	1,25)				

4. Quantitative Analyse (Utermöhl-Zählung) Laborinterne Probennummer: MON2022-11

MON2022-11-07	Gezählte Individuen	Gezähltes Vol. [ml]	Abundanz [10³ L¹]	Zellvolumen [μm³]	FW [µg l¹]	Rel. Anteil [%]
Cyanobacteria						
Aphanizomenon flos-aquae						
Aphanocapsa sp.						
Chroococcus limneticus	240	1,436	167,079	46	7,70	1,00
Gomphosphaeria aponina						
Planktothrix rubescens	2120	14,838	142,875	2196	313,73	40,55
Snowella lacustris	151	1,436	105,120	1668	175,38	22,67
Chlorophyceae						
Botryococcus braunii	13	100,000	0,130	9528	1,24	0,16
Oocystis sp.						
Pediastrum boryanum						
Phacotus lenticularis						
Planctonema lauterbornii						
Scenedesmus linearis						
Tetrastrum triangulare						
Conjugatophyceae						
Cosmarium depressum	15	14,838	1,011	3647	3,69	0,48
Xanthophyceae		,	,		,	,
Gloeobotrys limneticus	65	0,556	116,939	182	21,32	2,76
Chrysophyceae		,	,		,	,
Bitrichia chodatii						
Dinobryon bavaricum						
Dinobryon divergens	66	1,436	45,947	212	9,74	1,26
Dinobryon sertularia		1,100	,		-,	-,
Dinobryon sociale						
Mallomonas sp.						
Pseudopedinella sp.						
Uroglena sp.	4	0,556	7,196	167	1,20	0,16
Haptophyceae		,	,		,	•
Chrysochromulina parva	18	0,556	32,383	52	1,69	0,22
Dinophyceae			·			•
Ceratium hirundinella	32	100,000	0,320	48968	15,67	2,03
Dinophycea indet.		·				
Gymnodinium helveticum	25	14,838	1,685	17648	29,73	3,84
Peridinium sp.		,	,		,	,
Peridinium willei + sp.	20	100,000	0,200	35709	7,14	0,92
Cryptophyceae						•
Cryptomonas erosa	45	1,436	31,327	1771	55,48	7,17
Cryptomonas marssonii			·		•	•
Plagioselmis nannoplanctica	97	0,556	174,509	83	14,53	1,88
Rhodomonas lens	10	0,556	17,991	460	8,28	1,07

Bacillariophyceae						
Asterionella formosa	40	100,000	0,400	393	0,16	0,02
Aulacoseira subarctica	28	14,838	1,872	259	0,48	0,06
Cyclotella bodanica	3	100,000	0,030	27834	0,84	0,11
Cyclotella sp.20 μm	7	14,838	0,472	3577	1,69	0,22
Cyclotella sp. 7,5 μm	9	0,556	16,192	132	2,14	0,28
Fragilaria crotonensis	1934	14,838	130,308	634	82,66	10,69
Tabellaria flocculosa	22	100,000	0,220	4646	1,02	0,13
Ulnaria delicatissima	60	1,436	41,770	407	17,00	2,20
Ulnaria delicatissima var. angustissima						
Picoplankton < 5 µm						
Picoplankton indet.	58	0,556	104,346	10	1,08	0,14
Gesamt			1140,32		773,60	100,00
			10 ³ L ⁻¹		0,774	%
					mm³ L ⁻¹	

Anmerkung: Aus Übersichtsgründen werden in obenstehender Tabelle die meist sehr kleinen individuellen Einzelwerte als Frischgewicht [μ g L⁻¹] dargestellt und erst unten summarisch in Biovolumen [mm³ L⁻¹] umgerechnet. Unter Annahme eines spezifischen Gewichts von 1.0 für Planktonorganismen gilt dabei 1000 μ g/l = 1 mm³/l.

Neben quantitativen Daten gezählter Arten sind in die Tabelle auch die Ergebnisse der qualitativen Analyse eingeflossen. Sofern in der Probe vorhanden, jedoch nicht in quantifizierbarer Dichte, werden diese lediglich gelistet, ohne weitere Häufigkeitsschätzung.

5. Diatomeenanalyse

Laborinterne Probennummer: MON2022-11_Diato

Der Anteil centrischer Diatomeen am Gesamtbiovolumen lag im November bei 0,7 % - und damit unter den It. Leitfaden zur Erhebung der biologischen Qualitätselemente (Teil B2, Phytoplankton) für eine nähere Analyse erforderlichen 10 %. Auf eine taxonomische Absicherung auf Artniveau durch Detailanalyse am Glühpräparat wurde daher verzichtet!

Prüfbericht Phytoplankton - GZÜV-Untersuchungen des Jahres 2022 Mondsee 2022-12-12

1. Angaben zu Prüflabor und Auftraggeber

Prüflabor	Dr. Jersabek	Prüfbericht-Nr.	MON2022-12
Auftraggeber	Amt der Oberösterreichischen Land	lesregierung	

2. Angaben zum See, zur Untersuchungsstelle und Probenahme

Allgemeine Angak	oen									
Gewässername		Mon	dsee		Rechtswert		45	4.554		
Messstellenname					Hochwert		29	6.874		
(GZÜV-)Messstellen_ID				Median			31	-		
Detail WK Name				Trophischer Gr		Grundzustand ol		oligotroph		
Detail WK ID			Höhe Messpu			nkt [m]	[m] 481			
Z	Zu jewe	eils r	mindestens 4	4 Teri	minen pro Un	tersuchung	sjah	r:		
Datum, Uhrzeit, Pro	benah	me-	Team, Prüfla	bor						
Datum Probenahme	2022-12	2-12		Prob	enahme-Team					
Uhrzeit Probenahme Pr				Prüfla	abor *	Bundesamt für Mondsee, Scha		erwirtschaft	IGF	
Limnologisch charakteri			punkt **	Herbs	stzirkulation					
* wenn Proben nicht vom selben Pr ** Frühjahrszirkulation, Beginn der			n, Höhepunkt der Som	nmerstagi	nation, Beginn der Herb	ostzirkulation				
Witterung										
		vo	or der Probenah	me		während de	r Pro	benahme		
Wetter										
Wind										
Niederschlag		Da	atum:							
Lufttemperatur [°C]										
Wolkenbedeckung [%]										
Hydrographie, Trüb	ung, F	ärbu	ung, Schicht	ung						
Hochwassereinfluss (de	r wichti	gsten	Zubringer)							
vor der Probenahme			ja □	nein	während der I			□ ja	☐ nein	
Wasserstand aktuell (zur Schätzung auf m ü.A.)*	mindest	:			Sonstiges (Ob Pollenflug)	perflächenfilm,				
Trübung, Art der Trübung **					Thermokline [[m]				
Färbung					Sichttiefe/Sec	chi-Tiefe [m]			5,1	
Algenblüten, Auftriebsflocken ☐ ja			ja □	nein	Grenze der euphotischen Zone [m] (Kompensationsebene)					
* z.B. hoch, mittel, niedrig	* * <u>mi</u>	neralisc	ch, organisch, Calcitfäi	rbung						
Probenahme										
Probenahmetiefe der qua Probe [m; vonbis]		en	0 – 21 m		Art der Probenahme der quantitativen Probe			x Mischprobe □ integrierende Probe		
					wenn Mischpro	be: Angabe de	Tiefe	enstufen		
Maschenweite für die qu Phytoplankton-Probe [µr)								

3. Methodische Angaben zur qualitativen, quantitativen und Diatomeen - Analyse

Qualitative	Analys	e							
Probennummer		иON2022-12		BearbeiterIn	Christian	Jersabe	ek		
Datum der Anal	yse 2	023-03-05		Probenart	☐ lebend	ı	x fixi	ert	
Quantitativ	e Analy	rse .							
Probennummer		MON2022-	12	Nachfixier tiven Prob	ung der quanti e	ita-	□ ja	х	nein
BearbeiterIn		Christian J	ersabek	wenn ja, v	vann				
Datum der Anal	yse	2023-03-05	j	Kammerty	/p		Utermöhl		
Zeitraum zw. Prome und Analyse	eitraum zw. Probenah- ne und Analyse				olumen		10 ml		
				Ausgegos: Probe	senes Volumen	der	100 ml		
Quantitative P	robe: Zä	hlstrategie							
Proben-Nr.	Vor		Zählstrategie		Anzahl	Diago	nalen / Fel	der	
Proben-Nr.	Kar	nmertyp	Diagonalen/Felder	Obj. 5x	Obj. 5x Obj. 10x Ob		bj. 25x	Obj. 40x	
MON2022-12		kammer termöhl	Ganze Kammer	1					
			Diagonale/Felder		3 D	24	4, 34 F	10, 18 F	
Diatomeen	orobe								
Herkunft									
wenn eigene Did	tomeenp	robe							
Probennummer	N	/ION2022-12_	Diat	Volumen					
Präparation	x	Glühpräpara	t □ chen	nische Oxidation					
Optische Au	ısrüstu	ng des Zäh	lmikroskops und Du	rchlichtmik	oskops für	die [Diatome	en-Analys	se .
Zählmikroskop (Marke/Typ))			Zeiss Tel	aval 3, Jena				
Durchlichtmiki ja/nein)	roskop (I	Marke/Typ, I	Phasenkontrast ja/nein, I	Leitz Dia	plan (ja/ja)	· · · · · · · · · · · · · · · · · · ·			
Stärkstes Obje (Vergrößerung		ische Apertu	r)	100x (oil	, 1,25)				

4. Quantitative Analyse (Utermöhl-Zählung) Laborinterne Probennummer: MON2022-12

MON2022-12-12	Gezählte Individuen	Gezähltes Vol. [ml]	Abundanz [10³ L¹]	Zellvolumen [μm³]	FW [µg l¹]	Rel. Anteil [%]
Cyanobacteria						
Aphanizomenon flos-aquae	15	14,838	1,011	589	0,60	0,19
Aphanocapsa sp.		·	·			
Chroococcus limneticus	102	1,642	62,132	66	4,08	1,29
Gomphosphaeria aponina						
Planktothrix rubescens	59	2,326	25,283	2219	56,10	17,74
Snowella lacustris	70	1,642	42,640	850	36,25	11,46
Chlorophyceae		·	·			·
Botryococcus braunii	16	100,000	0,160	9784	1,57	0,50
Elakatothrix genevensis		,	-,		, -	- ,
Oocystis sp.						
Conjugatophyceae						
Cosmarium depressum	21	14,838	1,415	3698	5,23	1,66
Xanthophyceae		,000	.,	3333	0,20	.,00
Gloeobotrys limneticus	4	1,231	3,249	182	0,59	0,19
Chrysophyceae		.,	5,= : 5		-,	
Dinobryon divergens						
Dinobryon sertularia						
Mallomonas caudata	3	14,838	0,202	4700	0,95	0,30
Mallomonas sp.		14,000	0,202	4700	0,00	0,00
Haptophyceae						
Chrysochromulina parva						
Dinophyceae						
Ceratium hirundinella	17	100,000	0,170	49772	8,46	2,68
Glenodinium sp.		·	,		,	ŕ
Gymnodinium helveticum	30	14,838	2,022	12246	24,76	7,83
Gymnodinium sp.	3	1,642	1,827	956	1,75	0,55
Peridinium sp.	6	100,000	0,060	47332	2,84	0,90
Cryptophyceae		,	,		,	,
Cryptomonas erosa	132	14,838	8,896	2160	19,22	6,08
Cryptomonas marssonii	5	1,642	3,046	610	1,86	0,59
Plagioselmis nannoplanctica	174	0,476	365,210	82	29,90	9,46
Rhodomonas lens	72	0,476	151,121	402	60,79	19,22
Bacillariophyceae		,	,		,	,
Amphora ovalis						
Asterionella formosa	216	14,838	14,557	433	6,30	1,99
Aulacoseira subarctica	635	14,838	42,795	264	11,29	3,57
Cyclotella cf. comensis	3	0,476	5,541	314	1,74	0,55
Cyclotella cyclopuncta	45	0,476	94,199	108	10,15	3,21
Cyclotella radiosa	0,3	14,838	0,020	1831	0,04	0,01
Cyclotella sp.	5	0,476	11,082	68	0,75	0,24

Cymatopleura elliptica						
Cymatopleura solea	2	100,000	0,020	25442	0,51	0,16
Diatoma ehrenbergii						
Fragilaria crotonensis	1057	100,000	10,566	1166	12,32	3,90
Stephanocostis chantaica	11	0,476	22,164	57	1,26	0,40
Stephanodiscus alpinus	4	14,838	0,263	2910	0,76	0,24
Stephanodiscus minutulus	3	0,476	5,541	201	1,11	0,35
Stephanodiscus neoastraea gr.	7	14,838	0,472	16828	7,94	2,51
Stephanodiscus neoastraea kl.	2	14,838	0,121	4571	0,55	0,18
Tabellaria flocculosa						
Ulnaria delicatissima	4	1,642	2,437	479	1,17	0,37
Ulnaria delicatissima var. angustissima	15	14,838	1,011	2555	2,58	0,82
Picoplankton < 5 μm						
Picoplankton indet.	80	0,265	302,243	9	2,78	0,88
Gesamt			1181,48		316,20	100,00
			10 ³ L ⁻¹		0,316	%
					mm³ L ⁻¹	

Anmerkung: Aus Übersichtsgründen werden in obenstehender Tabelle die meist sehr kleinen individuellen Einzelwerte als Frischgewicht [μ g L⁻¹] dargestellt und erst unten summarisch in Biovolumen [mm³ L⁻¹] umgerechnet. Unter Annahme eines spezifischen Gewichts von 1.0 für Planktonorganismen gilt dabei 1000 μ g/l = 1 mm³/l.

Neben quantitativen Daten gezählter Arten sind in die Tabelle auch die Ergebnisse der qualitativen Analyse eingeflossen. Sofern in der Probe vorhanden, jedoch nicht in quantifizierbarer Dichte, werden diese lediglich gelistet, ohne weitere Häufigkeitsschätzung.

5. Diatomeenanalyse

Laborinterne Probennummer: MON2022-12_Diato

Taxon	Rebecca-	Größenklassen [µm]						
	ID	4 - <7	7 - <11	11 - <16	16 - <21	21 - <30	30 - <37	>37
Aulacoseira subarctica	R0033	77						
Cyclotella cf. comensis	R0042		7	2				
Cyclotella cyclopuncta	R2195	21	53	4				
Cyclotella radiosa	R0051				2			
Cyclotella sp.	R0053	8	2					
Stephanocostis chantaica	R0075	21						
Stephanodiscus alpinus	R0076				8	4		
Stephanodiscus minutulus	R0082	2	5					
Stephanodiscus neoastraea	R0083				2	6	10	
Summe Schalen pro Größen	klasse	129	67	6	12	10	10	
Gesamtsumme Schalen						234		_
Anteil centrischer Diatomeen am Gesamt-Biovolumen					11,3 %			

Anmerkungen: Die Artbestimmung centrischer Diatomeen erfolgte nach Krammer & Lange-Bertalot (1991) und Houk, Klee & Tanaka (2010, 2014, 2017). Es bestehen in der modernen Literatur z. T. erhebliche Unterschiede in taxonomischer Zuordnung (Synonyme, Kombinationen) oder in der Nomenklatur (Namensänderungen valider Arten) einzelner Arten. Sofern solche Änderungen Arten betreffen die in der Liste eingestufter Arten des hier angewendeten Bewertungssystem aufscheinen, wird der in dieser Liste verwendete Name beibehalten.

8. TRAUNSEE

8.1. Gutachten Phytoplankton

Ergebnisübersicht für das Untersuchungsjahr 2022 sowie 3-Jahresmittel

Ergebnisübersicht der Untersuchungstermine eines Jahres

sowie 3-Jahresmittel

Datum	Chlorophyll-a [µgL ⁻¹]	Biovolumen* [mm³L-1]	Brettum-Index
28.03.2022	1,00	0,09	4,01
28.06.2022	1,30	0,15	3,37
22.08.2022	1,20	0,09	5,22
14.11.2022	1.10	1.18	2.61

^{*} abz. heterotrophe Arten

Jahre		ophyll-a nittelwert)	Biovolu (Jahresmitt		Brettum-Index (Jah- resmittelwert)		Gesamtbewertung (gewichteter MW)	Ökologische Zustandsklasse
	[µgL ⁻¹]	nEQR	[mm ³ L ⁻¹]	nEQR	Index nEQR		nEQR	
2020	1,10	1,00	0,19	1,00	3,68	0,65	0,82	Sehr gut
2021	1,08	1,00	0,10	1,00	4,53	0,83	0,917	Sehr gut
2022	1,15	1,00	0,38	0,76	3,80	0,67	0,777	Gut
	3 Jahresmittel				0,839	Sehr gut		

BEURTEILUNG

Qualitätselement Phytoplankton im Untersuchungsjahr 2022

gut

Qualitätselement Phytoplankton im 3-Jahresmittel (2020-2022)

sehr gut

1. Angaben zum See, zur Untersuchungsstelle und Probenahmen

See und Untersuchungsste	elle							
Gewässername	Trauns	ee	Höhe Me	sspunkt [m]		423		
Messstellenname			Fläche [k	m²]		24,4		
(GZÜV-)Messstellen_ID			Maximal	e Länge [km]		11,9		
Rechtswert	484.52	8	Maximal	e Breite [km]		2,9		
Hochwert	304.80	7	Maximal	e Tiefe [m]		191		
Median	31		Mittlere	Tiefe [m]		90		
Detail WK Name				Gesamtvolumen [Mio. m³]			7	
Detail WK ID				Mittlerer Abfluss (MQ) [m³/s]			69,4	
IC-Seentyp (Interkalibrierung)	L-AL3		Abfluss			Traun		
AT-Seentyp (National)	D1		Wassererneuerungszeit / theoretisch [Jahre]			1,04		
Trophischer Grundzustand	oligotro	oph	Durchmischung / Schichtungstyp			Holo- / monomiktisch		
Zugrunde liegenden Prüfb	erichte		Γ					
		1. Termin	2.	Termin	3. Termin		4. Termin	
Nummern der zugrunde liegenden Frichte	Prüfbe- 2022/01		2022/02		2022/03	3	2022/04	
Probenahmetermine der zugrunde I de Prüfberichte	0 0 1 1017-03-78		2022-06-28		2022-08-	22	2022-11-14	

2. Ergebnisübersicht – Zusammenfassung der 4 Beprobungstermine

Chlorophyll-a Konzentration	μgL ⁻¹	EQR	nEQR	
Referenzwert	1,50	1,00	1,00	
Grenze sehr gut/gut	2,14	0,70	0,80	
Grenze gut/mäßig	3,75	0,40	0,60	
Jahresmittel	1,15	1,30	1,00	
	1	_	_	
Biovolumen	mm³L ⁻¹	EQR	nEQR	
Referenzwert	0,20	1,00	1,00	
Grenze sehr gut/gut	0,33	0,60	0,80	
Grenze gut/mäßig	0,80	0,25	0,60	
Jahresmittel	0,38	0,53	0,76	
Brettum-Index	Wert	EQR	nEQR	
Referenzwert	5,29	1,00	1,00	
Grenze sehr gut/gut	4,37	0,83	0,80	
Grenze gut/mäßig	3,46	0,65	0,60	
Jahresmittel	3,80	0,72	0,67	
Normierte EQR ges	amt	0,777		

Ökologische Zustandsklasse

Gut

8.2. Ergebnistabellen

Tab. 8.2.1. Zusammenfassung quantitative und qualitative Phytoplanktonproben

TRAUNSEE 2022	Α	lgenfrisc	chgewicl	ht [μg l ⁻¹]	
TAXON	28.03.	28.06.	22.08.	14.11.	Mittel
Cyanobacteria					
Anabaena flos-aquae			0		
Aphanocapsa delicatissima			0		
Aphanocapsa sp.				0	
Chroococcus limneticus			0	0	
Chroococcus minutus			0	0	
Lyngbya sp.			0		
Planktothrix rubescens	0,86	0,79		4,16	1,46
Snowella lacustris				0	
Chlorophyceae					
Botryococcus braunii			0,44		0,11
Coelastrum sp.			0		
Elakatothrix genevensis			0	0	
Elakatothrix sp.		0			
Nephrocytium agardhianum			0		
Oocystis sp.		0	0	0	
Pediastrum boryanum			0	0	
Planktosphaeria gelatinosa		0	0		
Scenedesmus linearis			0	0	
Scenedesmus sp.				0	
Tetraselmis cordiformis		0	0	0	
Tetrastrum triangulare			0		
Conjugatophyceae					
Closterium moniliferum			0		
Cosmarium depressum	0	0	2,82	5,16	1,99
Staurastrum cingulum		0,13	,	0,28	0,10
Staurastrum cf. tetracerum		,	0	,	
Chrysophyceae					
Bitrichia chodatii		0	0		
Dinobryon bavaricum		0,60	0	1,21	0,45
Dinobryon crenulatum		<i>'</i>	0	0	,
Dinobryon cylindricum		0	0		
Dinobryon divergens		2,14	0,52	1,96	1,15
Dinobryon sertularia		<i>'</i>	-,-	0	, -
Dinobryon sociale		0		0,70	0,18
Mallomonas sp.		0		0	-,
Pseudopedinella sp.				0	
Uroglena sp.				0	
Haptophyceae					
Chrysochromulina parva		0	0	7,24	1,81
Dinophyceae				, , , .	.,
Ceratium hirundinella		3,39	0,88	10,11	3,60

Dinophyceae indet.		0			
Glenodinium sp.		0		0	
Gymnodinium helveticum	0	1,14	8,20	11,31	5,16
Gymnodinium sp.		0	1,29	0	0,32
Peridinium sp.			1,20	10,61	2,65
Peridinium umbonatum - complex		0	2,19	10,01	0,55
Peridinium willei		1,38	2,13	0	0,34
Cryptophyceae		1,00			0,04
Cryptomonas erosa	3,06	2,01	2,08	118,61	31,44
Cryptomonas marssonii	0,74	0,42	٥,00	1,83	0,75
Plagioselmis nannoplanctica	41,81	17,73	17,19	198,59	68,83
Rhodomonas lens	36,73	2,15	0	275,57	78,61
Bacillariophyceae	30,73	2,10		213,31	70,01
Achnanthes sp.	0	0	0	0	
Asterionella formosa	2 22	67.02	2 62	9,62	20,85
Aulacoseira islandica	2,22	67,93 °	3,63	9,02	20,65
	1 20	0			0.22
Aulacoseira subarctica	1,30	-	0.74	0.47	0,32
Cyclotella bodanica		0.04	0,71	0,47	0,29
Cyclotella cf. comensis		0,94	1,30		0,56
Cyclotella cyclopuncta		11,17	10,85		5,50
Cyclotella distinguenda		0	0.04		0.00
Cyclotella intermedia			0,24		0,06
Cyclotella ocellata		2.22	0,85		0,21
Cyclotella cf. planctonica		0,98			0,25
Cyclotella pseudostelligera	_	0,11			0,03
Cyclotella radiosa	0	0,03			0,01
Cyclotella sp.	6,78		_	58,72	16,38
Diatoma ehrenbergii	0		0	0	
Diatoma tenuis		20,22	0	20,27	10,12
Fragilaria crotonensis	0,35	13,49	39,26	343,44	99,13
Melosira varians			0		
Staurosira construens				0	
Stephanocostis chantaica		0,02			0,01
Stephanodiscus alpinus		2,13	0,63		0,69
Stephanodiscus minutulus		0,05			0,01
Stephanodiscus neoastraea gr.	0	2,47			0,62
Ulnaria acus		0		0	
Ulnaria delicatissima	0	0	1,68	100,80	25,62
Ulnaria delicatissima var. angustissima	0,56	0,38	0,09	0,49	0,38
Ulnaria sp.				0	
Picoplankton < 5 μm					
Picoplankton indet.				5,88	1,47
Frischgewicht tot. (µg/l)	94,41	151,80	94,83	1187,03	382,02
Biovolumen tot. (mm³/l)	0,094	0,152	0,095	1,187	0,382
abz. heterotrophe (mm³/l)	0,094	0,151	0,087	1,176	0,377
1000 μg/l = 1 mm ³ /l	5,50 7	٥,٠٠٠	3,50.	.,,,,	3,3.7
Chlorophyll-a [µg/l]	1,0	1,3	1,2	1,1	1,15
Relativer Anteil Chlorophyll-a [%]	1,06	0,86	1,27	0,09	0,82
neialivei Anteli Chiorophyli-a [%]	1,00	0,00	1,27	0,09	0,62

Anzahl Taxa / Termin	17	44	46	45	
Anzahl Taxa insgesamt					75

Tab. 8.2.2. Zusammenfassung Algenklassen der quantitativen Phytoplanktonproben

TRAUNSEE 2022	Algenfrischgewicht [μg l ⁻¹]						
Algenklasse	28.03.	28.06.	22.08.	14.11.	Mittel		
Bacillariophyceae Centrales	8,08	17,90	14,58	59,19	24,93		
Bacillariophyceae Pennales	3,13	102,02	44,65	474,62	156,10		
Chlorophyceae			0,44		0,11		
Chrysophyceae		2,74	0,52	3,87	1,78		
Conjugatophyceae Desmid.		0,13	2,82	5,44	2,10		
Conjugatophyceae Zygnem.							
Cryptophyceae	82,34	22,31	19,27	594,60	179,63		
Cyanobacteria coccal							
Cyanobacteria filamentös	0,86	0,79		4,16	1,46		
Dinophyceae		5,91	12,55	32,03	12,62		
Euglenophyceae							
Haptophyceae				7,24	1,81		
Prasinophyceae							
Ulvophyceae							
Xanthophyceae							
Phytoplankton indet.				5,88	1,47		
Frischgewicht tot. (µg/l)	94,4	151,8	94,8	1187,0	382,0		
Biovolumen tot. (mm³/l)	0,094	0,152	0,095	1,187	0,382		
abz. heterotrophe (mm³/l)	0,094	0,151	0,087	1,176	0,377		
$1000 \mu g/l = 1 \text{ mm}^3/l$							

Tab. 8.2.3. Brettum Index:

Werte der einzelnen Trophie-Klassen, für 2022 im Attersee quantifizierte Taxa

TRAUNSEE 2022	Rebecca-ID	Brettum-Indexwerte der einzelnen Trophieklasser					lassen
Taxon		<=5	5-8	8-15	15-30	30-60	>60
Asterionella formosa	R0135						
Aulacoseira subarctica	R0033		1	8	1		
Botryococcus braunii	R0493	5	2	2	1		
Ceratium hirundinella	R1672						
Chrysochromulina parva	R1818			1	3	4	2
Cosmarium depressum	R1209	2	2	3	1	1	1
Cryptomonas erosa	R1378						
Cryptomonas marssonii	R1382						
Cyclotella bodanica	R0040	7	3				
Cyclotella cf. comensis	R0042	7	2	1			
Cyclotella cf. planctonica	R2570						
Cyclotella cyclopuncta	R2195	7	3				
Cyclotella intermedia	R0040	7	3				
Cyclotella ocellata	R0048		1	1	4	3	1
Cyclotella pseudostelligera	R2059						
Cyclotella radiosa	R0051			1	3	5	1
Cyclotella sp.	R0053						
Diatoma tenuis	R0189			1	1	4	4
Dinobryon bavaricum	R1066	3	3	2	2		
Dinobryon divergens	R1073						
Dinobryon sociale	R1083						
Fragilaria crotonensis	R0223						
Gymnodinium sp.	R1654	1	5	2	1	1	
Peridinium sp.	R1699						
Peridinium umbonatum - complex	R1903	7	2		1		
Peridinium willei	R1704	1	4	2	1	1	1
Picoplankton indet.	R2617						
Plagioselmis nannoplanctica	R2162						
Planktothrix rubescens	R1617	1	1	3	4	1	
Rhodomonas lens	R1407						
Staurastrum cingulum	R1283				1	8	1
Stephanocostis chantaica	R0075						
Stephanodiscus alpinus	R0076						
Stephanodiscus minutulus	R0082				3	4	3
Stephanodiscus neoastraea	R0083		1	2	4	3	
Ulnaria delicatissima	R2173			_			
Ulnaria delicatissima var. angustissima	R2174	2	3	3	2		

Relativer Anteil quantifizierter Taxa für Brettum Index [%]	54,1
Relativer Anteil des Biovolumen der eingestuften Taxa am Gesamtbiovolumen [%]	6,7

Tab. 8.2.4. Prägende trophische Indikatoren (Brettum Scores) und quantitativ wichtige (Biovolums-Anteil > 3 %) Arten - Traunsee 2022

TRAUNSEE Taxon	Rebecca-	Biovolumen		P	rettum	-Indexw	erte		Rel. Anteil
März	15	[mm ³ L ⁻¹]	<=5			15-30	30-60	>60	[%]
Plagioselmis nannoplanctica	R2162	0,0418							44,29%
Rhodomonas lens	R1407	0,0367							38,90%
Cyclotella sp.	R0053	0,0068							7,18%
Cryptomonas erosa	R1378	0,0031							3,24%
Juni									
Diatoma tenuis	R0189	0,0202			1	1	4	4	13,42%
Cyclotella cyclopuncta	R2195	0,0112	7	3					7,41%
Asterionella formosa	R0135	0,0679							45,09%
Plagioselmis nannoplanctica	R2162	0,0177							11,77%
Fragilaria crotonensis	R0223	0,0135							8,95%
August									
Cyclotella cyclopuncta	R2195	0,0109	7	3					12,53%
Cosmarium depressum	R1209	0,0028	2	2	3	1	1	1	3,26%
Fragilaria crotonensis	R0223	0,0393							45,31%
Plagioselmis nannoplanctica	R2162	0,0172							19,84%
Asterionella formosa	R0135	0,0036							4,19%
November									
Fragilaria crotonensis	R0223	0,3434							29,21%
Rhodomonas lens	R1407	0,2756							23,44%
Plagioselmis nannoplanctica	R2162	0,1986							16,89%
Cryptomonas erosa	R1378	0,1186							10,09%
Ulnaria delicatissima + sp.	R2173	0,1008							8,57%
Cyclotella sp.	R0053	0,0059							4,99%

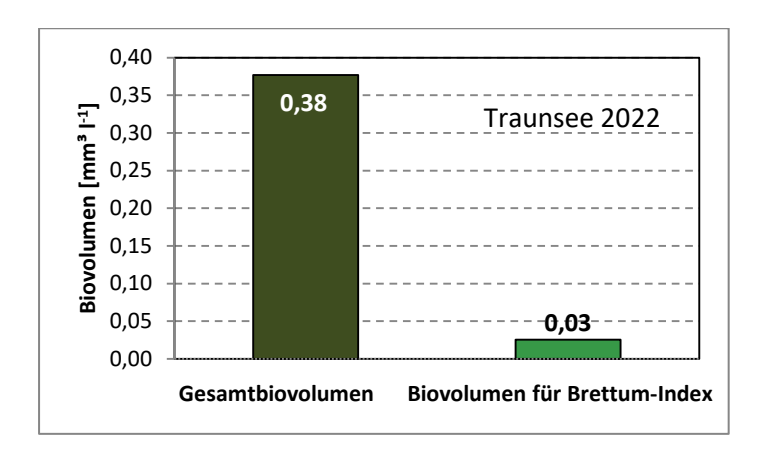
^{*}N.B.:Geringfügige Abweichungen des relativen Anteils einzelner Taxa am Gesamt-Biovolumen[%], im Vergleich zu den Werten in den Prüfprotokollen (4. Quantitative Analyse - Utermöhl-Zählung), ergeben sich aus den in obiger Tabelle bereits abgezogenen Anteilen heterotropher Taxa!

8.3. Grafische Darstellungen

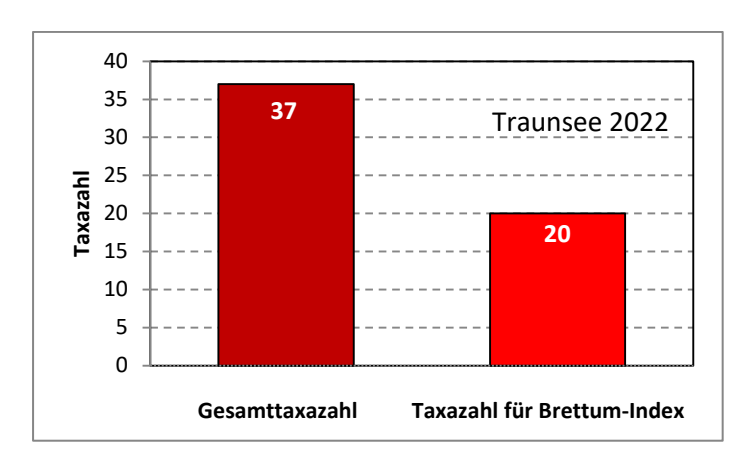
Jahresmittel EQR:

See	TR	AUNSEE	.
Jahr		2022	
IC Seentyp	L-AL3	range	1
		-	
Chlorophyll-a [µg L ⁻¹]	1,15		
Biovolumen [mm ³ L ⁻¹]	0,38		
BV für Brettum-Index [mm ³ L ⁻¹]	0,03	7%	
Taxa	37		
Taxa für Brettum-Index	20	54%	
		-	
Brettum-Index	3,80		
	Ref.wert	EQR	nEQR
Chlorophyll-a	1,50	1,30	1,00
Biovolumen	0,20	0,53	0,76
Brettum-Index	5,29	0,72	0,67
EQR gesamt	0,777	gı	ut

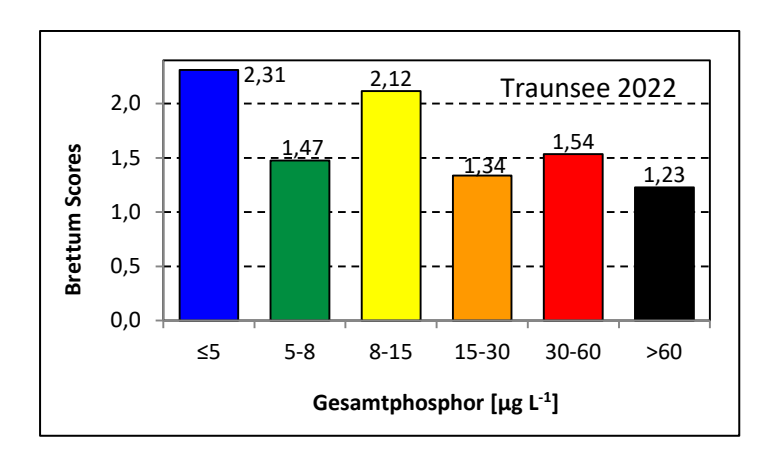
Anteil Biovolumen für die Berechnung des Brettum-Index:



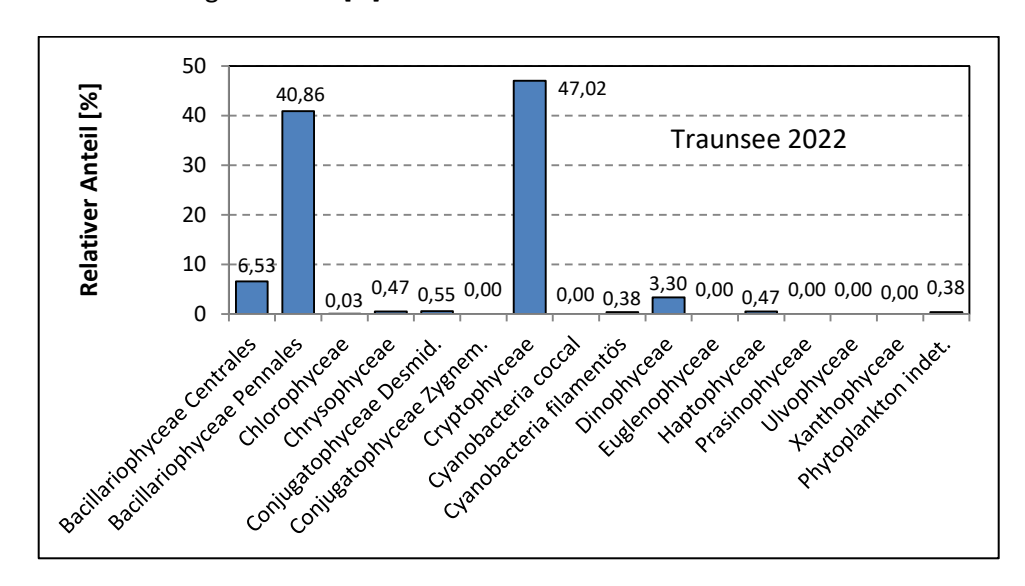
Anteil Taxa-Anzahl für die Berechnung des Brettum-Index:



Verteilung Brettum-Scores über die sechs Phosphor-Trophie-Klassen:



Biovolumen Algenklassen [%]:



Prüfbericht Phytoplankton- GZÜV-Untersuchungen des Jahres 2022 Traunsee 2022-03-28

1. Angaben zu Prüflabor und Auftraggeber

Prüflabor	Dr. Jersabek	Prüfbericht-Nr.	TRA2022-01
Auftraggeber	Amt der Oberösterreichischen Land	esregierung	

2. Angaben zum See, zur Untersuchungsstelle und Probenahme

Allgemeine Angal	oen									
Gewässername		Trau	ınsee		Rechtswert		48	4.528		
Messstellenname					Hochwert		30	4.807		
(GZÜV-)Messstellen_ID					Median		31			
Detail WK Name					Trophischer (Grundzustand	oli	gotroph		
Detail WK ID					Höhe Messpu	nkt [m]	42	3		
Z	Zu jewe	eils r	mindestens 4	4 Teri	minen pro Un	tersuchung	sjah	r:		
Datum, Uhrzeit, Pro	benah	me-	Team, Prüfla	bor						
Datum Probenahme	2022-03	3-28		Prob	enahme-Team					
Uhrzeit Probenahme				Prüfl	abor *	Bundesamt für Mondsee, Scha		erwirtscha	ft IGF	
Limnologisch charakteri			punkt **	Frühja	ahrszirkulation					
* wenn Proben nicht vom selben P ** Frühjahrszirkulation, Beginn der			n, Höhepunkt der Som	nmerstagi	nation, Beginn der Herb	ostzirkulation				
Witterung										
		vo	or der Probenah	me		während de	r Prol	benahme)	
Wetter										
Wind										
Niederschlag		Da	atum:							
Lufttemperatur [°C]										
Wolkenbedeckung [%]										
Hydrographie, Trüb	ung, F	ärbu	ung, Schicht	ung						
Hochwassereinfluss (de	r wichtig	gsten	Zubringer)							
vor der Probenahme			ja □	nein	während der l			□ja		□ nein
Wasserstand aktuell (zur Schätzung auf m ü.A.)*	mindest				Sonstiges (Ol Pollenflug)	perflächenfilm,				
Trübung, Art der Trübung **					Thermokline	[m]				
Färbung					Sichttiefe/Sec	chi-Tiefe [m]			5,8	
Algenblüten, Auftriebsfle	ocken		ja 🗆	nein		ıphotischen Zo sationsebene)	ne			
* z.B. hoch, mittel, niedrig	* * mii	neralisc	ch, organisch, Calcitfäi	rbung						
Probenahme										
Probenahmetiefe der qua Probe [m; vonbis]		en	0 – 21 m		Art der Probena quantitativen P			lischprob ntegriere		obe
• •					wenn Mischpro					
Maschenweite für die qu)				-				

3. Methodische Angaben zur qualitativen, quantitativen und Diatomeen - Analyse

Qualitative Ana	alyse									
Probennummer		TRA2022	-01	Bearb	eiterIn	Christian Jers	abek			
Datum der Analyse		2023-03-	11	Probe	enart	☐ lebend		x fixier	ì	
Quantitative A	nalyse									
Probennummer		TRA2	2022-01		lachfixierur robe	ng der quantitati	ven	□ ja		x nein
BearbeiterIn		Chris	stian Jersabek	W	venn ja, wa	nn				
Datum der Analyse		2023	-03-11	К	ammertyp			Utermöl	hl	
Zeitraum zw. Proben Analyse	ahme un	d 349	Гаge	к	ammervolu	ımen		10 ml		
					usgegosser robe	nes Volumen der	•	100 ml		
Overstitetive Buch	. 75 blot	voto a i a								
Quantitative Prob	e. Zamsti	ategie	Zählstrategie			Anzahl Di	agona	len / Felde	or	
Proben-Nr.	Kam	mertyp	Diagonalen/Felder	OI	bj. 5x	Obj. 10x		bj. 25x	Obj. 40x	
TRA2022-01	Utern	nöhl	Ganze Kammer		1	,		-,		
			Diagonale/Felder			3 D		36 F	24 F	
				•						
Diatomeenprol	be									
Herkunft										
wenn eigene Diatom	eenprobe	•								
Probennummer		TRA2022	-01_Diat	\	/olumen					
Präparation		x Glühpi	äparat	□ chen	nische Oxid	ation				
Optische Ausrü	istung	des Zäh	lmikroskops und E	Durchli	ichtmikr	oskops für d	lie D	iatome	en-Analy	se
Zählmikroskop (Marke/Typ)					Zeiss Teld	aval 3, Jena				
Durchlichtmikrosk ja/nein)	op (Marl	ke/Typ, F	Phasenkontrast ja/neir	n, DIC	Leitz Dia	plan (ja/ja)				
Stärkstes Objektiv (Vergrößerung, nu	merisch	e Apertu			100x (oil,	, 1,25)				

4. Quantitative Analyse (Utermöhl-Zählung)

Laborinterne Probennummer: TRA2022-01

TRA2022-03-28	Gezählte Individuen	Gezähltes Vol. [ml]	Abundanz [10³ L ⁻¹]	Zellvolumen [µm³]	FW [µg l¹]	Rel. Anteil [%]
Cyanobacteria						
Planktothrix rubescens	44	100,000	0,440	1963	0,86	0,91
Conjugatophyceae						
Cosmarium depressum						
Dinophyceae						
Gymnodinium helveticum						
Cryptophyceae						
Cryptomonas erosa	25	14,838	1,685	1816	3,06	3,24
Cryptomonas marssonii	3	2,462	1,218	611	0,74	0,79
Plagioselmis nannoplanctica	528	0,635	831,168	50	41,81	44,29
Rhodomonas lens	58	0,635	91,303	402	36,73	38,90
Bacillariophyceae						
Achnanthes sp.						
Asterionella formosa	456	100,000	4,560	486	2,22	2,35
Aulacoseira subarctica	300	100,000	3,000	432	1,30	1,37
Cyclotella radiosa						
Cyclotella sp. 35 μm	30	100,000	0,300	10779	3,23	3,43
Cyclotella sp. 20 μm	6	14,838	0,404	2512	1,02	1,08
Cyclotella sp. 8 μm	10	0,635	15,742	161	2,53	2,68
Diatoma ehrenbergii						
Fragilaria crotonensis	53	100,000	0,530	659	0,35	0,37
Stephanodiscus neoastraea gr.						
Ulnaria delicatissima						
Ulnaria delicatissima var. angustissima	18	100,000	0,180	3116	0,56	0,59
Gesamt			950,53		94,41	100,00
			10 ³ L ⁻¹		0,094	%
					mm³ L ⁻¹	

5. Diatomeenanalyse

Laborinterne Probennummer: TRA2022-01_Diato

Der Anteil centrischer Diatomeen am Gesamtbiovolumen lag im März bei 8,6 % - und damit unter den It. Leitfaden zur Erhebung der biologischen Qualitätselemente (Teil B2, Phytoplankton) für eine nähere Analyse erforderlichen 10 %. Auf eine taxonomische Absicherung auf Artniveau durch Detailanalyse am Glühpräparat wurde daher verzichtet!

Prüfbericht Phytoplankton - GZÜV-Untersuchungen des Jahres 2022 Traunsee 2022-06-28

1. Angaben zu Prüflabor und Auftraggeber

Prüflabor	Dr. Jersabek	Prüfbericht-Nr.	TRA2022-02
Auftraggeber	Amt der Oberösterreichischen Land	esregierung	

2. Angaben zum See, zur Untersuchungsstelle und Probenahme

Allgemeine Angal	oen								
Gewässername		Trau	ınsee		Rechtswert		48	34.528	
Messstellenname					Hochwert		30	04.807	
(GZÜV-)Messstellen_ID					Median		31	<u> </u>	
Detail WK Name					Trophischer C	Grundzustand	oli	igotroph	
Detail WK ID					Höhe Messpu	nkt [m]	42	23	
Z	Zu jewe	eils r	mindestens 4	4 Terr	minen pro Un	tersuchung	sjah	r:	
Datum, Uhrzeit, Pro	benah	me-	Team, Prüfla	bor					
Datum Probenahme	2022-06	6-28		Prob	enahme-Team				
Uhrzeit Probenahme				Prüfla	abor *	Bundesamt für Mondsee, Scha		erwirtschaft I	GF
Limnologisch charakteri	stischer	Zeitı	punkt **	Begin	n der Sommerstag				
* wenn Proben nicht vom selben P ** Frühjahrszirkulation, Beginn der			n Höhenunkt der Son	nmerstagr	nation Beginn der Herh	nstzirkulation			
Witterung	00,,,,,,	agridio.	i, rionepariik der Gen	o.o.agr	adon, Bogiiin doi 11015	out notice in			
_		vo	r der Probenah	me		während de	r Pro	benahme	
Wetter									
Wind									
Niederschlag		Da	atum:						
Lufttemperatur [°C]									
Wolkenbedeckung [%]									
		•							
Hydrographie, Trüb	ung, F	ärbu	ung, Schicht	ung					
Hochwassereinfluss (de	r wichtig	gsten	Zubringer)						
vor der Probenahme				nein	während der F	Probenahme		□ ja	□ nein
Wasserstand aktuell (zur Schätzung auf m ü.A.)*	mindest	:			Sonstiges (Ok Pollenflug)	erflächenfilm,			
Trübung, Art der Trübung **					Thermokline [[m]			
Färbung					Sichttiefe/Sec	chi-Tiefe [m]			5,6
Algenblüten, Auftriebsflo	ocken		ja □	nein	Grenze der eu [m] (Kompens	iphotischen Zo sationsebene)	ne		•
* z.B. hoch, mittel, niedrig	* * mii	neralisc	ch, organisch, Calcitfä	rbung					
Probenahme									
Probenahmetiefe der qua Probe [m; vonbis]		en	0 – 21 m		Art der Probena quantitativen Pr			lischprobe ntegrierend	e Probe
					wenn Mischpro		L		
Maschenweite für die qu Phytoplankton-Probe [µı						J			

3. Methodische Angaben zur qualitativen, quantitativen und Diatomeen - Analyse

Qualitative Anal	yse									
Probennummer		TRA2022	-02	Bear	beiterIn	Christian Jers	abek			
Datum der Analyse		2023-03-	12	Prob	enart	☐ lebend		x fixiert		
Quantitative Ana	alyse									
Probennummer		TRA2	2022-02		Nachfixierui Probe	ng der quantitati	iven	□ ja		x nein
BearbeiterIn		Chris	stian Jersabek	1	wenn ja, wa	nn				
Datum der Analyse		2023	3-03-12	ı	Kammertyp			Utermöh	ıl	
Zeitraum zw. Probenał Analyse	nme un	d 260	Tage	ı	Kammervoli	umen		10 ml		
					Ausgegosse Probe	nes Volumen dei	r	100 ml		
Quantitative Probe:	Zählst	rategie	1							
Proben-Nr.	Kam	mertyp	Zählstrategie					len / Felde	I	1
			Diagonalen/Felder	0	bj. 5x	Obj. 10x	0	bj. 25x	Obj. 40x	
TRA2022-02	Uterr	nöhl	Ganze Kammer		1					
			Diagonale/Felder			3 D		27 F	24 F	
Diatomeenprobe	9									
Herkunft										
wenn eigene Diatomee	enprobe	?								
Probennummer		TRA2022	-02_Diat	,	Volumen					
Präparation		x Glühpi	räparat 🗆 o	chemis	che Oxidati	on				
Optische Ausrüs	tung	des Zäh	lmikroskops und D	urchl	lichtmikr	oskops für d	die D	iatome	en-Analys	se
Zählmikroskop (Marke/Typ)					Zeiss Tel	aval 3, Jena				
Durchlichtmikroskop ja/nein)	(Mar	ke/Typ, F	Phasenkontrast ja/nein,	, DIC	Leitz Dia	plan (ja/ja)				
Stärkstes Objektiv (Vergrößerung, num	erisch	e Apertu	r)		100x (oil	, 1,25)	-			

4. Quantitative Analyse (Utermöhl-Zählung)

Laborinterne Probennummer: TRA2022-02

TRA2022-06-28	Gezählte Individuen	Gezähltes Vol. [ml]	Abundanz [10³ L ⁻¹]	Zellvolumen [µm³]	FW [µg l¹]	Rel. Anteil [%]
Cyanobacteria						
Planktothrix rubescens	36	100,000	0,360	2205	0,79	0,52
Chlorophyceae						
Elakatothrix sp.						
Oocystis sp.						
Planktosphaeria gelatinosa						
Tetraselmis cordiformis						
Conjugatophyceae						
Cosmarium depressum	_					
Staurastrum cingulum	2	100,000	0,020	6674	0,13	0,09
Chrysophyceae						
Bitrichia chodatii						
Dinobryon bavaricum	7	1,847	3,790	157	0,60	0,39
Dinobryon cylindricum						
Dinobryon divergens	18	1,847	9,746	220	2,14	1,41
Dinobryon sociale						
Mallomonas sp.						
Haptophyceae						
Chrysochromulina parva						
Dinophyceae						
Ceratium hirundinella	9	100,000	0,090	37691	3,39	2,23
Dinophyceae indet.						
Glenodinium sp.						
Gymnodinium helveticum	2	14,838	0,135	8434	1,14	0,75
Gymnodinium sp.						
Peridinium umbonatum - complex						
Peridinium willei	2	100,000	0,020	68889	1,38	0,91
Cryptophyceae						
Cryptomonas erosa	16	14,838	1,078	1867	2,01	1,33
Cryptomonas marssonii	3	1,847	1,624	256	0,42	0,27
Plagioselmis nannoplanctica	111	0,635	174,734	101	17,73	11,68
Rhodomonas lens	5	0,635	7,871	273	2,15	1,42
Bacillariophyceae						
Achnanthes sp.						
Asterionella formosa	1464	14,838	98,665	689	67,93	44,75
Aulacoseira islandica						
Aulacoseira subarctica						
Cyclotella cf. comensis	3	0,635	4,880	193	0,94	0,62
Cyclotella cyclopuncta	26	0,635	41,480	269	11,17	7,36
Cyclotella distinguenda						
Cyclotella cf. planctonica	3	14,838	0,226	4341	0,98	0,65

					mm³ L ⁻¹	
			10 ³ L ⁻¹		0,152	%
Gesamt			388,66		151,80	100,00
Ulnaria delicatissima var. angustissima	14	100,000	0,140	2741	0,38	0,25
Ulnaria delicatissima						
Ulnaria acus						
Stephanodiscus neoastraea	6	14,838	0,396	6239	2,47	1,63
Stephanodiscus minutulus	1	0,635	0,976	49	0,05	0,03
Stephanodiscus alpinus	12	14,838	0,778	2740	2,13	1,40
Stephanocostis chantaica	0,3	0,635	0,488	42	0,02	0,01
Fragilaria crotonensis	1955	100,000	19,550	690	13,49	8,89
Discostella pseudostelligera	1	0,635	0,976	108	0,11	0,07
Diatoma tenuis	306	14,838	20,623	980	20,22	13,32
Cyclotella radiosa	0,2	14,838	0,014	1831	0,03	0,02

5. Diatomeenanalyse

Laborinterne Probennummer: TRA2022-02_Diato

Taxon	Rebecca-			Größ	enklassen	[µm]			
	ID	4 - <7	7 - <11	11 - <16	16 - <21	21 - <30	30 - <37	>37	
Cyclotella cf. comensis	R0042	1	6	1					
Cyclotella cyclopuncta	R2195								
Cyclotella cf. planctonica	R2570	3	31	5					
Cyclotella radiosa	R0051				2				
Discostella pseudostelligera	R0053	1	3						
Stephanocostis chantaica	R0075	2							
Stephanodiscus alpinus	R0076				16	2			
Stephanodiscus minutulus	R0082	4							
Stephanodiscus neoastraea	R0083					8	2		
Summe Schalen pro Größen	klasse	11	40	6	18	10	2		
Gesamtsumme Schalen						87			
Anteil centrischer Diatomeen	am Gesamt-E	Biovolum	en		11,8 %				

Anmerkungen: Die Artbestimmung centrischer Diatomeen erfolgte nach Krammer & Lange-Bertalot (1991) und Houk, Klee & Tanaka (2010, 2014, 2017). Es bestehen in der modernen Literatur z. T. erhebliche Unterschiede in taxonomischer Zuordnung (Synonyme, Kombinationen) oder in der Nomenklatur (Namensänderungen valider Arten) einzelner Arten. Sofern solche Änderungen Arten betreffen die in der Liste eingestufter Arten des hier angewendeten Bewertungssystem aufscheinen, wird der in dieser Liste verwendete Name beibehalten.

Prüfbericht Phytoplankton - GZÜV-Untersuchungen des Jahres 2022 Traunsee 2022-08-22

1. Angaben zu Prüflabor und Auftraggeber

Prüflabor	Dr. Jersabek	Prüfbericht-Nr.	TRA2022-03
Auftraggeber	Amt der Oberösterreichischen Land	esregierung	

2. Angaben zum See, zur Untersuchungsstelle und Probenahme

Allgemeine Angab	oen									
Gewässername		Trau	insee		Rechtswert		48	4.528		
Messstellenname					Hochwert		30	4.807		
(GZÜV-)Messstellen_ID					Median		31			
Detail WK Name					Trophischer (Grundzustand	oli	gotroph		
Detail WK ID					Höhe Messpu	nkt [m]	42	3		
Z	Zu jewe	ils r	nindestens 4	4 Terr	ninen pro Un	itersuchung	sjah	r:		
Datum, Uhrzeit, Pro	benahi	me-	Team, Prüfla	bor						
Datum Probenahme	2022-08	-22		Prob	enahme-Team					
Uhrzeit Probenahme				Prüfla	abor *	Bundesamt für Mondsee, Scha		erwirtschaft	iGF	
Limnologisch charakteri			punkt **	Höhep	ounkt der Sommer	stagnation				
* wenn Proben nicht vom selben Pr ** Frühjahrszirkulation, Beginn der			n, Höhepunkt der Son	nmerstagr	nation, Beginn der Herl	ostzirkulation				
Witterung										
		vo	r der Probenah	me		während de	r Prol	benahme		
Wetter										
Wind										
Niederschlag		Da	atum:							
Lufttemperatur [°C]										
Wolkenbedeckung [%]										
Hydrographie, Trüb	ung, F	ärbu	ıng, Schicht	ung						
Hochwassereinfluss (de	r wichtig	sten	Zubringer)							
vor der Probenahme			ja □	nein	während der	Probenahme		□ ja		□ nein
Wasserstand aktuell (zur Schätzung auf m ü.A.)*	mindest				Sonstiges (Ol Pollenflug)	berflächenfilm,				
Trübung, Art der Trübung **					Thermokline	[m]				
Färbung					Sichttiefe/Sec	chi-Tiefe [m]			6,0	
Algenblüten, Auftriebsflo	ocken		ja □	nein		uphotischen Zo sationsebene)	ne			
* z.B. hoch, mittel, niedrig	* * min	eralisc	h, organisch, Calcitfä	rbung	1			•		
Probenahme										
Probenahmetiefe der qua Probe [m; vonbis]		en	0 – 21 m		Art der Probena quantitativen P			ischprobe ntegrierend		be
					wenn Mischpro	be: Angabe de	Tiefe	enstufen		
Maschenweite für die qu Phytoplankton-Probe fur										

3. Methodische Angaben zur qualitativen, quantitativen und Diatomeen - Analyse

Qualitative Analy	yse									
Probennummer		TRA2022	-03	Beark	oeiterIn	Christian Jersa	bek			
Datum der Analyse		2023-03-	12	Probe	enart	☐ lebend		x fixiert		
Quantitative Ana	alyse									
Probennummer		TRA2	2022-03		lachfixierun Probe	g der quantitativ	ven	□ ja		x nein
BearbeiterIn			tian Jersabek	v	venn ja, war	ın				
2022-06-06			-03-12	K	Cammertyp			Utermöh	l	
Zeitraum zw. Probenah Analyse	ime und	d 206 1	Гаge	к	Kammervolu	men		10 ml		
					Ausgegossen Probe	es Volumen der		100 ml		
	ntitative Probe: Zählstrategie									
Quantitative Probe: Zählstrategie										
Proben-Nr.	Proben-Nr. Kammertyp Zählstrategie Anzahl Diagonalen / Felder Diagonalen/Felder Obj. 5x Obj. 10x Obj. 25x Obj. 40x									
	-Nr Kammertyn				-	Obj. 10x O		bj. 25x	Obj. 40x	
TRA2022-03	.2022-03 Utermöhl Ganze Kammer									
	1022-03 Utermöhl Ganze Kammer Diagonale/Felder					3 D		42 F	15 F	
Diatomeenprobe)									
Herkunft										
wenn eigene Diatomee	nprobe	?								
Probennummer		TRA2022	-03_Diat	'	/olumen					
Präparation		x Glühpr	äparat 🔲	chemis	che Oxidatio	on				
Optische Ausrüst	tung o	des Zäh	lmikroskops und D	urchl	ichtmikr	oskops für d	ie D	iatomee	n-Analys	e
Zählmikroskop (Marke/Typ) Zeiss Telaval 3, Jena										
Durchlichtmikroskop ja/nein)	(Marl	ke/Typ, P	hasenkontrast ja/nein,	DIC	Leitz Diap	lan (ja/ja)				
Stärkstes Objektiv (Vergrößerung, num	erische	e Apertui	r)		100x (oil,	1,25)				

4. Quantitative Analyse (Utermöhl-Zählung)

Laborinterne Probennummer: TRA2022-03

TRA2022-08-22	Gezählte In- dividuen	Gezähltes Vol. [ml]	Abundanz [10³ L¹]	Zellvolumen [µm³]	FW [µg l¹]	Rel. Anteil [%]
	Gezä	Gez Vol	Abu [10	Zellve	FW	Rel.
Cyanobacteria						
Anabaena flos-aquae						
Aphanocapsa delicatissima						
Chroococcus limneticus						
Chroococcus minutus						
Lyngbya sp.						
Chlorophyceae						
Botryococcus braunii	5	100,000	0,050	8851	0,44	0,47
Coelastrum sp.						
Elakatothrix genevensis						
Nephrocytium agardhianum						
Oocystis sp.						
Pediastrum boryanum						
Planktosphaeria gelatinosa						
Scenedesmus linearis						
Tetraselmis cordiformis						
Tetrastrum triangulare						
Conjugatophyceae						
Closterium moniliferum						
Cosmarium depressum	15	14,838	1,011	2790	2,82	2,97
Staurastrum cf. tetracerum	10	14,000	1,011	2700	2,02	2,07
Chrysophyceae						
Bitrichia chodatii						
Dinobryon bavaricum						
Dinobryon crenulatum						
Dinobryon cylindricum						
Dinobryon divergens	7	2,873	2,437	213	0,52	0,55
-	'	2,073	2,431	213	0,32	0,33
Haptophyceae Chrysochromulina parva						
· ·						
Dinophyceae	2	100.000	0.000	44400	0.00	0.00
Ceratium hirundinella	2	100,000	0,020	44132	0,88	0,93
Gymnodinium helveticum	12	14,838	0,809	10135	8,20	8,64
Gymnodinium sp.	3	2,873	1,044	1232	1,29	1,36
Peridinium umbonatum - complex	10	14,838	0,674	3245	2,19	2,31
Cryptophyceae		44.000	4 5 4 5	4-4-	2.25	2.45
Cryptomonas erosa	18	14,838	1,213	1715	2,08	2,19
Cryptomonas marssonii		_				
Plagioselmis nannoplanctica	148	0,397	372,766	46	17,19	18,13
Rhodomonas lens						
Bacillariophyceae						
Achnanthes sp.						

Asterionella formosa	560	100,000	5,600	648	3,63	3,82
Cyclotella bodanica	3	100,000	0,030	23560	0,71	0,75
Cyclotella intermedia	1	14,838	0,054	4396	0,24	0,25
Cyclotella cf. comensis	4	0,397	9,823	132	1,30	1,37
Cyclotella cyclopuncta	24	0,397	60,449	180	10,85	11,44
Cyclotella ocellata	2	0,397	5,289	161	0,85	0,90
Diatoma ehrenbergii						
Diatoma tenuis						
Fragilaria crotonensis	5116	100,000	51,163	767	39,26	41,40
Melosira varians						
Stephanodiscus alpinus	3	14,838	0,216	2910	0,63	0,66
Ulnaria delicatissima	40	14,838	2,696	623	1,68	1,77
Ulnaria delicatissima var. angustissima	3	100,000	0,030	2973	0,09	0,09
Gesamt			515,37		94,83	100,00
			10 ³ L ⁻¹		0,095	%
					mm³ L ⁻¹	

5. Diatomeenanalyse

Laborinterne Probennummer: TRA2022-03_Diato

Taxon	Rebecca-		Größenklassen [µm]							
	ID	4 - <7	7 - <11	11 - <16	16 - <21	21 - <30	30 - <37	>37		
Cyclotella bodanica	R0040						5	2		
Cyclotella cf. comensis	R0042	3	10							
Cyclotella cyclopuncta	R2195									
Cyclotella intermedia	R0040	5	33	5						
Cyclotella ocellata	R0048	1	5	2						
Stephanodiscus alpinus	R0076				8	6				
Summe Schalen pro Größen	klasse	9	48	7	8	6	5	2		
		•	•	•		•				
Gesamtsumme Schalen						85				
Anteil centrischer Diatomeen			15,4 %							

Anmerkungen: Die Artbestimmung centrischer Diatomeen erfolgte nach Krammer & Lange-Bertalot (1991) und Houk, Klee & Tanaka (2010, 2014, 2017). Es bestehen in der modernen Literatur z. T. erhebliche Unterschiede in taxonomischer Zuordnung (Synonyme, Kombinationen) oder in der Nomenklatur (Namensänderungen valider Arten) einzelner Arten. Sofern solche Änderungen Arten betreffen die in der Liste eingestufter Arten des hier angewendeten Bewertungssystem aufscheinen, wird der in dieser Liste verwendete Name beibehalten.

Prüfbericht Phytoplankton - GZÜV-Untersuchungen des Jahres 2022 Traunsee 2022-11-14

1. Angaben zu Prüflabor und Auftraggeber

Prüflabor	Dr. Jersabek	Prüfbericht-Nr.	TRA2022-04
Auftraggeber	Amt der Oberösterreichischen La	andesregierung	

2. Angaben zum See, zur Untersuchungsstelle und Probenahme

Allgemeine Angab	oen								
Gewässername		Trau	insee		Rechtswert		48	4.528	
Messstellenname					Hochwert		30	4.807	
(GZÜV-)Messstellen_ID					Median		31		
Detail WK Name					Trophischer C	Grundzustand	oli	gotroph	
Detail WK ID					Höhe Messpu	nkt [m]	42	3	
_									
Z	Lu jew	eils r	mindestens 4	4 Terr	ninen pro Un	tersuchung	sjah	r:	
Datum, Uhrzeit, Pro	benah	me-	Team, Prüfla	bor					
Datum Probenahme	2022-1	1-14		Probe	enahme-Team				
Uhrzeit Probenahme				Prüfla	abor *	Bundesamt für Mondsee, Scha		erwirtschaft IG	GF .
			punkt **	Beginı	n der Herbstzirkula	ition			
			n, Höhepunkt der Som	nmerstagr	nation, Beginn der Herb	stzirkulation			
Witterung									
		vo	r der Probenah	me		während de	r Prol	benahme	
Wetter									
Wind									
Niederschlag	Zu jeweil Zu jeweil J, Uhrzeit, Probenahm Probenahme Szirkulation, Beginn der Sommerstagr Probenahme peratur [°C] Probenahme Probenahme Sasereinfluss (der wichtigs Probenahme Stand aktuell (zumindest ing auf m ü.A.)* Prübung ** Trübung **		atum:						
Lufttemperatur [°C]									
Wolkenbedeckung [%]									
Hydrographie, Trüb	ung, F	ärbu	ıng, Schicht	ung					
Hochwassereinfluss (der	r wichti	gsten	Zubringer)						
vor der Probenahme			ja □	nein	während der I	Probenahme		□ ja	□ nein
Wasserstand aktuell (zur Schätzung auf m ü.A.)*	mindest	t			Sonstiges (Ok Pollenflug)	erflächenfilm,			
Trübung, Art der Trübung **					Thermokline [m]			
Färbung					Sichttiefe/Sec	chi-Tiefe [m]			7,9
Algenblüten, Auftriebsflo	ocken		ja □	nein	Grenze der eu [m] (Kompens	iphotischen Zo sationsebene)	ne		
* z.B. hoch, mittel, niedrig	* * mi	ineralisc	h, organisch, Calcitfäi	rbung	1			•	
Probenahme									
Probenahmetiefe der qua		en .	0 – 21 m		Art der Probena			lischprobe	
Probe [m; vonbis]			V-Z1111		quantitativen Pı			ntegrierende	e Probe
	114 .1				wenn Mischpro	be: Angabe dei	Tiefe	enstufen	
Maschenweite für die qu Phytoplankton-Probe fur		•							

3. Methodische Angaben zur qualitativen, quantitativen und Diatomeen - Analyse

Qualitative Anal	yse									
Probennummer		TRA2022	-04	Bear	beiterIn	Christian Jers	abek			
Datum der Analyse		2023-03-	13	Prob	enart	☐ lebend		x fixiert		
Quantitative Ana	alyse									
Probennummer		TRA	2022-04		Nachfixieru Probe	ıng der quantitati	ven	□ ja		x nein
BearbeiterIn		Chris	stian Jersabek	١	wenn ja, w	ann				
Datum der Analyse			3-03-13	ı	Kammertyp)		Utermöh	ıl	
Zeitraum zw. Probenał Analyse	nme un	d 125	Tage	ı	Kammervolumen					
					Ausgegosse Probe	enes Volumen der	r	100 ml		
Quantitative Probe: Zählstrategie Proben-Nr. Kammertyp Zählstrategie Diagonalen/Felder										
Quantitative Probe:	Zähist	rategie	l			A li l D'		1/5.1.1.		
Proben-Nr.	Kam	mertyp	_		Nh: Fv		-	len / Felde	1	1
TRA2022-04	Uterr	mähl	Ganze Kammer	-)bj. 5x 1	Obj. 10x	U	bj. 25x	Obj. 40x	
11042022 04	Oten	110111	Diagonale/Felder		-	3 D	2	1, 24 F	10 F	
	z iugoniuicy i ciuci			<u> </u>	_					
Diatomeenprobe	2									
Herkunft										
wenn eigene Diatomee	nprobe	?								
Probennummer		TRA2022	-04_Diat	,	Volumen					
Präparation		x Glühpi	räparat 🗆	chemis	sche Oxida	tion				
Optische Ausrüs	tung	des Zäh	lmikroskops und D	urchl	lichtmik	roskops für d	die D	iatome	en-Analys	e
Zählmikroskop (Marke/Typ)					Zeiss Te	laval 3, Jena				
Durchlichtmikroskop ja/nein)	(Mar	ke/Typ, I	Phasenkontrast ja/nein	, DIC	Leitz Did	aplan (ja/ja)				
Stärkstes Objektiv (Vergrößerung, num	erisch	e Apertu	r)		100x (oi	il, 1,25)				

4. Quantitative Analyse (Utermöhl-Zählung)

Laborinterne Probennummer: TRA2022-04

TRA2022-11-14	Gezählte In- dividuen	Gezähltes Vol. [ml]	Abundanz [10³ L¹]	Zellvolumen [µm³]	FW [µg l¹]	Rel. Anteil [%]
	Gezä	Gez	Abu [10	Zellv	ΕW	Rel
Cyanobacteria						
Aphanocapsa sp.						
Chroococcus limneticus						
Chroococcus minutus						
Planktothrix rubescens	202	100,000	2,020	2062	4,16	0,35
Snowella lacustris						
Chlorophyceae						
Elakatothrix genevensis						
Oocystis sp.						
Pediastrum boryanum						
Scenedesmus linearis						
Scenedesmus sp.						
Tetraselmis cordiformis						
Conjugatophyceae						
Cosmarium depressum	23	14,838	1,550	3328	5,16	0,43
Staurastrum cingulum	4	100,000	0,040	7046	0,28	0,02
Chrysophyceae						
Dinobryon bavaricum	7	1,642	4,264	283	1,21	0,10
Dinobryon crenulatum						
Dinobryon divergens	16	1,642	9,746	201	1,96	0,16
Dinobryon sertularia						
Dinobryon sociale	8	1,642	4,873	144	0,70	0,06
Mallomonas sp.						
Pseudopedinella sp.						
Uroglena sp.						
Haptophyceae						
Chrysochromulina parva	42	0,265	158,677	46	7,24	0,61
Dinophyceae						
Ceratium hirundinella	20	100,000	0,200	50568	10,11	0,85
Glenodinium sp.						
Gymnodinium helveticum	15	14,838	1,011	11189	11,31	0,95
Gymnodinium sp.						
Peridinium sp.	18	100,000	0,180	58943	10,61	0,89
Peridinium willei						
Cryptophyceae						
Cryptomonas erosa	105	1,642	63,960	1854	118,61	9,99
Cryptomonas marssonii	10	1,642	6,091	301	1,83	0,15
Plagioselmis nannoplanctica	642	0,265	2425,498	82	198,59	16,73
Rhodomonas lens	160	0,265	604,486	456	275,57	23,21
Bacillariophyceae						
Achnanthes sp.						

					mm³ L ⁻¹	
			10 ³ L ⁻¹		1,187	%
Gesamt			4784,97		1187,03	100,00
Picoplankton indet.	110	0,265	415,584	14	5,88	0,50
Picoplankton < 5 μm						
Ulnaria sp.						
Ulnaria delicatissima var. angustissima	11	100,000	0,110	4466	0,49	0,04
Ulnaria delicatissima + sp.	340	1,436	236,695	426	100,80	8,49
Ulnaria acus						
Staurosira construens						
Fragilaria crotonensis	8640	14,838	582,283	590	343,44	28,93
Diatoma tenuis	21	1,436	14,619	1386	20,27	1,71
Diatoma ehrenbergii						
Cyclotella sp.	63	0,265	238,016	229	54,48	4,59
Cyclotella gr.sp.	25	14,838	1,685	2512	4,23	0,36
Cyclotella bodanica	2	100,000	0,020	23560	0,47	0,04
Asterionella formosa	1336	100,000	13,360	720	9,62	0,81

5. Diatomeenanalyse

Laborinterne Probennummer: TRA2022-04_Diato

Der Anteil centrischer Diatomeen am Gesamtbiovolumen lag im November bei 5,0 % - und damit unter den It. Leitfaden zur Erhebung der biologischen Qualitätselemente (Teil B2, Phytoplankton) für eine nähere Analyse erforderlichen 10 %. Auf eine taxonomische Absicherung auf Artniveau durch Detailanalyse am Glühpräparat wurde daher verzichtet!

9. Quellenangabe

- Brettum, P (1989) Alger som indikator på vannkvalitet i norske innsjøer. Plantplankton. NIVA, Trondheim, 112 pp.
- CEN TC 230/WG 2/TG 3 (2007) Phytoplankton biovolume determination using inverted microscopy (Utermöhl technique). Draft proposal 2006.
- Deisinger, G (1984) Leitfaden zur Bestimmung der planktischen Algen der Kärntner Seen und ihrer Biomasse. Kärntner Institut für Seenforschung (ed.), Klagenfurt, 64 pp.
- Houk, V., Klee, R. and Tanaka, H. (2010) Atlas of freshwater centric diatoms with a brief key and descriptions, Part III. Stephanodiscaceae A. *Cyclotella, Tertiarius, Discostella*. In: Poulícková, A. (ed.): Fottea 10 (Supplement): 498 pp.
- Houk, V., Klee, R. and Tanaka, H. (2014) Atlas of freshwater centric diatoms with a brief key and descriptions Part IV. Stephanodiscaceae B: Stephanodiscus, Cyclostephanos, Pliocaenicus, Hemistephanos, Stephanocostis, Mesodictyon & Spicaticribra. In: Poulícková, A. (ed.): Fottea 14 (Supplement): 529 pp.
- Houk, V., Klee, R. and Tanaka, H. (2017) Atlas of freshwater centric diatoms: with a brief key and descriptions, Parts I II. Melosiraceae, Orthoseiraceae, Paraliaceae and Aulacoseiraceae. Second emended edition. In: Poulícková, A. (ed.): Fottea 17 (Supplement): 615 pp.
- Krammer, K. und Lange-Bertalot, H. (1991) Bacillariophyceae. 3. Teil: Centrales, Fragilariaceae, Eunotiaceae. *In* Ettl, H., Gerloff, J., Heynig, H. & Mollenhauer, D. (Eds.). *Süsswasserflora von Mitteleuropa* 2(3): 1-576. Gustav Fischer Verlag, Stuttgart.
- Sampl, H, Schulz, L, Gusinde, R-E & Tomek, H (1989) Seenreinhaltung in Österreich. Fortschreibung 1981–1987. Informationsschrift des BM für Land- und Forstwirtschaft (ed.), 175 pp.
- Utermöhl, H (1958) Zur Vervollkommnung der quantitativen Phytoplanktonmethodik. Mitteilungen der Internationalen Vereinigung für Limnologie 9, 1–38.

- Wolfram, G & Dokulil, MT (2010) Leitfaden zur Erhebung der Biologischen Qualitätselemente, Seen. Teil B2 Phytoplankton. Handbuch des BMLFUW & des BAW, Wien, 48 pp.
- Wolfram, G., K. Donabaum & M. T. Dokulil (2013) Leitfaden zur Erhebung der biologischen Qualitätselemente. Teil B2 Phytoplankton. Bundesministerium für Land- und Forstwirtschaft, Umwelt und Wasserwirtschaft, 73 pp.

10. ANHANG

10.1. GZÜV - Ergebnisberichte, 2007 – 2021 (in chronologischer Reihenfolge):

- Wolfram G., Donabaum, K. und Niedermayr, R. 2008: Bewertung des ökologischen Zustandes von 5 Seen in Oberösterreich anhand des Biologischen Qualitätselements Phytoplankton im Rahmen der GZÜV (2007). DWS Hydro-Ökologie, Wien, 95 S.
- Wolfram G., Niedermayr, R. und Donabaum, K. 2009: Bewertung des ökologischen Zustandes von 5 Seen in Oberösterreich anhand des Biologischen Qualitätselements Phytoplankton im Rahmen der GZÜV (2008). DWS Hydro-Ökologie, Wien, 99 S.
- Wolfram G., Niedermayr, R. und Donabaum, K. 2010: Bewertung des ökologischen Zustandes von 5 Seen in Oberösterreich anhand des Biologischen Qualitätselements Phytoplankton im Rahmen der GZÜV (2009). DWS Hydro-Ökologie, Wien, 120 S.
- Mildner J., Friedl, M. und Reichmann, M. 2011: Ergebnisbericht Qualitätselement Phytoplankton GZÜV 2010 Oberösterreich. KIS Kärntner Institut für Seenforschung GmbH, Klagenfurt, 125 S.
- Mildner J., Friedl, M. und Reichmann, M. 2012: Ergebnisbericht Qualitätselement Phytoplankton GZÜV 2011 Oberösterreich. KIS Kärntner Institut für Seenforschung GmbH, Klagenfurt, 120 S.
- Mildner J., Friedl, M., Reichmann, M. und Joham, B. 2013: Ergebnisbericht Qualitätselement Phytoplankton GZÜV 2012 Oberösterreich. KIS Kärntner Institut für Seenforschung GmbH, Klagenfurt, 119 S.
- Schafferer E. und Pfister P. 2014: Ergebnisbericht Qualitätselement Phytoplankton Oberösterreich 2013 GZÜV-Untersuchungen (Attersee, Hallstätter See, Irrsee, Mondsee, Traunsee) Bewertung des ökologischen Zustandes gemäß EU-Wasserrahmenrichtlinie, ARGE Limnologie GesmbH, LA 1456, Innsbruck, 192 S.

- Schafferer E. und Pfister P. 2015: Ergebnisbericht Qualitätselement Phytoplankton Oberösterreich 2014 GZÜV-Untersuchungen (Attersee, Hallstätter See, Irrsee, Mondsee, Traunsee) Bewertung des ökologischen Zustandes gemäß EU-Wasserrahmenrichtlinie, ARGE Limnologie GesmbH, LA 1456, Innsbruck, 196 S.
- Schafferer E. und Pfister P. 2016: Ergebnisbericht Qualitätselement Phytoplankton Oberösterreich 2015 GZÜV-Untersuchungen (Attersee, Hallstätter See, Irrsee, Mondsee, Traunsee) Bewertung des ökologischen Zustandes gemäß EU-Wasserrahmenrichtlinie, ARGE Limnologie GesmbH, LA 1456, Innsbruck, 199 S.
- Jersabek C. D. 2018: Ökologischer Zustand der Seen im Land Oberösterreich (Attersee, Hallstätter See, Irrsee, Mondsee, Traunsee). Bewertungen anhand des biologischen Qualitätselementes Phytoplankton, gemäß EU-Wasserrahmenrichtlinie (GZÜV 2009). Das Jahr 2016, mit Dreijahresmitteln seit 2014. Arnsdorf, 199 S.
- Jersabek C. D. 2018: Ökologischer Zustand der Seen im Land Oberösterreich (Attersee, Hallstätter See, Irrsee, Mondsee, Traunsee). Bewertungen anhand des biologischen Qualitätselementes Phytoplankton, gemäß EU-Wasserrahmenrichtlinie (GZÜV 2009). Das Jahr 2017, mit Dreijahresmitteln seit 2015. Arnsdorf, 192 S.
- Jersabek C. D. 2019: Ökologischer Zustand der Seen im Land Oberösterreich (Attersee, Hallstätter See, Irrsee, Mondsee, Traunsee). Bewertungen anhand des biologischen Qualitätselementes Phytoplankton, gemäß EU-Wasserrahmenrichtlinie (GZÜV 2009). Das Jahr 2018, mit Dreijahresmitteln seit 2016. Arnsdorf, 201 S.
- Jersabek C. D. 2020: Ökologischer Zustand der Seen im Land Oberösterreich (Attersee, Hallstätter See, Irrsee, Mondsee, Traunsee). Bewertungen anhand des biologischen Qualitätselementes Phytoplankton, gemäß EU-Wasserrahmenrichtlinie (GZÜV 2009). Das Jahr 2019, mit Dreijahresmitteln seit 2017. Arnsdorf, 205 S.
- Jersabek C. D. 2021: Ökologischer Zustand der Seen im Land Oberösterreich (Attersee, Hallstätter See, Irrsee, Mondsee, Traunsee). Bewertungen anhand des biologischen Qualitätselementes Phytoplankton, gemäß EU-Wasserrahmenrichtlinie (GZÜV 2009). Das Jahr 2020, mit Dreijahresmitteln seit 2018. Arnsdorf, 198 S.
- Jersabek C. D. 2022: Ökologischer Zustand der Seen im Land Oberösterreich (Attersee, Hallstätter See, Irrsee, Mondsee, Traunsee). Bewertungen anhand des biologischen Qualitätselementes Phytoplankton, gemäß EU-Wasserrahmenrichtlinie (GZÜV 2009). Das Jahr 2021, mit Dreijahresmitteln seit 2018. Arnsdorf, 195 S.

10.2. Saisonales Auftreten der Phytoplankton-Arten in OÖ Seen

Tab.: Phytoplankton-Taxa mit relativen Anteilen von > 3 % am jeweiligen Gesamt-Biovolumen; Taxa in alphabetischer Reihenfolge, mit individuellem Biovolumen und relativem Anteil in einzelnen Gewässern zu verschiedenen Jahreszeiten. BV: Biovolumen; Saisonen: FJ Frühjahr, SO Sommer, HE Herbst, SH Spätherbst, WI Winter; Trophie-Scores: Trophieklassen entsprechend Tabs. 4.2.3. – 8.2.3. Algenklassen: Bico Bicosoecidea, Chloro Chlorophyceae, Chryso Chrysophyceae, Crypto Cryptophyceae, Cyano Cyanobacteria, Desmid Conjugatophyceae-Desmidiales, Diato Diatomeae (Bacillariophyceae), Dino Dinophyceae, Euglen Euglenophyceae, Hapto Haptophyceae, Indet Indeterminata (unbestimmte Arten), Xantho Xanthophyceae, Zygne Conjugatophyceae-Zygnematales

Taxon	Reb	BV (mm³)							Rel. Anteil	Gewässer	Saison	Algen- klasse
Asterionella formosa	R0135	0,006							6,3%	Attersee	FJ	Diato
Asterionella formosa	R0135	0,013							10,2%	Attersee	HE	Diato
Asterionella formosa	R0135	0,005							17,9%	Hallstätter See	FJ	Diato
Asterionella formosa	R0135	0,036							11,4%	Irrsee	FS	Diato
Asterionella formosa	R0135	0,026							6,0%	Mondsee	WI	Diato
Asterionella formosa	R0135	0,068							45,1%	Traunsee	FS	Diato
Asterionella formosa	R0135	0,004							4,2%	Traunsee	SO	Diato
Aulacoseira islandica	R0025	0,047	0	1	3	3	2	1	3,0%	Mondsee	FJ	Diato
Aulacoseira subarctica	R0033	0,006	0	1	8	1	0	0	6,4%	Attersee	FJ	Diato
Aulacoseira subarctica	R0033	0,803	0	1	8	1	0	0	51,4%	Mondsee	FJ	Diato
Aulacoseira subarctica	R0033	0,091	0	1	8	1	0	0	15,2%	Mondsee	FJ	Diato
Aulacoseira subarctica	R0033	0,019	0	1	8	1	0	0	4,3%	Mondsee	FJ	Diato
Aulacoseira subarctica	R0033	0,032	0	1	8	1	0	0	4,7%	Mondsee	SO	Diato
Aulacoseira subarctica	R0033	0,129	0	1	8	1	0	0	29,3%	Mondsee	WI	Diato
Aulacoseira subarctica	R0033	0,477	0	1	8	1	0	0	46,3%	Mondsee	WI	Diato
Aulacoseira subarctica	R0033	0,011	0	1	8	1	0	0	3,9%	Mondsee	WI	Diato
Botryococcus braunii	R0493	0,011	5	2	2	1	0	0	3,7%	Attersee	SO	Chloro
Ceratium hirundinella	R1672	0,013							13,9%	Attersee	FJ	Dino
Ceratium hirundinella	R1672	0,029							17,7%	Attersee	FS	Dino
Ceratium hirundinella	R1672	0,033							26,8%	Attersee	HE	Dino
Ceratium hirundinella	R1672	0,045							15,2%	Attersee	SO	Dino
Ceratium hirundinella	R1672	0,001							3,8%	Hallstätter See	FJ	Dino
Ceratium hirundinella	R1672	0,021							14,8%	Hallstätter See	SO	Dino
Ceratium hirundinella	R1672	0,069							18,0%	Irrsee	HE	Dino
Ceratium hirundinella	R1672	0,079							20,4%	Irrsee	SO	Dino
Ceratium hirundinella	R1672	0,055							9,6%	Mondsee	HE	Dino
Ceratium hirundinella	R1672	0,107							15,5%	Mondsee	HE	Dino
Ceratium hirundinella	R1672	0,127							23,3%	Mondsee	SO	Dino
Ceratium hirundinella	R1672	0,101							14,6%	Mondsee	SO	Dino
Chroococcus limneticus	R1438	0,014	4	2	2	1	1	0	3,6%	Irrsee	HE	Cyano
Chrysochromulina parva	R1818	0,006	0	0	1	3	4	2	5,3%	Attersee	HE	Hapto
Chrysochromulina parva	R1818	0,018	0	0	1	3	4	2	3,1%	Mondsee	HE	Hapto
Cosmarium depressum	R1209	0,003	2	2	3	1	1	1	3,3%	Traunsee	SO	Desmid
Cryptomonas erosa	R1378	0,005							4,1%	Attersee	HE	Crypto
Cryptomonas erosa	R1378	0,001							3,6%	Hallstätter See	FJ	Crypto
Cryptomonas erosa	R1378	0,004							5,8%	Hallstätter See	FS	Crypto

	1				1			1	ı	Т		
Cryptomonas erosa	R1378	0,039							64,3%	Hallstätter See	HE	Crypto
Cryptomonas erosa	R1378	0,020							14,1%	Hallstätter See	SO	Crypto
Cryptomonas erosa	R1378	0,015							3,8%	Irrsee	HE	Crypto
Cryptomonas erosa	R1378	0,019							3,4%	Mondsee	HE	Crypto
Cryptomonas erosa	R1378	0,029							4,1%	Mondsee	HE	Crypto
Cryptomonas erosa	R1378	0,055							7,5%	Mondsee	HE	Crypto
Cryptomonas erosa	R1378	0,029							4,2%	Mondsee	SO	Crypto
Cryptomonas erosa	R1378	0,019							6,6%	Mondsee	WI	Crypto
Cryptomonas erosa	R1378	0,003							3,2%	Traunsee	FJ	Crypto
Cryptomonas erosa	R1378	0,119							10,1%	Traunsee	HE	Crypto
Cryptomonas erosa + sp.	R1378	0,016							4,1%	Irrsee	SO	Crypto
Cryptomonas erosa + sp.	R1378	0,018							3,4%	Mondsee	SO	Crypto
Cryptomonas marssonii	R1382	0,005							3,7%	Attersee	HE	Crypto
Cryptomonas marssonii	R1382	0,014							4,7%	Irrsee	FS	Crypto
Cryptomonas marssonii	R1382	0,026							6,7%	Irrsee	so	Crypto
Cyclotella cf. atomus	R0039	0,004							3,5%	Attersee	HE	Diato
Cyclotella cyclopuncta	R2195	0,005	7	3	0	0	0	0	5,2%	Attersee	FJ	Diato
Cyclotella cyclopuncta	R2195	0,069	7	3	0	0	0	0	42,1%	Attersee	FS	Diato
Cyclotella cyclopuncta	R2195	0,005	7	3	0	0	0	0	4,2%	Attersee	HE	Diato
Cyclotella cyclopuncta	R2195	0,114	7	3	0	0	0	0	38,0%	Attersee	so	Diato
Cyclotella cyclopuncta	R2195	0,002	7	3	0	0	0	0	5,9%	Hallstätter See	FJ	Diato
Cyclotella cyclopuncta	R2195	0,003	7	3	0	0	0	0	4,2%	Hallstätter See	FS	Diato
Cyclotella cyclopuncta	R2195	0,026	7	3	0	0	0	0	18,5%	Hallstätter See	so	Diato
Cyclotella cyclopuncta	R2195	0,073	7	3	0	0	0	0	8,9%	Irrsee	FJ	Diato
Cyclotella cyclopuncta	R2195	0,065	7	3	0	0	0	0	20,8%	Irrsee	FS	Diato
Cyclotella cyclopuncta	R2195	0,014	7	3	0	0	0	0	3,6%	Irrsee	so	Diato
Cyclotella cyclopuncta	R2195	0,054	7	3	0	0	0	0	3,5%	Mondsee	FJ	Diato
Cyclotella cyclopuncta	R2195	0,022	7	3	0	0	0	0	5,1%	Mondsee	FJ	Diato
Cyclotella cyclopuncta	R2195	0,181	7	3	0	0	0	0	27,8%	Mondsee	SO	Diato
Cyclotella cyclopuncta	R2195	0,072	7	3	0	0	0	0	10,4%	Mondsee	SO	Diato
Cyclotella cyclopuncta	R2195	0,035	7	3	0	0	0	0	3,4%	Mondsee	WI	Diato
Cyclotella cyclopuncta	R2195	0,010	7	3	0	0	0	0	3,5%	Mondsee	WI	Diato
Cyclotella cyclopuncta	R2195	0,011	7	3	0	0	0	0	7,4%	Traunsee	FS	Diato
Cyclotella cyclopuncta	R2195	0,011	7	3	0	0	0	0	12,5%	Traunsee	SO	Diato
Cyclotella intermedia	R0040	0,004	7	3	0	0	0	0	3,1%	Hallstätter See	SO	Diato
Cyclotella ocellata + kuetzingiana	R0048	0,035	0	1	1	4	3	1	9,0%	Irrsee	SO	Diato
Cyclotella radiosa	R0051	0,012	0	0	1	3	5	1	3,9%	Irrsee	FS	Diato
Cyclotella radiosa	R0051	0,048	0	0	1	3	5	1	7,3%	Mondsee	SO	Diato
Cyclotella sp.	R0053	0,017							18,2%	Attersee	FJ	Diato
Cyclotella sp.	R0053	0,016							5,3%	Attersee	SO	Diato
Cyclotella sp.	R0053	0,043							6,2%	Mondsee	HE	Diato
Cyclotella sp.	R0053	0,020	<u> </u>			<u> </u>			3,7%	Mondsee	SO	Diato
Cyclotella sp.	R0053	0,023							5,3%	Mondsee	WI	Diato
Cyclotella sp.	R0053	0,007							7,2%	Traunsee	FJ	Diato
Cyclotella sp.	R0053	0,006							5,0%	Traunsee	HE	Diato
Diatoma tenuis	R0189	0,020	0	0	1	1	4	4	13,4%	Traunsee	FS	Diato
Dinobryon crenulatum	R1069	0,005	2	2	3	2	1	0	3,2%	Attersee	FS	Chryso
Dinobryon divergens	R1073	0,005							3,9%	Attersee	HE	Chryso
Dinobryon divergens	R1073	0,026							8,8%	Attersee	SO	Chryso
Dinobryon divergens	R1073	0,012					L		3,7%	Irrsee	FS	Chryso

Dinobryon divergens	R1073	0,041		1	1		1		10,7%	Irreco	HE	Chryso
-	R1073		0	1	1	5	3	0	12,9%		HE	Chryso
Dinobryon sertularia	R1083	0,049 0,024	U	-		S	3	U	6,3%		HE	Chryso Chryso
Dinobryon sociale	R0223								3,3%	Attorneo	HE	
Fragilaria crotonensis		0,004								Attersee	FJ	Diato
Fragilaria crotonensis	R0223	0,403							48,7%	Irrsee		Diato
Fragilaria crotonensis	R0223	0,039							12,4%		FS	Diato
Fragilaria crotonensis	R0223	0,021							5,6%	Irrsee	HE	Diato
Fragilaria crotonensis	R0223	0,128							21,3%		FJ	Diato
Fragilaria crotonensis	R0223	0,067							9,7%	Mondsee	HE	Diato
Fragilaria crotonensis	R0223	0,083							11,1%		HE	Diato
Fragilaria crotonensis	R0223	0,032							7,3%	Mondsee	WI	Diato
Fragilaria crotonensis	R0223	0,012							4,2%	Mondsee	WI	Diato
Fragilaria crotonensis	R0223	0,013							9,0%	Traunsee	FS	Diato
Fragilaria crotonensis	R0223	0,343							29,2%		HE	Diato
Fragilaria crotonensis	R0223	0,039							45,3%		SO	Diato
Gloeobotrys limneticus	R1840	0,045							11,6%		HE	Xantho
Gloeobotrys limneticus	R1840	0,095							24,3%		SO	Xantho
Gloeobotrys limneticus	R1840	0,032							5,6%	Mondsee	HE	Xantho
Gloeobotrys limneticus	R1840	0,068							9,8%	Mondsee	SO	Xantho
Gymnodinium sp.	R1654	0,002	1	5	2	1	1	0	5,4%	Hallstätter See	FJ	Dino
Mallomonas sp.	R1109	0,009							6,3%	Hallstätter See	SO	Chryso
Peridinium sp.	R1699	0,010							3,1%	Irrsee	FS	Dino
Peridinium sp.	R1699	0,034							8,6%	Irrsee	SO	Dino
Peridinium sp.	R1699	0,025							4,3%	Mondsee	HE	Dino
Peridinium sp.	R1699	0,026							4,8%	Mondsee	SO	Dino
Peridinium willei	R1704	0,006	1	4	2	1	1	1	4,7%	Attersee	HE	Dino
Picoplankton indet.	R2617	0,005							4,4%	Attersee	HE	Indet
Picoplankton indet.	R2617	0,014							4,5%	Attersee	SO	Indet
Picoplankton indet.	R2617	0,019							4,5%	Mondsee	FJ	Indet
Picoplankton indet.	R2617	0,060							10,9%	Mondsee	SO	Indet
Plagioselmis nannoplanctica	R2162	0,013							13,6%	Attersee	FJ	Crypto
Plagioselmis nannoplanctica	R2162	0,014							8,8%	Attersee	FS	Crypto
Plagioselmis nannoplanctica	R2162	0,013							10,4%	Attersee	HE	Crypto
Plagioselmis nannoplanctica	R2162	0,024							8,0%	Attersee	SO	Crypto
Plagioselmis nannoplanctica	R2162	0,006							21,1%	Hallstätter See	FJ	Crypto
Plagioselmis nannoplanctica	R2162	0,014							23,1%	Hallstätter See	FS	Crypto
Plagioselmis nannoplanctica	R2162	0,014							23,1%	Hallstätter See	HE	Crypto
Plagioselmis nannoplanctica	R2162	0,040							27,9%	Hallstätter See	SO	Crypto
Plagioselmis nannoplanctica	R2162	0,043							13,8%	Irrsee	FS	Crypto
Plagioselmis nannoplanctica	R2162	0,018							4,6%	Irrsee	HE	Crypto
Plagioselmis nannoplanctica	R2162	0,017							4,4%	Irrsee	SO	Crypto
Plagioselmis nannoplanctica	R2162	0,023							5,3%	Mondsee	FJ	Crypto
Plagioselmis nannoplanctica	R2162	0,018							3,0%	Mondsee	HE	Crypto
Plagioselmis nannoplanctica	R2162	0,039							5,7%	Mondsee	HE	Crypto
Plagioselmis nannoplanctica	R2162	0,030							4,6%	Mondsee	SO	Crypto
Plagioselmis nannoplanctica		0,062							8,9%	Mondsee	SO	Crypto
	R2162	0,002							-,			
· ·	R2162 R2162								10.3%	Mondsee	WI	Crypto
Plagioselmis nannoplanctica	R2162	0,030							10,3% 44.3%		WI FJ	Crypto Crypto
· ·									10,3% 44,3% 11,8%	Traunsee	WI FJ FS	Crypto Crypto Crypto

Plagioselmis nannoplanctica	R2162	0,017							19,8%	Traunsee	SO	Crypto
Planktothrix rubescens	R1617	0,233	1	1	3	4	1	0	28,1%	Irrsee	FJ	Cyano
Planktothrix rubescens	R1617	0,024	1	1	3	4	1	0	7,8%	Irrsee	FS	Cyano
Planktothrix rubescens	R1617	0,045	1	1	3	4	1	0	11,8%	Irrsee	HE	Cyano
Planktothrix rubescens	R1617	0,044	1	1	3	4	1	0	11,4%	Irrsee	SO	Cyano
Planktothrix rubescens	R1617	0,102	1	1	3	4	1	0	6,6%	Mondsee	FJ	Cyano
Planktothrix rubescens	R1617	0,242	1	1	3	4	1	0	40,3%	Mondsee	FJ	Cyano
Planktothrix rubescens	R1617	0,255	1	1	3	4	1	0	58,7%	Mondsee	FJ	Cyano
Planktothrix rubescens	R1617	0,289	1	1	3	4	1	0	50,2%	Mondsee	HE	Cyano
Planktothrix rubescens	R1617	0,242	1	1	3	4	1	0	35,0%	Mondsee	HE	Cyano
Planktothrix rubescens	R1617	0,314	1	1	3	4	1	0	42,2%	Mondsee	HE	Cyano
Planktothrix rubescens	R1617	0,336	1	1	3	4	1	0	51,6%	Mondsee	so	Cyano
Planktothrix rubescens	R1617	0,255	1	1	3	4	1	0	46,7%	Mondsee	SO	Cyano
Planktothrix rubescens	R1617	0,277	1	1	3	4	1	0	40,1%	Mondsee	SO	Cyano
Planktothrix rubescens	R1617	0,074	1	1	3	4	1	0	16,8%	Mondsee	WI	Cyano
Planktothrix rubescens	R1617	0,060	1	1	3	4	1	0	5,9%	Mondsee	WI	Cyano
Planktothrix rubescens	R1617	0,056	1	1	3	4	1	0	19,2%	Mondsee	WI	Cyano
Rhodomonas lens	R1407	0,017							18,7%	Attersee	FJ	Crypto
Rhodomonas lens	R1407	0,014							22,4%	Hallstätter See	FS	Crypto
Rhodomonas lens	R1407	0,006							3,9%	Hallstätter See	SO	Crypto
Rhodomonas lens	R1407	0,135							8,6%	Mondsee	FJ	Crypto
Rhodomonas lens	R1407	0,030							6,8%	Mondsee	WI	Crypto
Rhodomonas lens	R1407	0,088							8,5%	Mondsee	WI	Crypto
Rhodomonas lens	R1407	0,061							20,9%	Mondsee	WI	Crypto
Rhodomonas lens	R1407	0,037							38,9%		FJ	Crypto
Rhodomonas lens	R1407	0,276							23,4%		HE	Crypto
Snowella lacustris	R1510	0,014	0	1	4	4	1	0	3,6%	Irrsee	HE	Cyano
Snowella lacustris	R1510	0,041	0	1	4	4	1	0	7,2%	Mondsee	HE	Cyano
Snowella lacustris	R1510	0,024	0	1	4	4	1	0	3,5%	Mondsee	HE	Cyano
Snowella lacustris	R1510	0,175	0	1	4	4	1	0	23,6%	Mondsee	HE	Cyano
Snowella lacustris	R1510	0,036	0	1	4	4	1	0	12,4%	Mondsee	WI	Cyano
Stephanodiscus neoastraea	R0083	0,008	0	1	2	4	3	0	32,8%	Hallstätter See	FJ	Diato
Stephanodiscus neoastraea	R0083	0,018	0	1	2	4	3	0	30,6%		FS	Diato
Stephanodiscus neoastraea	R0083	0,007	0	1	2	4	3	0	4,7%	Hallstätter See	SO	Diato
Stephanodiscus neoastraea	R0083	0,267	0	-	2	4	1	0	17,1%		FJ	Diato
Stephanodiscus neoastraea	R0083	0,015	0	1	2	4	3	0	3,3%	Mondsee	FJ	Diato
Stephanodiscus neoastraea	R0083	0,032	0	-	2	4	3	0	7,3%	Mondsee	WI	Diato
Stephanodiscus neoastraea	R0083	0,244	0		2	4	3	0	23,7%		WI	Diato
Stephanodiscus neoastraea gr.	R0083	0,033	0		2	4	3	0	5,5%	Mondsee	FJ	Diato
Ulnaria delicatissima	R2173	0,078	Ė	Ė				Ī	11,3%		HE	Diato
Ulnaria delicatissima + sp.	R2173	0,101							8,6%	Traunsee	HE	Diato
Ulnaria delicatissima var. angustissi-	R2174	0,022	2	3	3	2	0	0	5,0%	Mondsee	WI	Diato
Uroglena sp.	R1151	0,014	0		3	3		0	8,7%	Attersee	FS	Chryso